



上智学院

SOPHIA SCHOOL CORPORATION

# グラフの良い向きづけと 半边彩色について

川谷 元 [g-kawatani-7a5@sophia.ac.jp](mailto:g-kawatani-7a5@sophia.ac.jp)

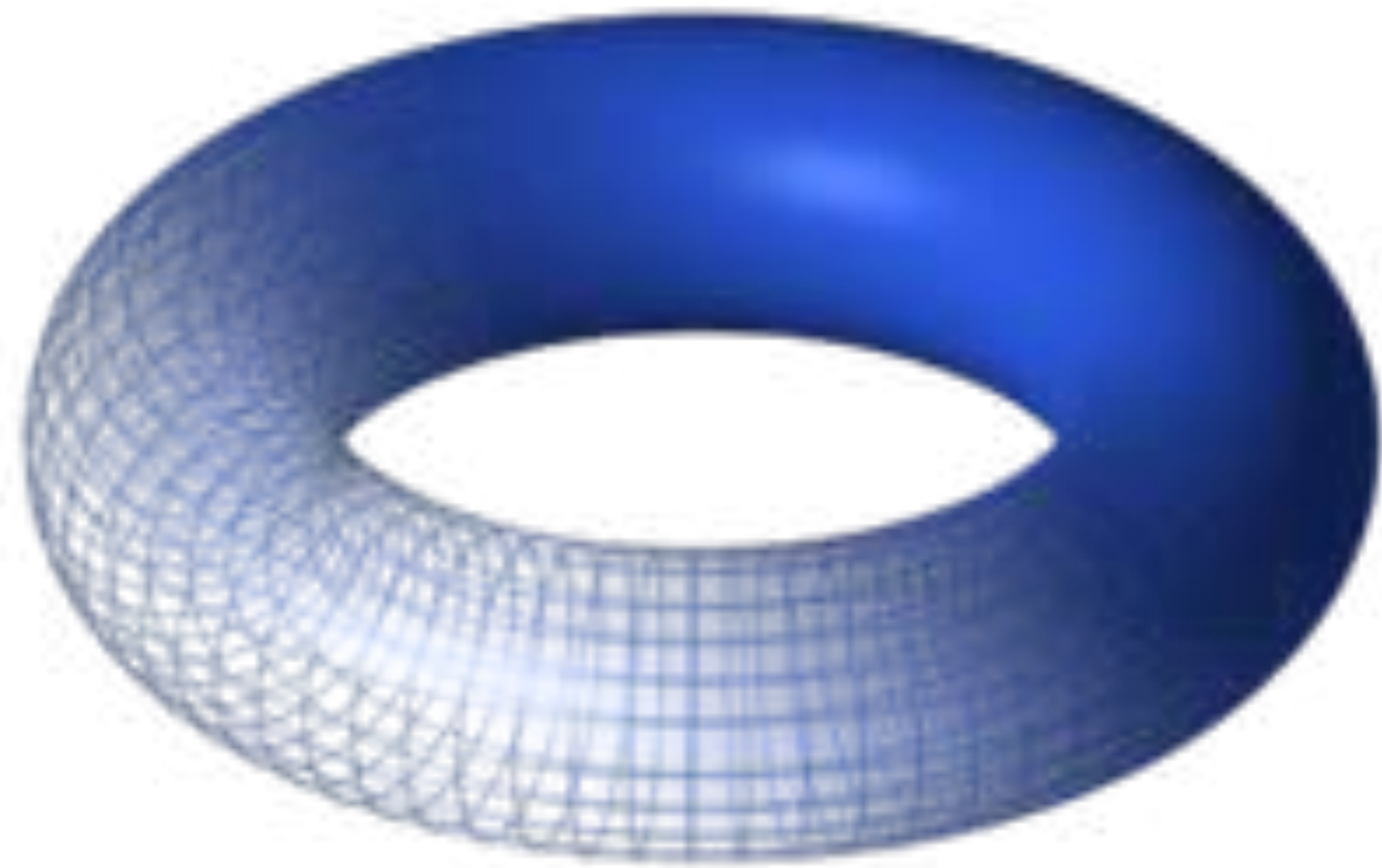
# 本日の内容

1. 無向グラフの閉曲面への埋め込み
2. 無向グラフの良い向き付け
3. 良い向き付けと半边彩色

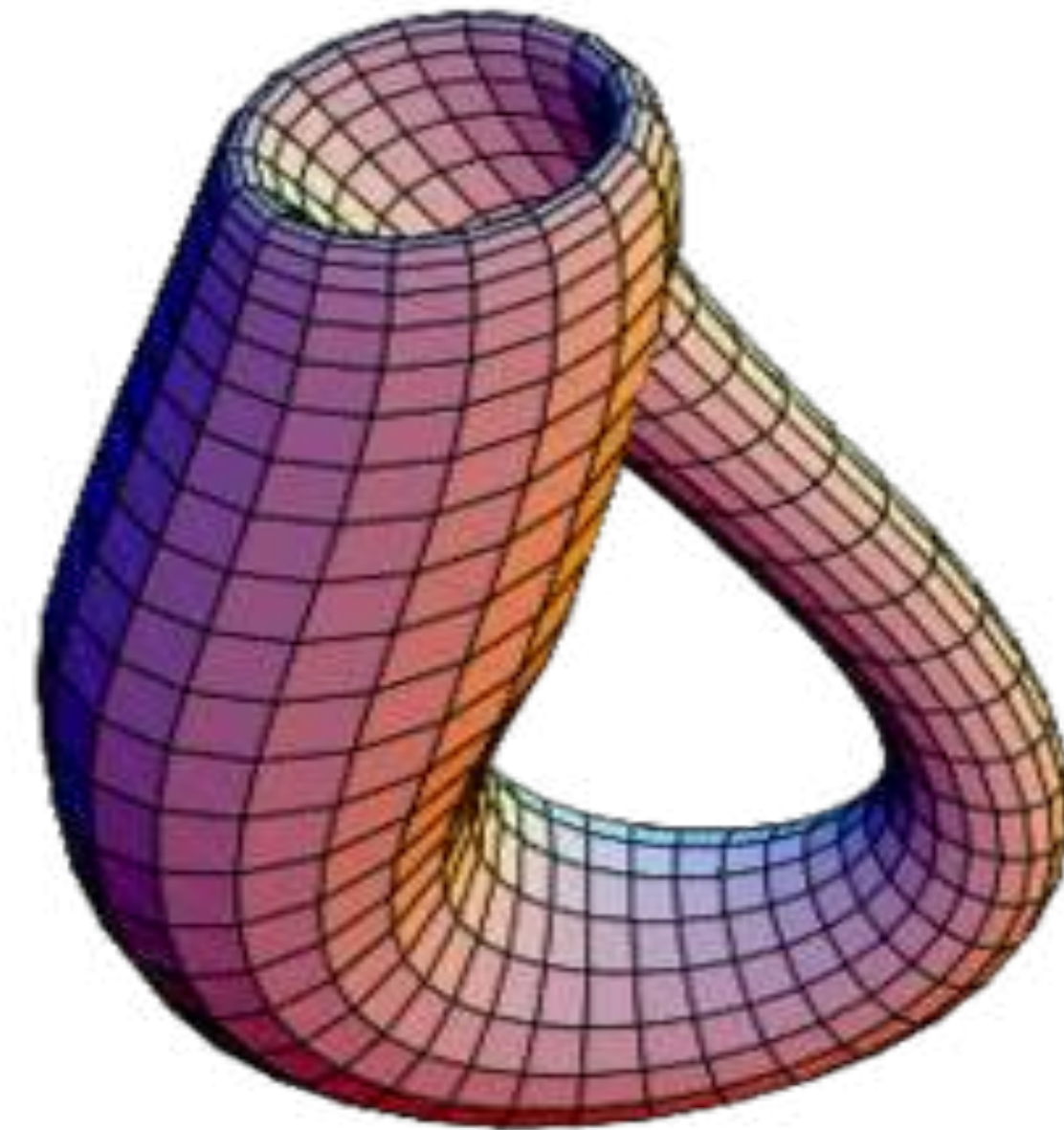


# 無向グラフの閉曲面への埋め込み

トーラス

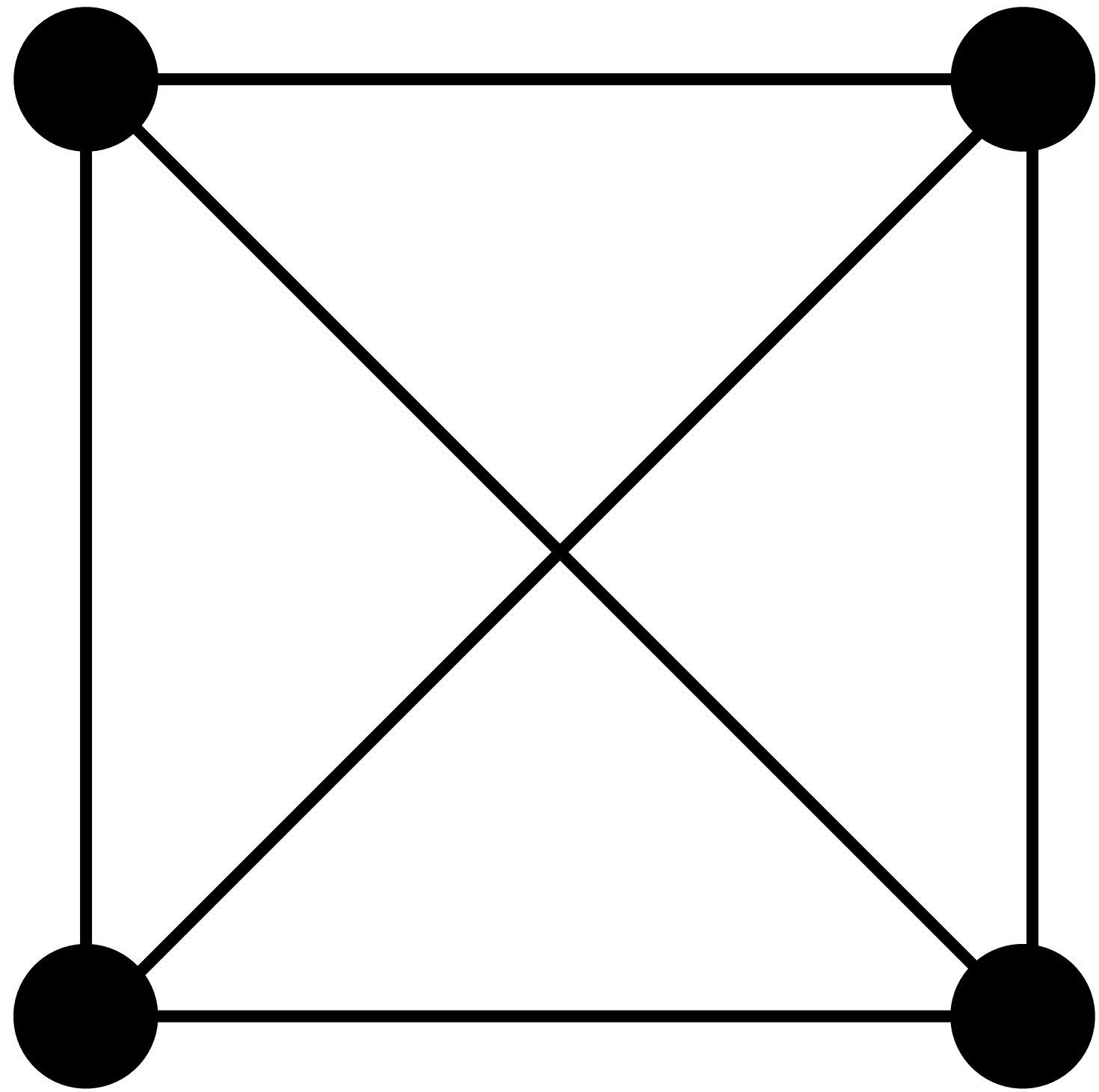


クラインの壺

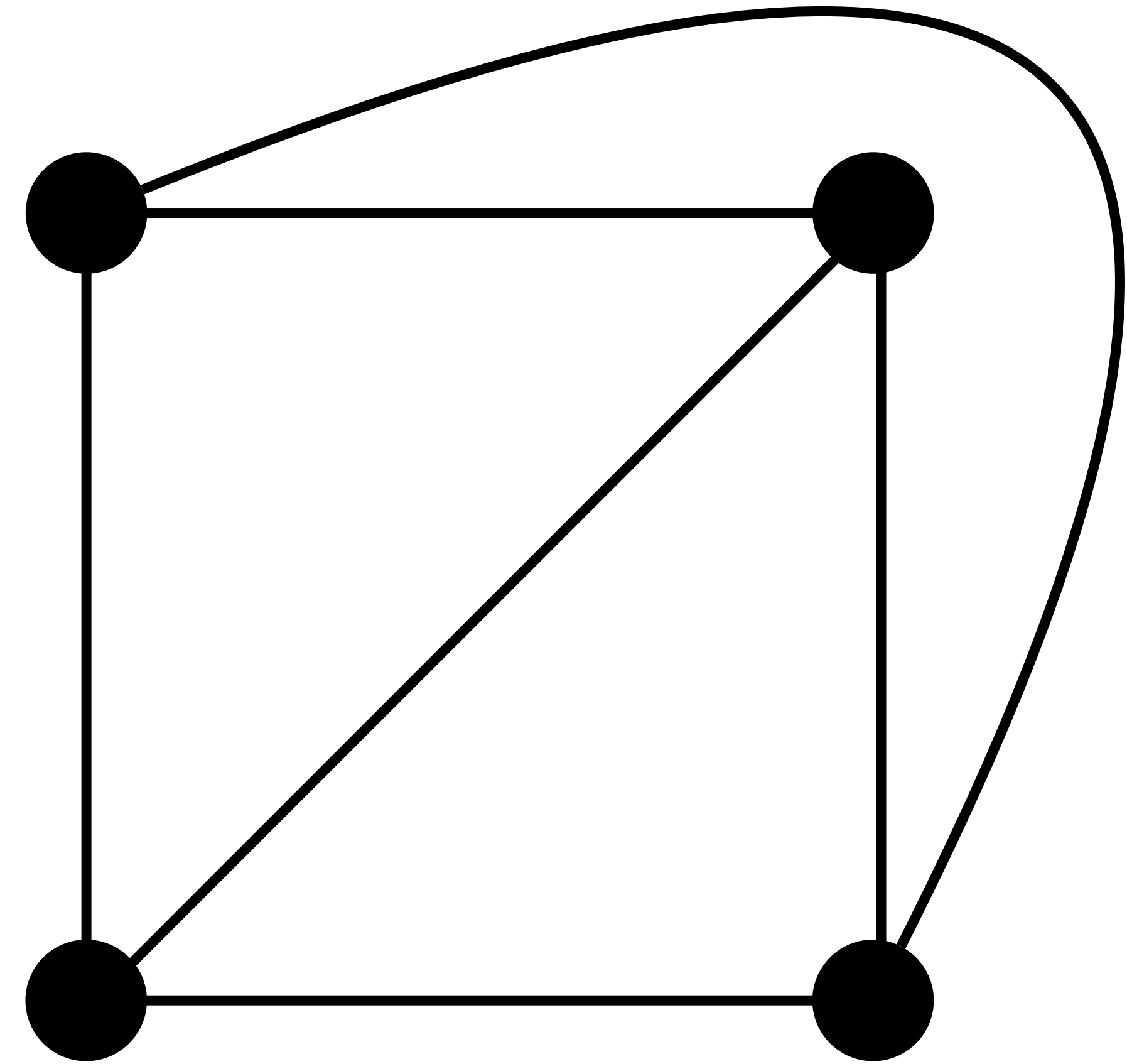


どのような無向グラフが埋め込み可能か？

# 平面埋め込み可能なグラフの例

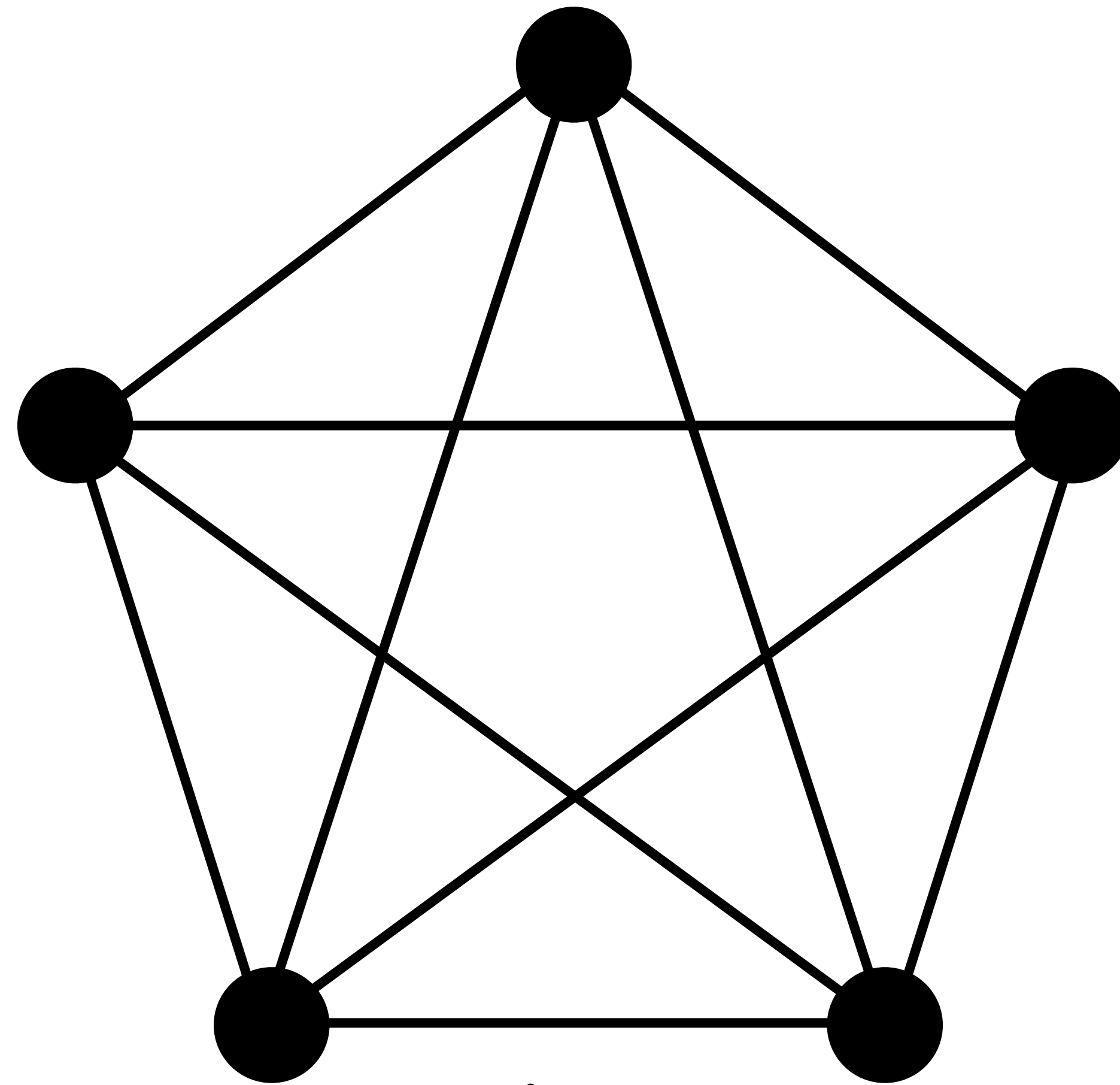


完全グラフ  $K_4$



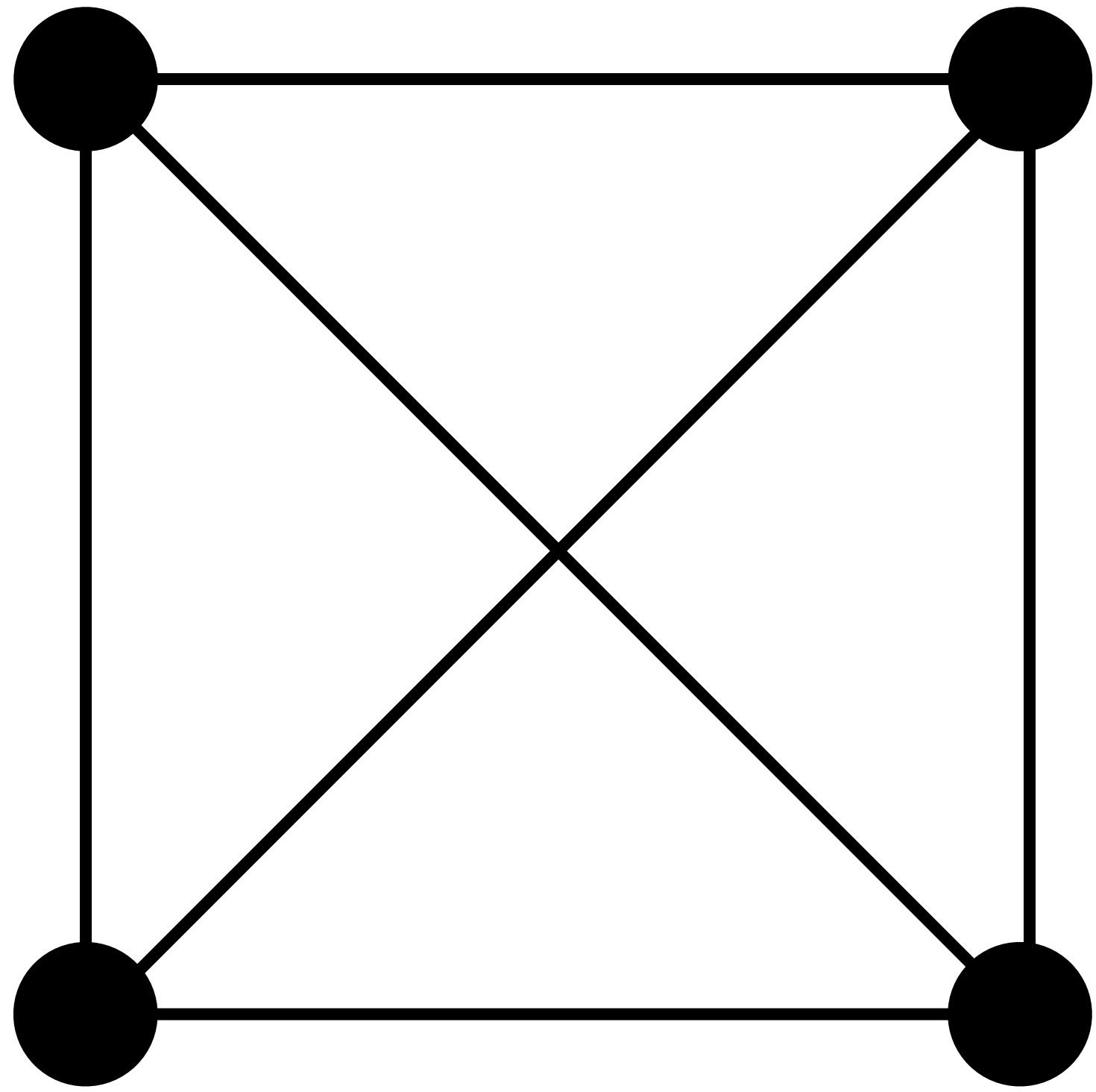
辺の交差なく  
描かれた  $K_4$

# 平面埋め込み不可能なグラフの例



完全グラフ  $K_5$

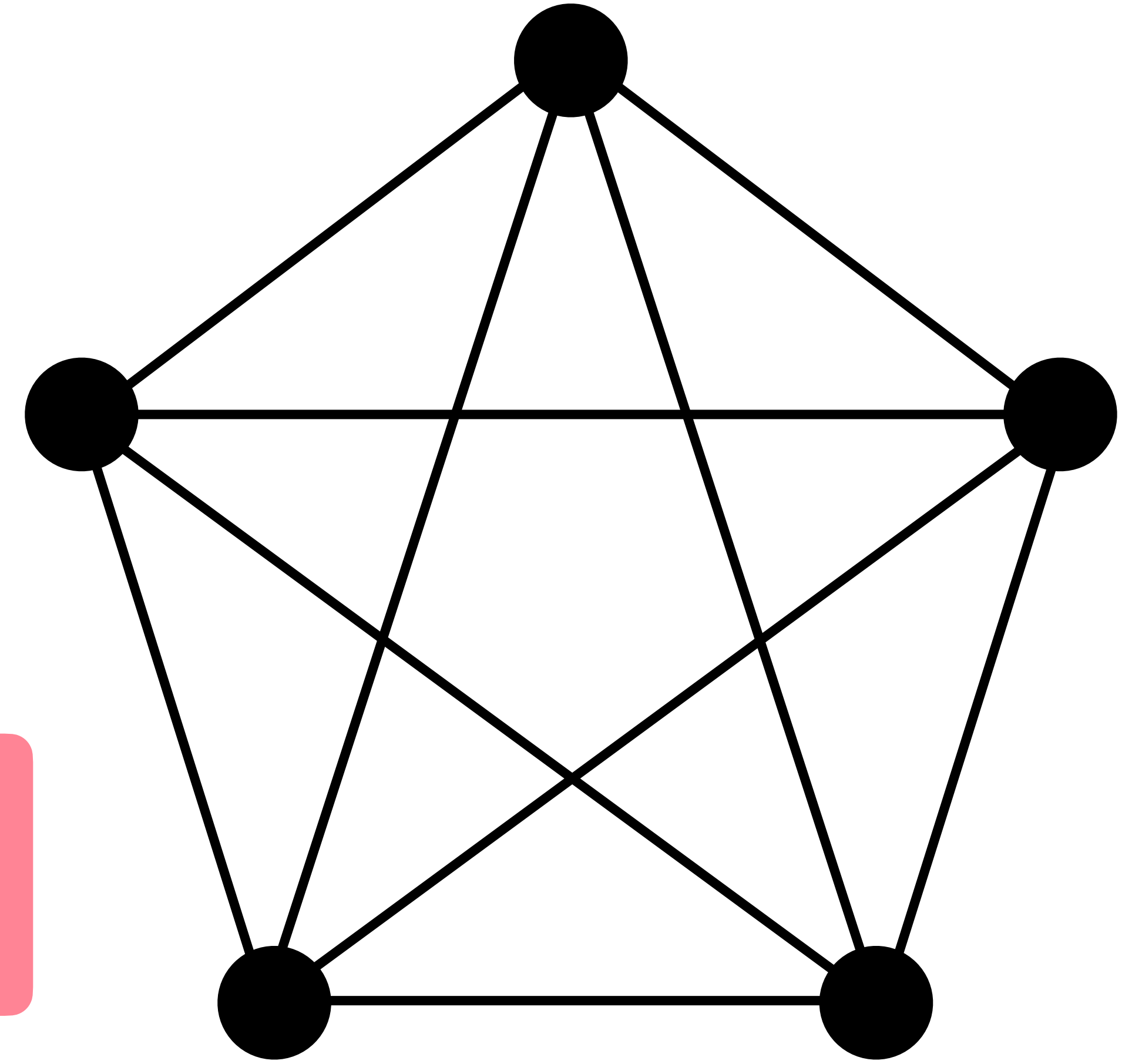
# 平面埋め込み可能な条件は何か？



完全グラフ  $K_4$



この2つの  
違いはなに？



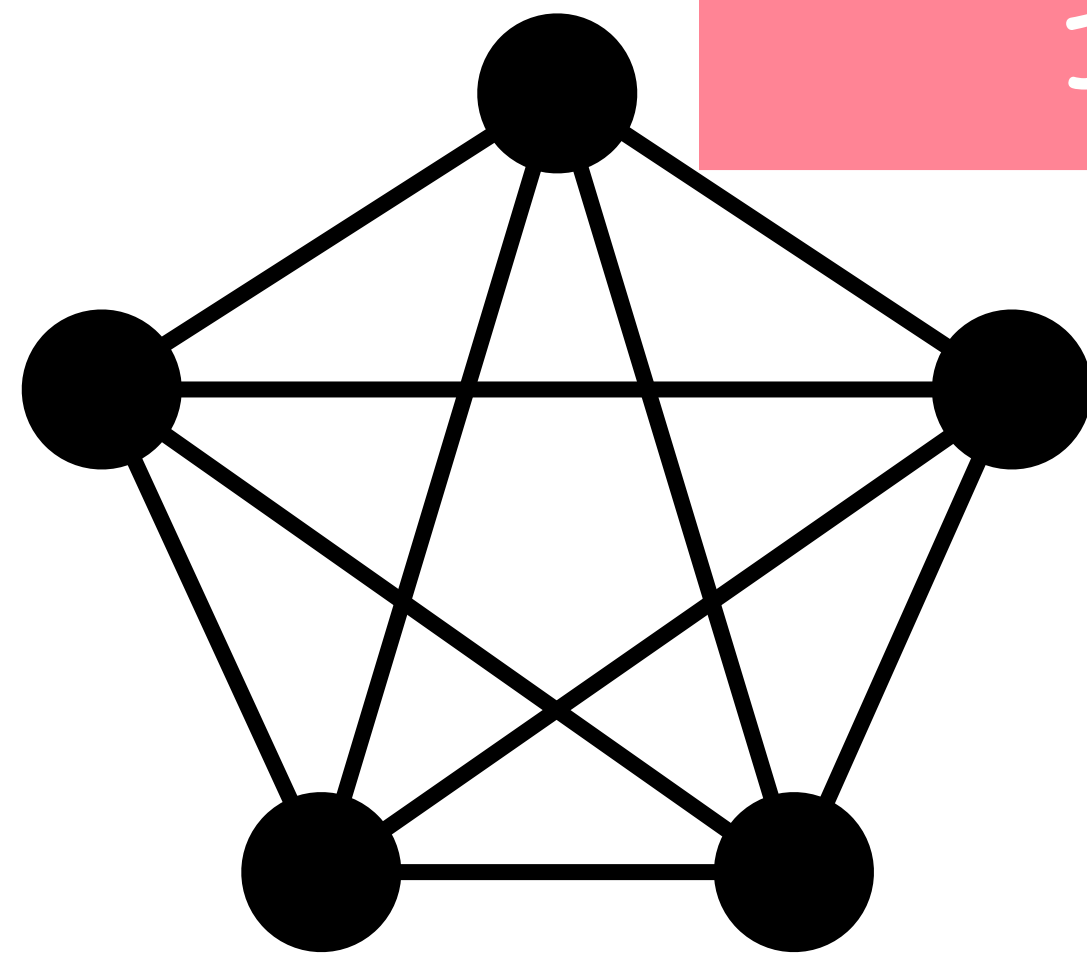
完全グラフ  $K_5$

# 平面埋め込み可能な条件は何か？

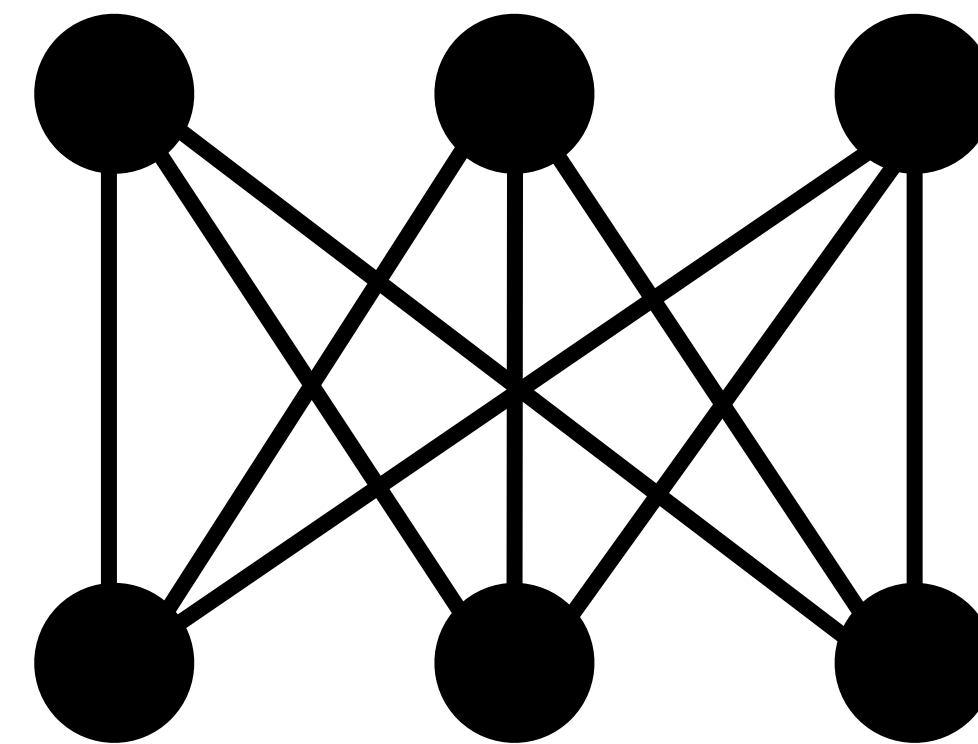
Theorem A (Kuratowski and Wagner).

グラフ  $G$  が平面的グラフであるための必要十分条件は  $G$  が  $K_5$  と  $K_{3,3}$  のどちらのマイナーも含まないことである。

辺の除去と縮約  
孤立点の除去

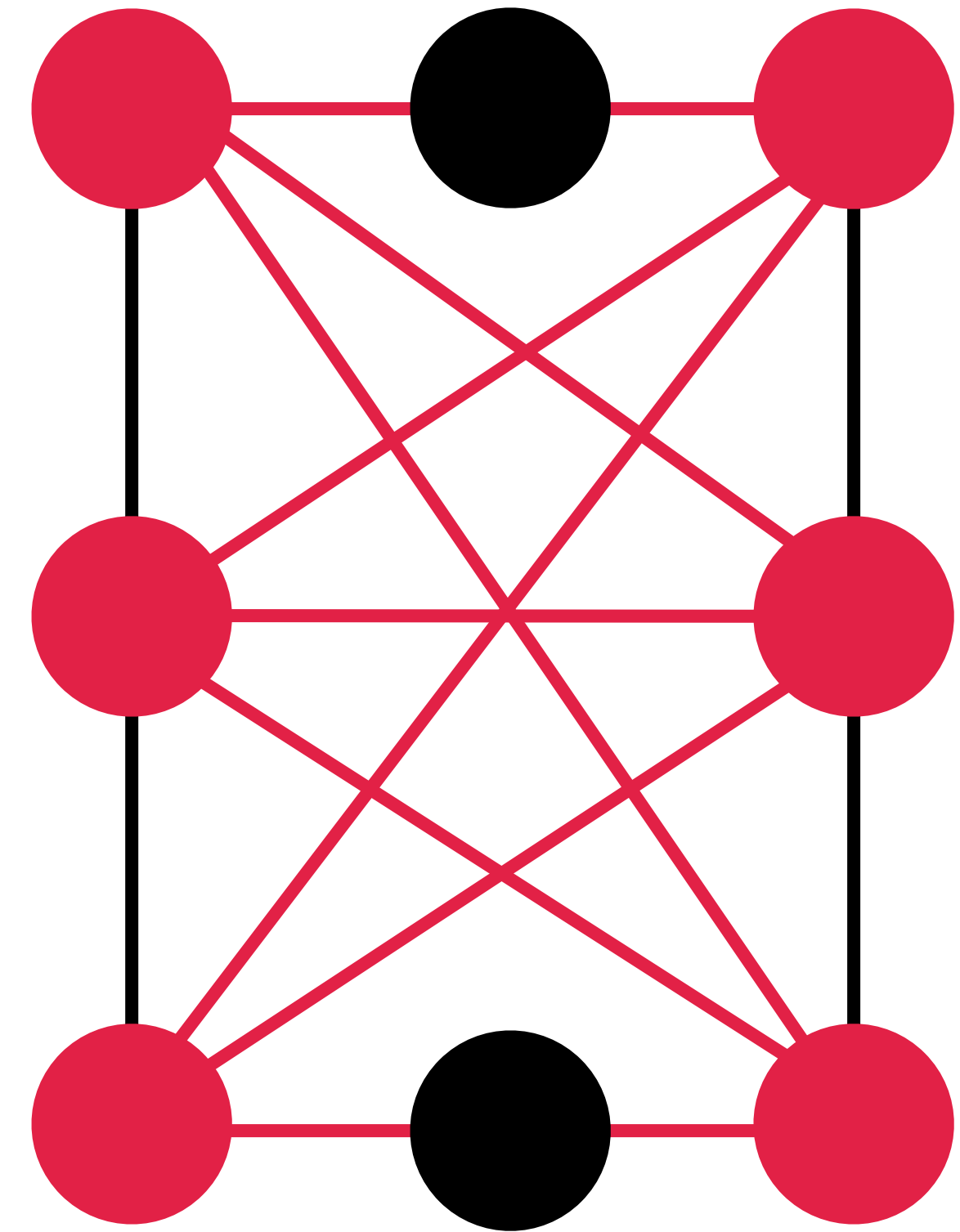
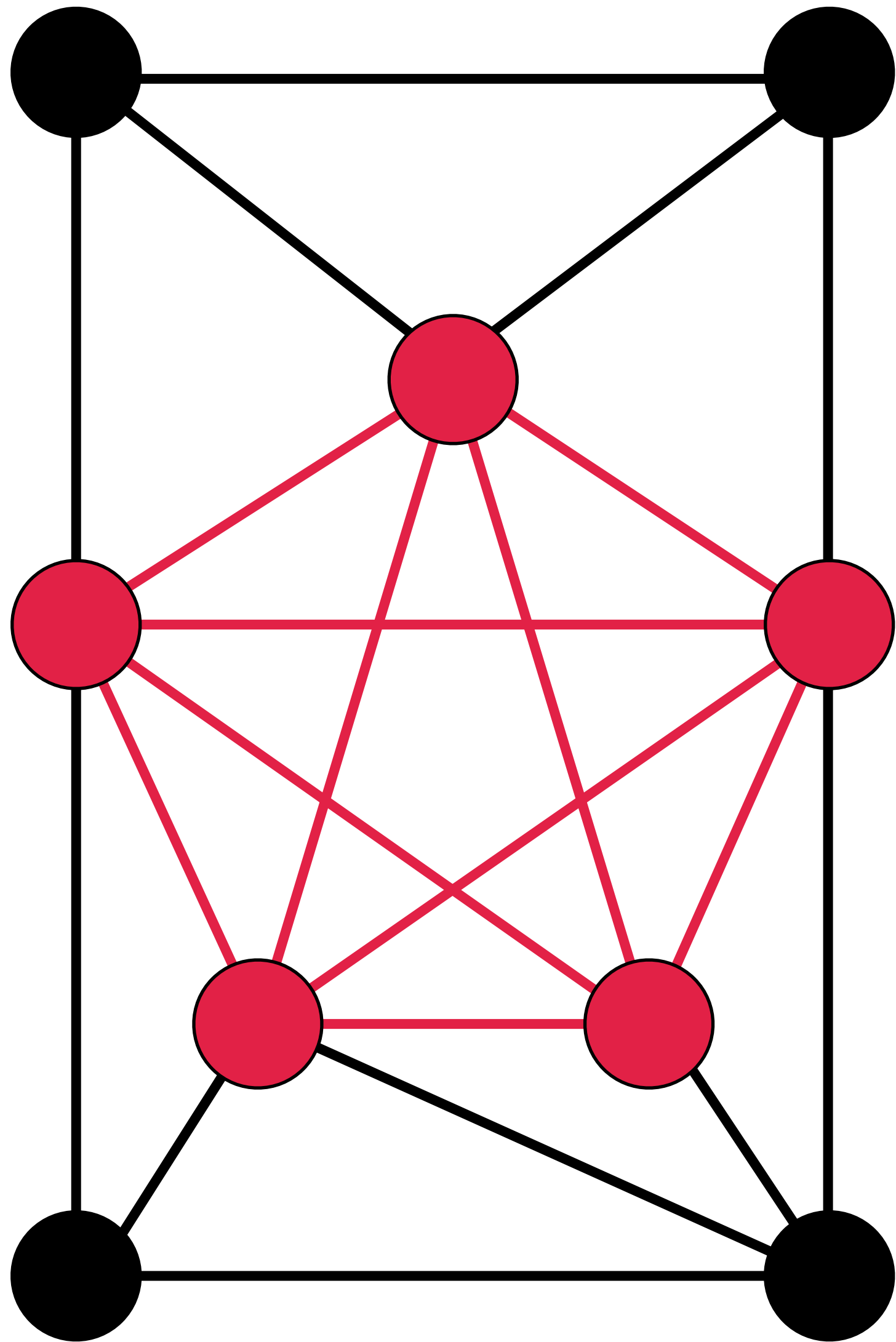


$K_5$



$K_{3,3}$

この2つのグラフは平面的？

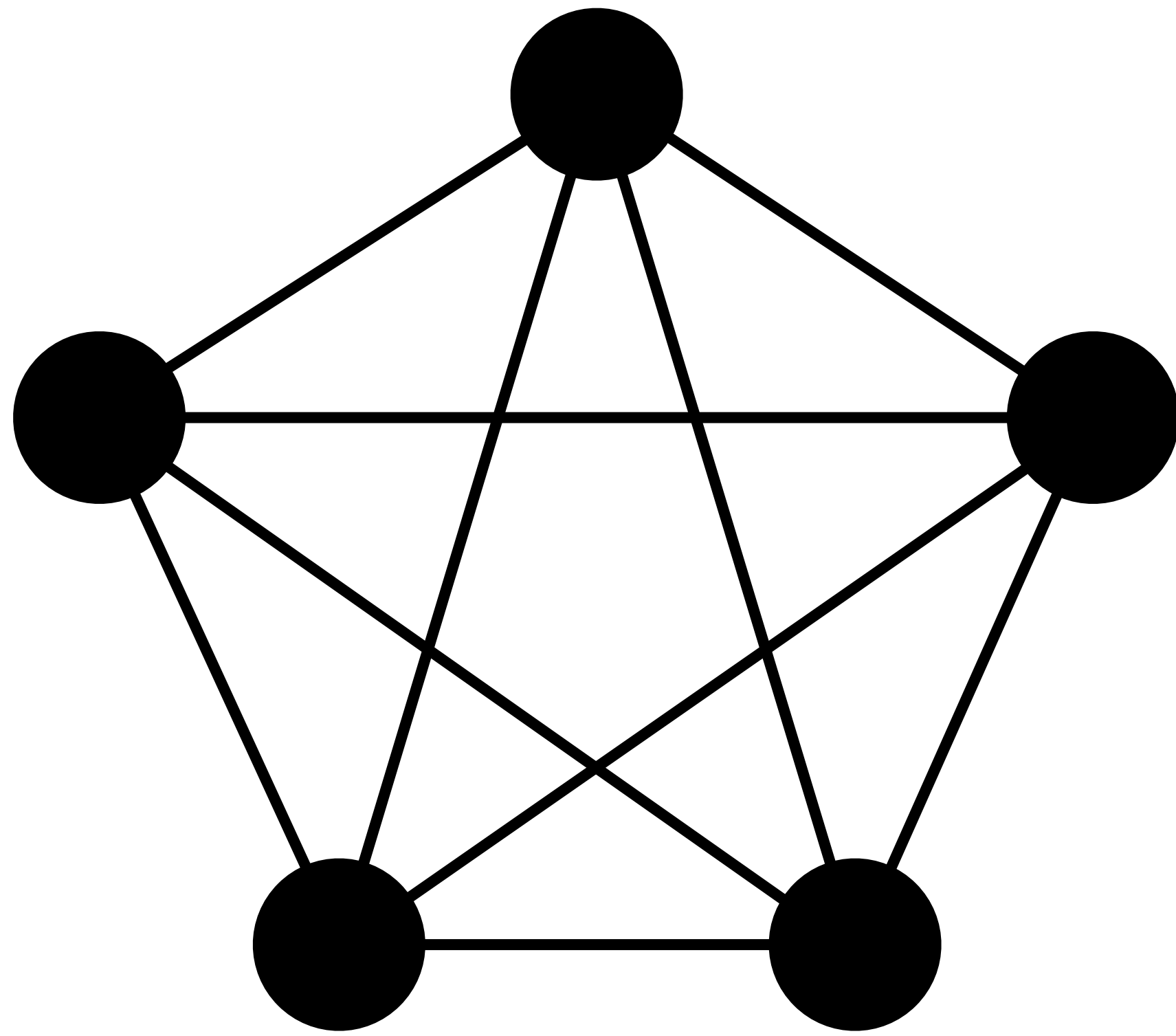




なぜ  $K_5$  と  $K_{3,3}$  は平面的ではないのか？

【証明の概略】

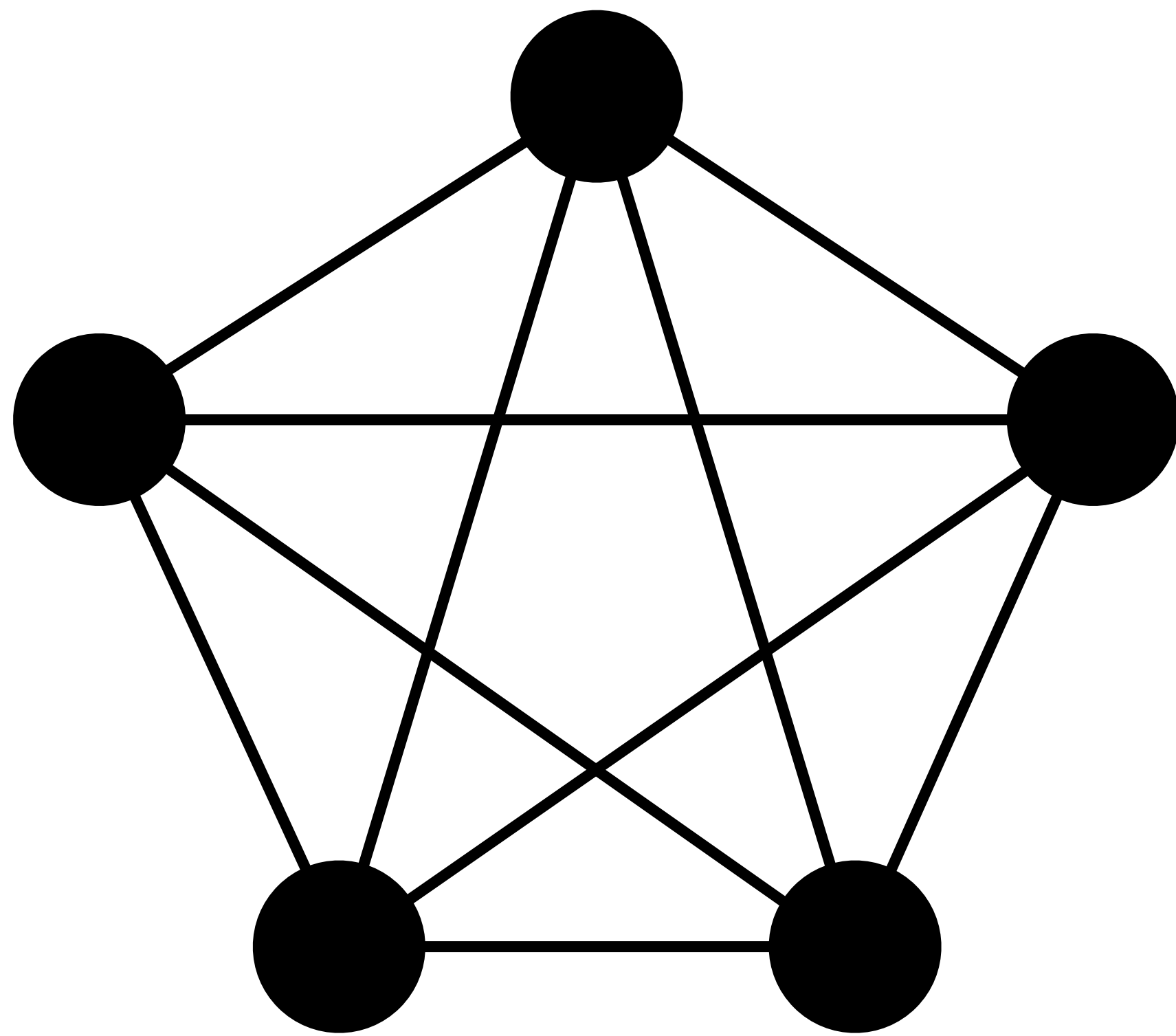
$K_5$  が平面に交差なく埋め込めると仮定する。



なぜ  $K_5$  と  $K_{3,3}$  は平面的ではないのか？

【証明の概略】

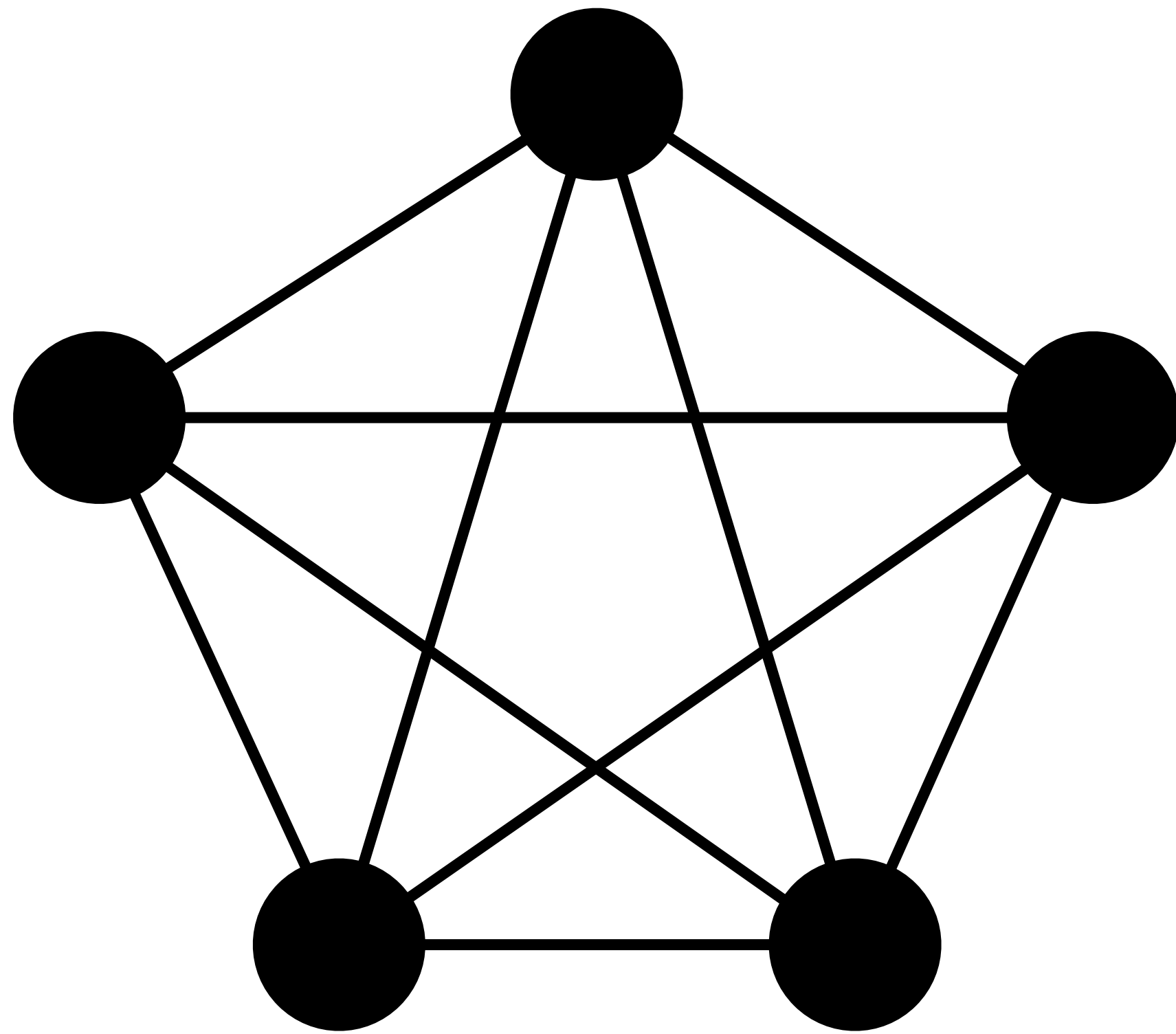
$K_5$  が平面に交差なく埋め込めると仮定する。



① 各辺はちょうど2つの面の境界である。

# なぜ $K_5$ と $K_{3,3}$ は平面的ではないのか？

## 【証明の概略】

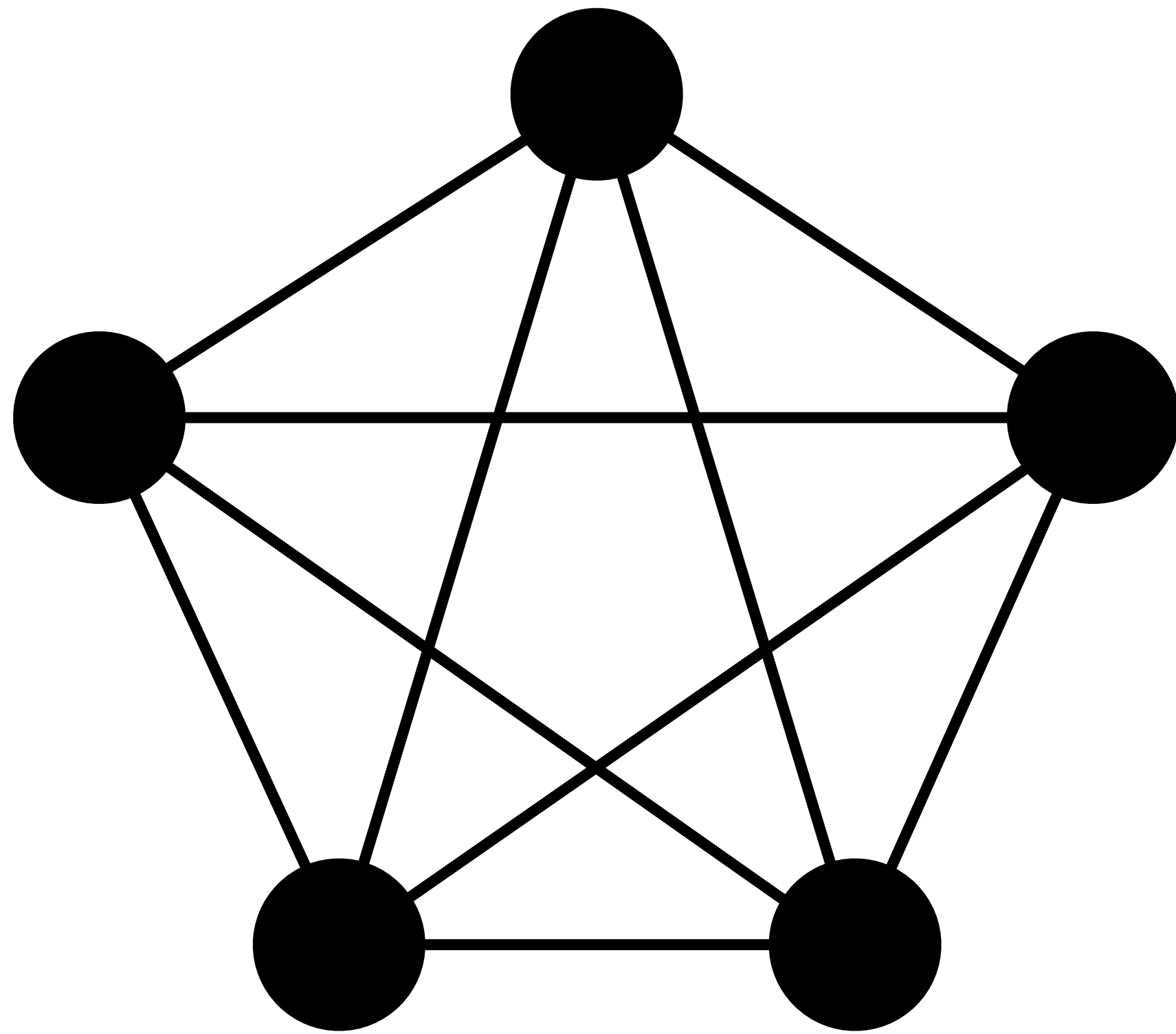


① 各辺はちょうど2つの面の境界である。

② 各面は3つ以上の辺に囲まれている。

# なぜ $K_5$ と $K_{3,3}$ は平面的ではないのか？

## 【証明の概略】



① 各辺はちょうど2つの面の境界である。

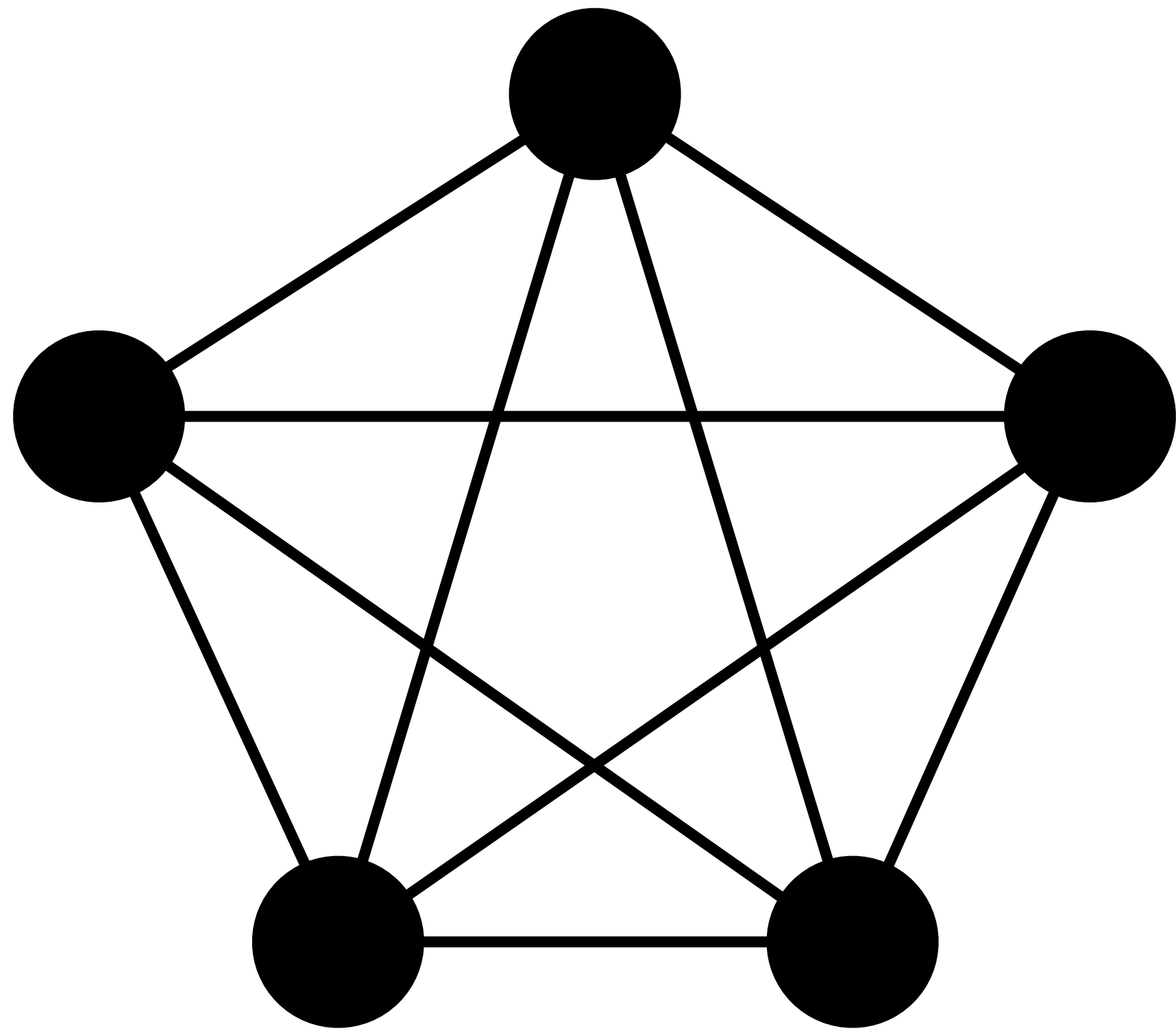
② 各面は3つ以上の辺に囲まれている。

①、②より、

$2E \geq 3F$  が成立する。

なぜ  $K_5$  と  $K_{3,3}$  は平面的ではないのか？

$$V=5, E=10$$



①、②より、

$2E \geq 3F$  が成立する。

オイラーの定理

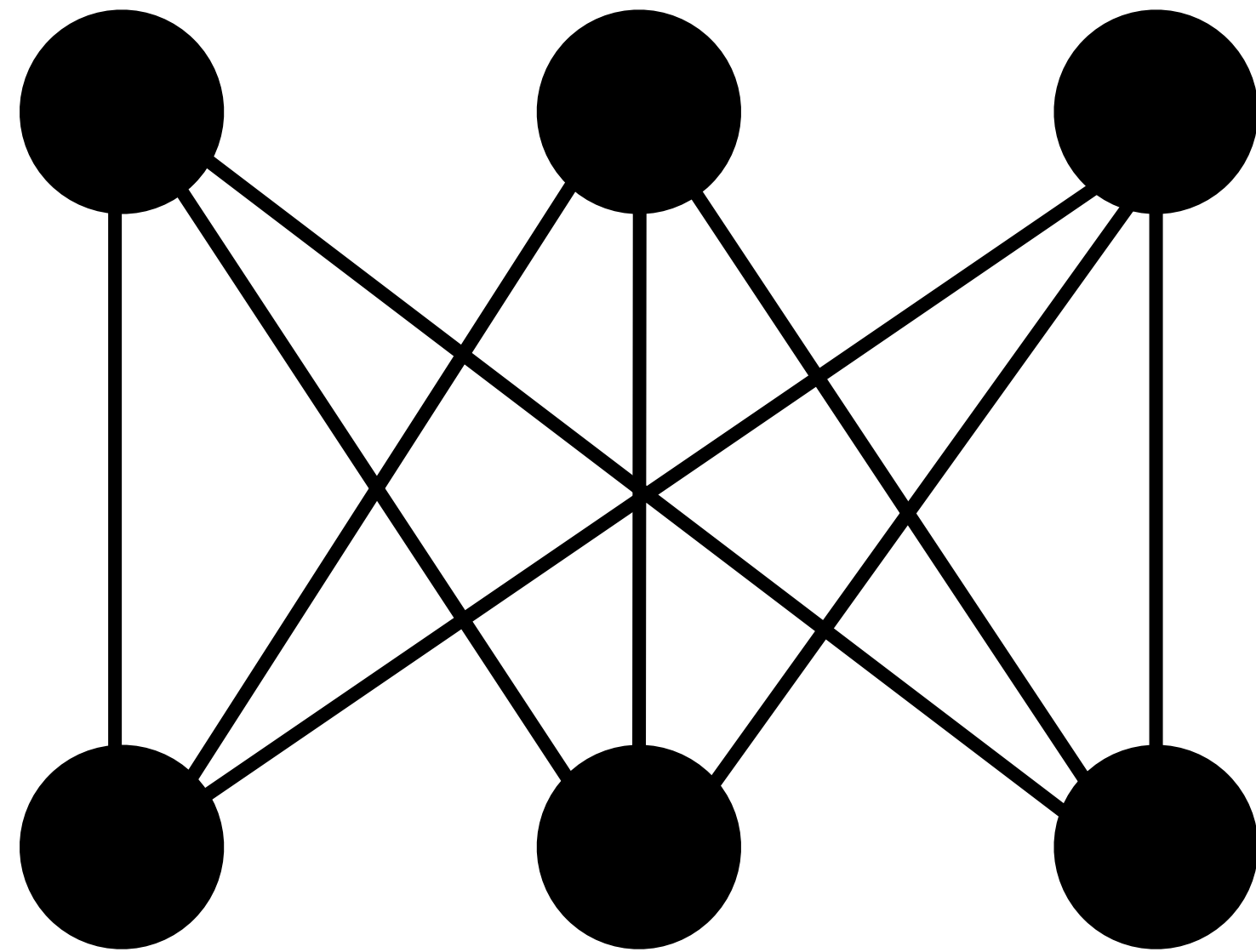
$F = 2 - V + E$  に対して、代入すると、

$$2E \geq 3(2 - V + E)$$

$$E \geq 3V - 6 \text{ となる。}$$

なぜ  $K_5$  と  $K_{3,3}$  は平面的ではないのか？

$$V=6, E=9$$



①、②より、

$2E \geq 4F$  が成立する。

オイラーの定理

$F = 2 - V + E$  に対して、代入すると、

$$2E \geq 2(2 - V + E)$$

$$E \geq 2V - 4 \text{ となる。}$$

# 平面に埋め込まれたグラフの性質

Theorem A (Kuratowski and Wagner).

グラフ  $G$  が平面的グラフであるための必要十分条件は  $G$  が  $K_5$  と  $K_{3,3}$  のどちらのマイナーも含まないことである。

Theorem B (Appel and Haken).

平面グラフは4彩色可能である。

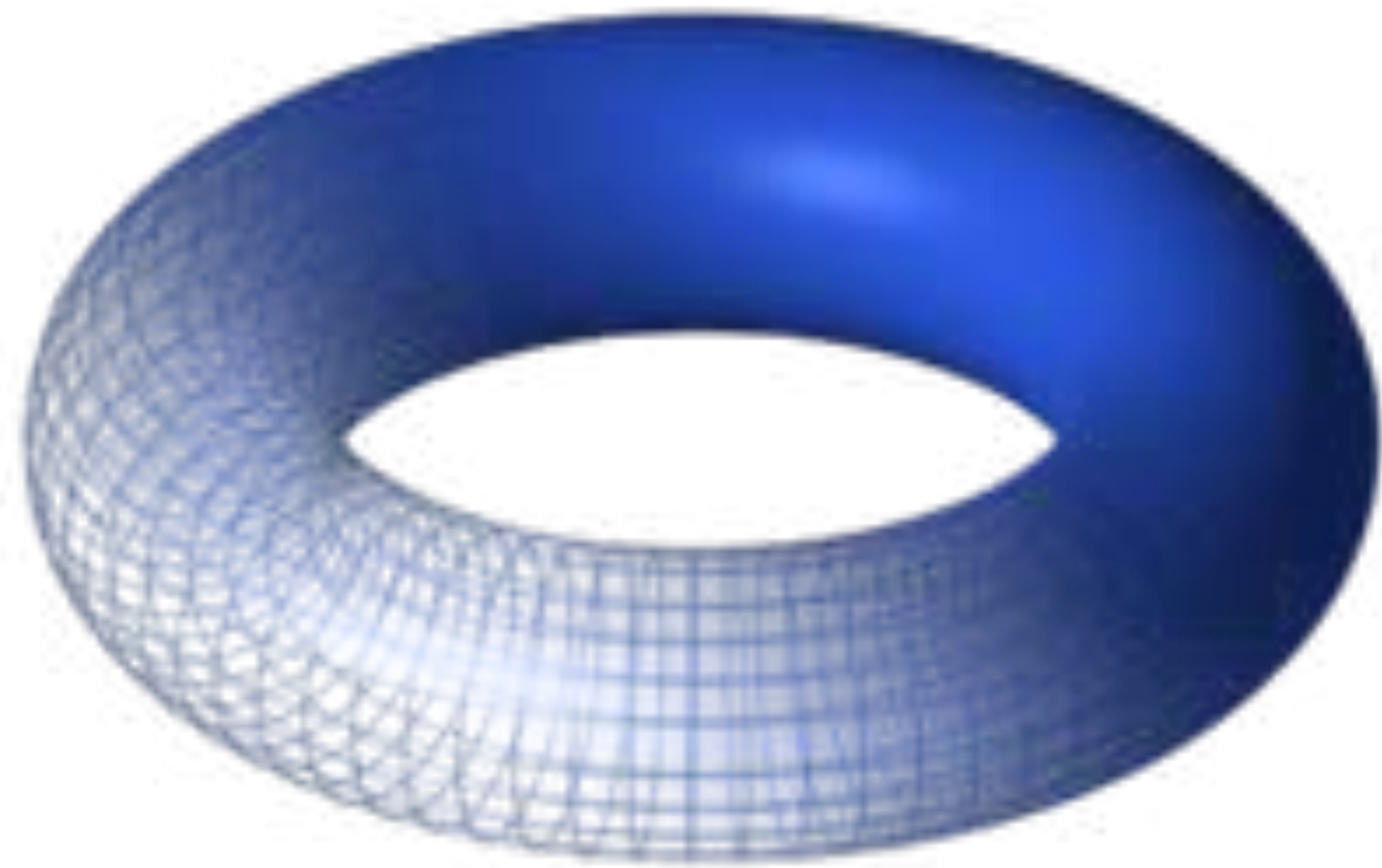
# Minorによる他の閉曲面での特徴付け

平面	射影平面	トーラス
$K_5, K_{3,3}$	35 graphs	$> 10^4$ (?)

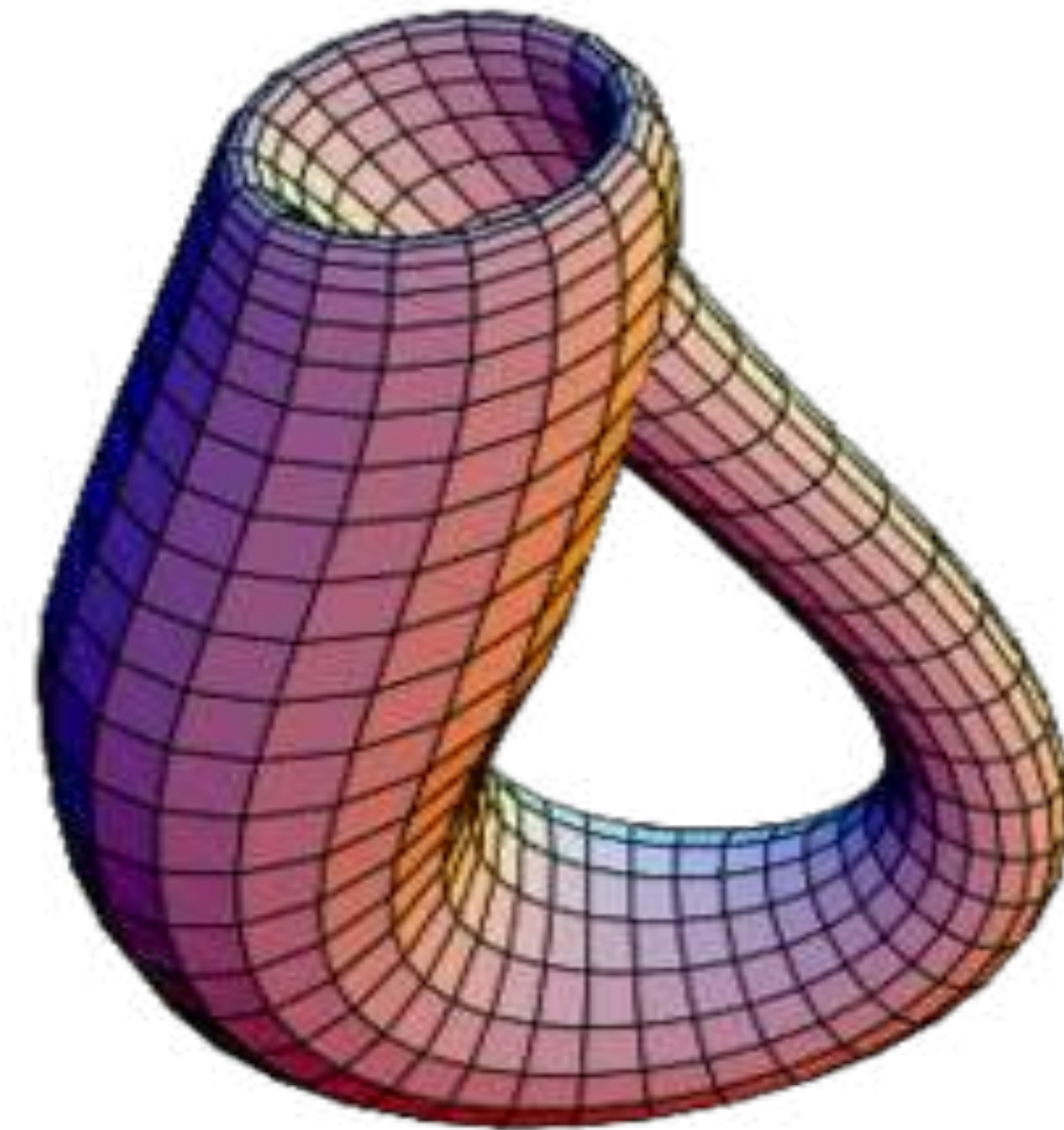


# 有向グラフの閉曲面への埋め込み

トーラス



クラインの壺



どのような有向グラフが埋め込み可能か？

# 本日の内容

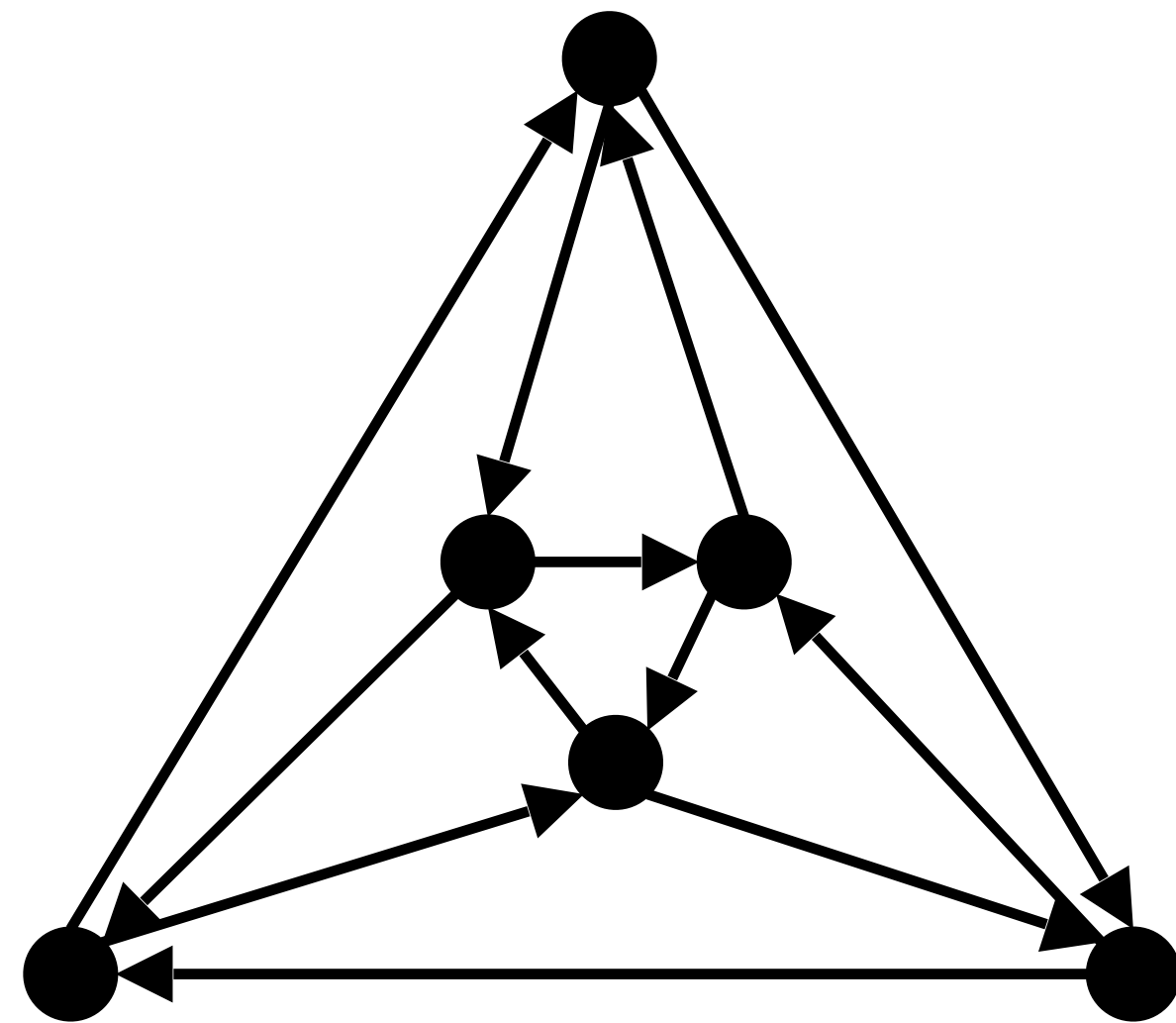
1. 無向グラフの閉曲面への埋め込み
2. 無向グラフの良い向き付け
3. 良い向き付けと半边彩色



# 有向グラフの閉曲面への埋め込み

ある閉曲面  $F$  に対して、有向グラフ  $D$  が次の2つを満たすように描かれているとき、 $D$  は  $F$  に埋め込まれているという。

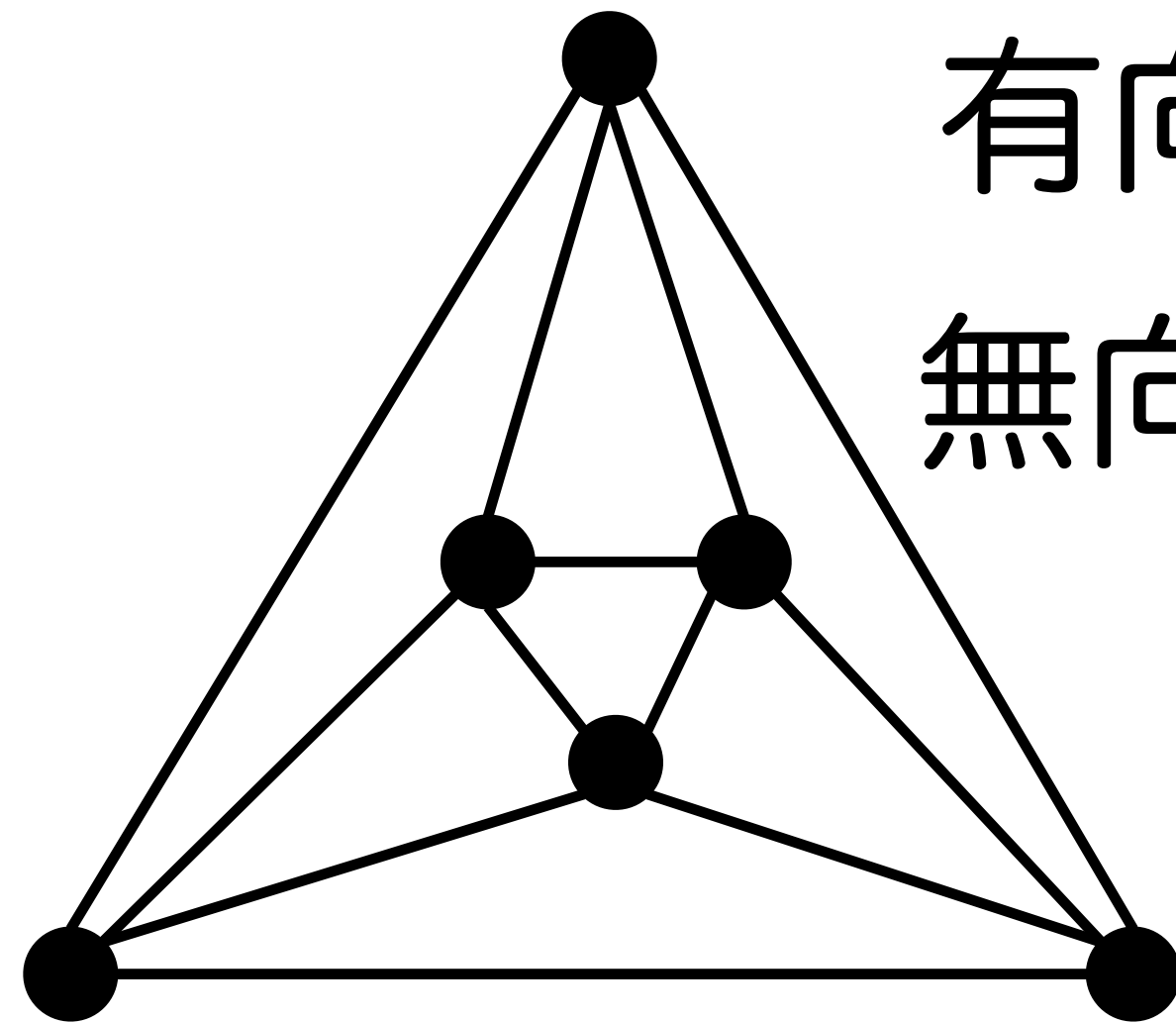
- 無向基礎グラフ(underlying graph)が  $F$  に埋め込まれている。
- 各頂点について、その頂点を始点とする辺と終点とする辺が交互に描かれている。



# 有向グラフの閉曲面への埋め込み

ある閉曲面  $F$  に対して、有向グラフ  $D$  が次の2つを満たすように描かれているとき、 $D$  は  $F$  に埋め込まれているという。

- ・ 無向基礎グラフ(underlying graph)が  $F$  に埋め込まれている。
- ・ 各頂点について、その頂点を始点とする辺と終点とする辺が交互に描かれている。



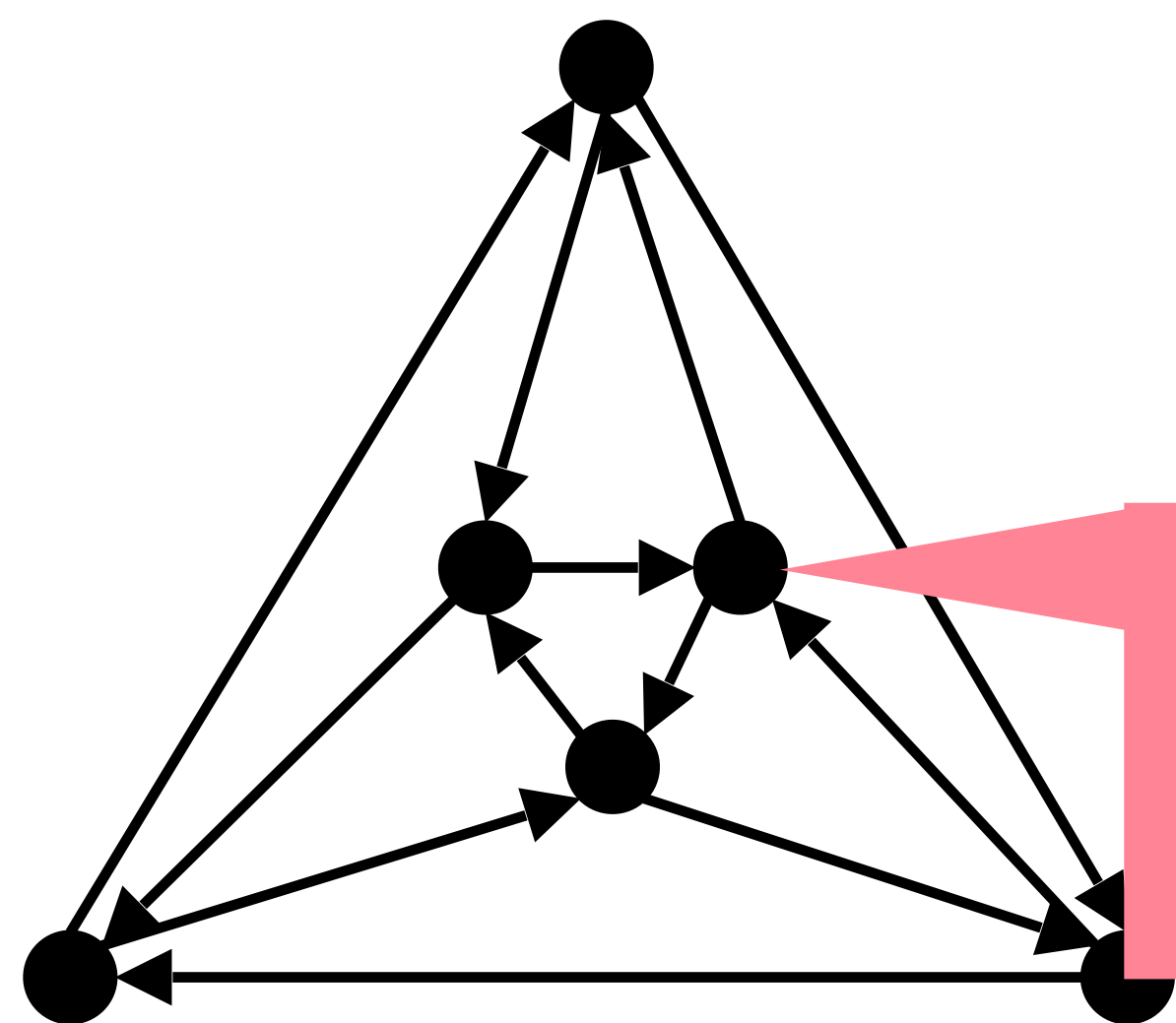
有向グラフ  $D$  の  
無向基礎グラフ

辺の交差なく  
描けている！

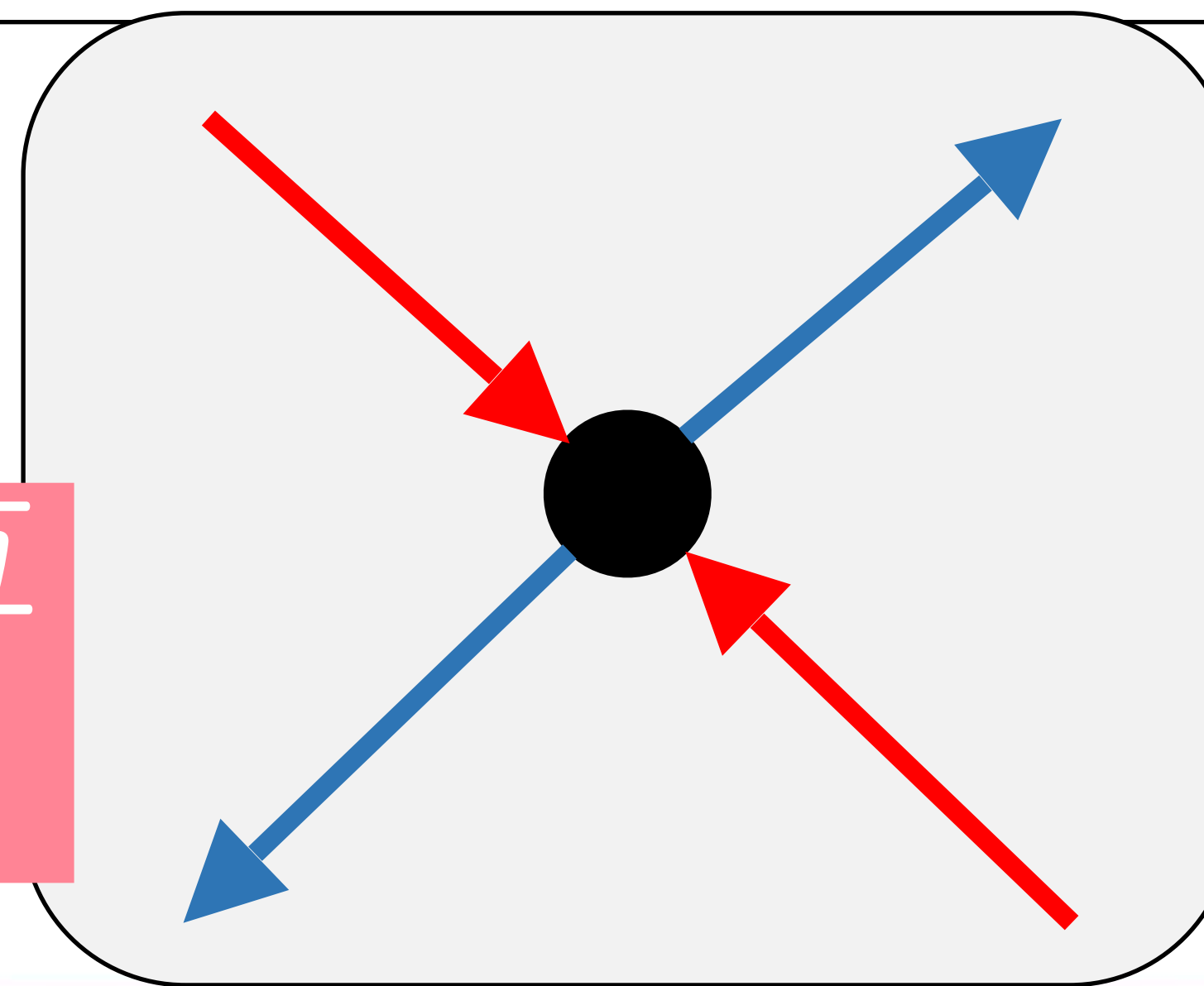
# 有向グラフの閉曲面への埋め込み

ある閉曲面  $F$  に対して、有向グラフ  $D$  が次の2つを満たすように描かれているとき、 $D$  は  $F$  に埋め込まれているという。

- ・ 無向基礎グラフ(underlying graph)が  $F$  に埋め込まれている。
- ・ 各頂点について、その頂点を始点とする辺と終点とする辺が交互に描かれている。



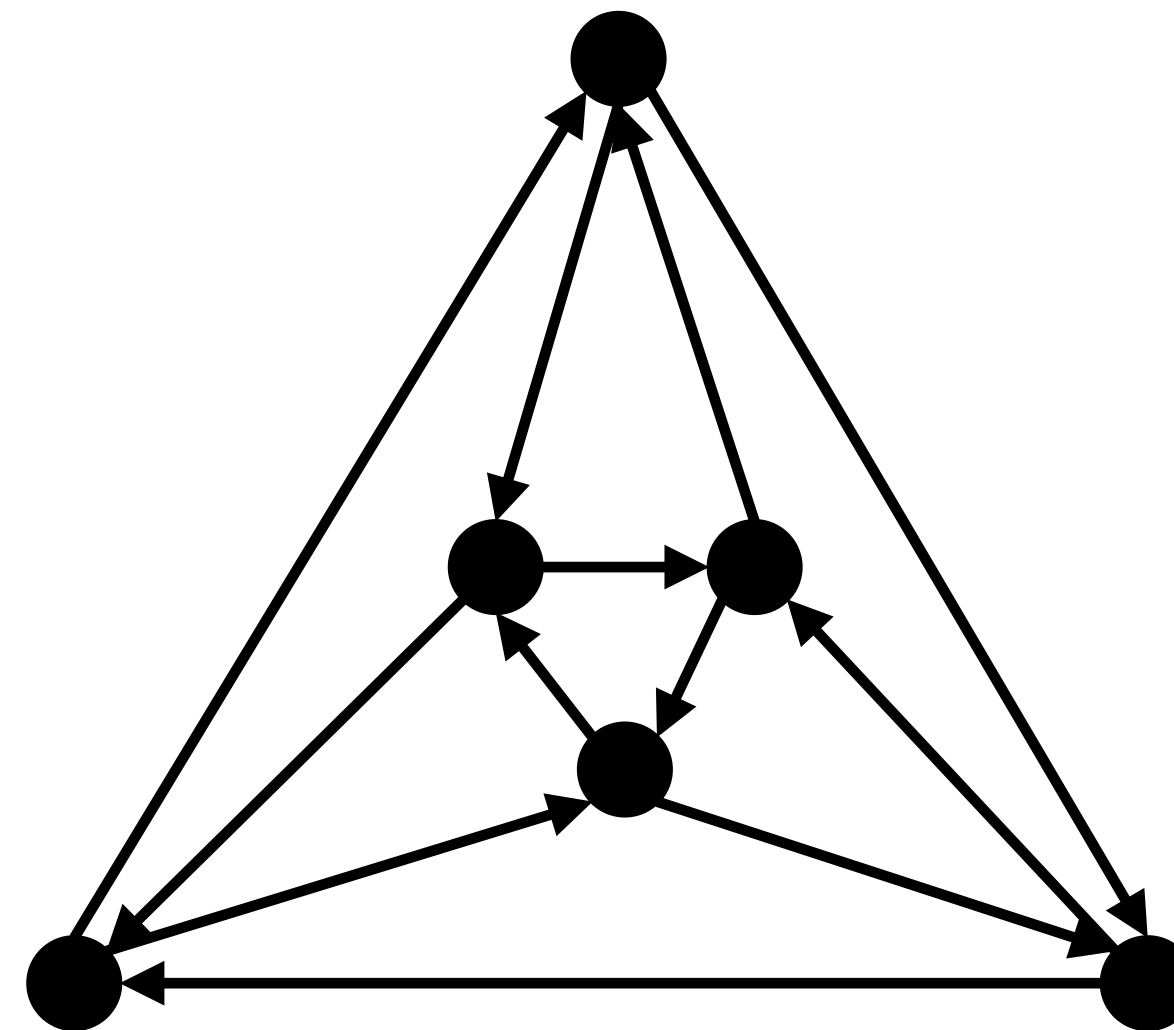
出る辺・入る辺が交互に繰り返されている



# 有向グラフの閉曲面への埋め込み

ある閉曲面  $F$  に対して、有向グラフ  $D$  が次の2つを満たすように描かれているとき、 $D$  は  $F$  に埋め込まれているという。

- 無向基礎グラフ(underlying graph)が  $F$  に埋め込まれている。
- 各頂点について、その頂点を始点とする辺と終点とする辺が交互に描かれている。

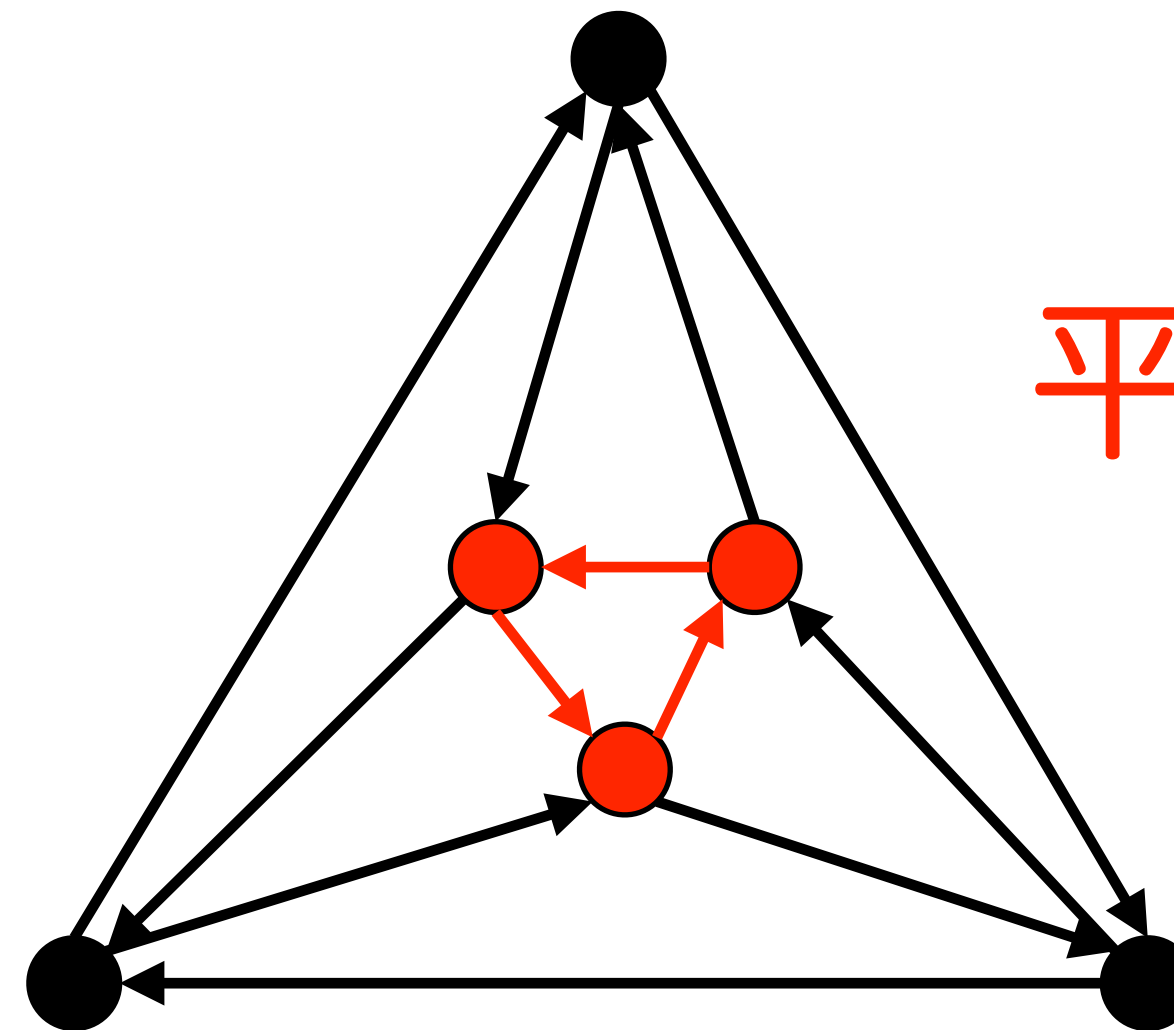


平面に埋め込まれた  
有向グラフ  $D$

# 有向グラフの閉曲面への埋め込み

ある閉曲面  $F$  に対して、有向グラフ  $D$  が次の2つを満たすように描かれているとき、 $D$  は  $F$  に埋め込まれているという。

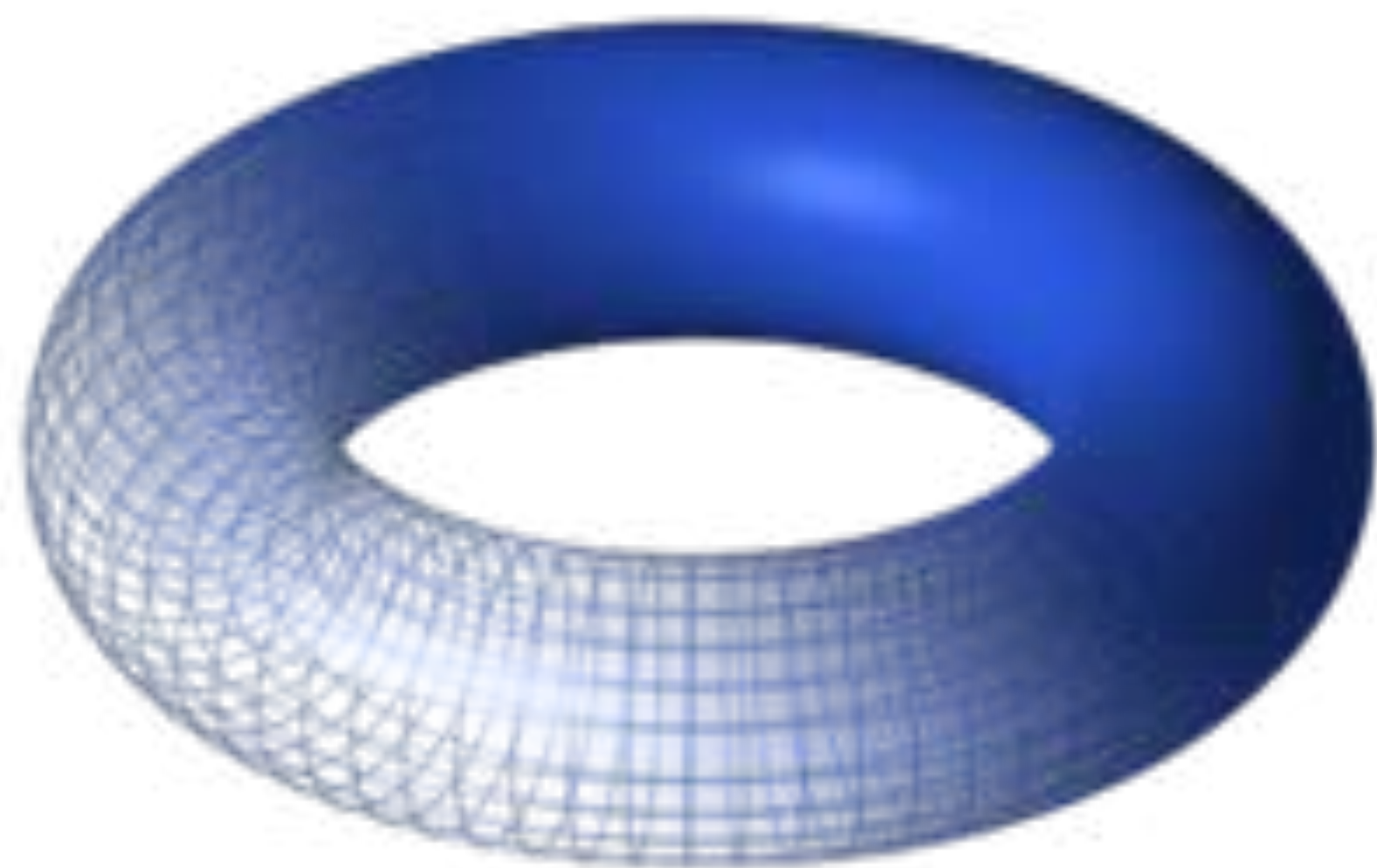
- 無向基礎グラフ(underlying graph)が  $F$  に埋め込まれている。
- 各頂点について、その頂点を始点とする辺と終点とする辺が交互に描かれている。



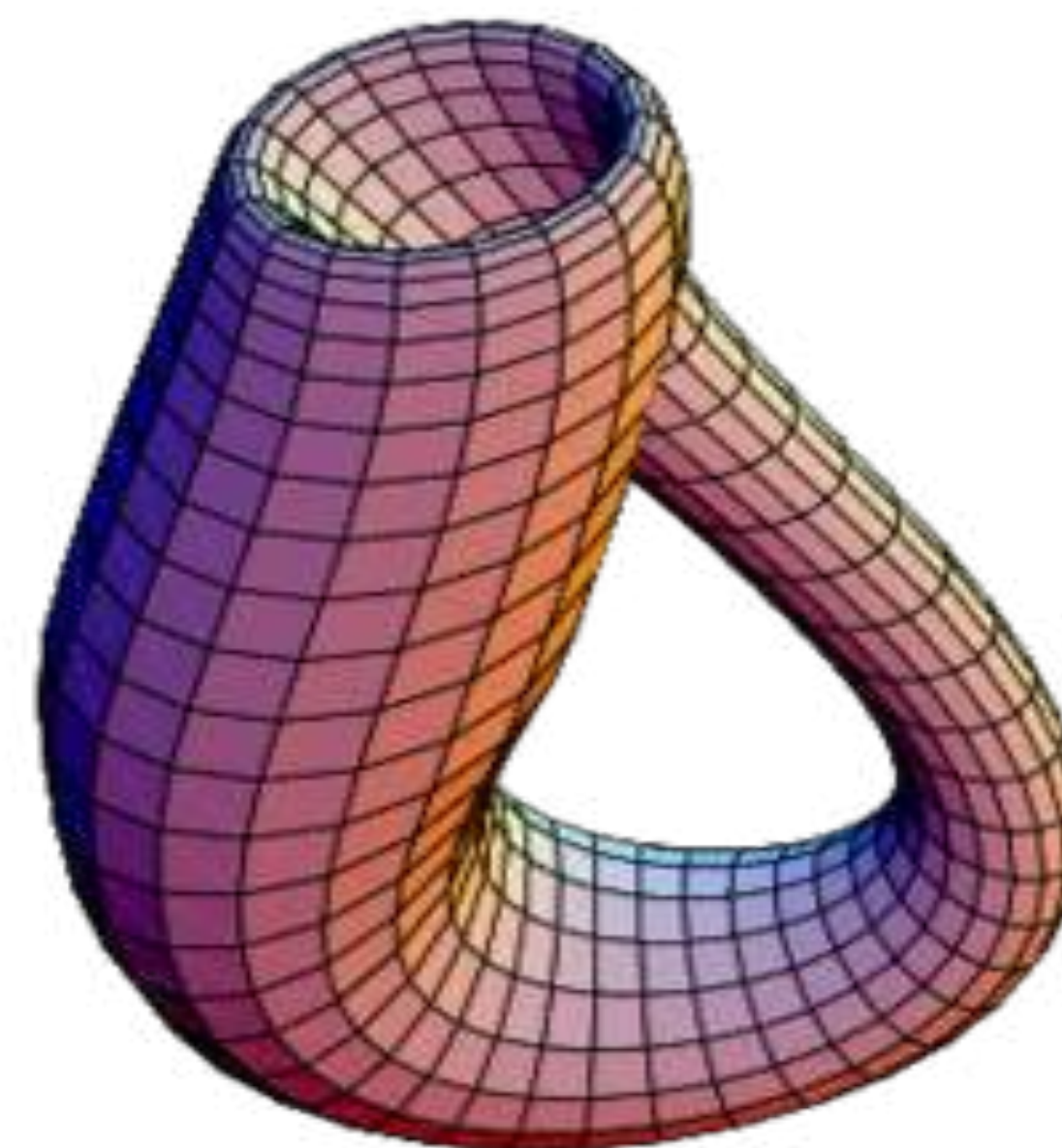
平面に埋め込まれていない  
有向グラフ  $D$

# 有向グラフの閉曲面への埋め込み

トーラス



クラインの壺



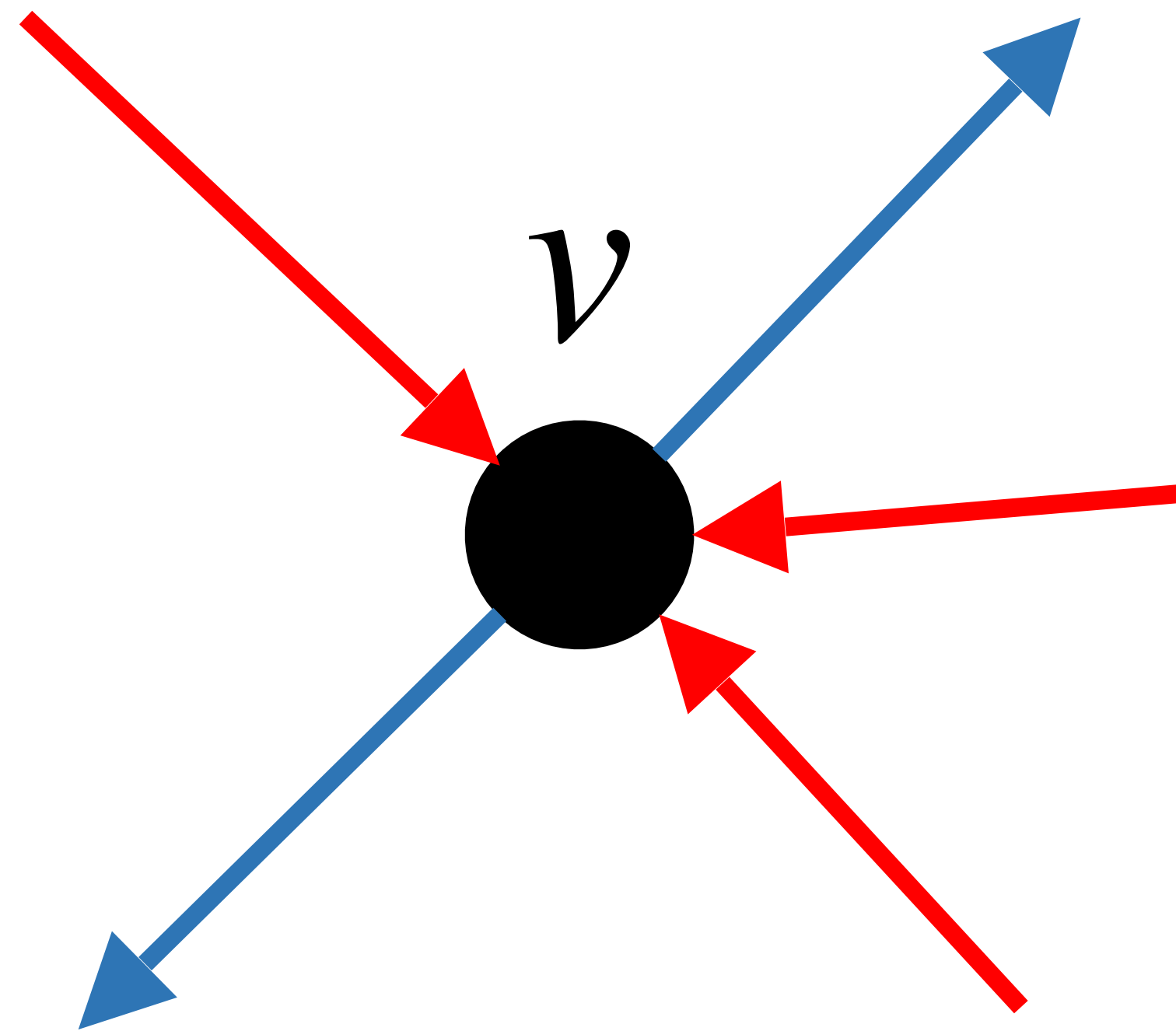
どのような有向グラフが埋め込み可能か？



# 有向グラフの閉曲面への埋め込み

## Observation 1.

有向グラフ  $D$  に出次数と入次数が一致しない点が存在するとき、任意の閉曲面において  $D$  の埋め込みは存在しない。

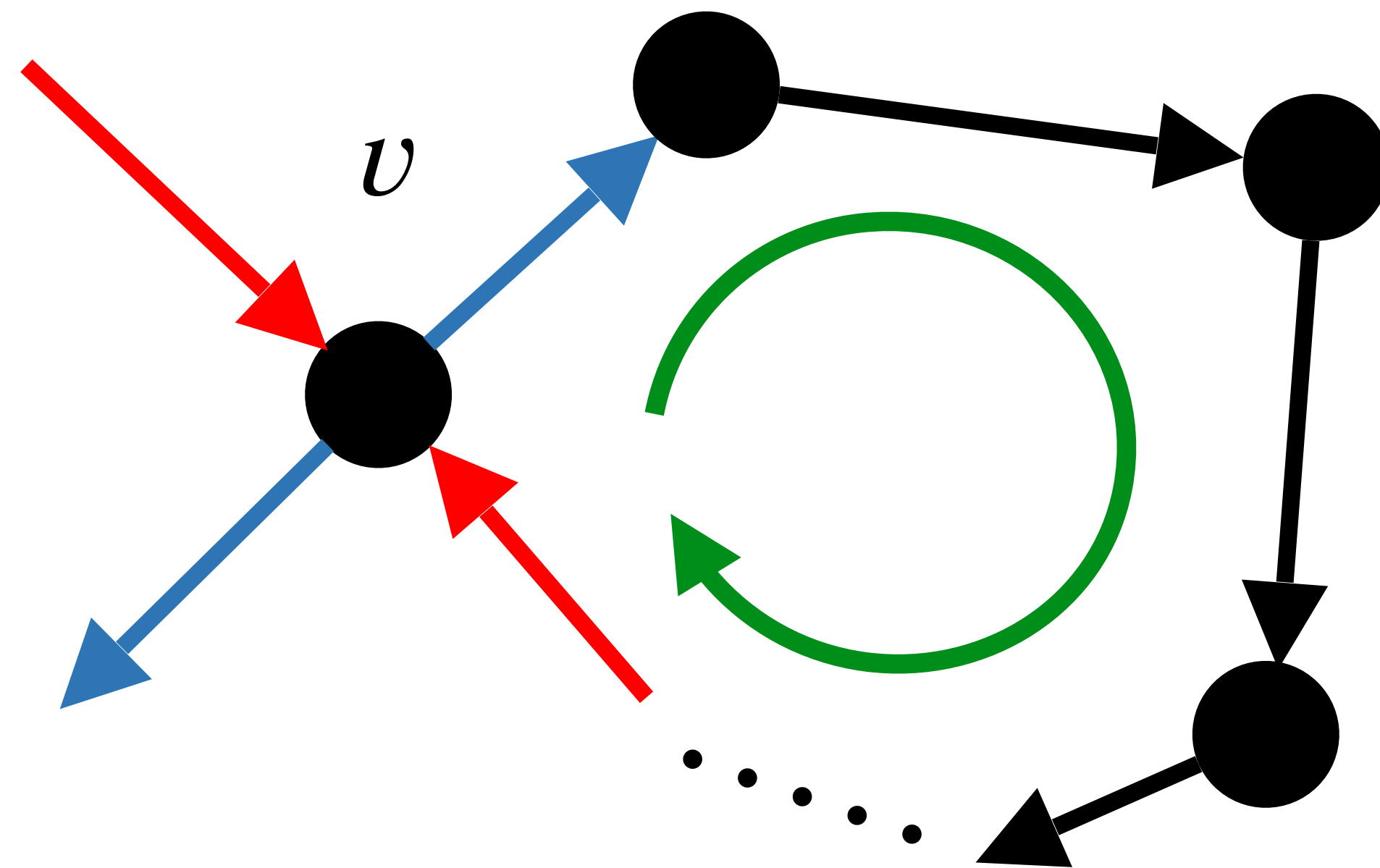


これ以降、扱う有向グラフは  
 $deg^+(v) = deg^-(v)$ となるグラフ  
(正則有向グラフ, Regular digraph)  
とする。

# 有向グラフの閉曲面への埋め込み

## Observation 2.

閉曲面  $F$  に埋め込まれた有向グラフ  $D$  の各面は有向閉路となる。



# 有向グラフの閉曲面への埋め込み

## Observation 2.

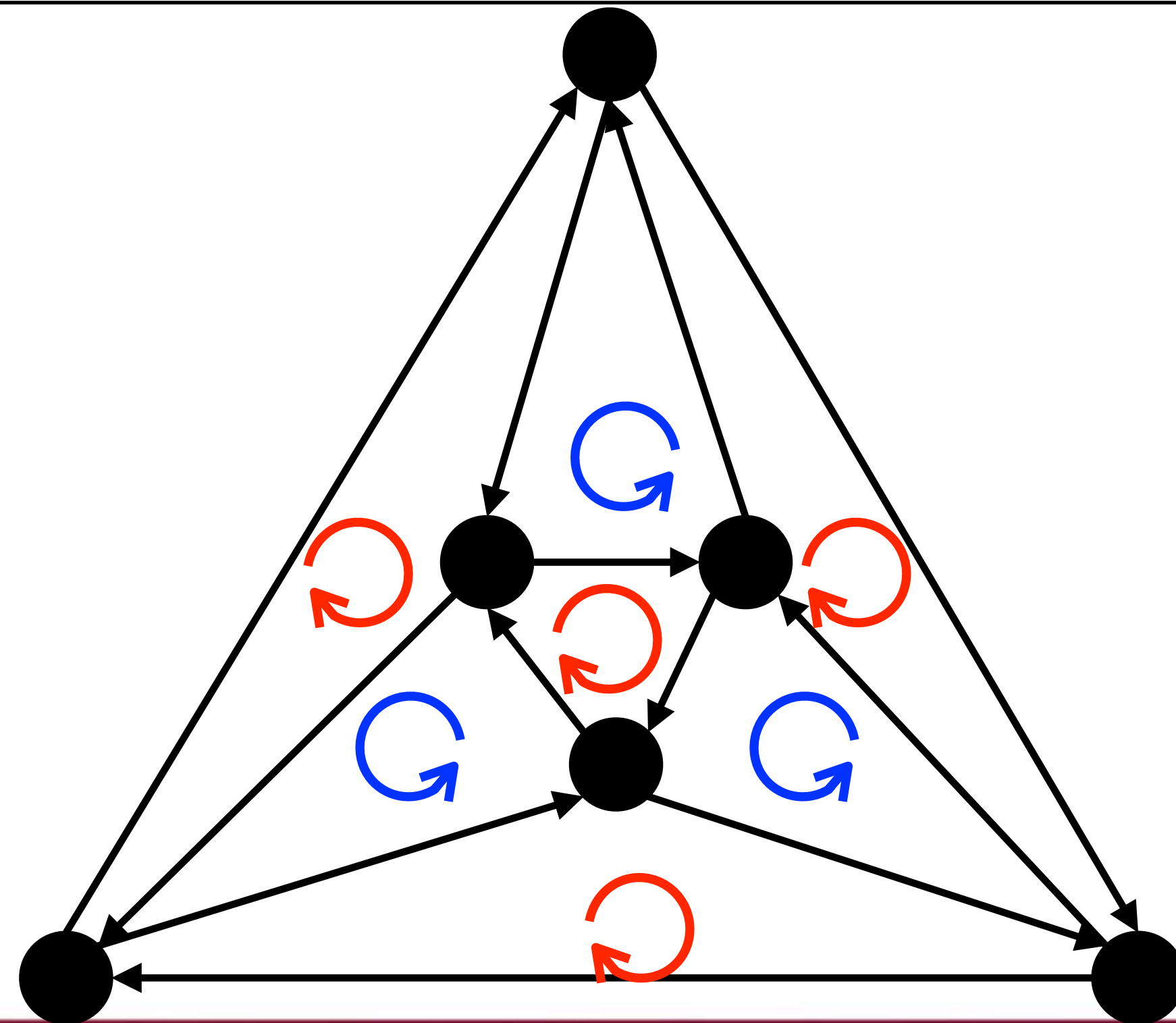
閉曲面  $F$  に埋め込まれた有向グラフ  $D$  の各面は有向閉路となる。

## Observation 3.

閉曲面  $F$  に有向グラフ  $D$  が埋め込み可能であることと、 $F$  において  $D$  (の無向基礎グラフ) が face 2-colorable であることは同値である。

# Observation 3.

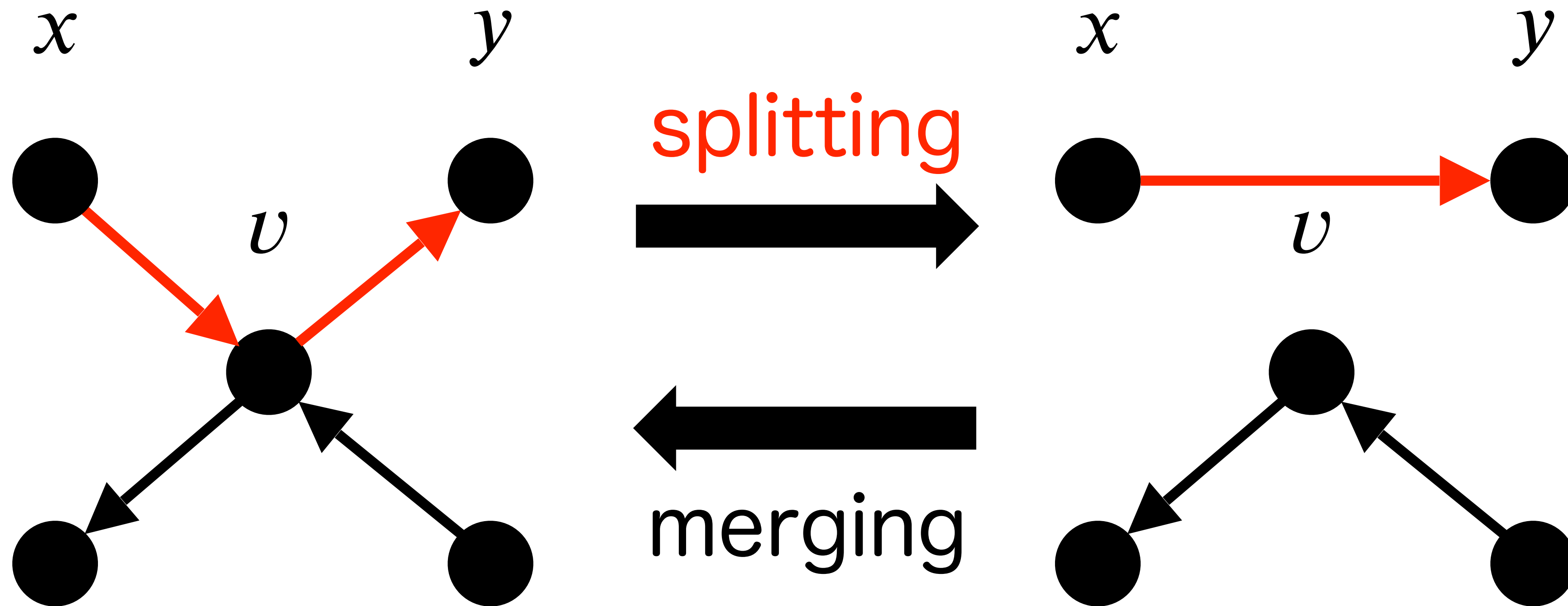
閉曲面  $F$  に有向グラフ  $D$  が埋め込み可能であることと、 $F$  において  $D$  (の無向基礎グラフ) が face 2-colorable であることは同値である。



# 有向グラフの埋め込みの性質を保存する局所変形

## Definition (Splitting).

有向グラフにおける頂点  $v$  の **splitting** とは, 有向辺  $\{x, v\}, \{v, y\}$  を除去し, 新たな有向辺  $\{x, y\}$  を加える操作.

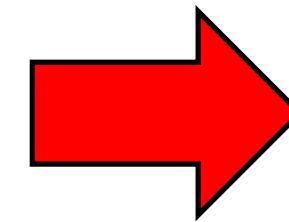
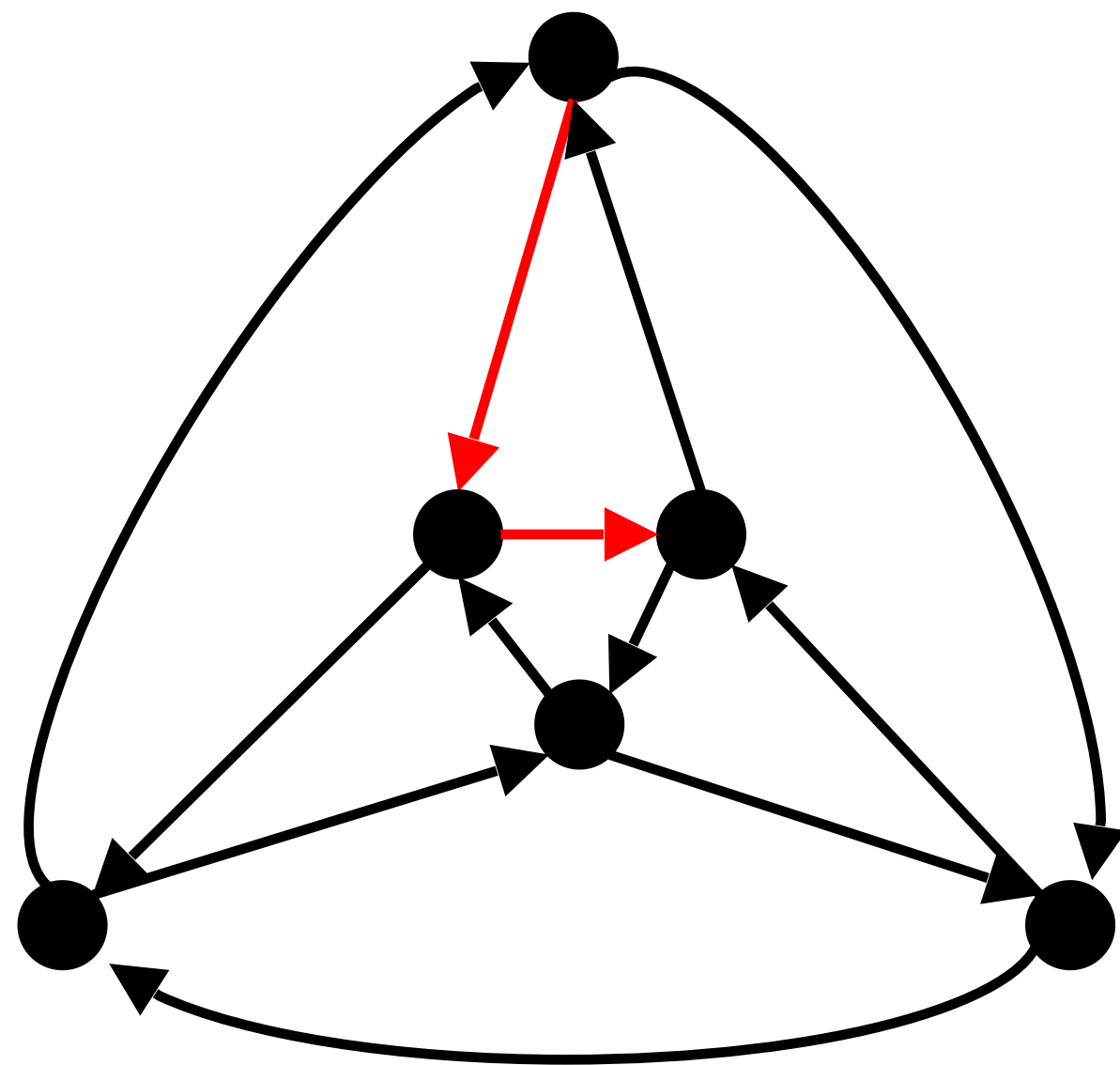


# 有向グラフの埋め込みの性質を保存する局所変形

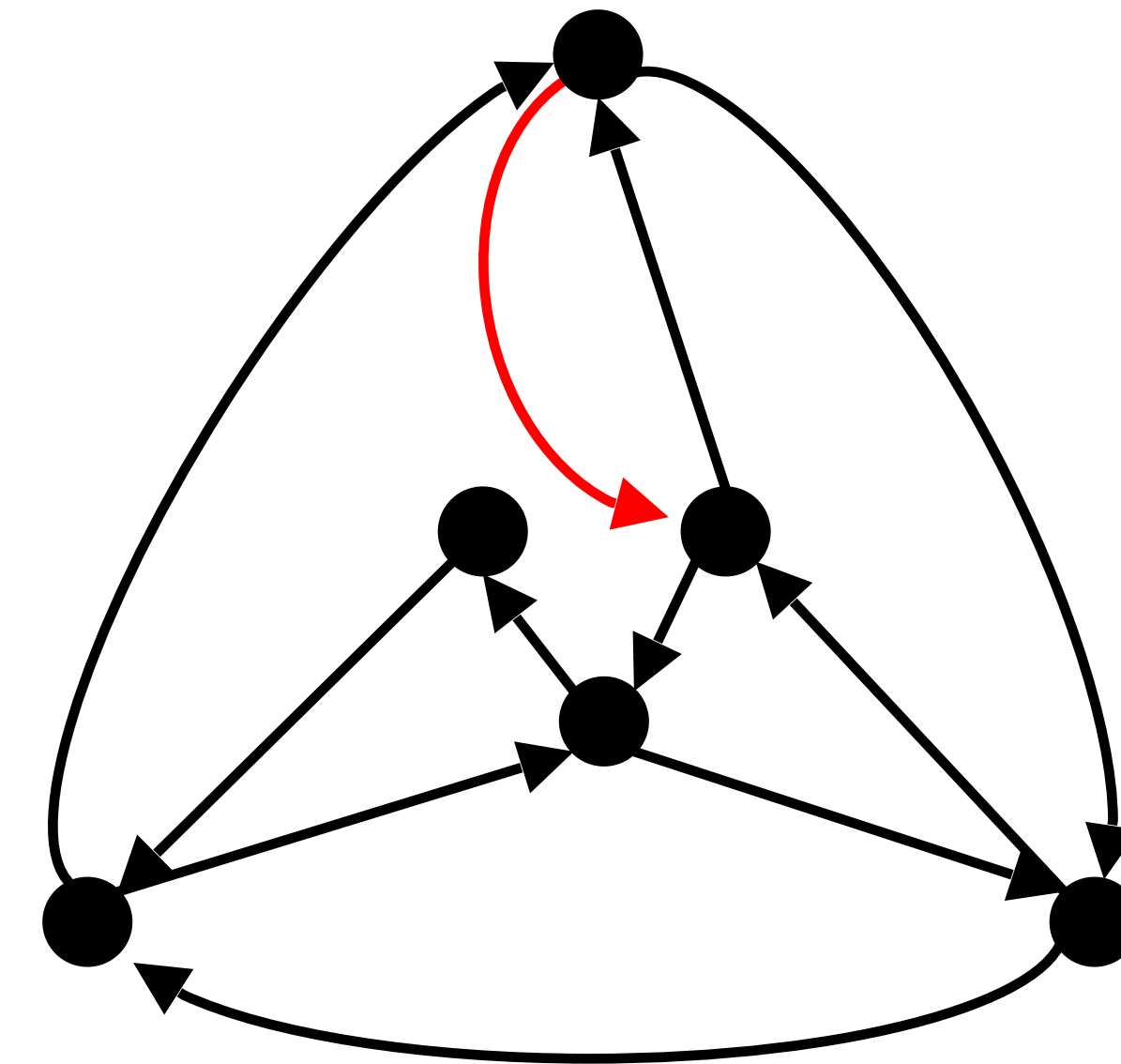
## Definition (Immersion).

有向グラフ  $K$  が有向グラフ  $G$  から splitting を繰り返して得られるグラフであるとき、 $K$  は  $G$  の **immersion** と呼ぶ。

グラフ  $G$

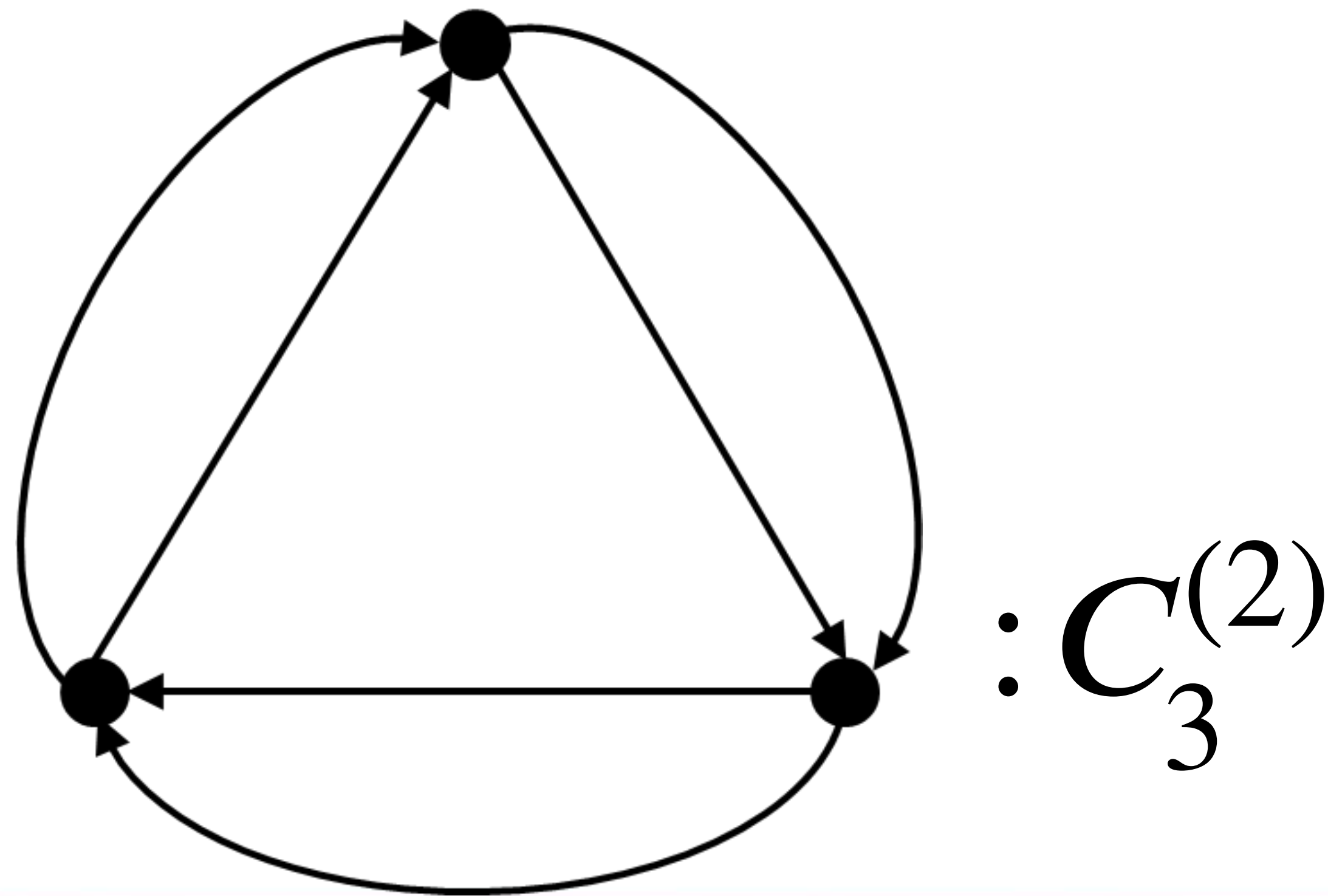


グラフ  $K$



# Theorem C (Johnson).

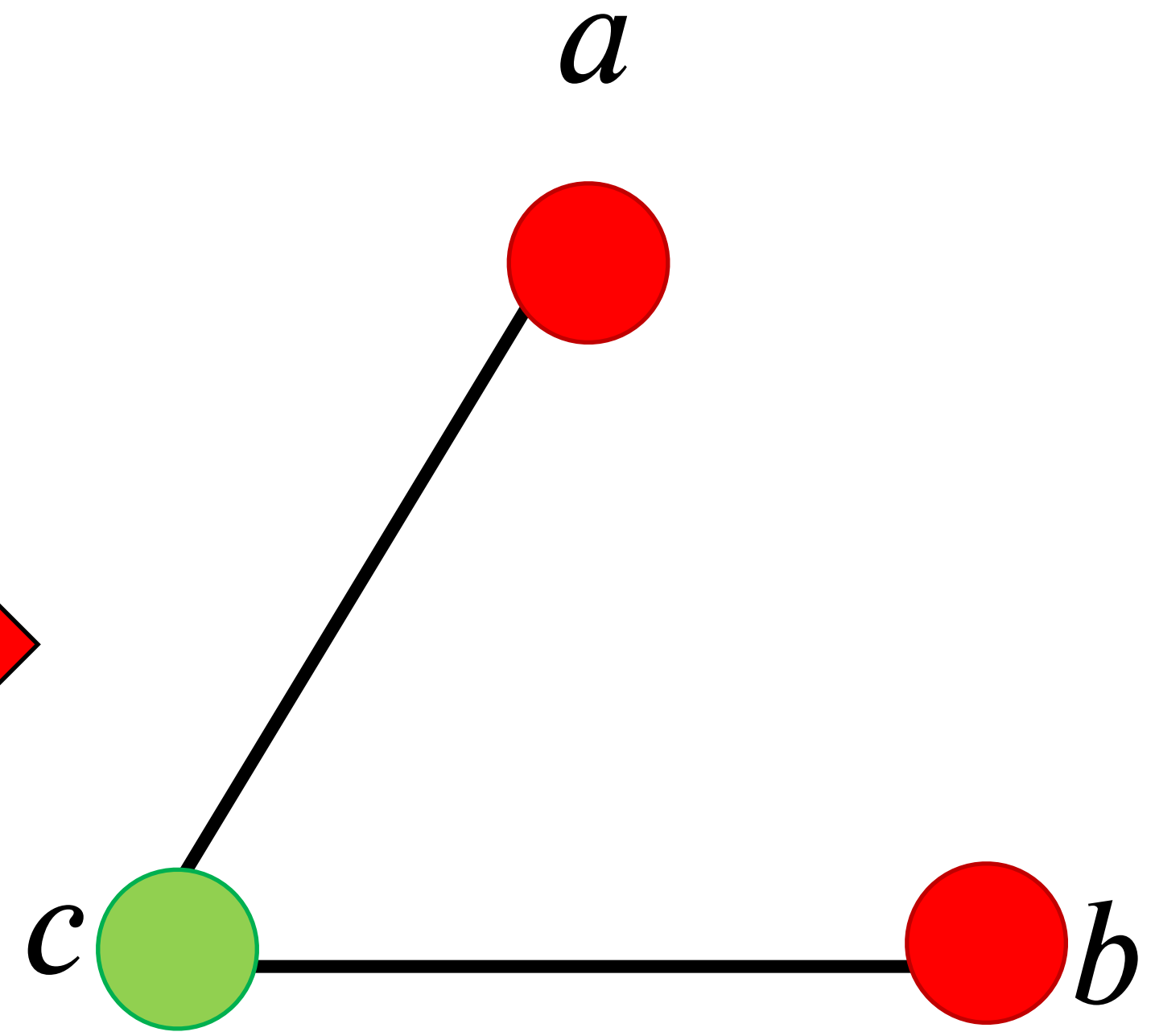
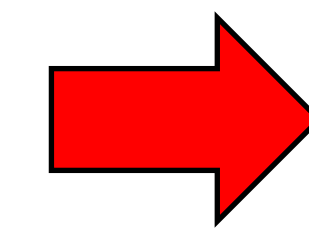
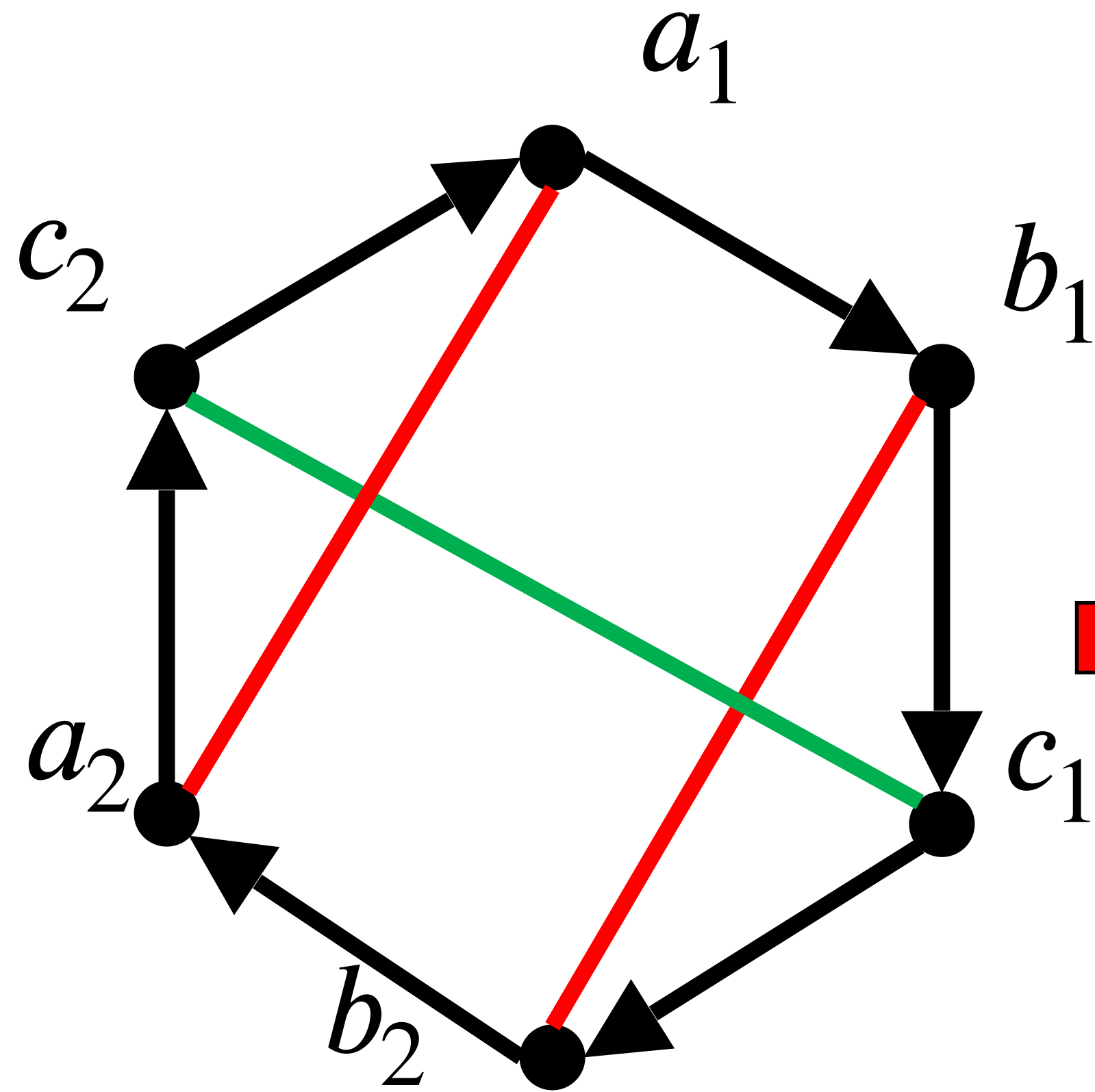
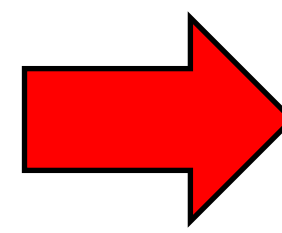
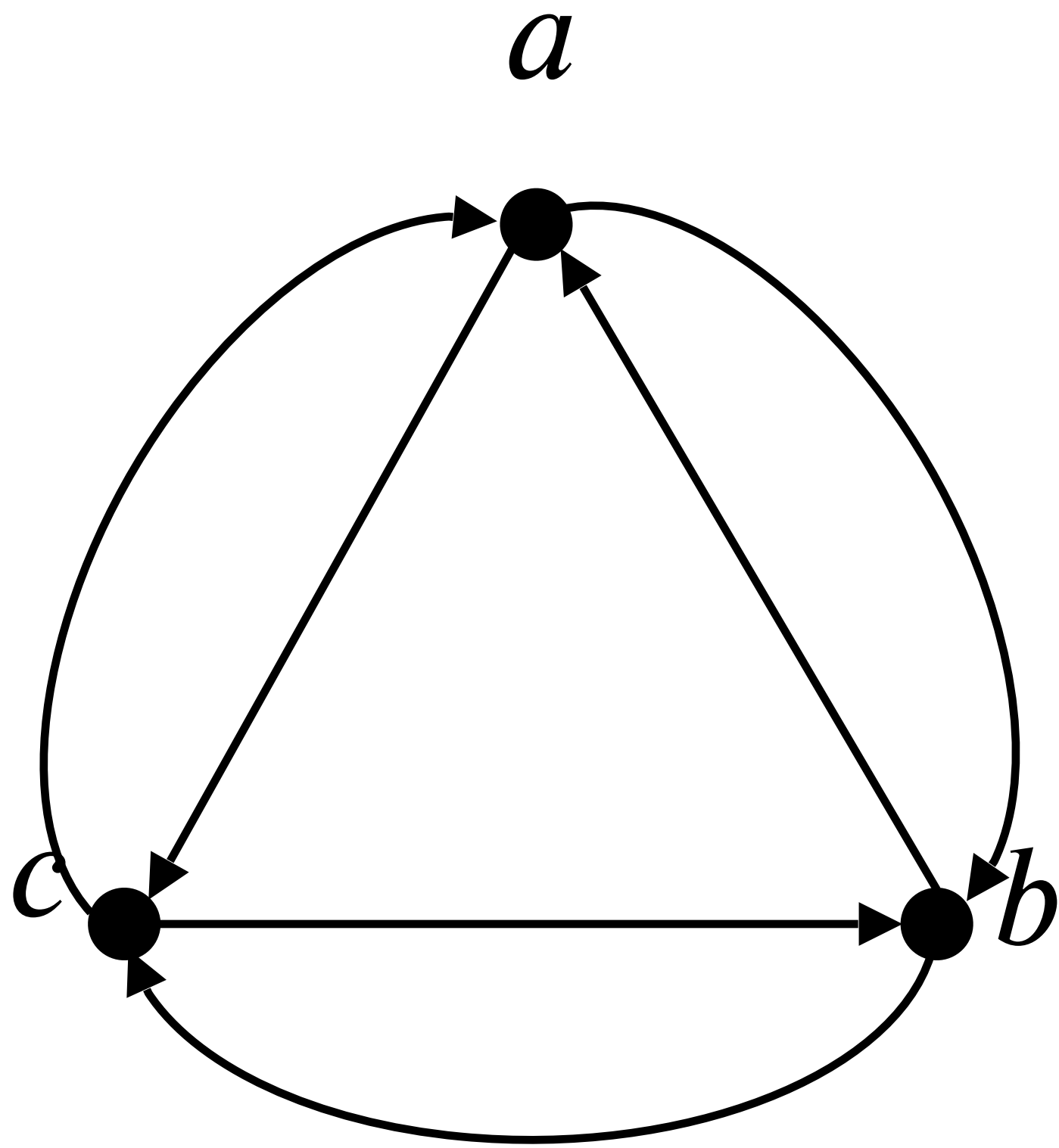
2-正則有向グラフ  $D$  が平面埋め込み可能である必要十分条件は  $D$  が  $C_3^{(2)}$  を immersion として含まないことである.



# 証明のアイデア

(平面埋め込み可能性の判定)

Note.  
Circle graphが2部グラフ  
 $\leftrightarrow D$ は平面埋め込み可能



circle graph

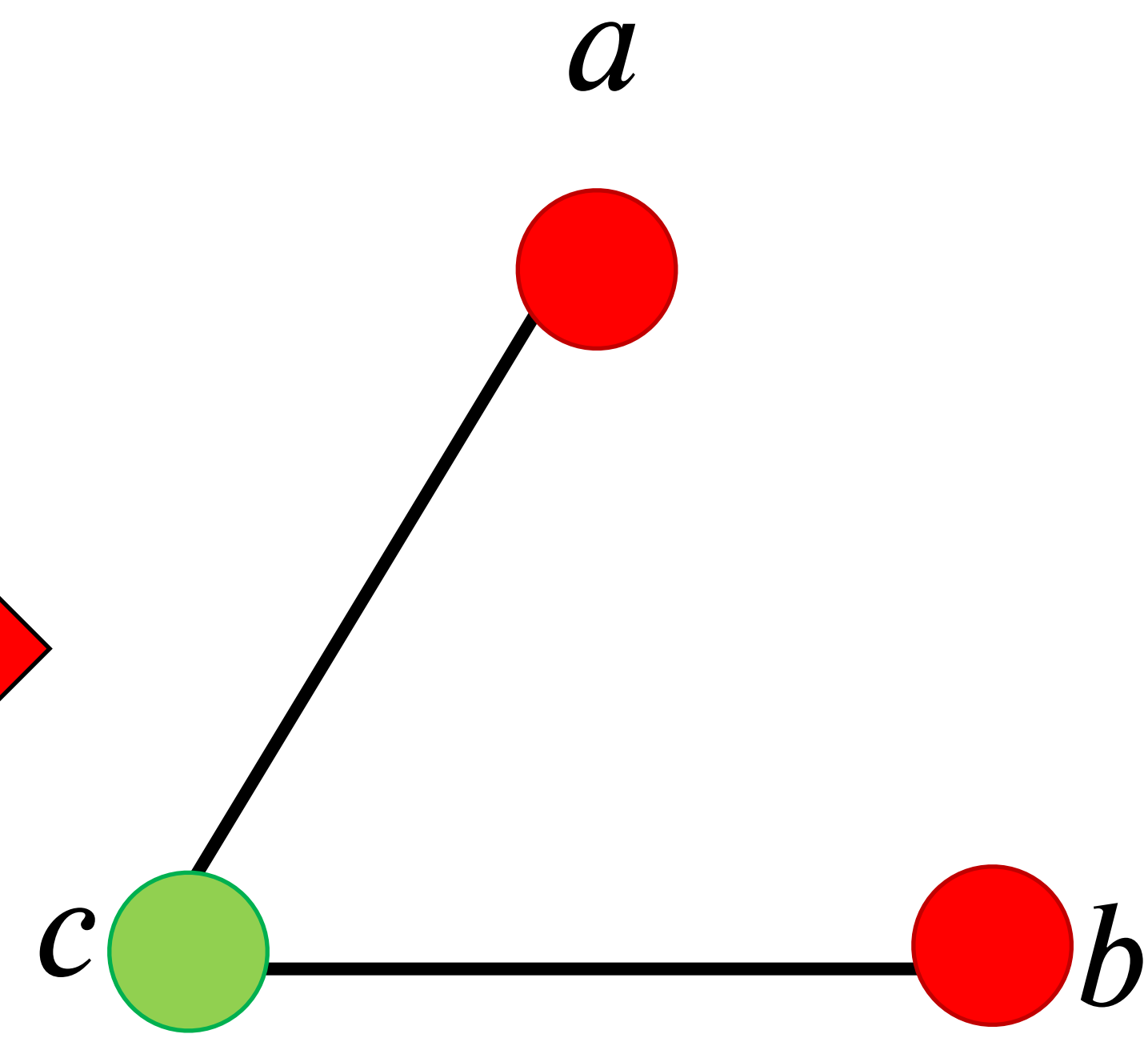
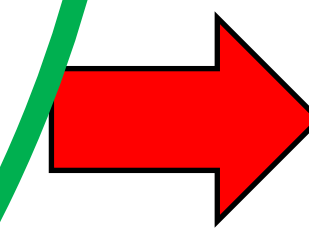
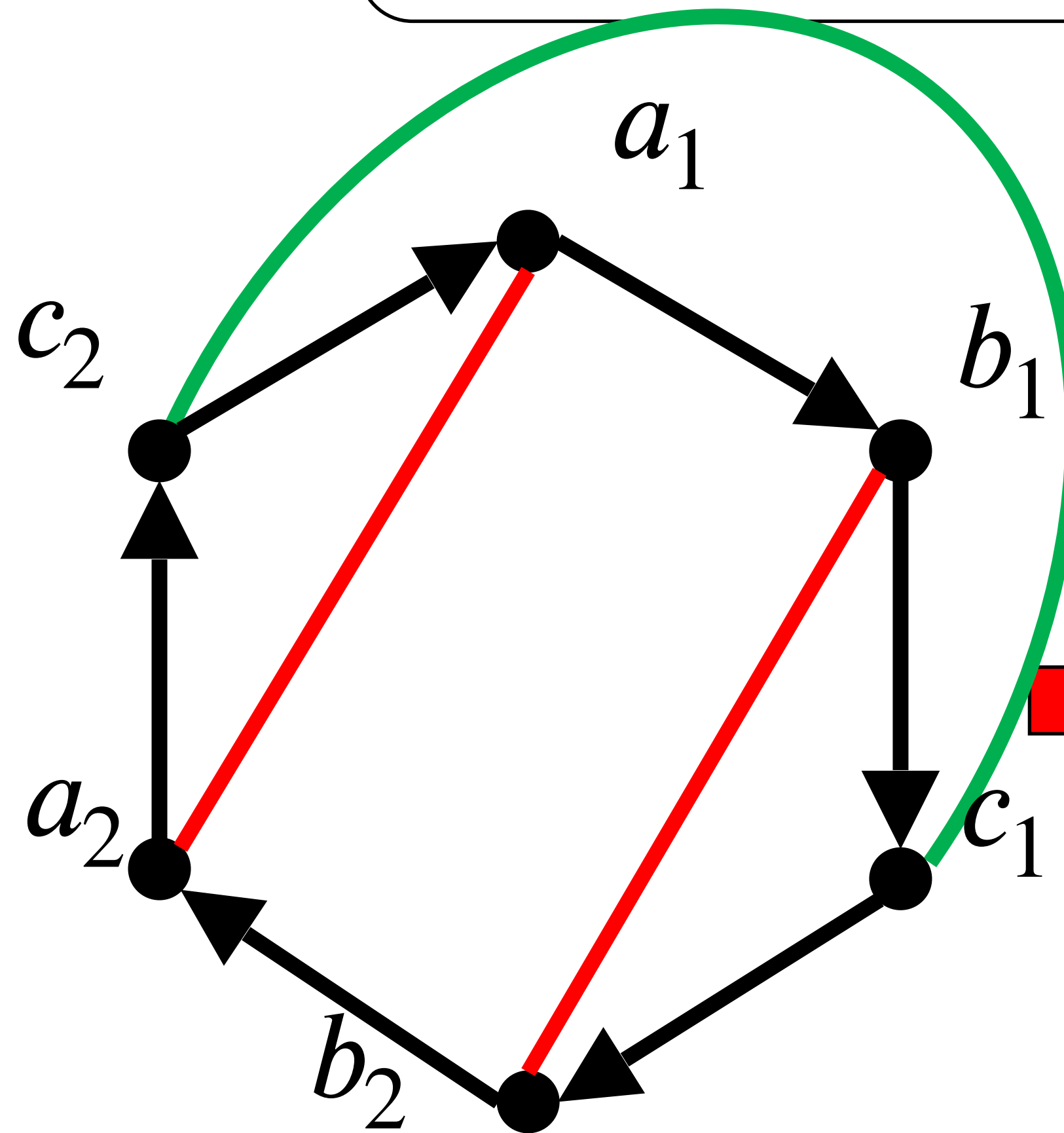
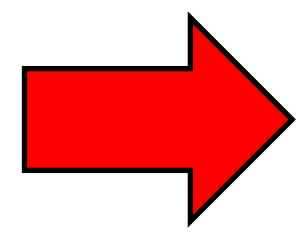
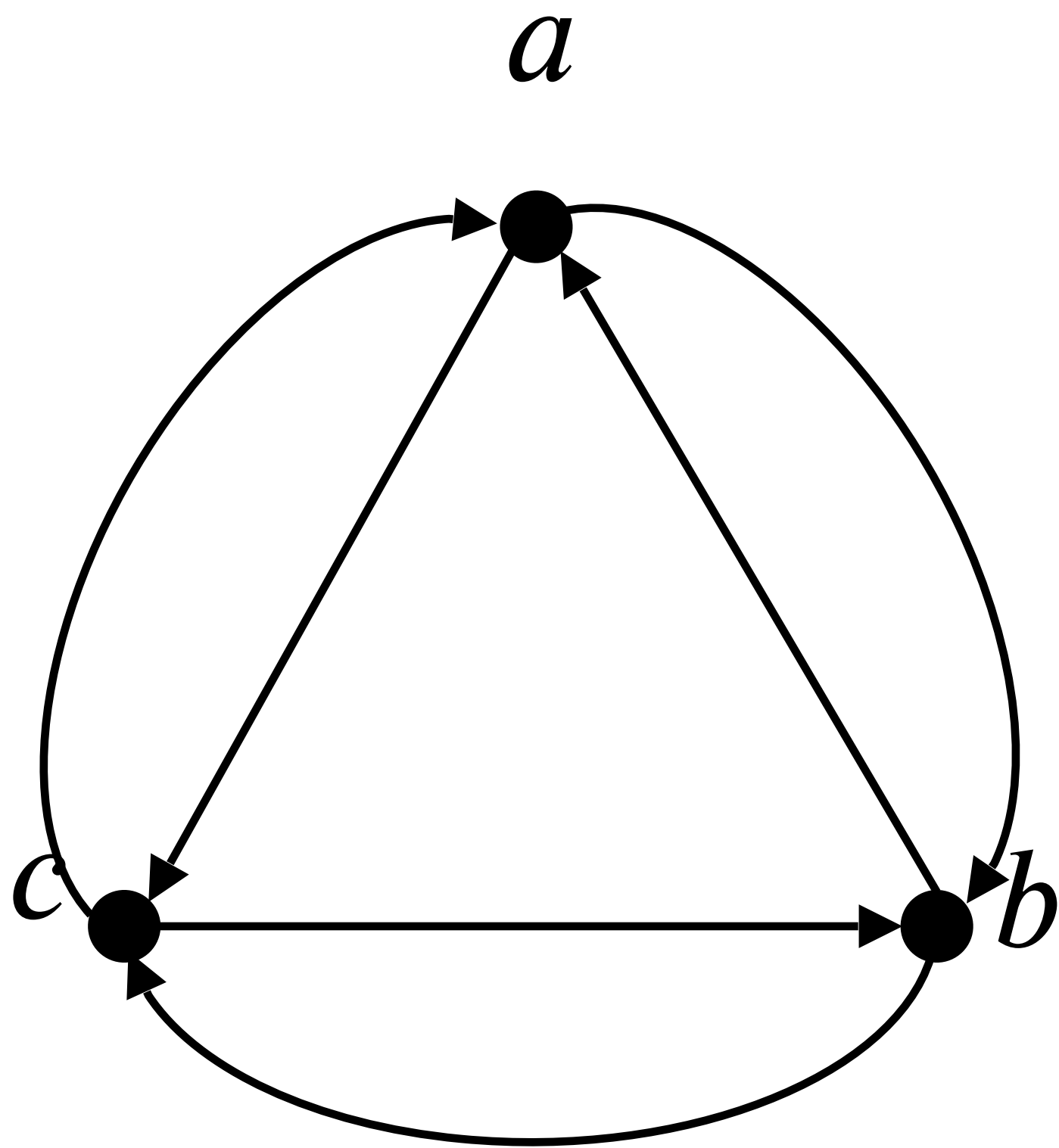
平面埋め込み可能な例



# 証明のアイデア

(平面埋め込み可能性の判定)

Note.  
Circle graphが2部グラフ  
 $\leftrightarrow D$ は平面埋め込み可能



circle graph

平面埋め込み可能な例

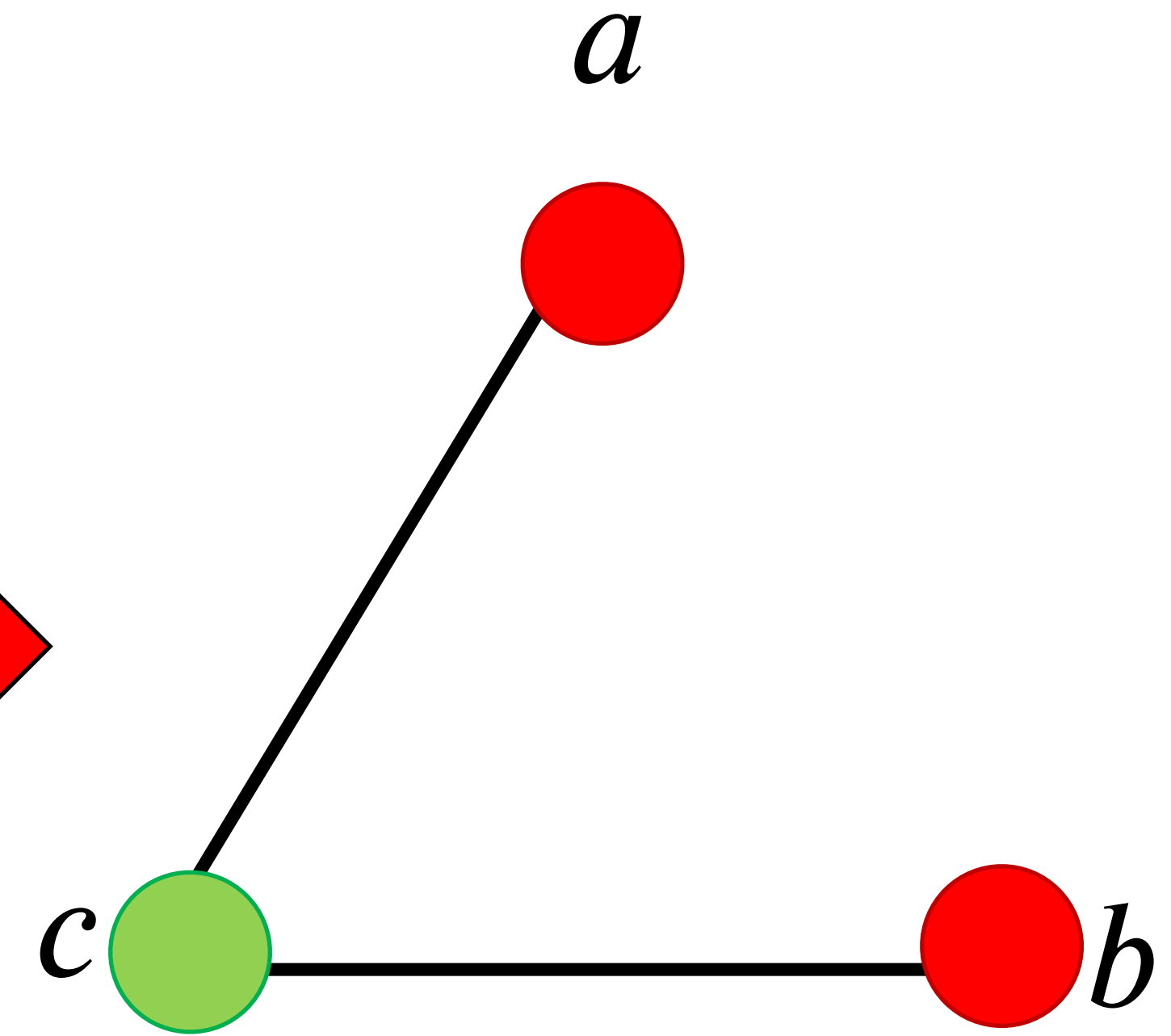
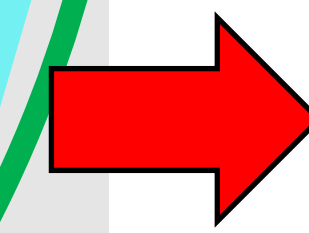
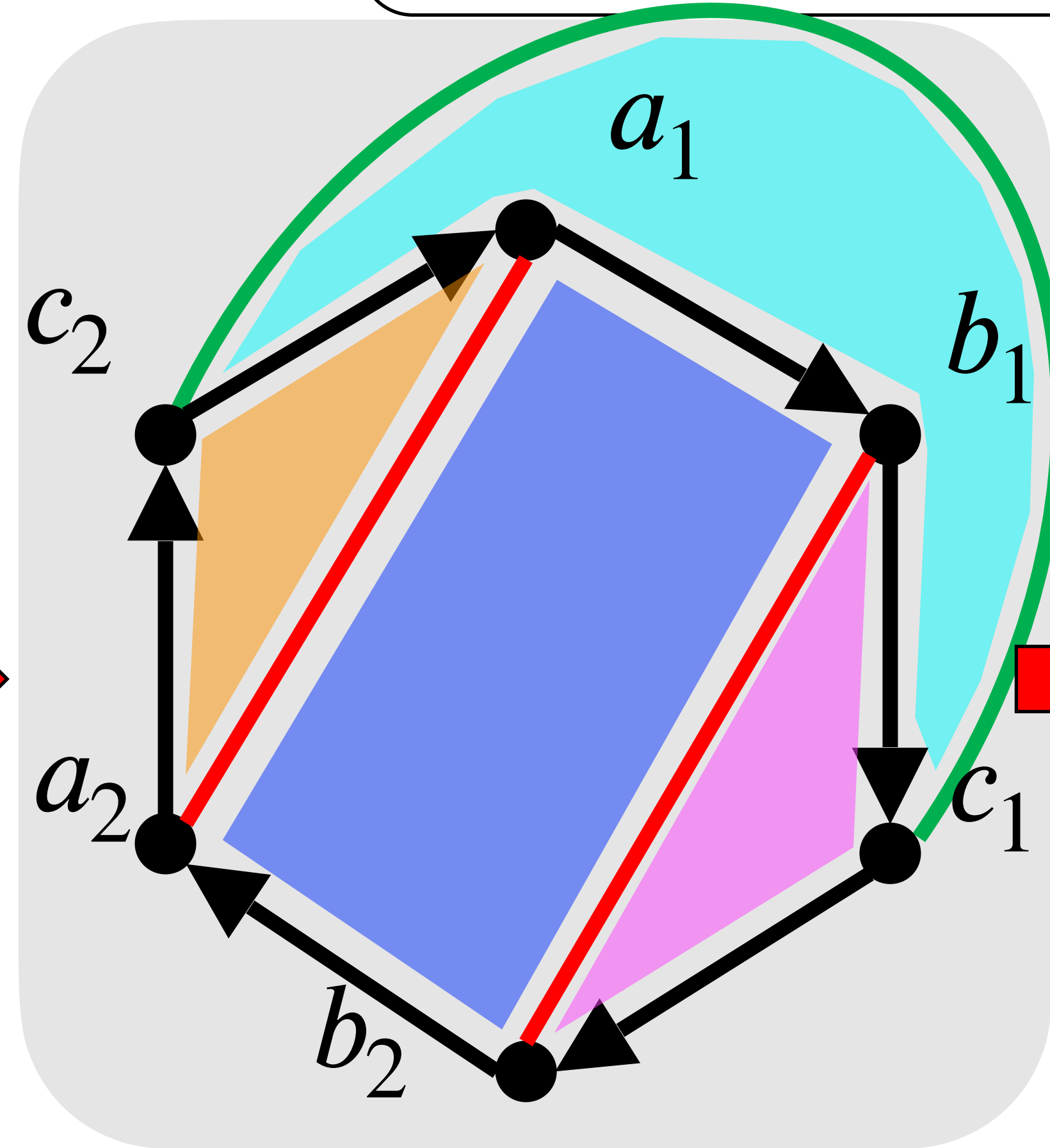
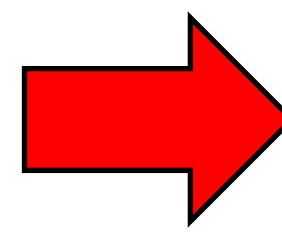
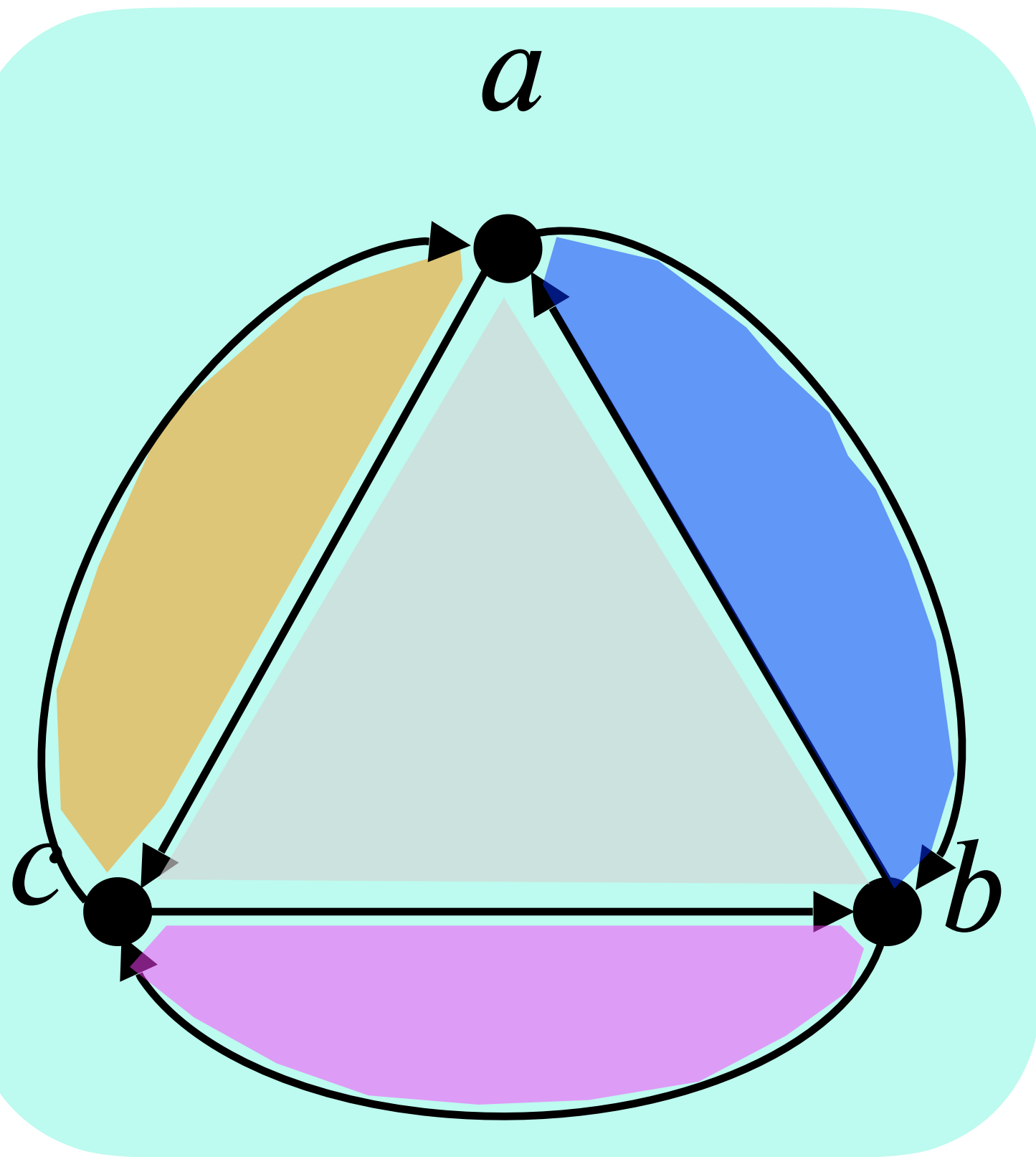
# 証明のアイデア

(平面埋め込み可能性の判定)

Note.

Circle graphが2部グラフ

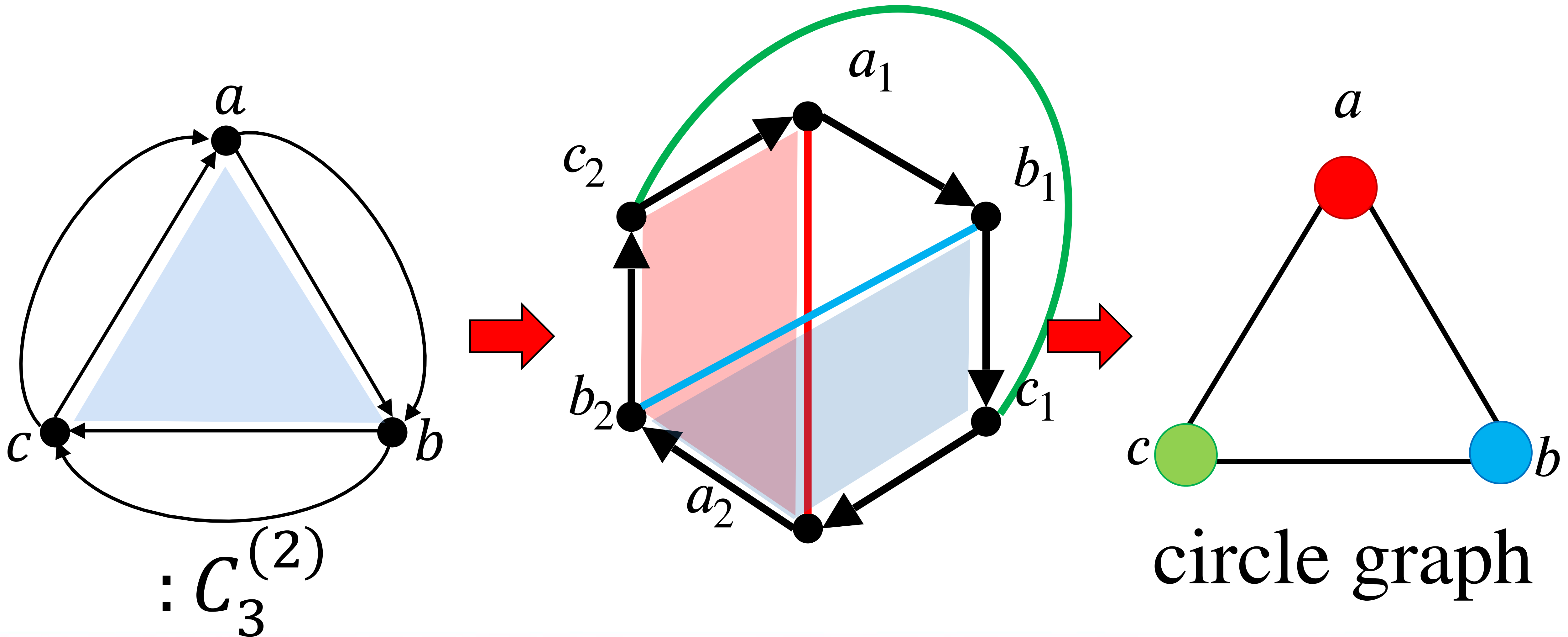
$\leftrightarrow D$ は平面埋め込み可能



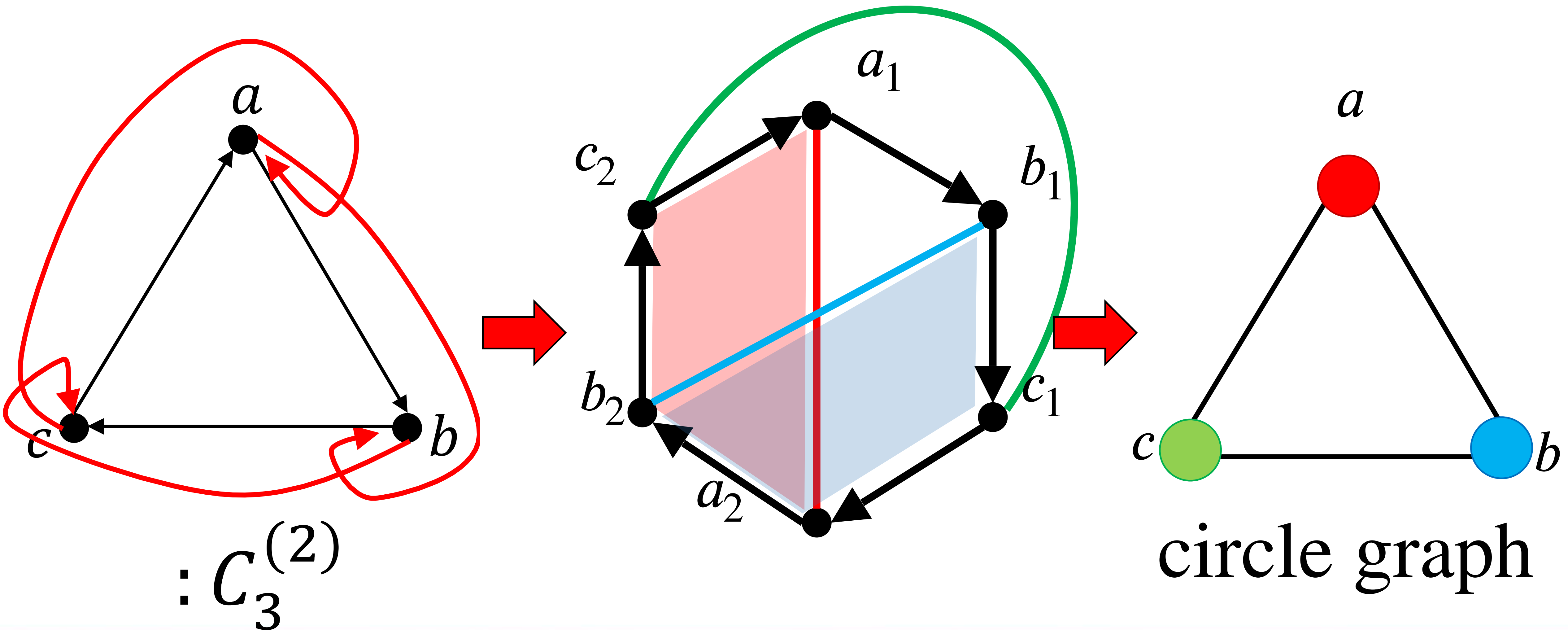
circle graph

平面埋め込み可能な例

一方で  $C_3^{(2)}$  の場合は...



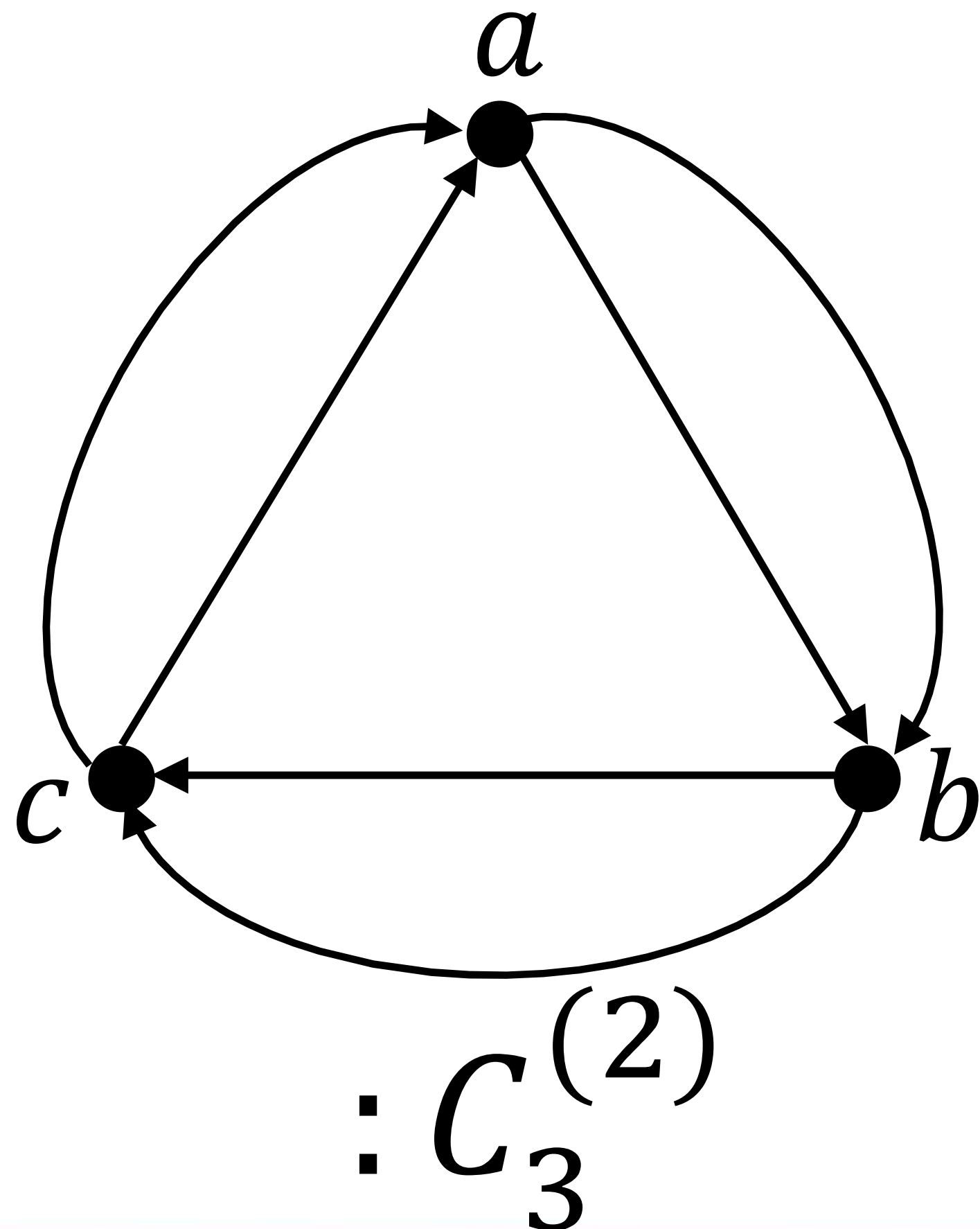
一方で  $C_3^{(2)}$  の場合は...



# 証明のアイデア

Lemma D.

$C_3^{(2)}$  は平面埋め込み不可能である。



Observation 2(再掲).

閉曲面  $F$  に埋め込まれた有向グラフ  $D$  の各面は有向閉路となる. (今回は3角形)

Observation 2'.

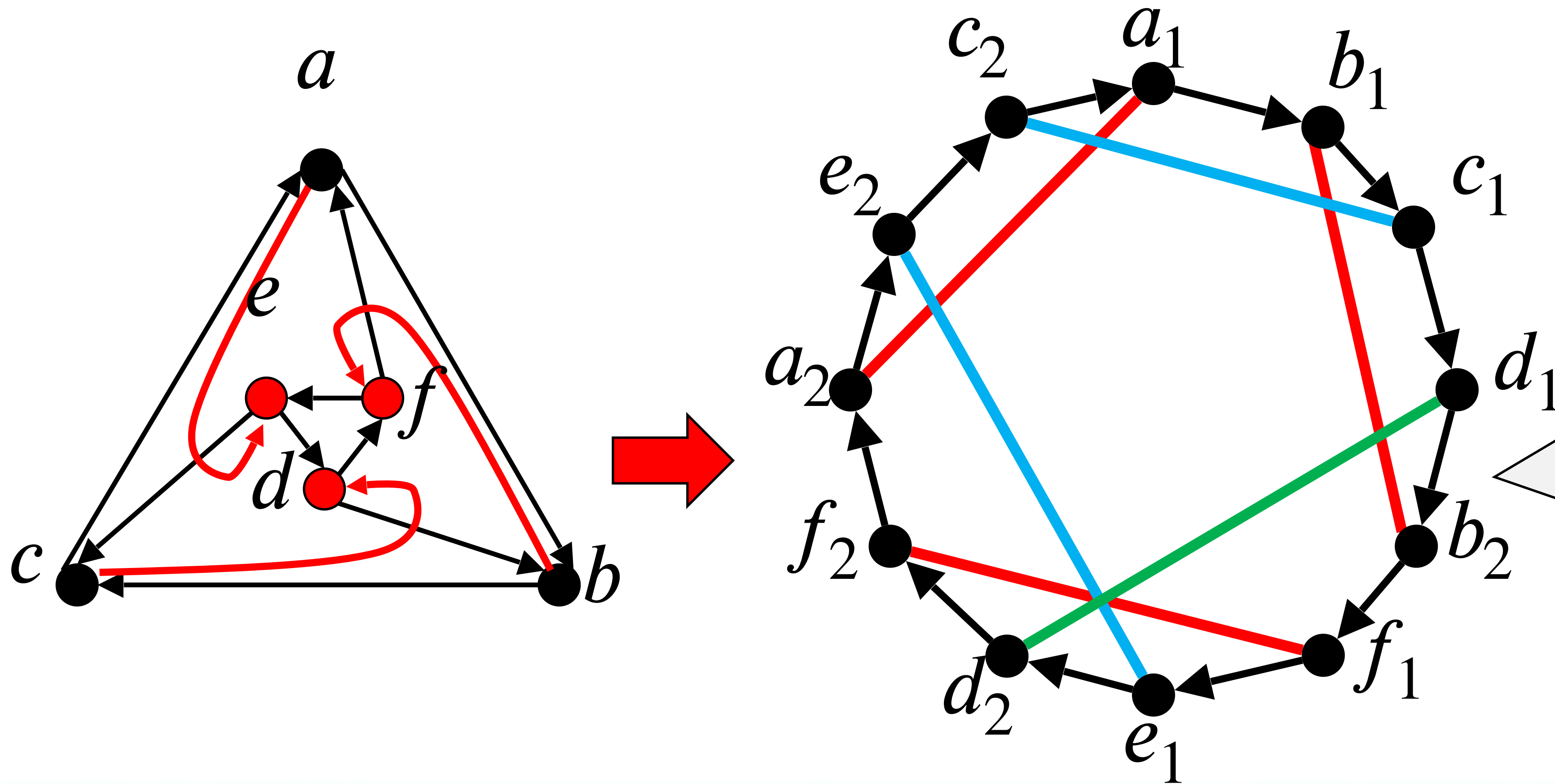
閉曲面  $F$  に埋め込まれた有向グラフ  $D$  の各辺は2つの有向閉路に含まれるとなる.

$$\Rightarrow V - E + F \leq 3 - 6 + \frac{12}{3} = 1$$

# 実際にやってみると

Lemma E.

平面埋め込み不可能な正則有向グラフは $C_3^{(2)}$ をimmersionとして含む。

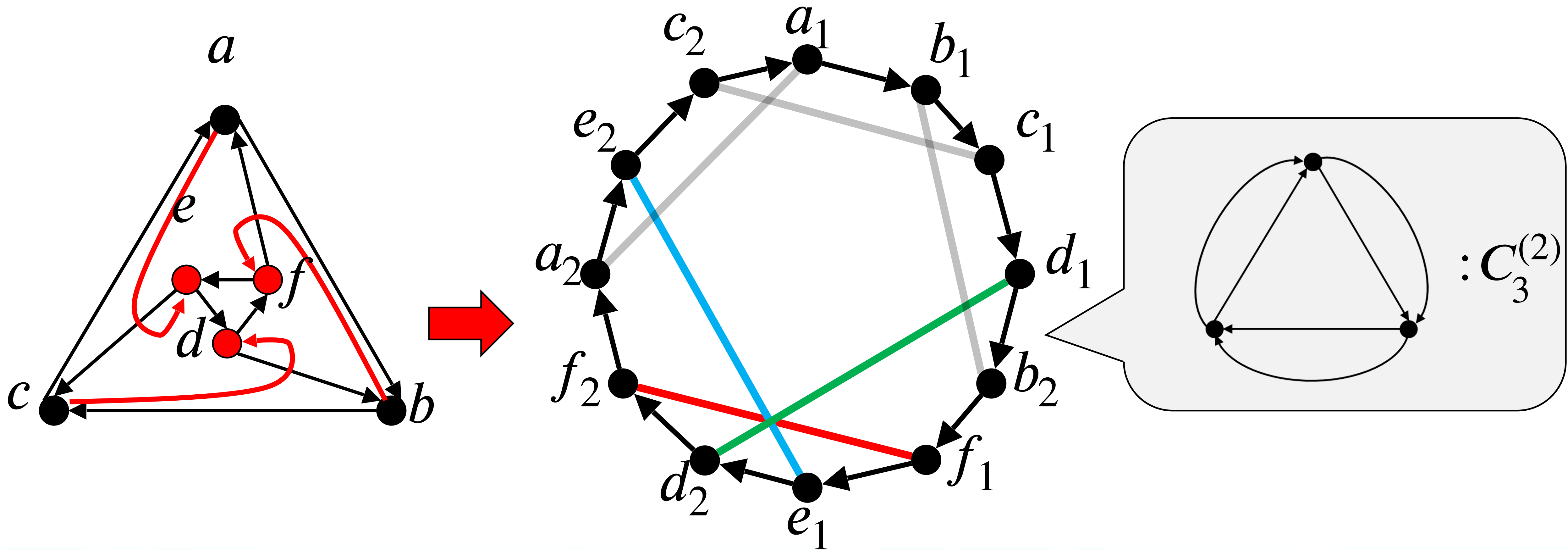


Circle graphが  
非2部的に  
なるようなもの

# 実際にやってみると

Lemma E.

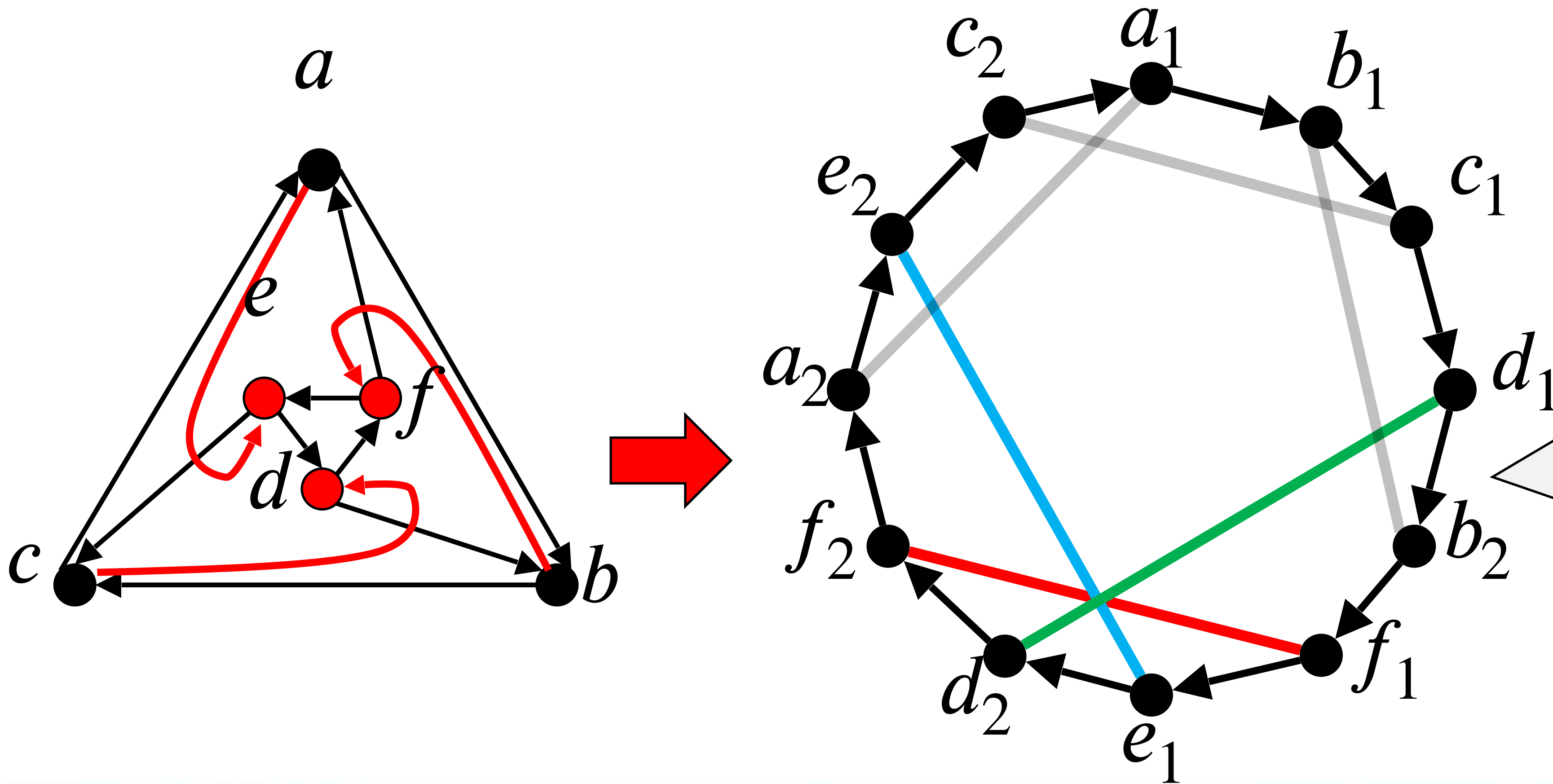
平面埋め込み不可能な正則有向グラフは $C_3^{(2)}$ をimmersionとして含む。



# 実際にやってみると

Lemma E.

平面埋め込み不可能な正則有向グラフは $C_3^{(2)}$ をimmersionとして含む。



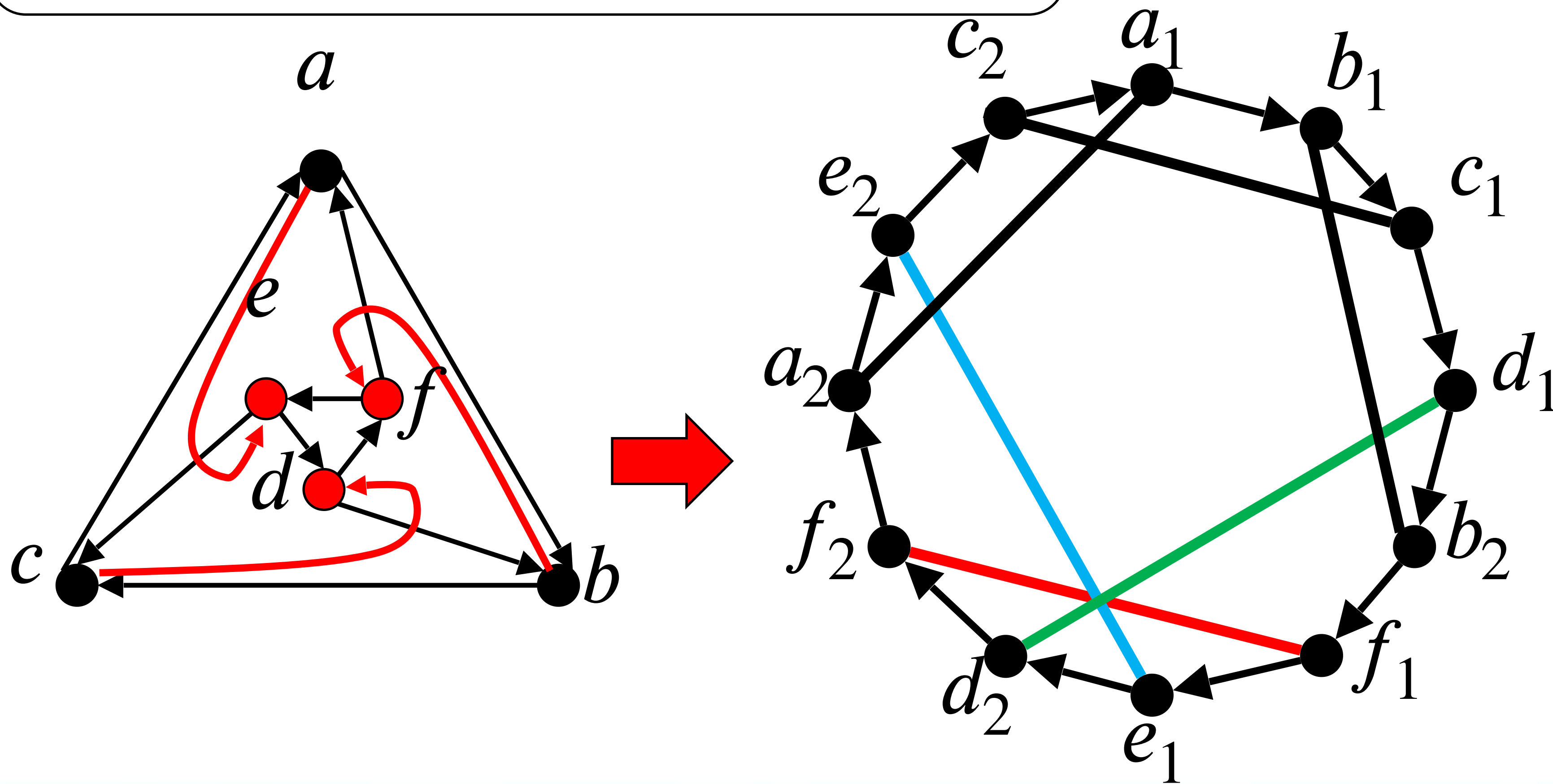
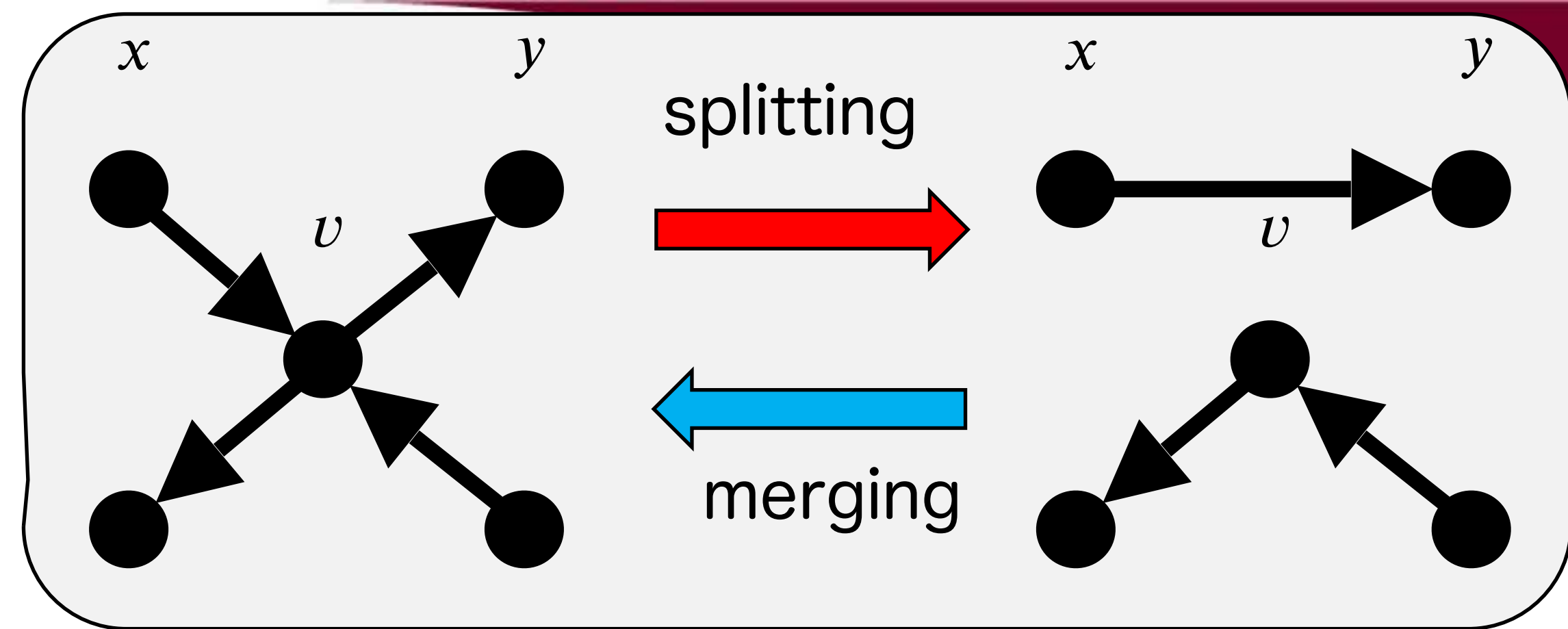
この3頂点以外の点  
でsplittingを行う。



# 実際にやってみると

Note.

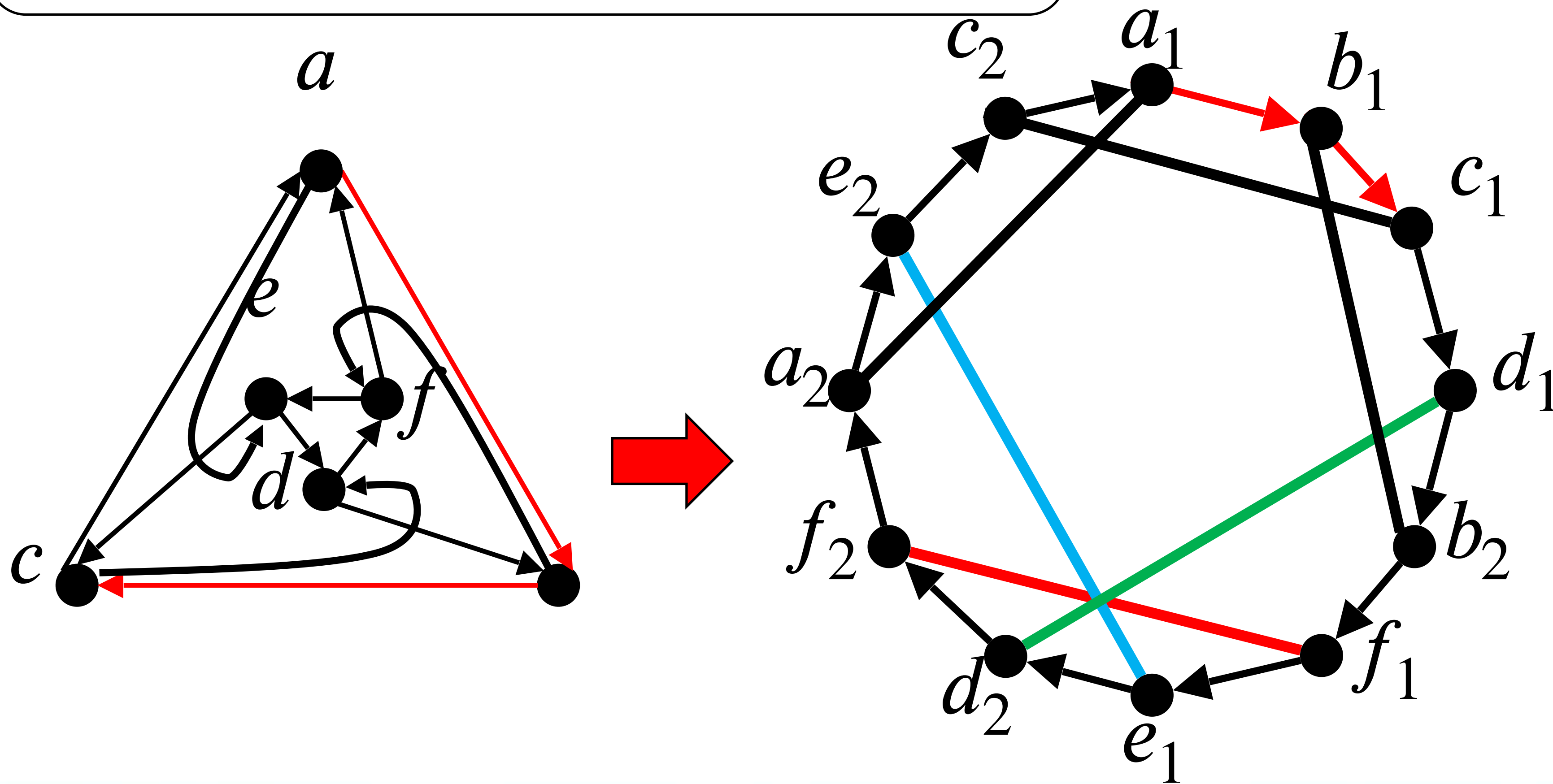
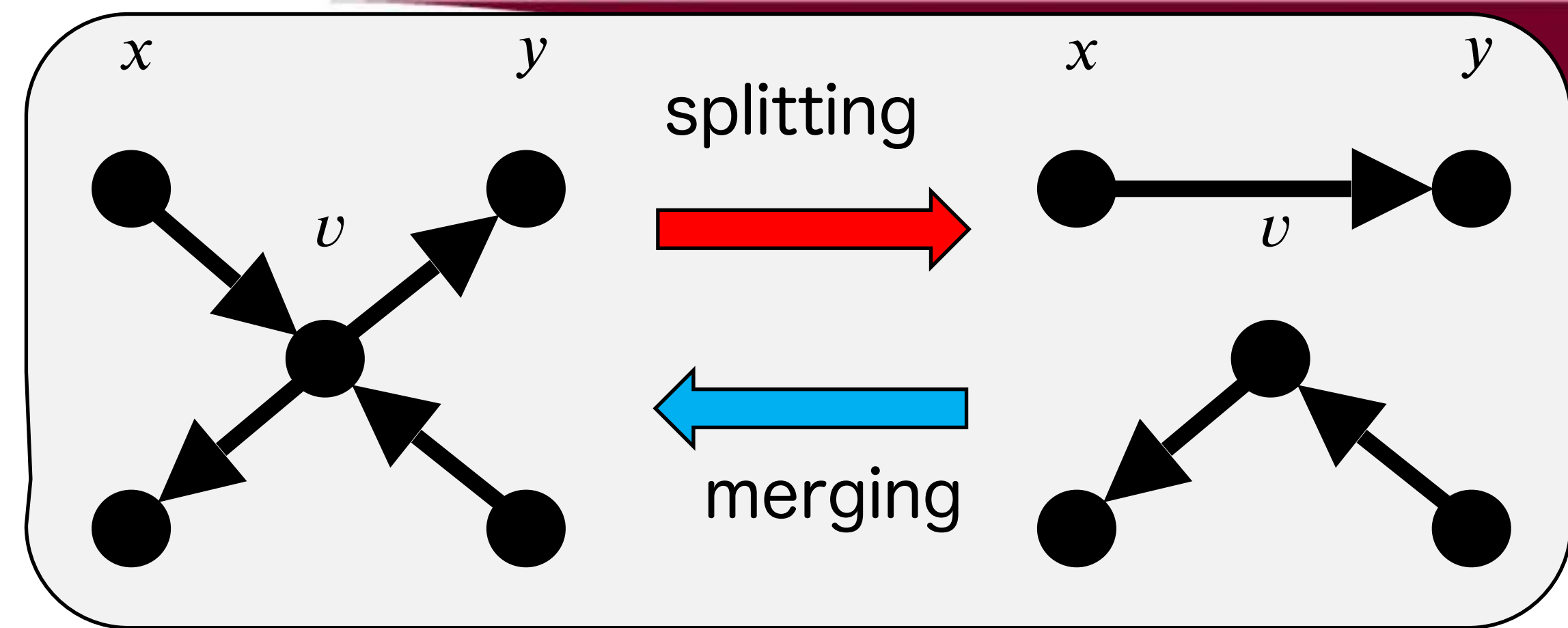
有向閉路の点に1回のsplittingを行うと，有向閉路の長さが1減る。



# 実際にやってみると

Note.

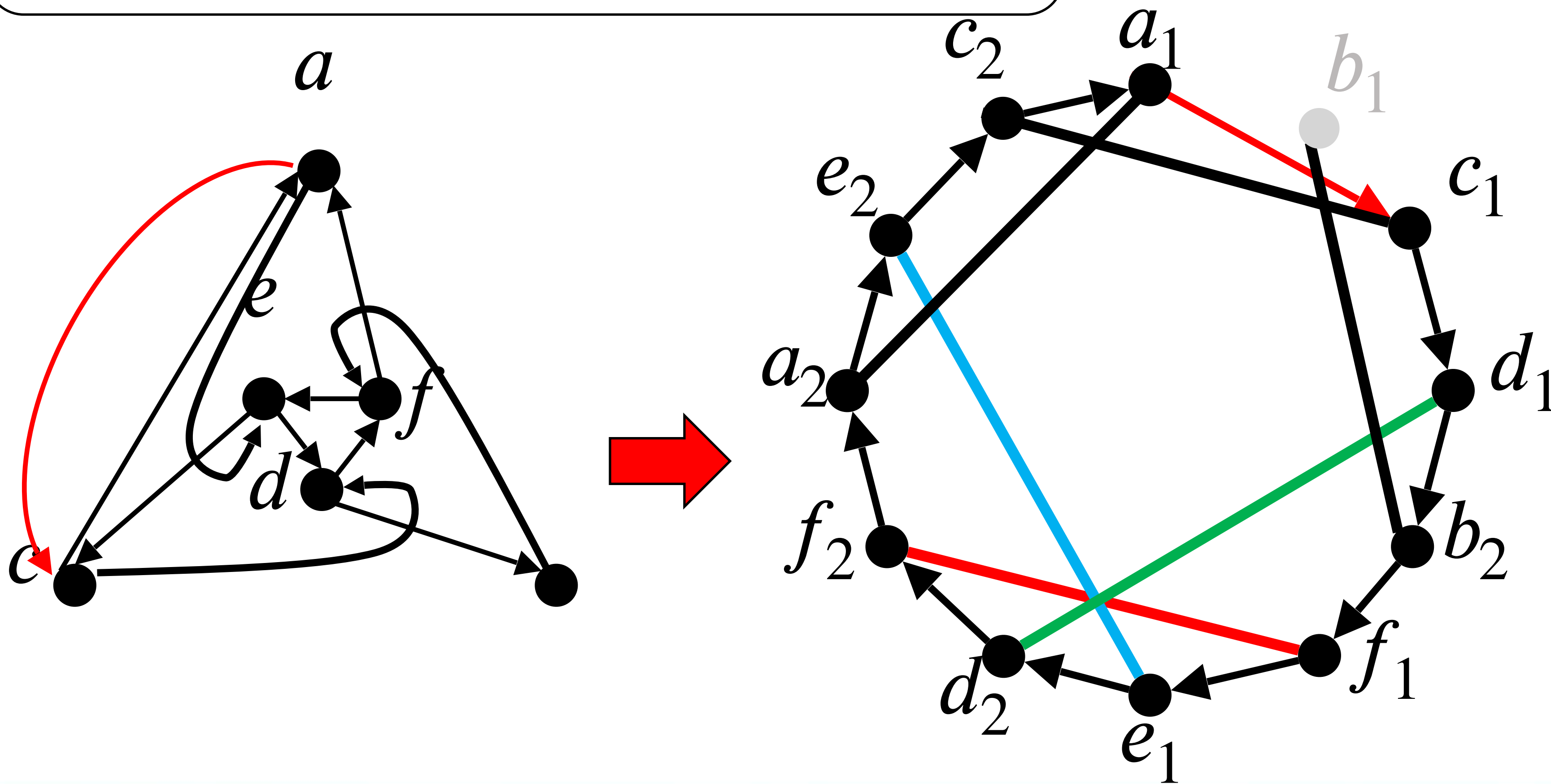
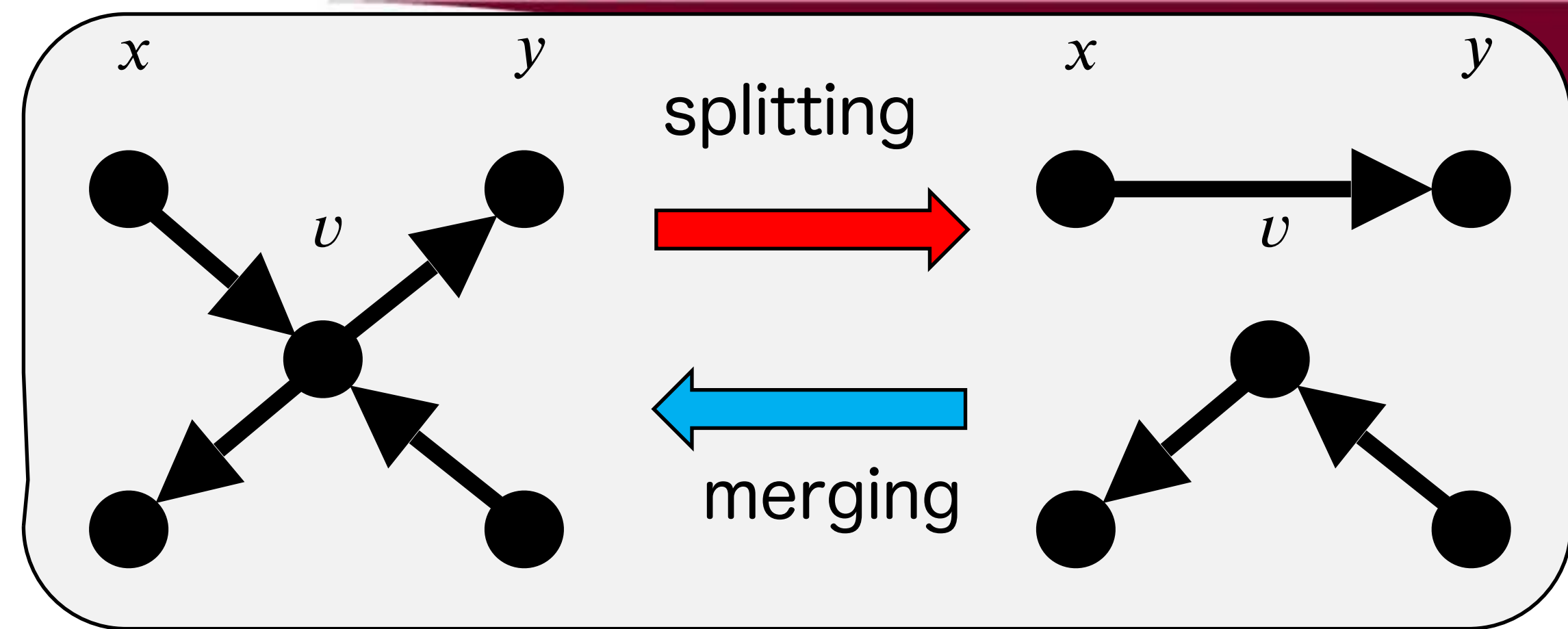
有向閉路の点に1回のsplittingを行うと，有向閉路の長さが1減る。



# 実際にやってみると

Note.

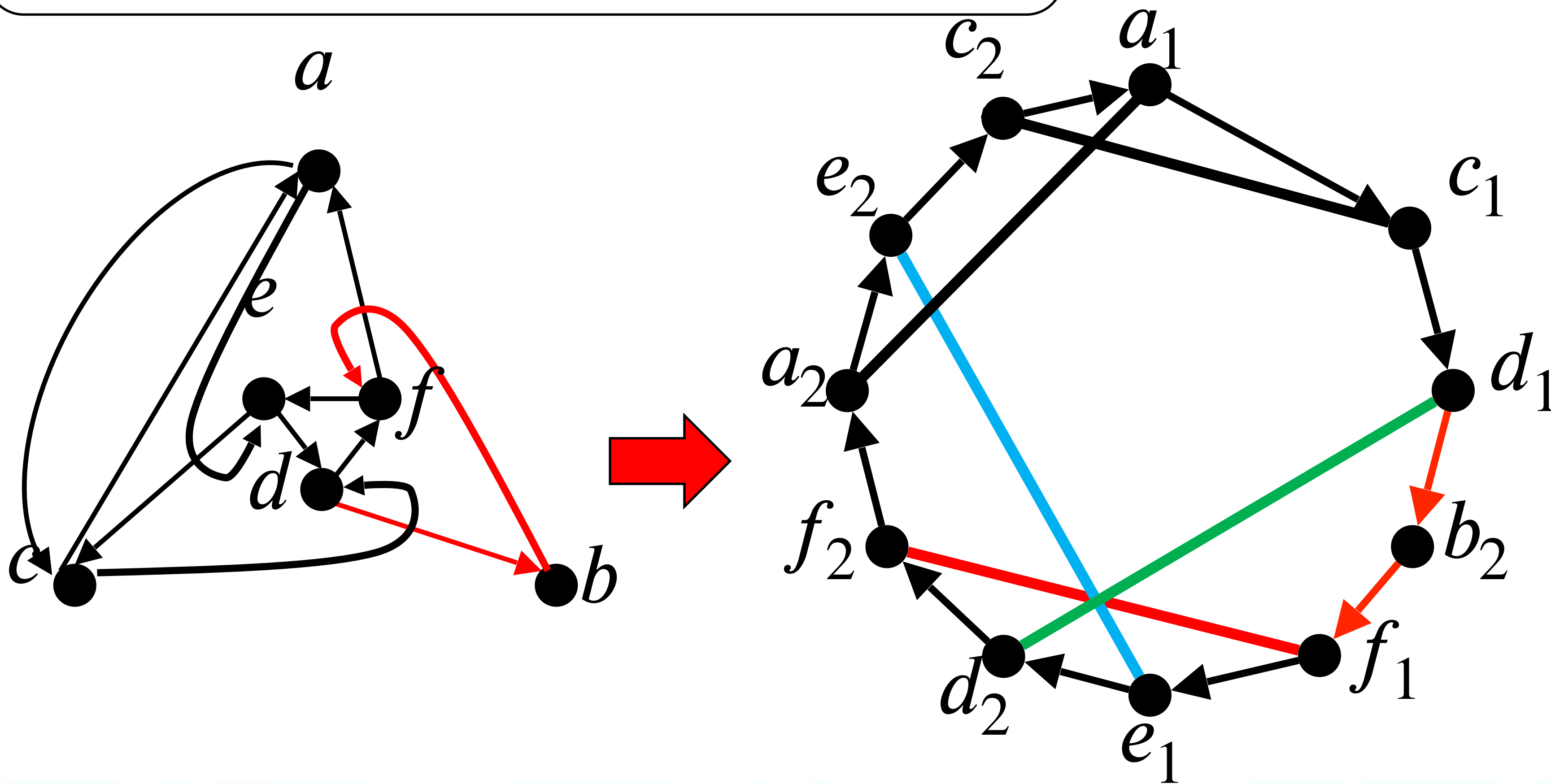
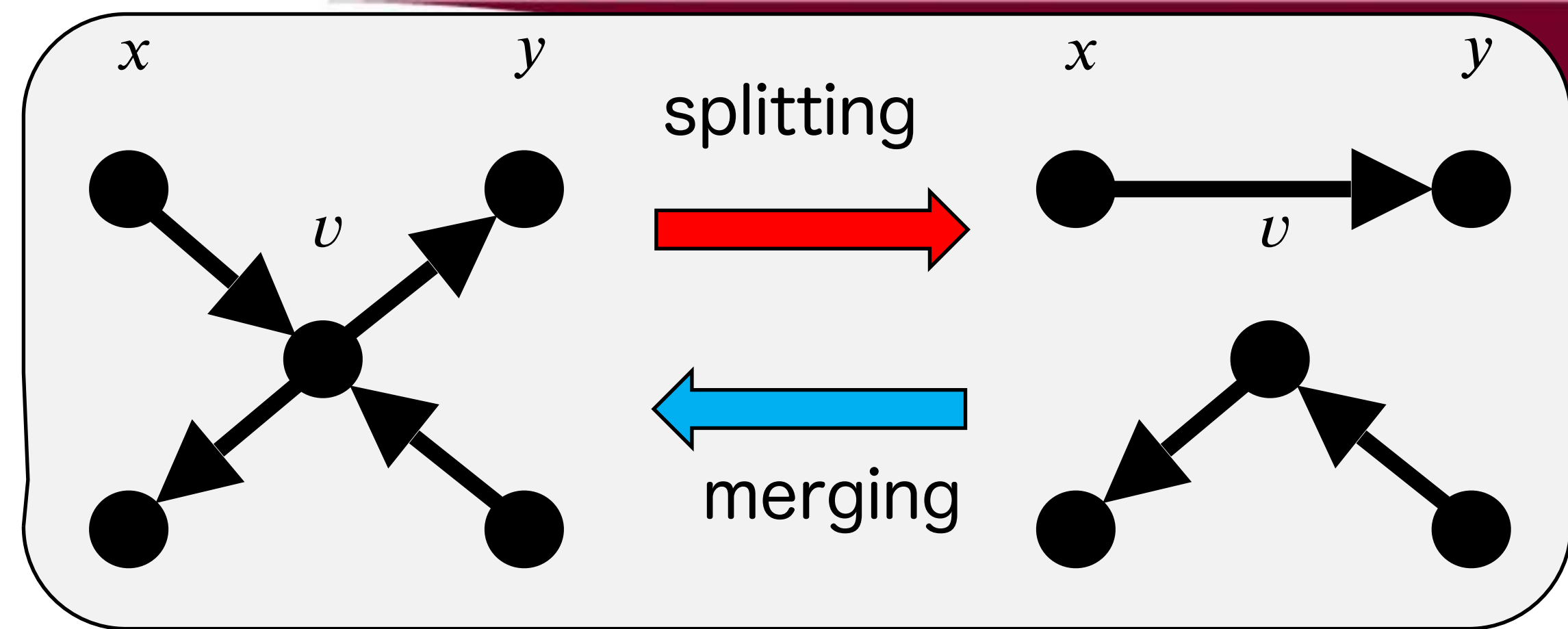
有向閉路の点に1回のsplittingを行うと，有向閉路の長さが1減る。



# 実際にやってみると

Note.

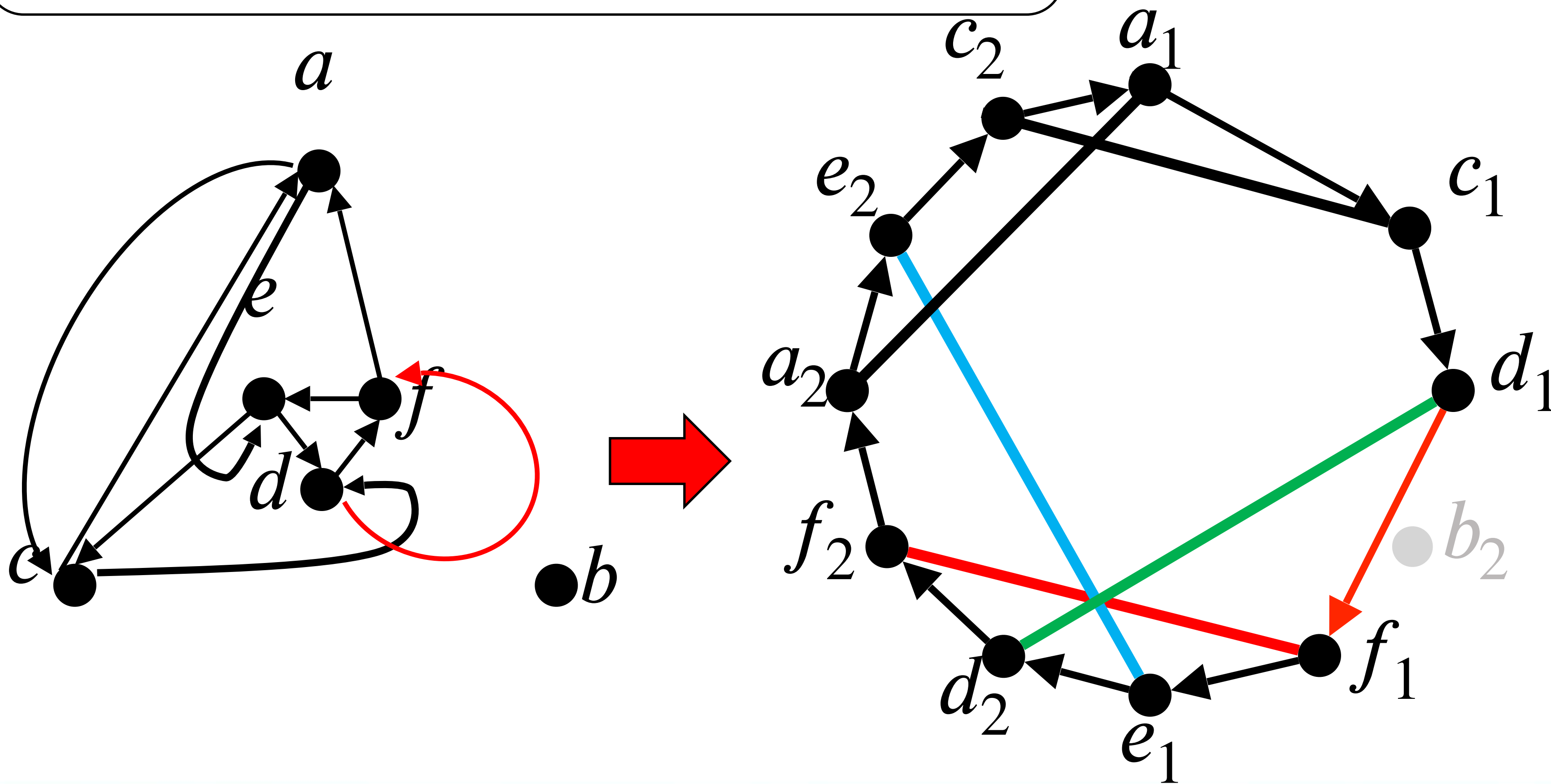
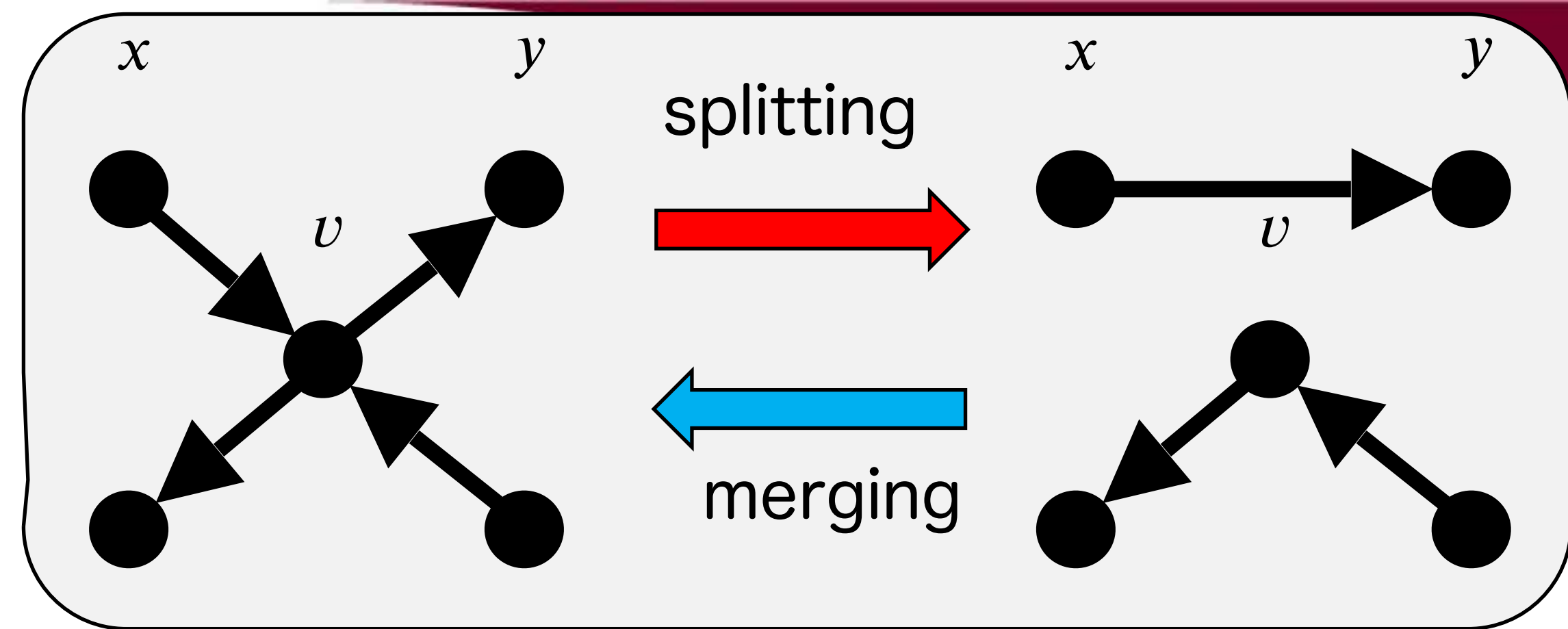
有向閉路の点に1回のsplittingを行うと，有向閉路の長さが1減る。



# 実際にやってみると

Note.

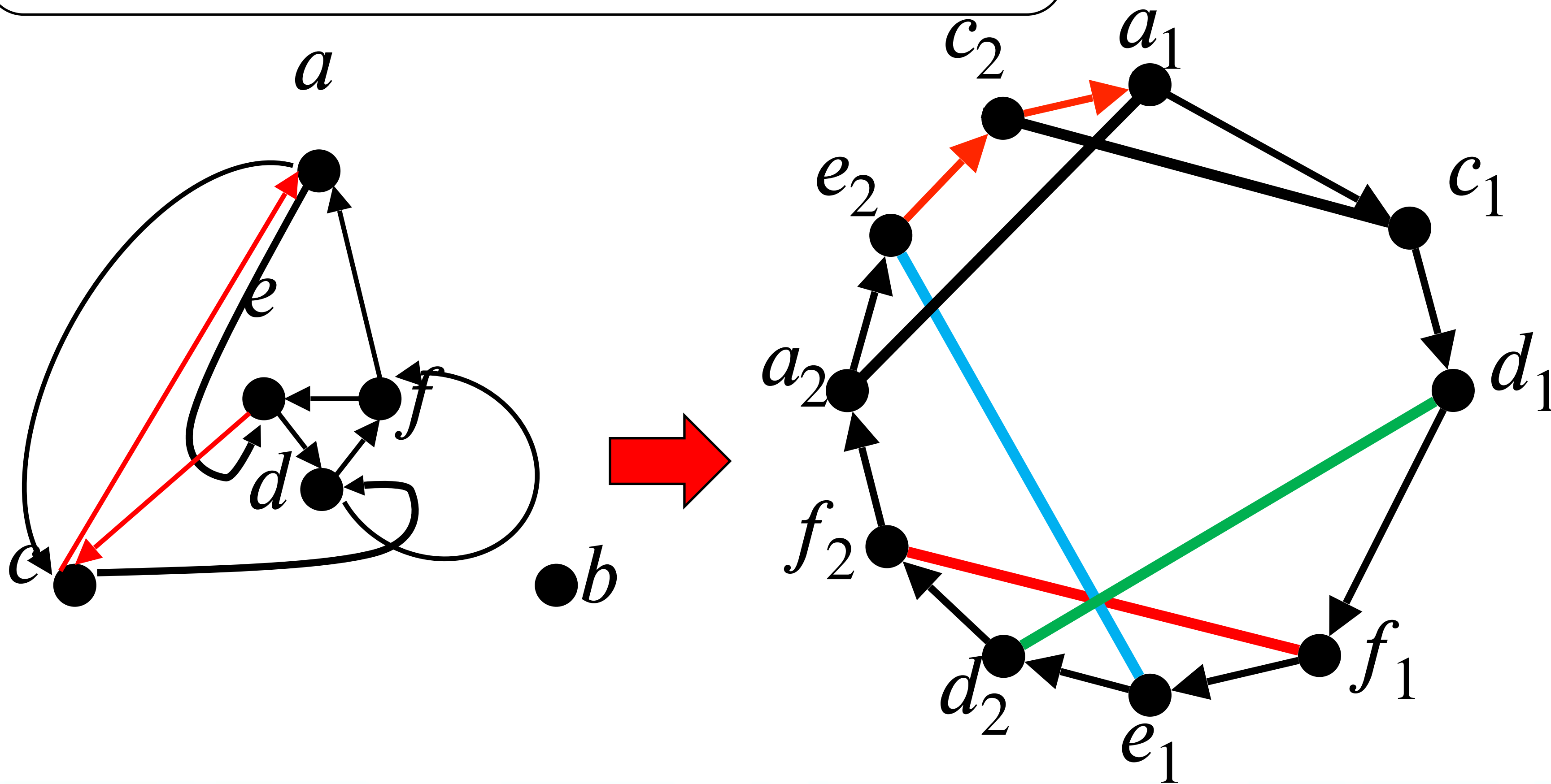
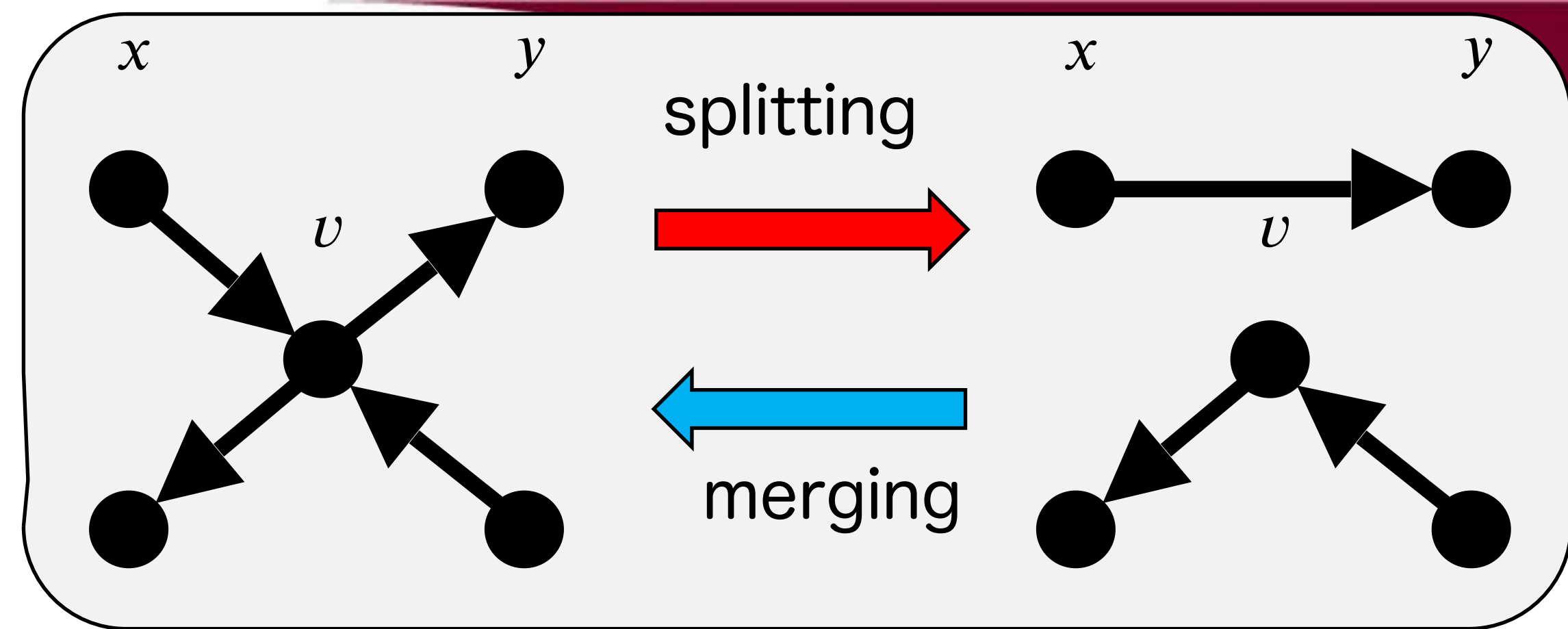
有向閉路の点に1回のsplittingを行うと，有向閉路の長さが1減る。



# 実際にやってみると

Note.

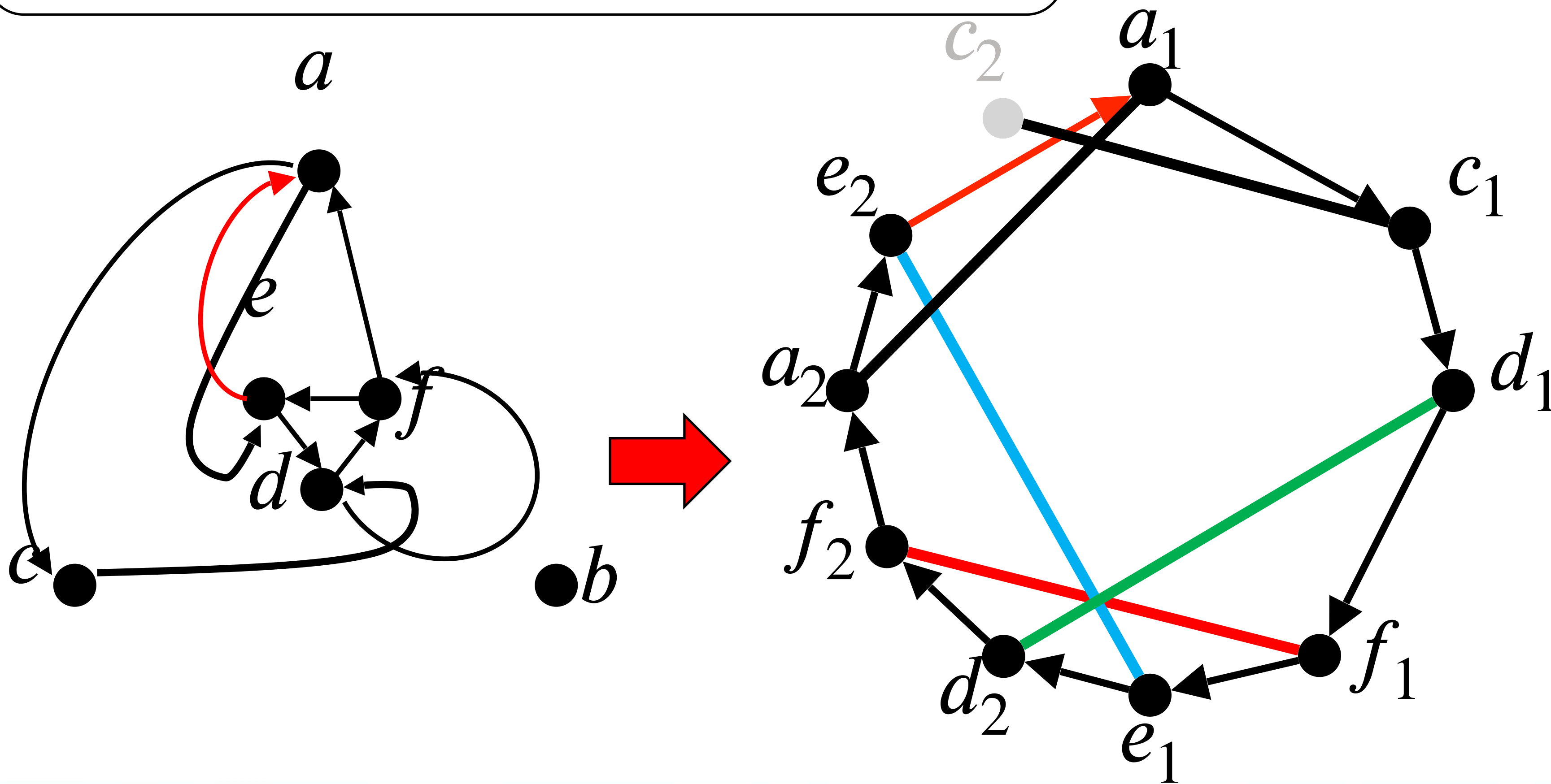
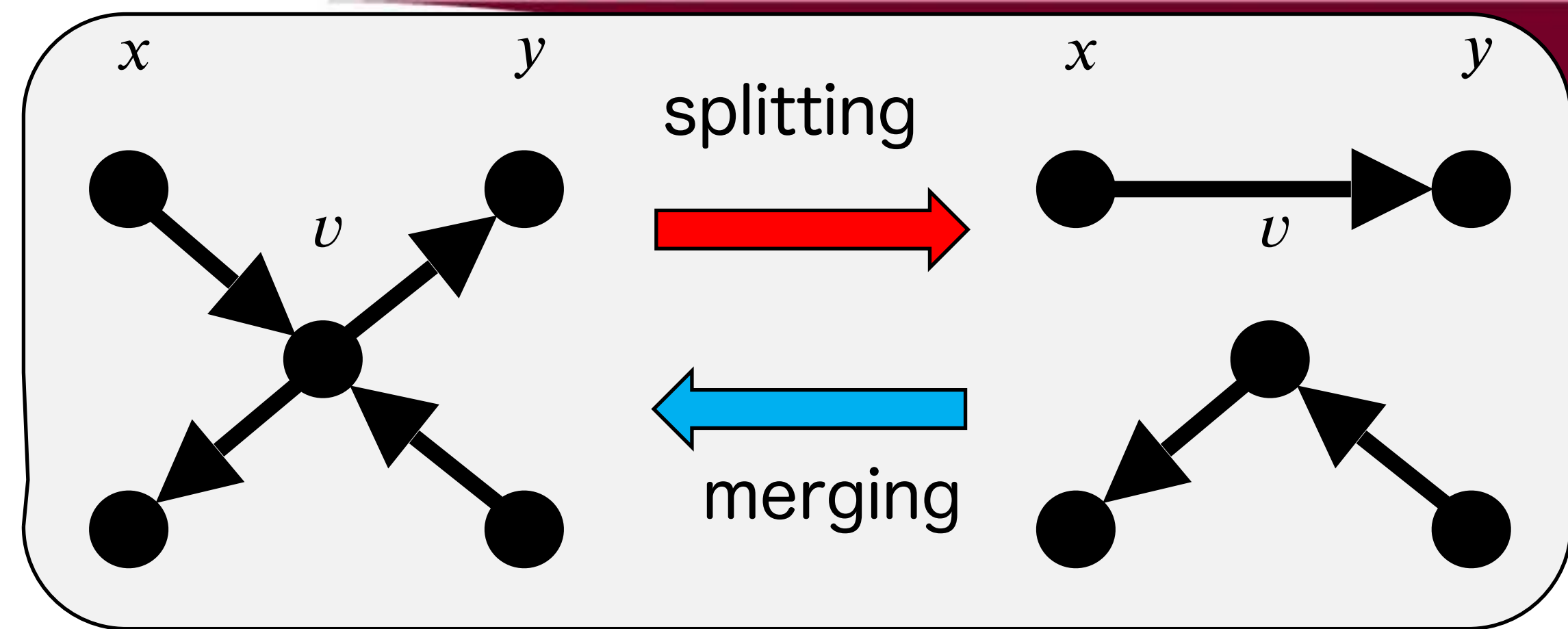
有向閉路の点に1回のsplittingを行うと，有向閉路の長さが1減る。



# 実際にやってみると

Note.

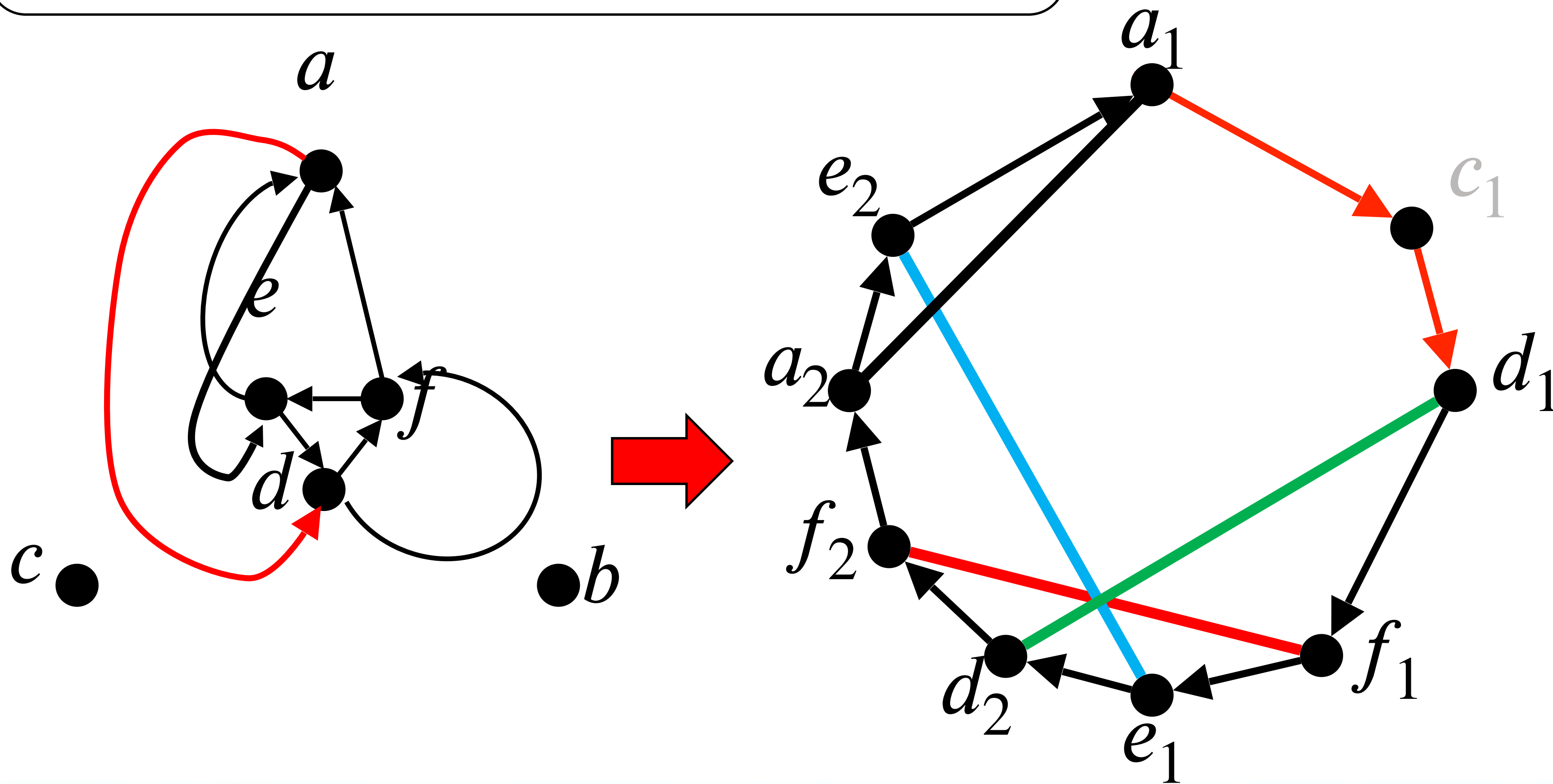
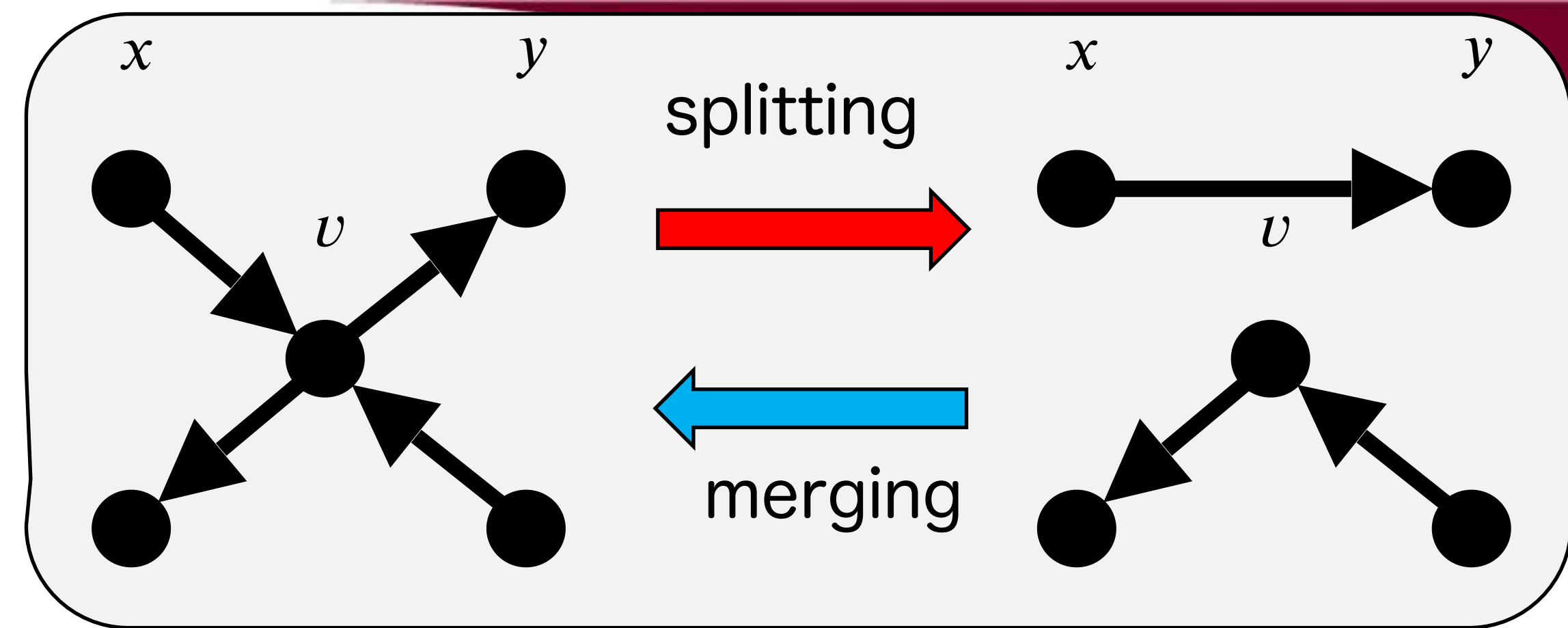
有向閉路の点に1回のsplittingを行うと，有向閉路の長さが1減る。



# 実際にやってみると

Note.

有向閉路の点に1回のsplittingを行うと，有向閉路の長さが1減る。

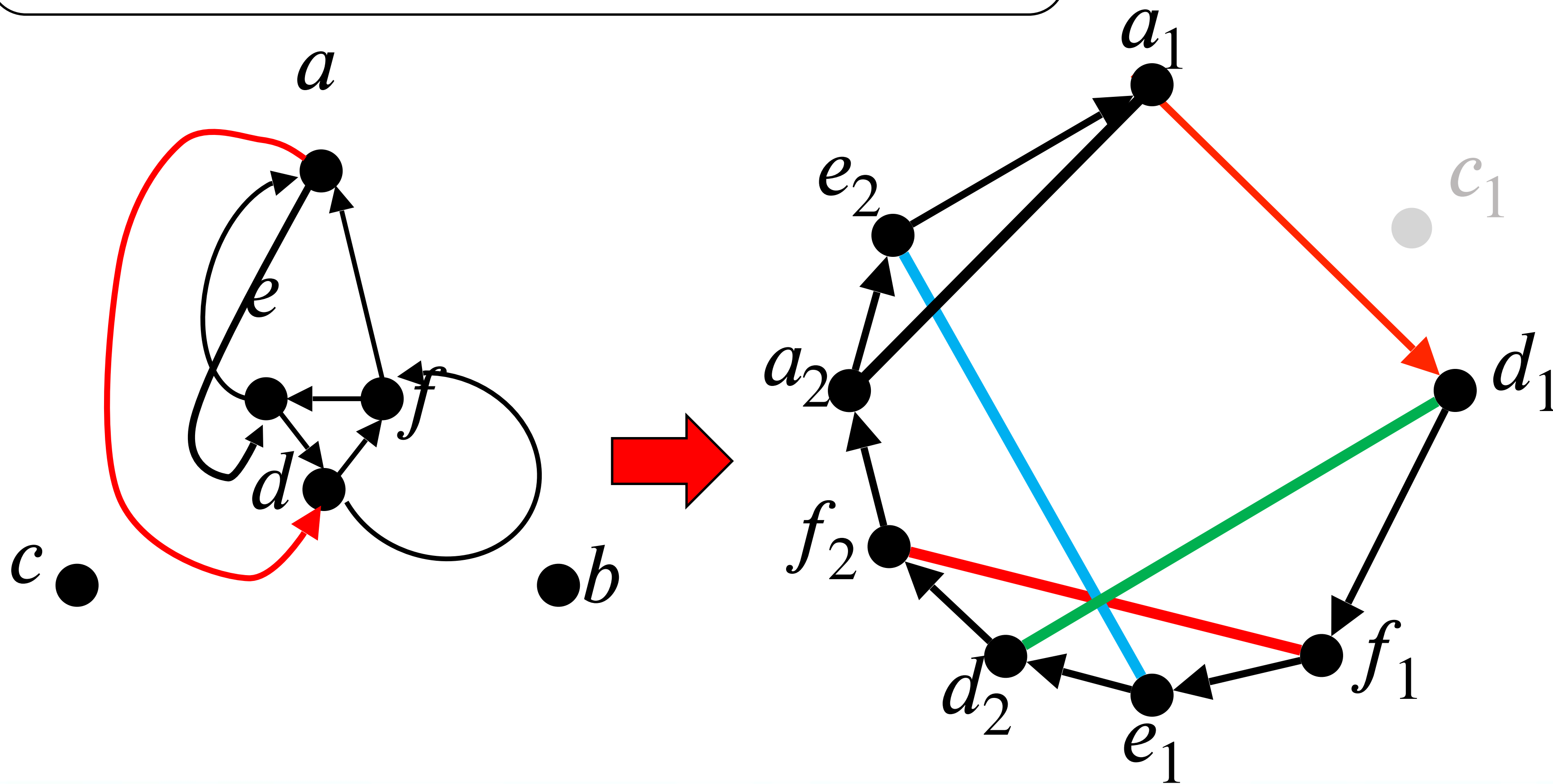
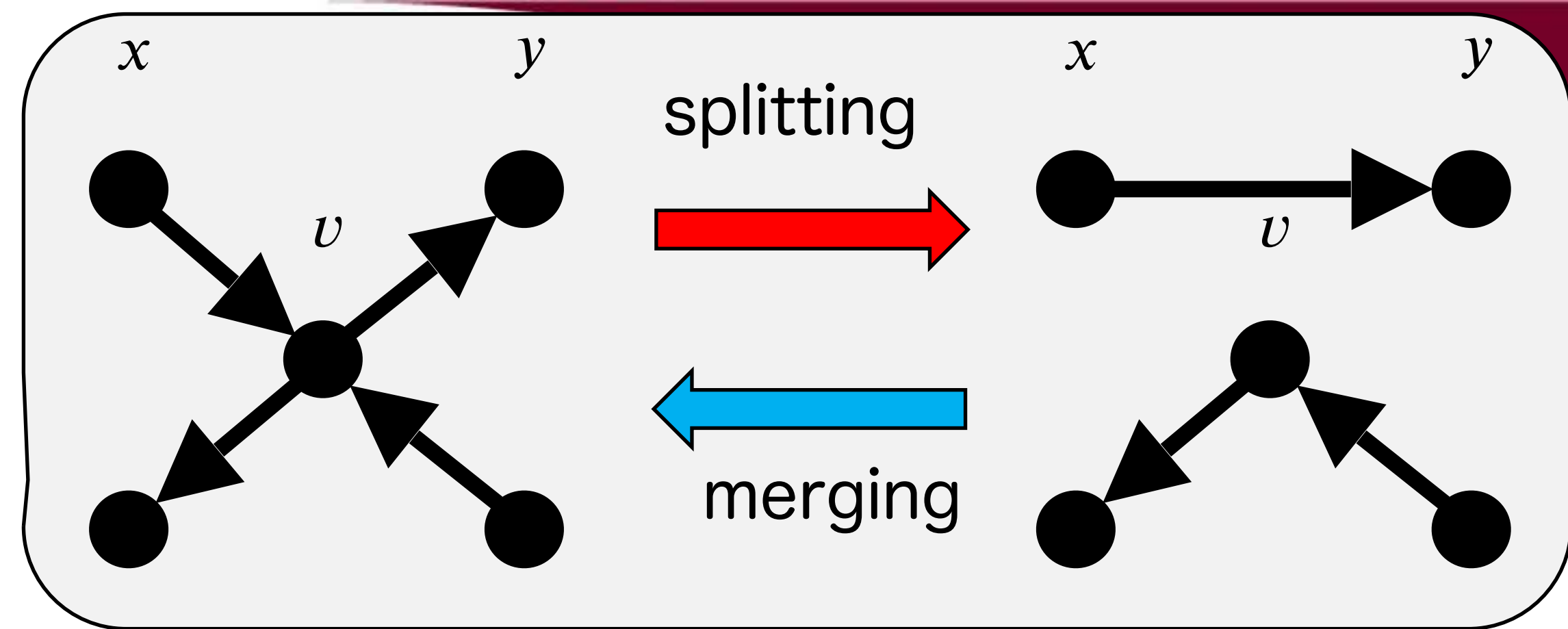




# 実際にやってみると

Note.

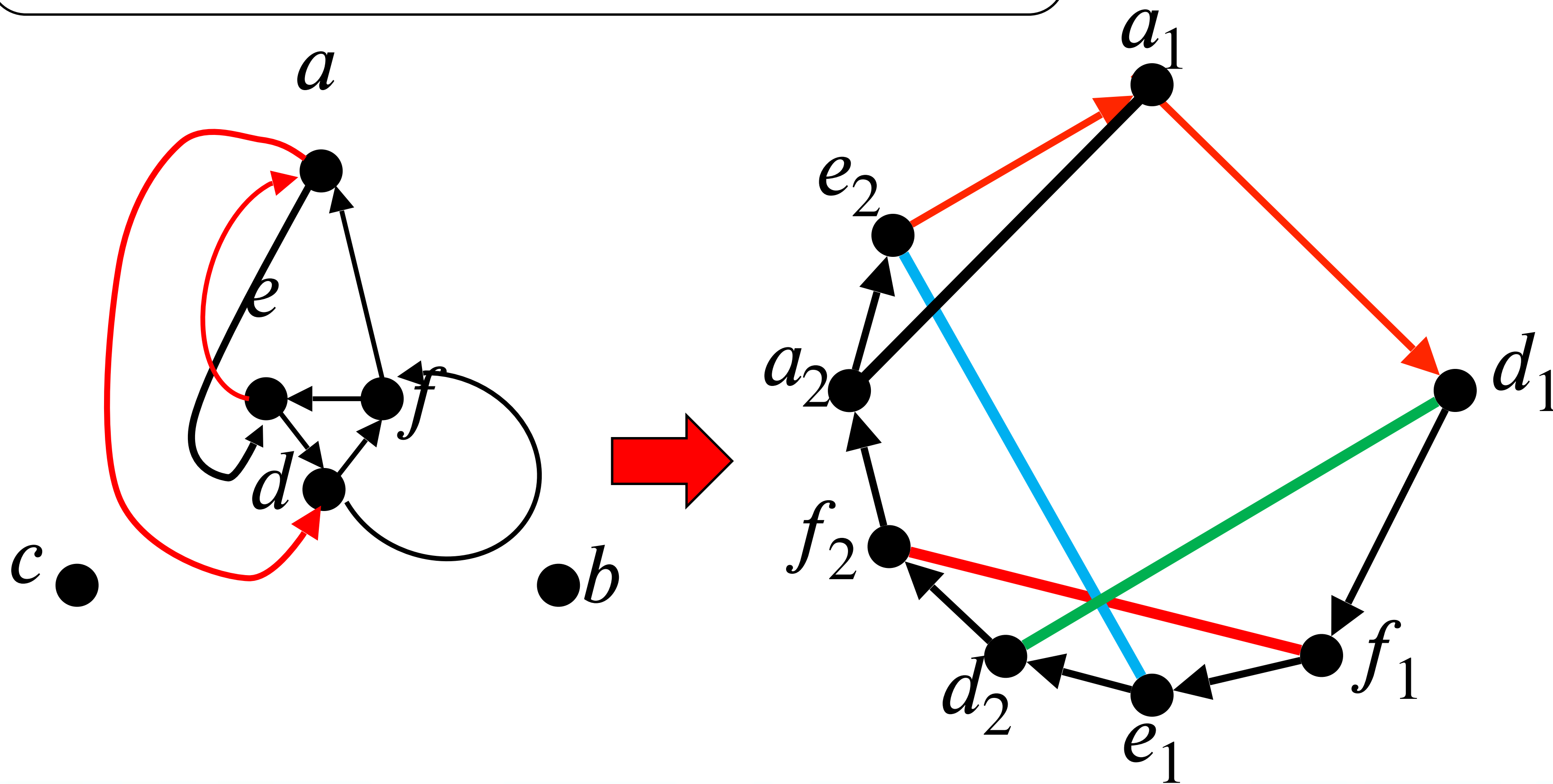
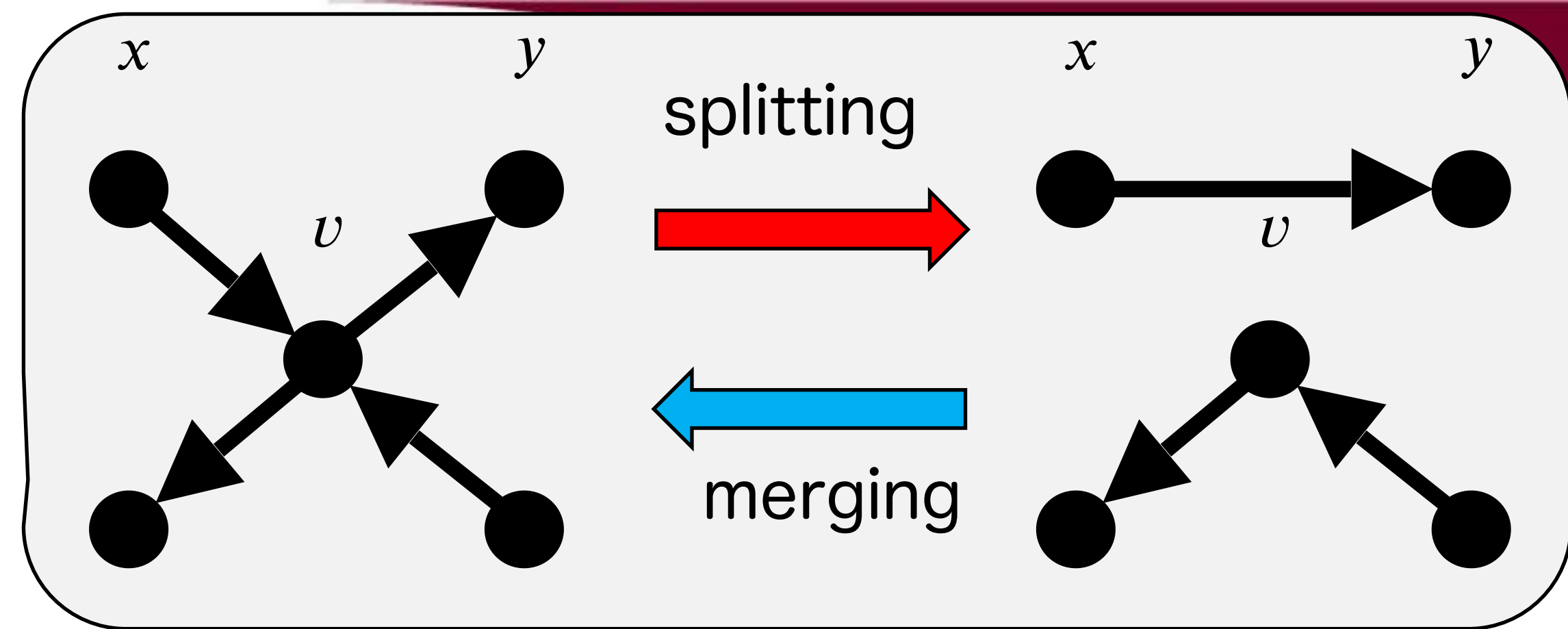
有向閉路の点に1回のsplittingを行うと，有向閉路の長さが1減る。



# 実際にやってみると

Note.

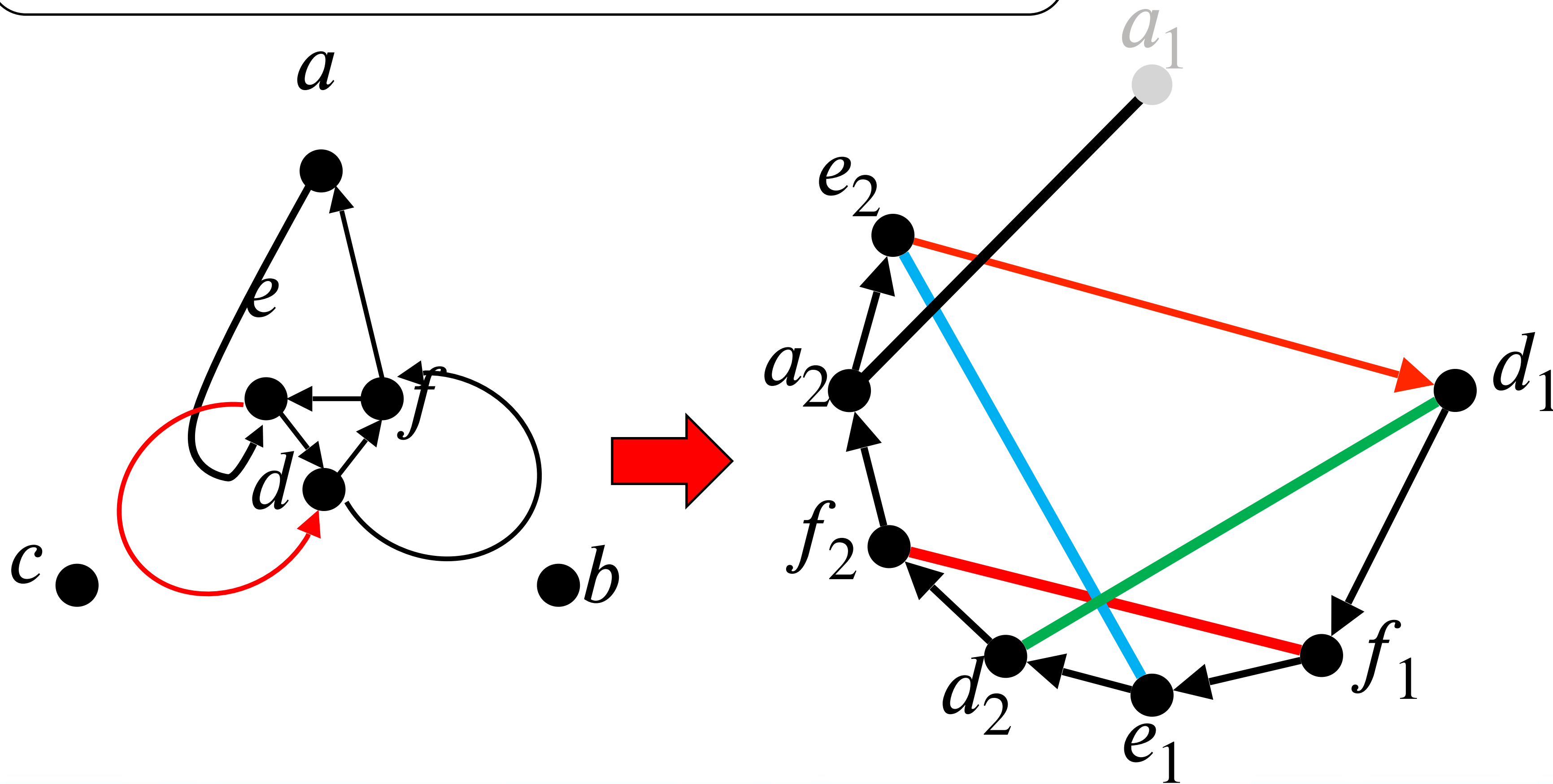
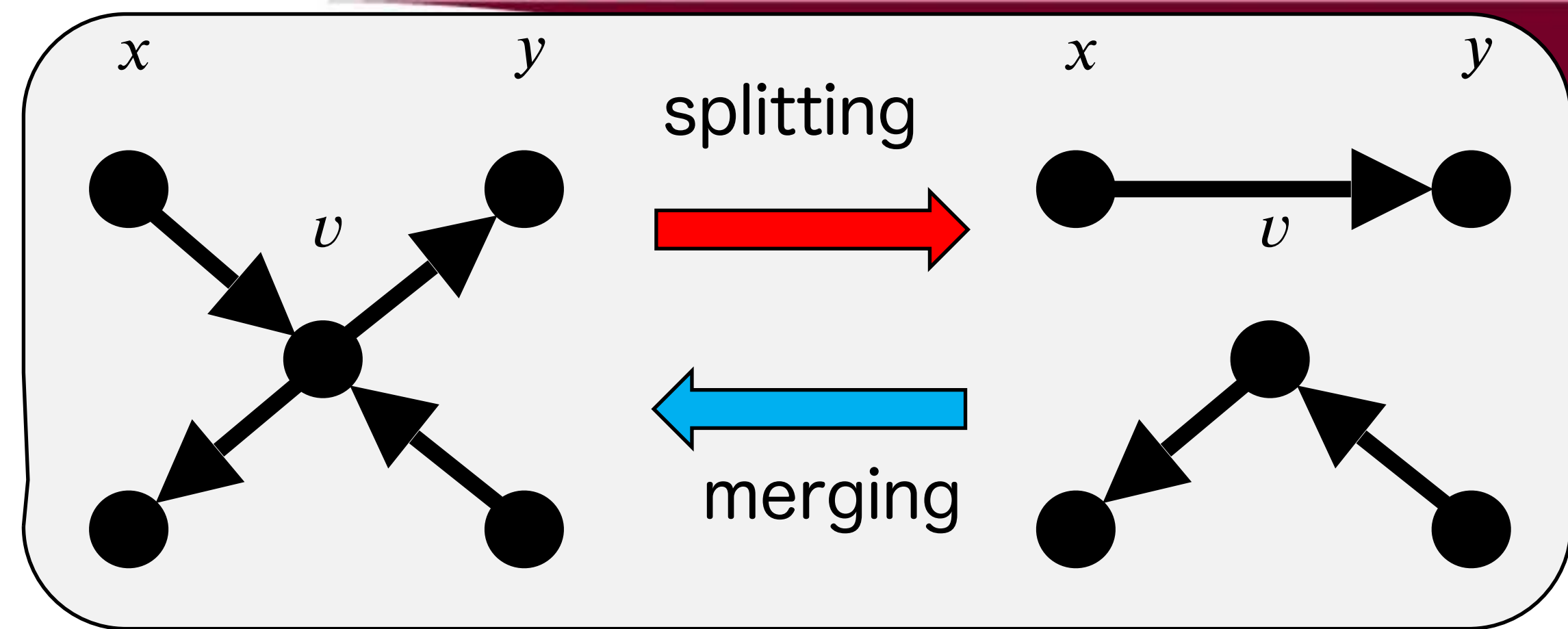
有向閉路の点に1回のsplittingを行うと，有向閉路の長さが1減る。



# 実際にやってみると

Note.

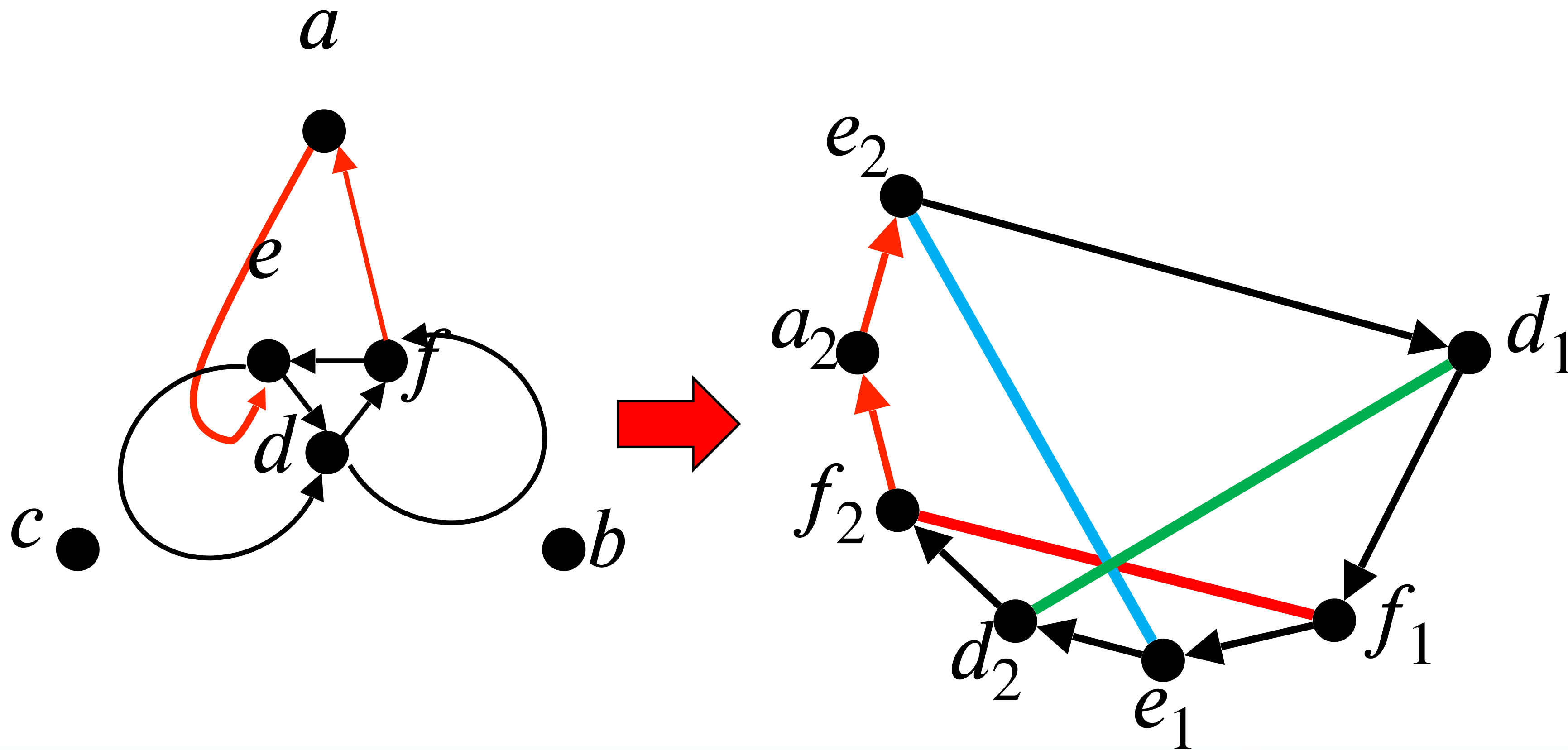
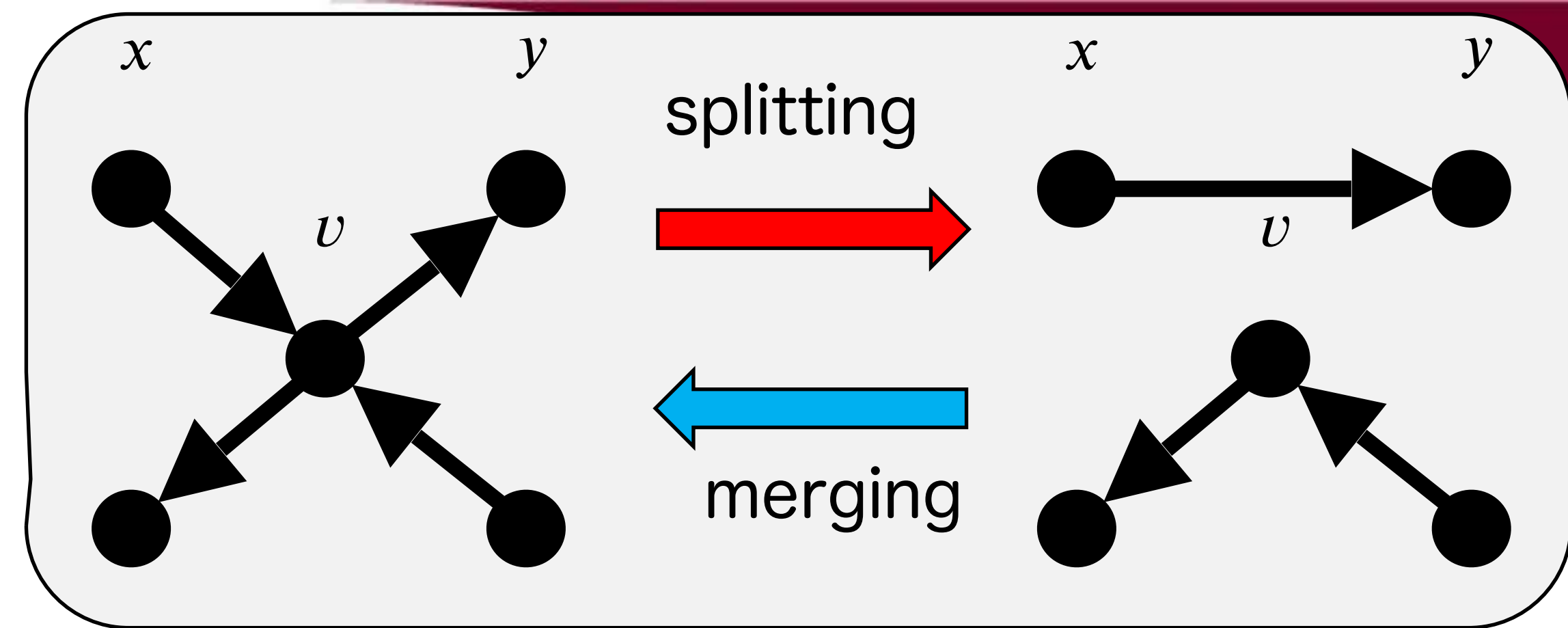
有向閉路の点に1回のsplittingを行うと，有向閉路の長さが1減る。



# 実際にやってみると

Note.

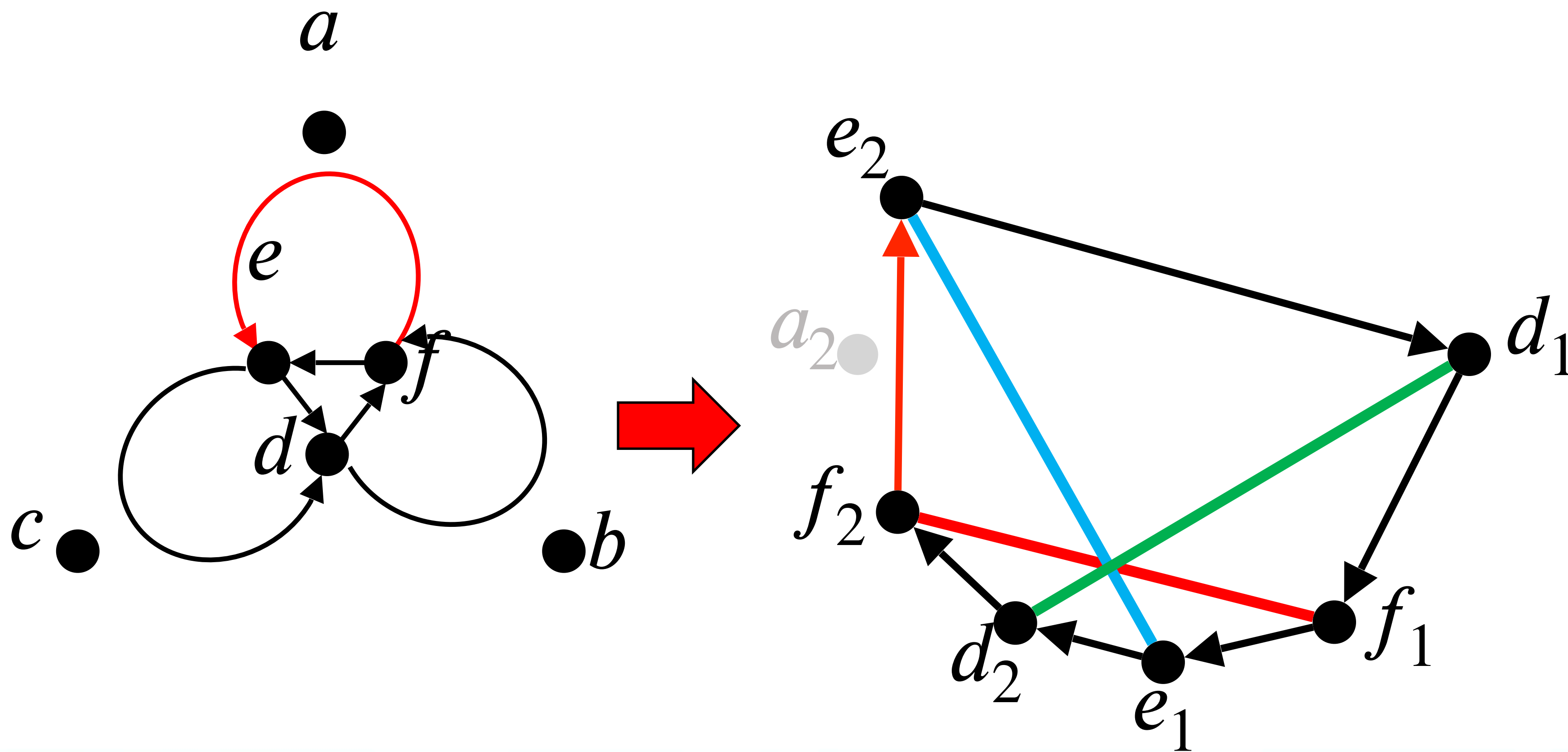
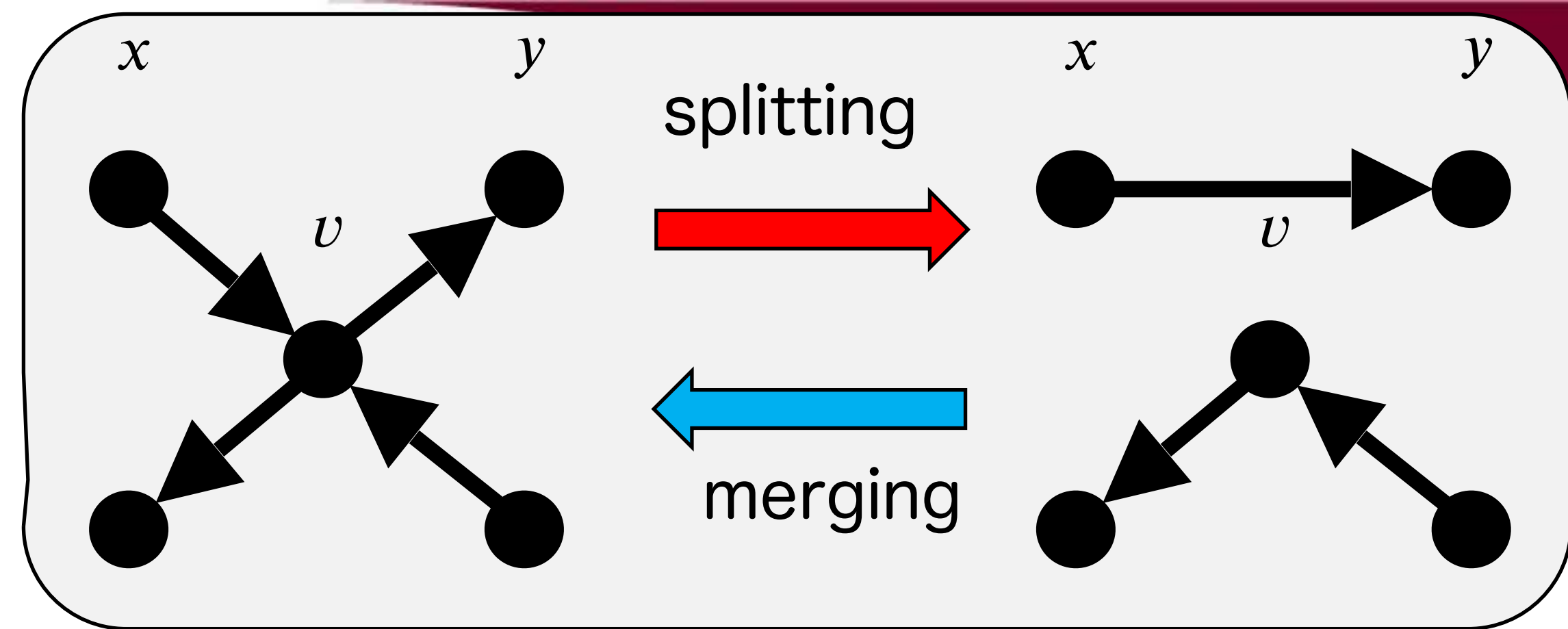
有向閉路の点に1回のsplittingを行うと，有向閉路の長さが1減る。



# 実際にやってみると

Note.

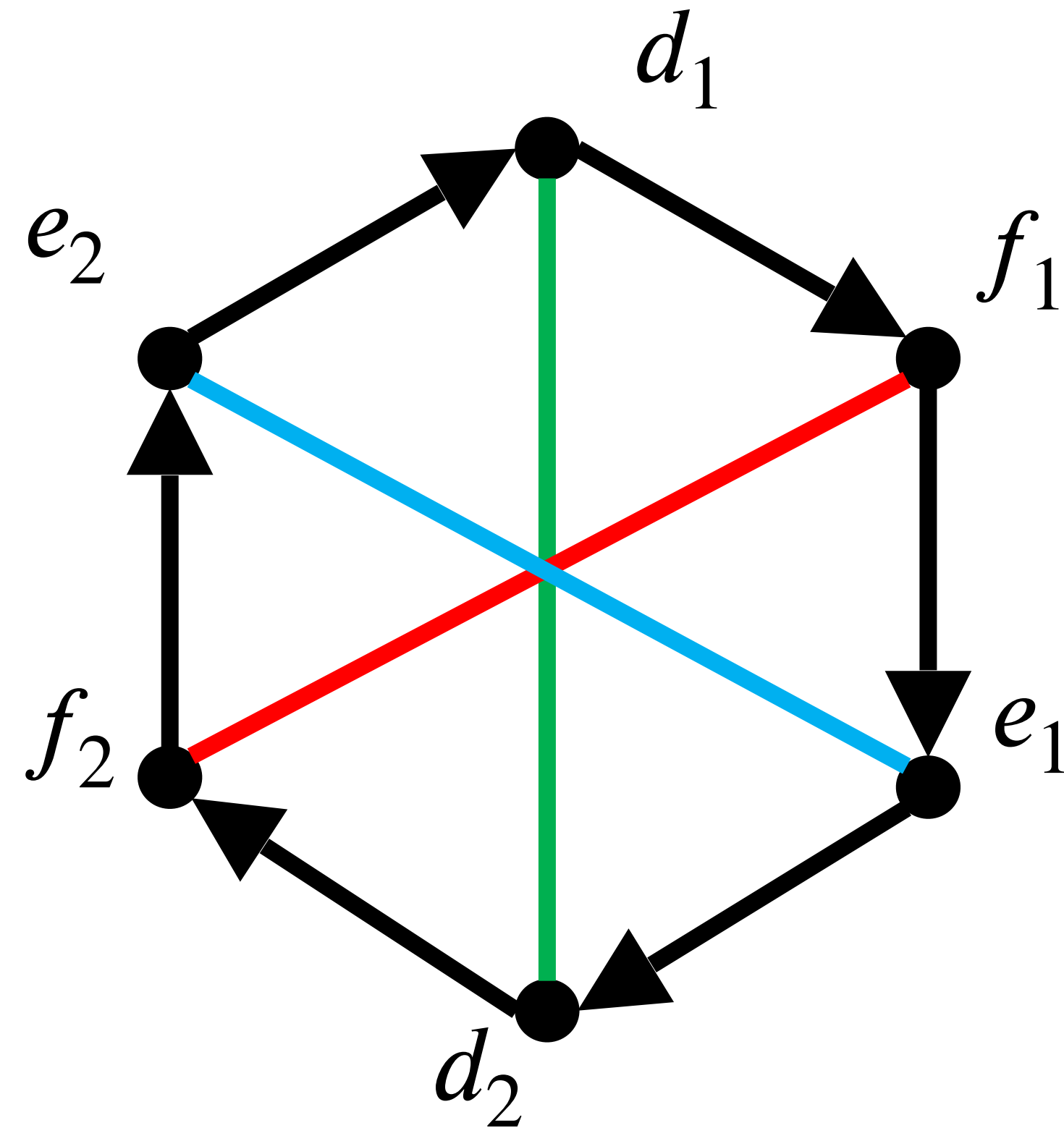
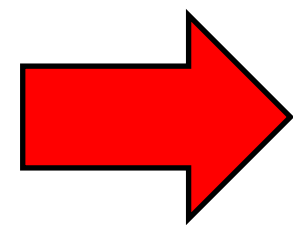
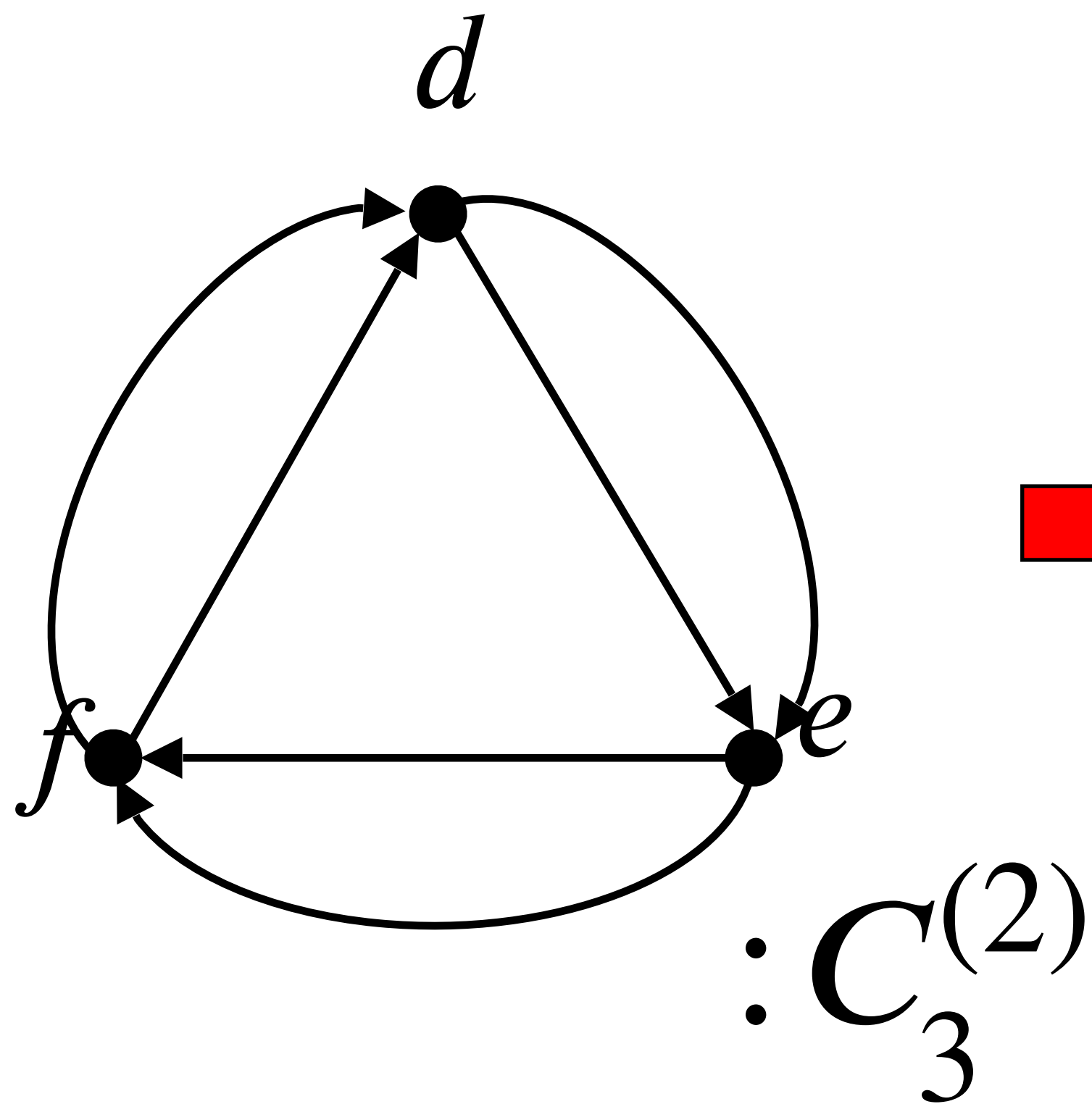
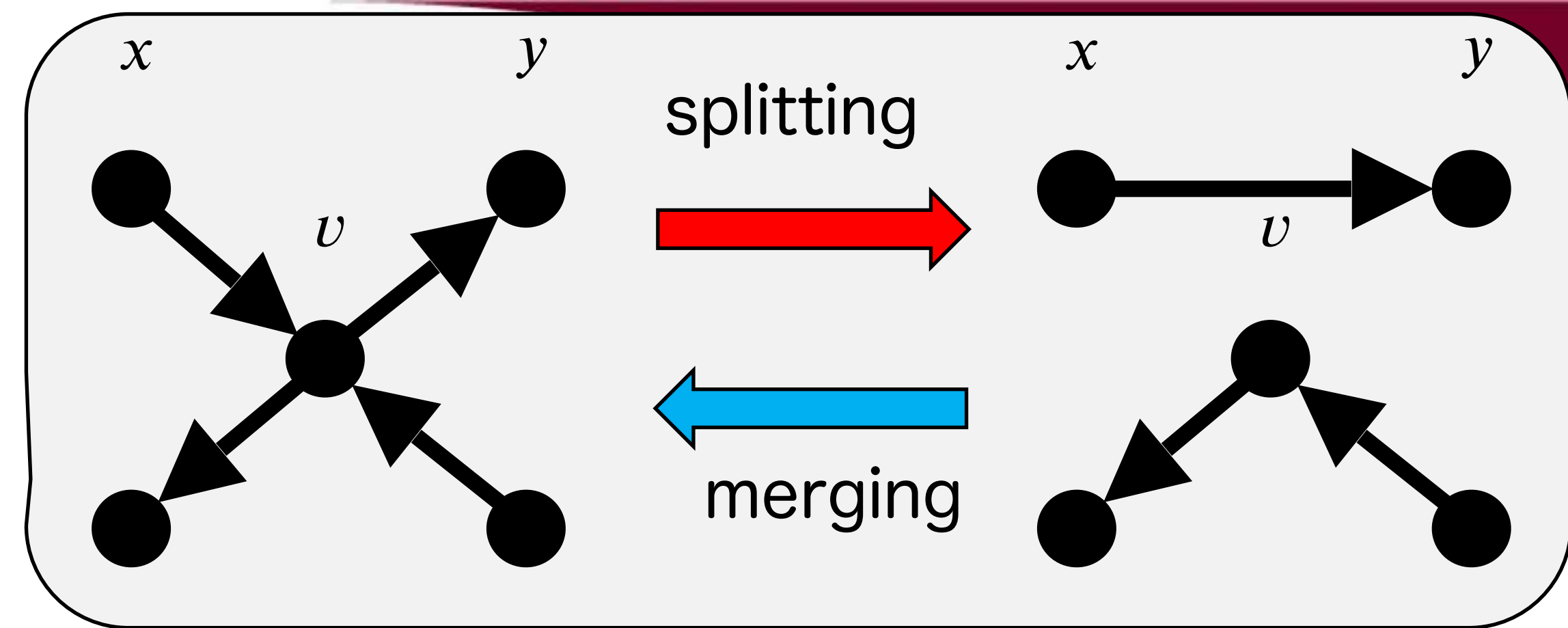
有向閉路の点に1回のsplittingを行うと，有向閉路の長さが1減る。



# 実際にやってみると

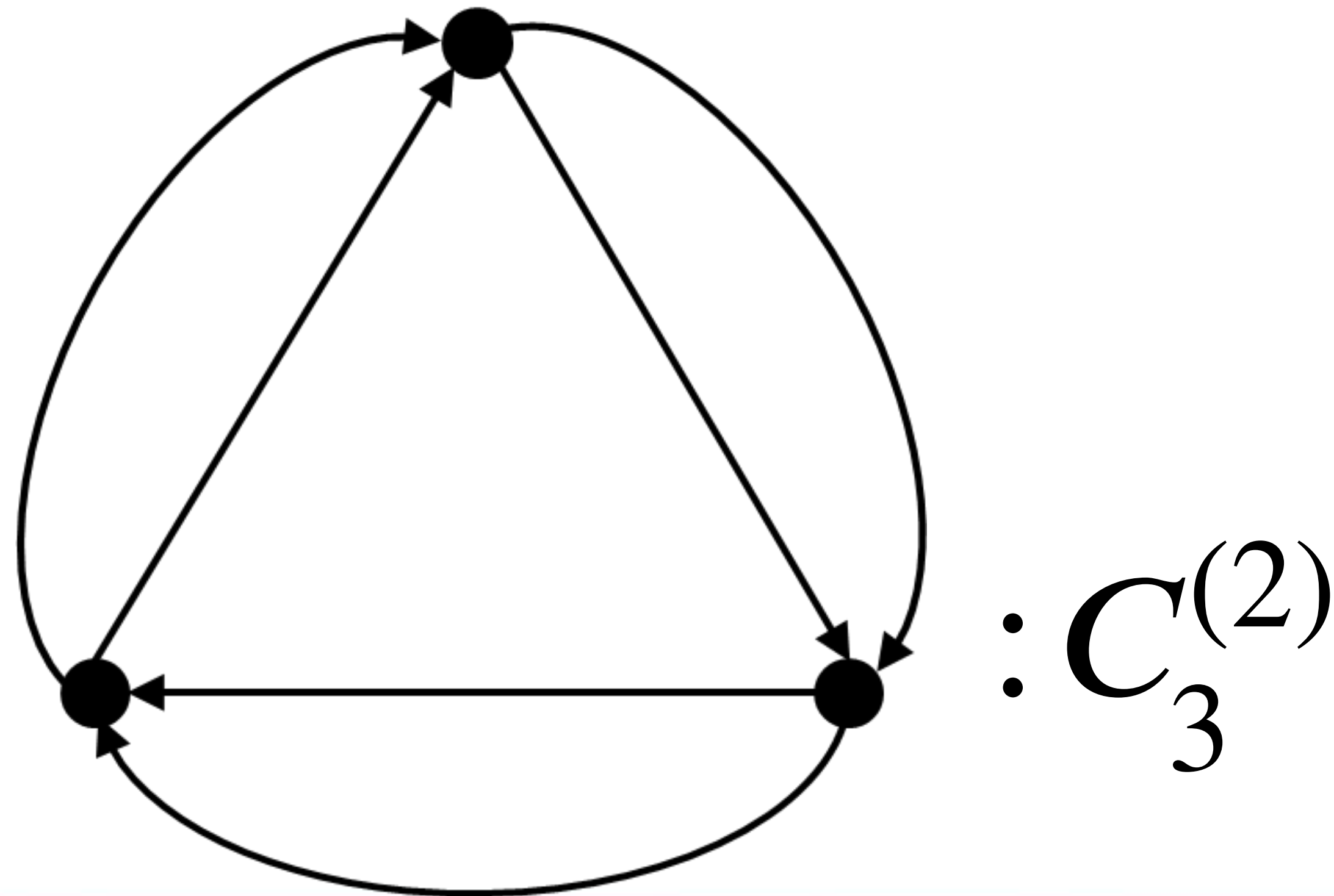
Note.

有向閉路の点に1回のsplittingを行うと，有向閉路の長さが1減る。



# Theorem C (Johnson)(再掲).

2-正則有向グラフ  $D$  が平面埋め込み可能である必要十分条件は  $D$  が  $C_3^{(2)}$  を immersion として含まないことである.



# Graph minorとGraph immersion

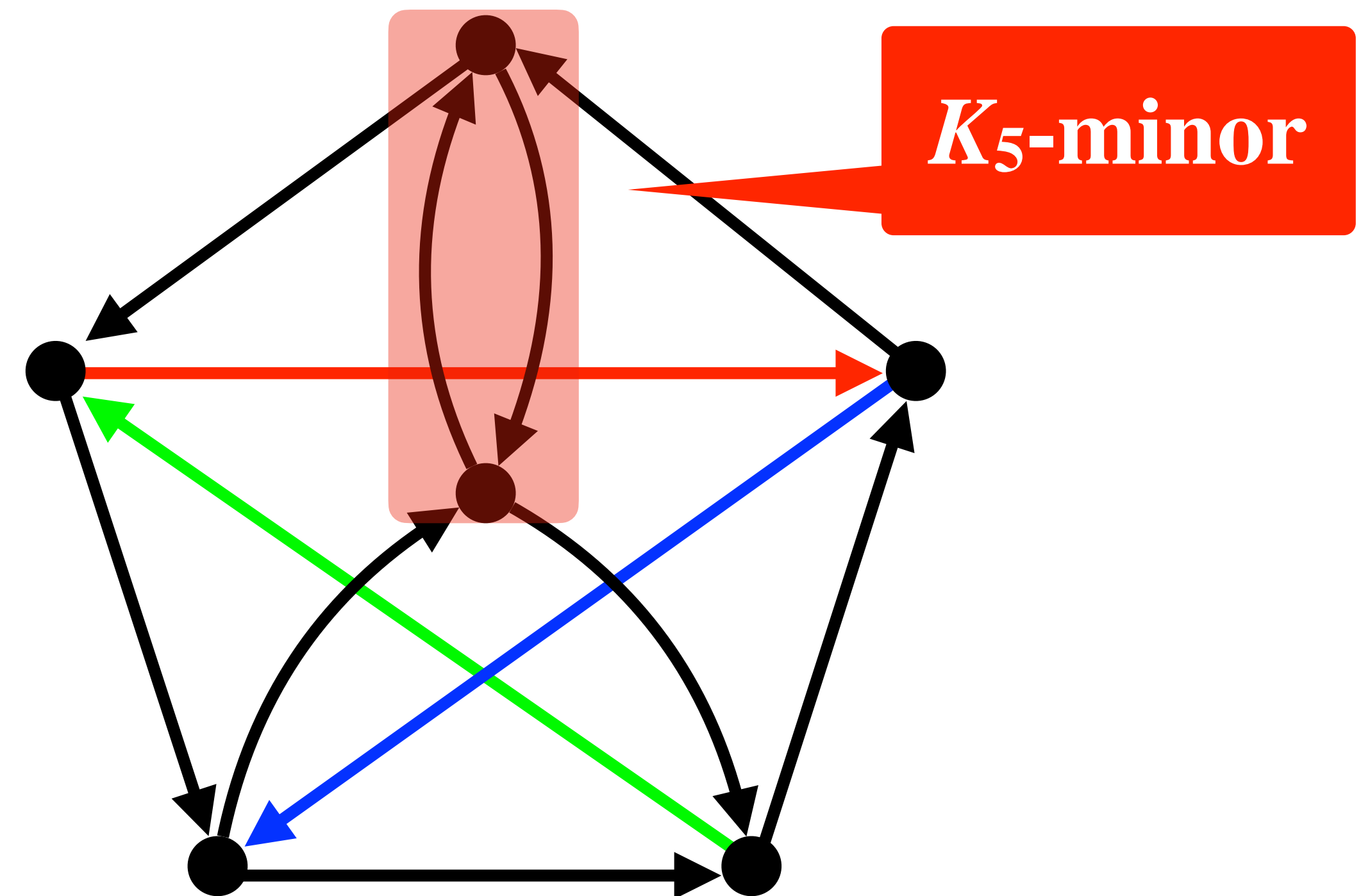
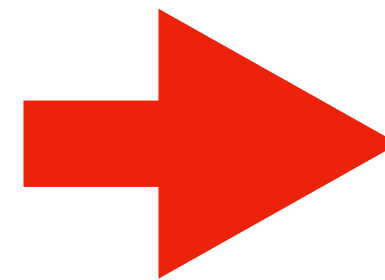
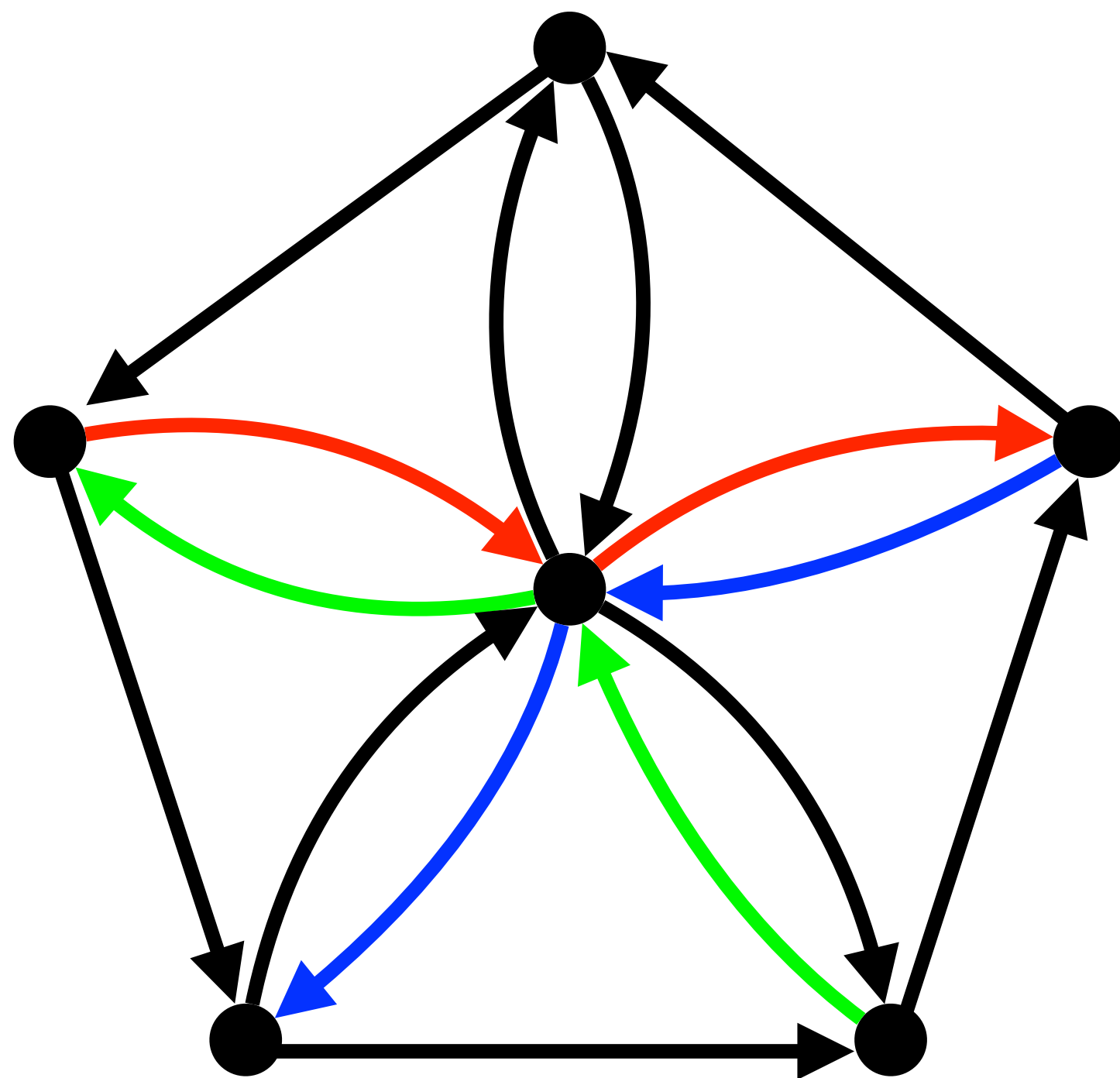
	平面	射影平面	トーラス
Minor	$K_5, K_{3,3}$	35 graphs	$> 10^4$ (?)
Immersion (2-正則)	$C_3^{(2)}$	$C_3^{(2)} + C_3^{(2)}, C_3^{(2)} \cdot C_3^{(2)},$ $C_4^{(2)}, C_6^{(2)}$	(?)



$r$ -正則有向グラフ( $r \geq 4$ )だと同じアイデアは...

Proposition 4.

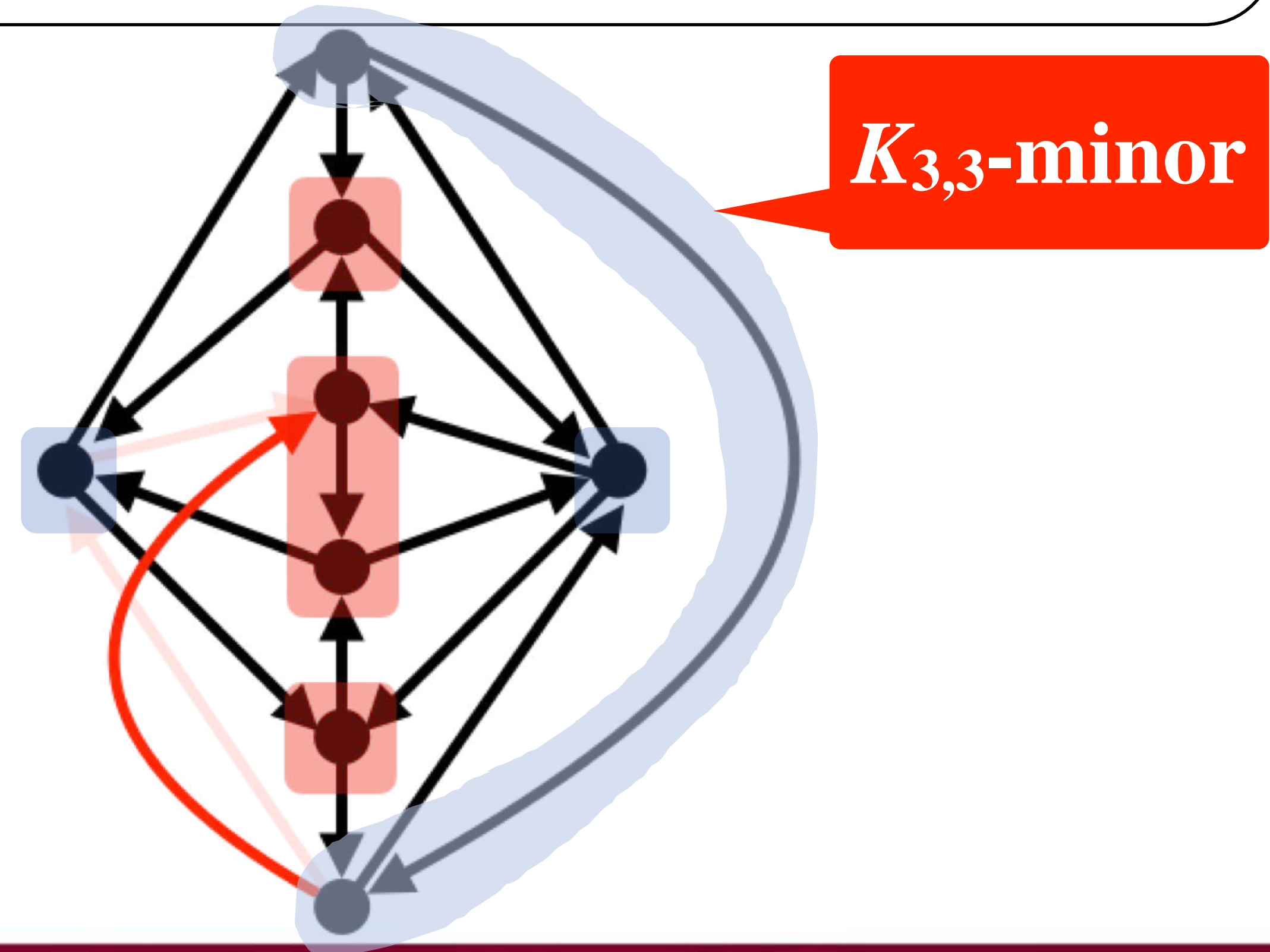
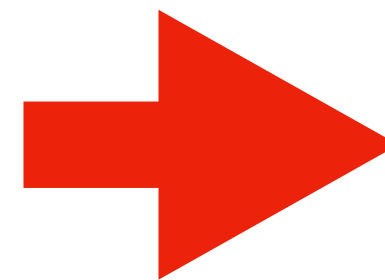
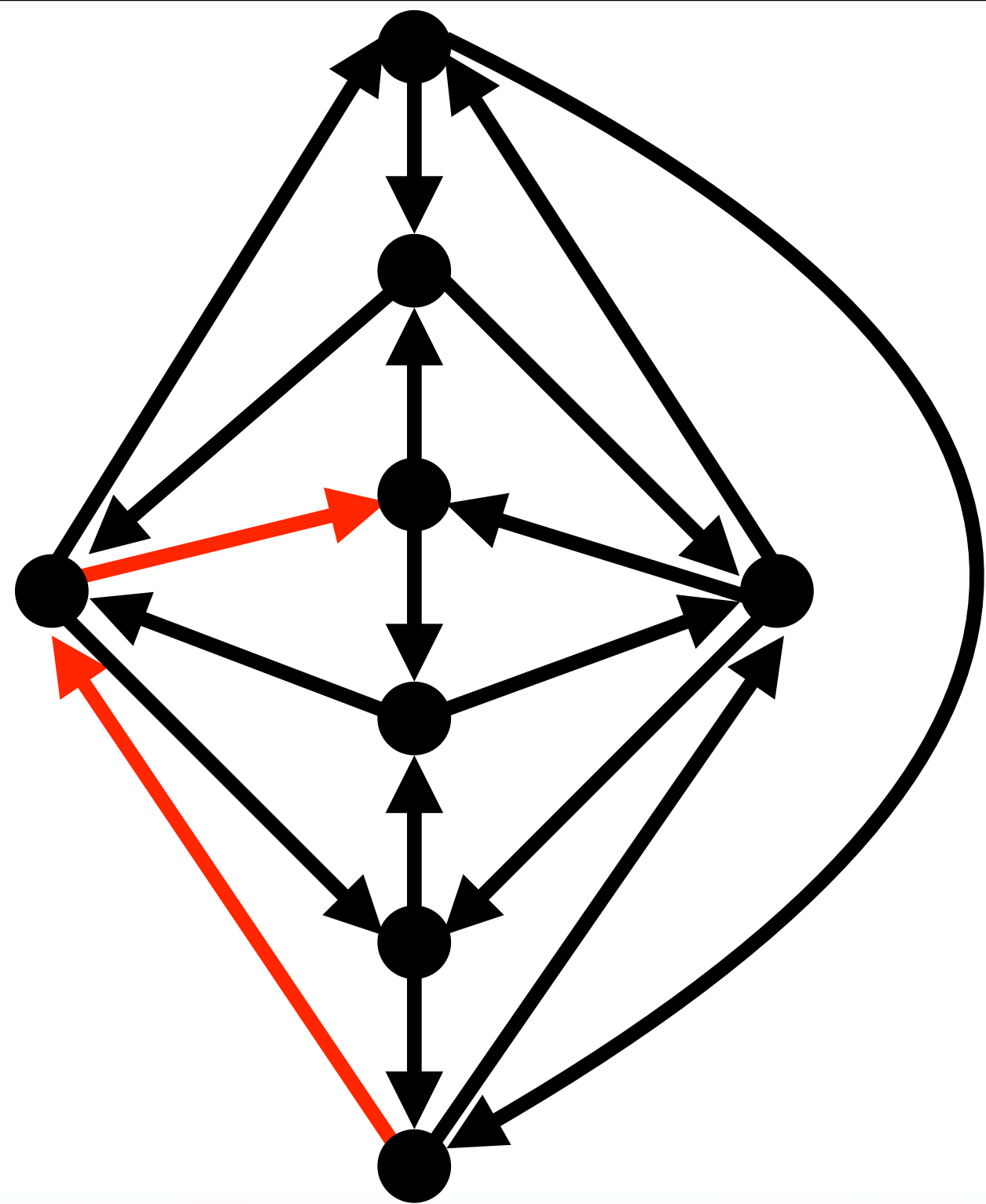
$C_3^{(2)}$  をimmersionとして含む平面埋め込み可能な正則有向グラフが存在する.



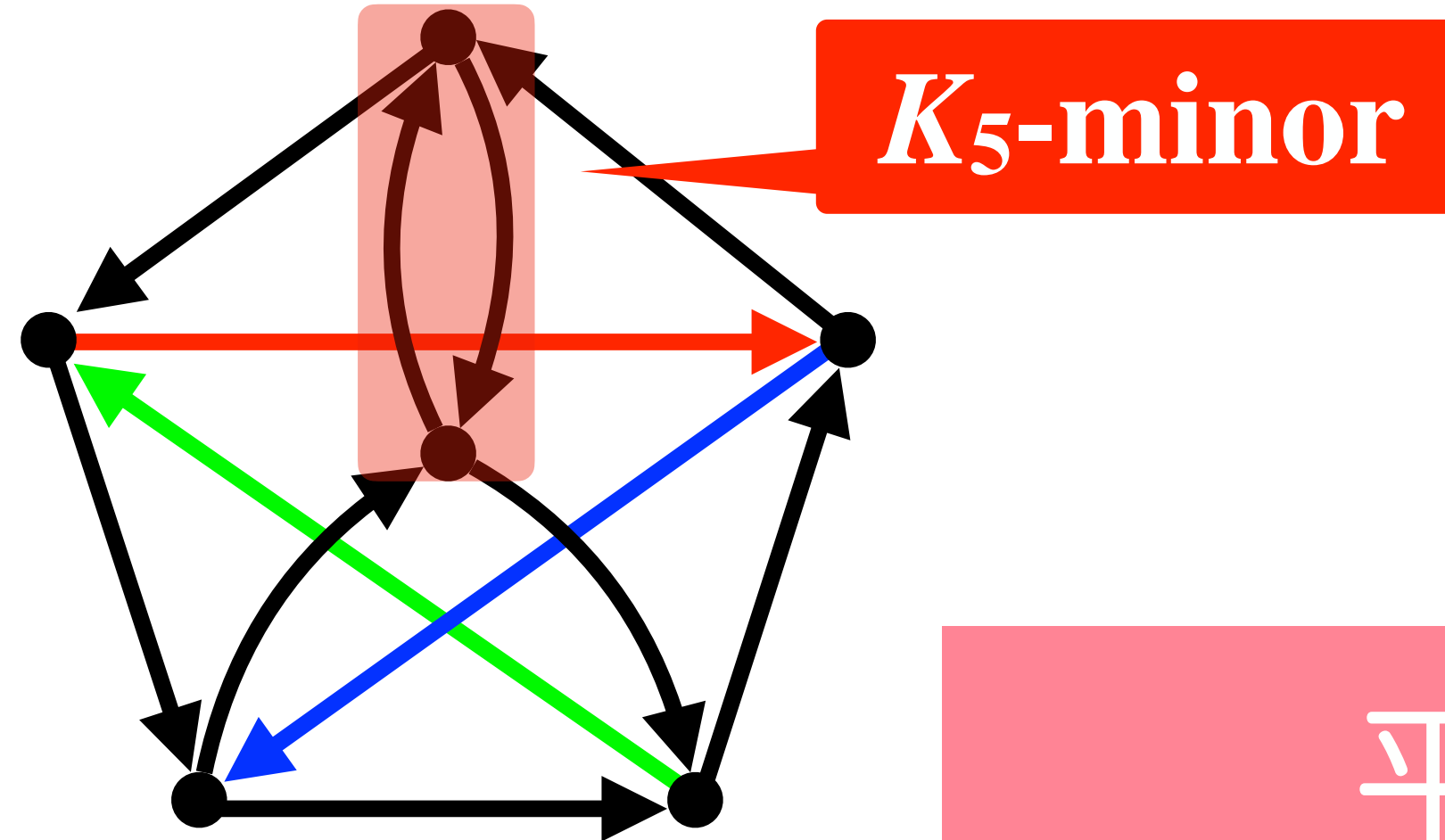
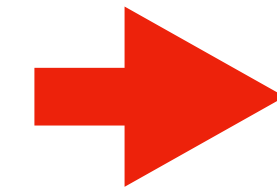
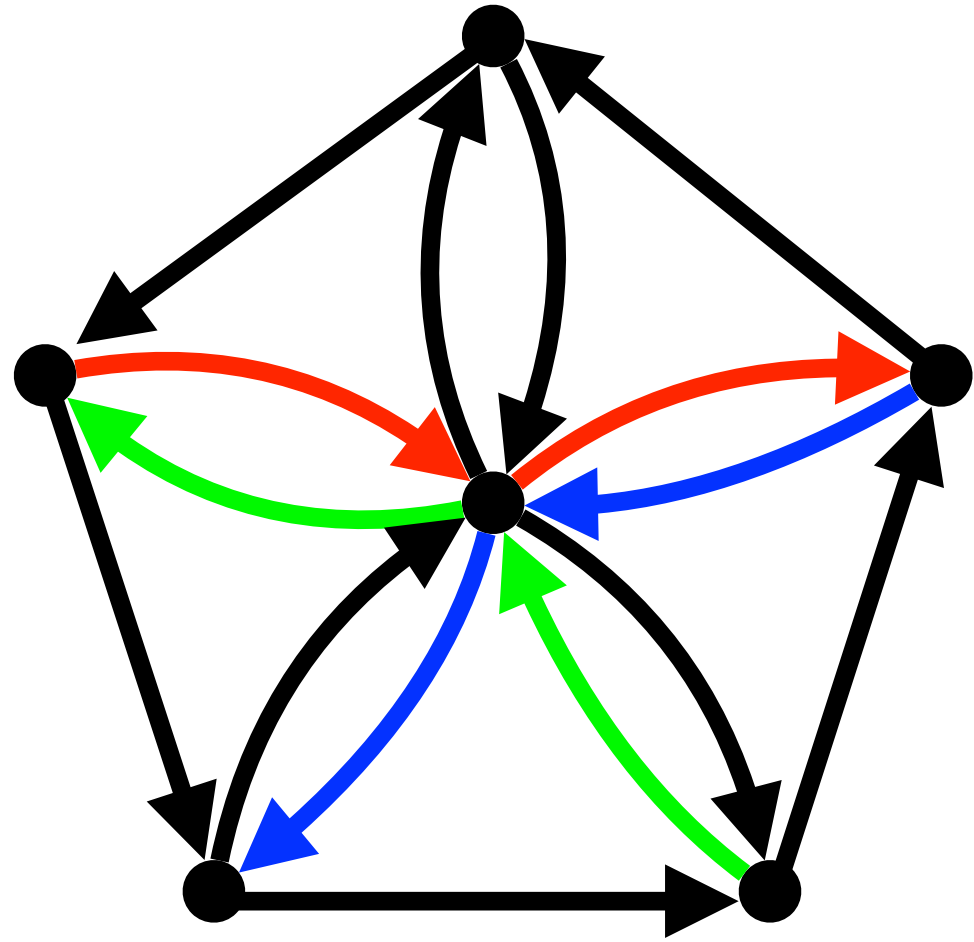
$r$ -正則有向グラフ( $r \geq 4$ )だと同じアイデアは...

Proposition 4.

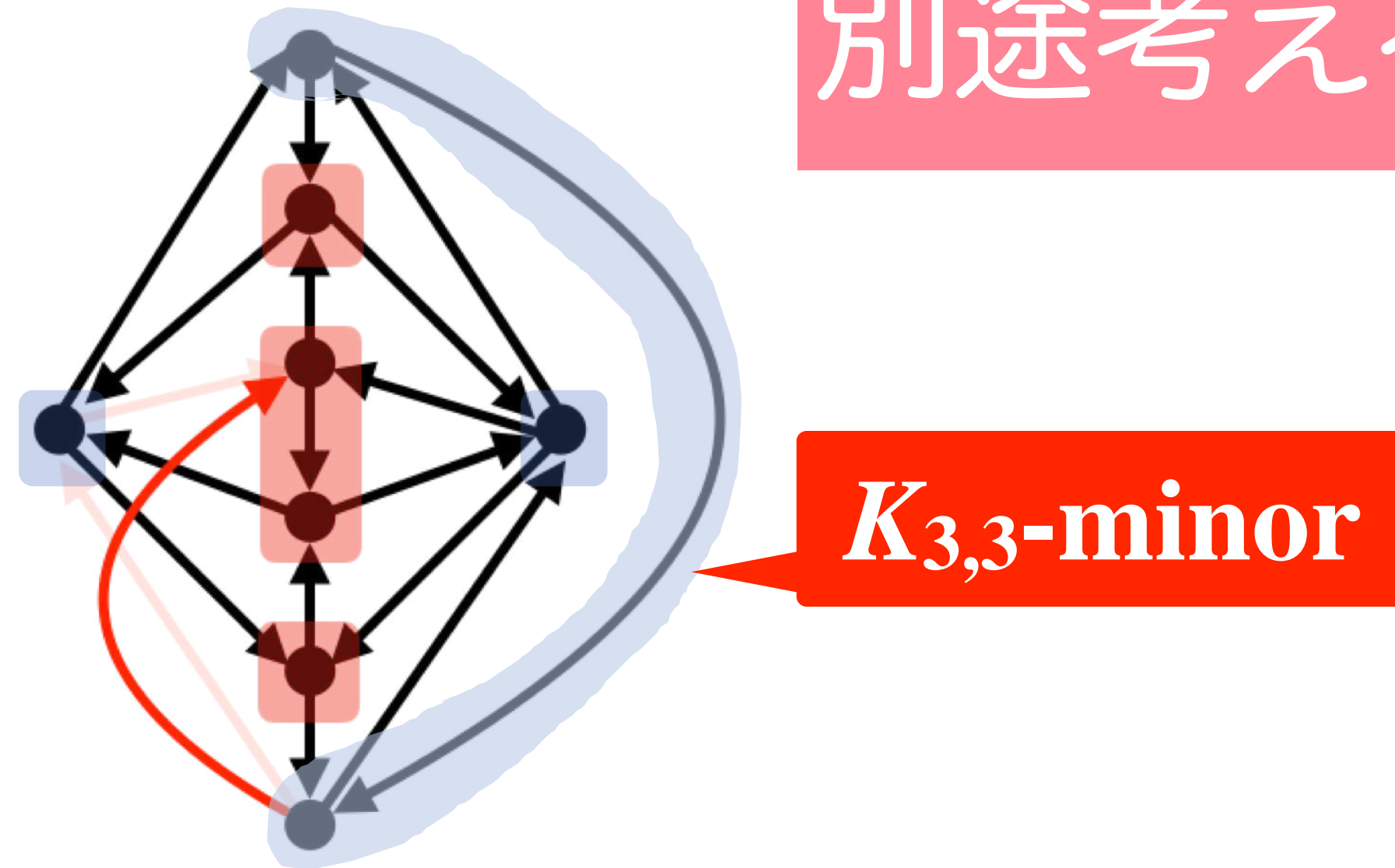
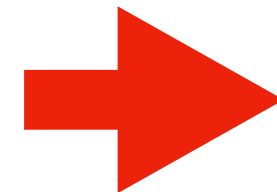
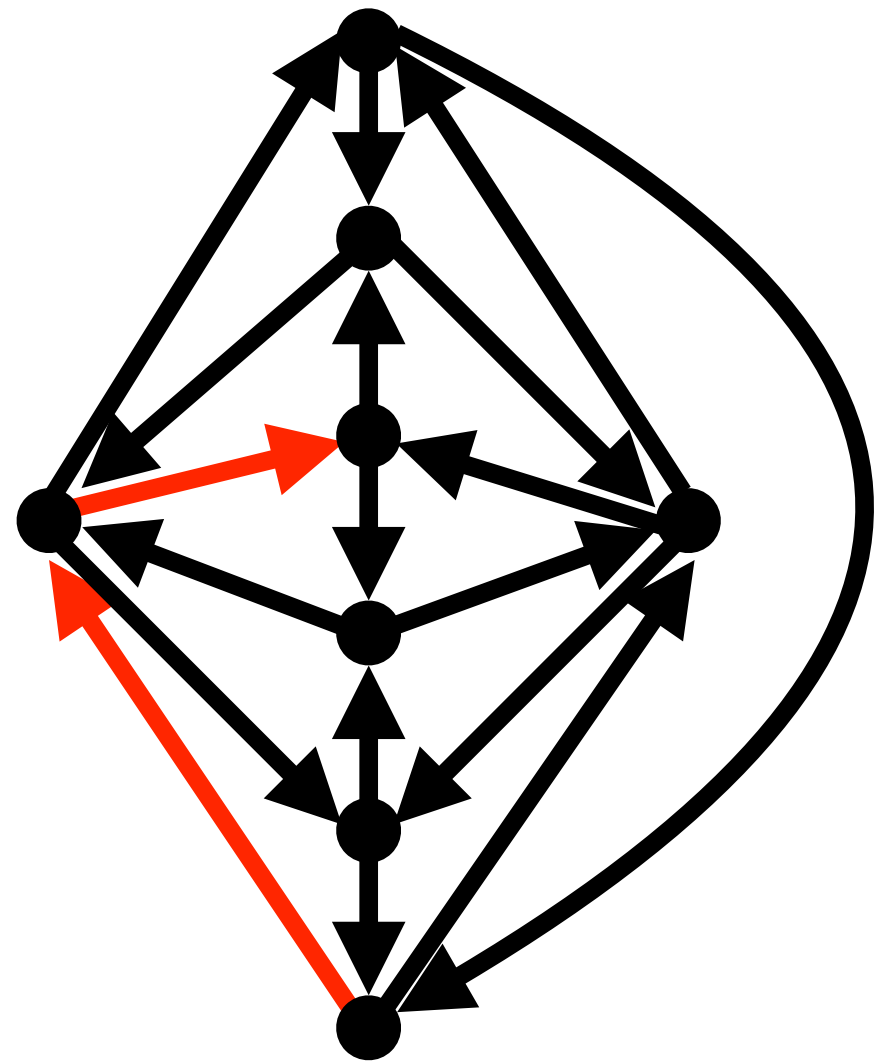
$C_3^{(2)}$  をimmersionとして含む平面埋め込み可能な正則有向グラフが存在する.



# r-正則有向グラフ( $r \geq 4$ )だと同じアイデアは...



平面性について  
別途考える必要が出てくる



ひとまず2-正則以外の有向グラフを考えるために

## Observation 3(再掲).

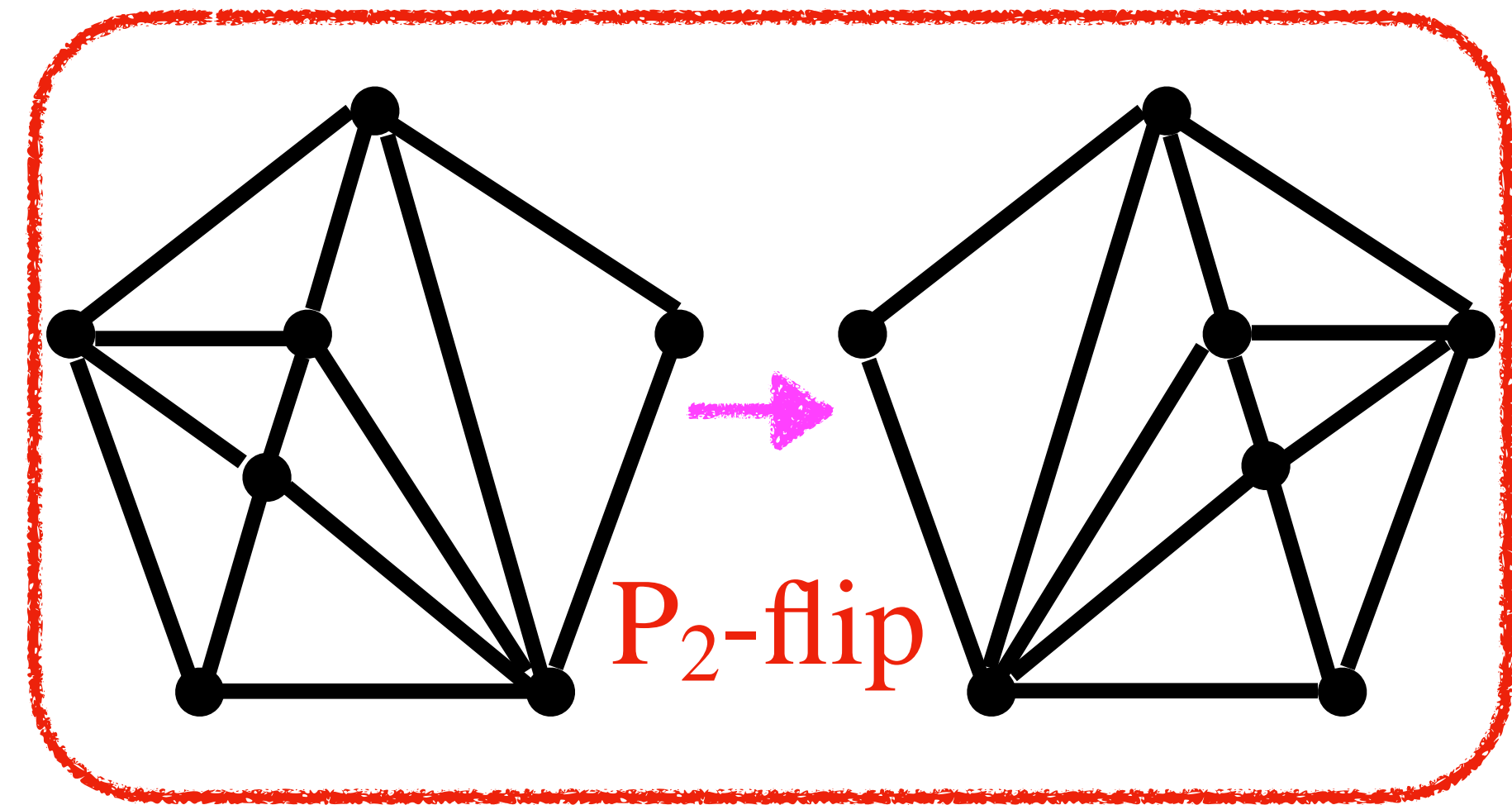
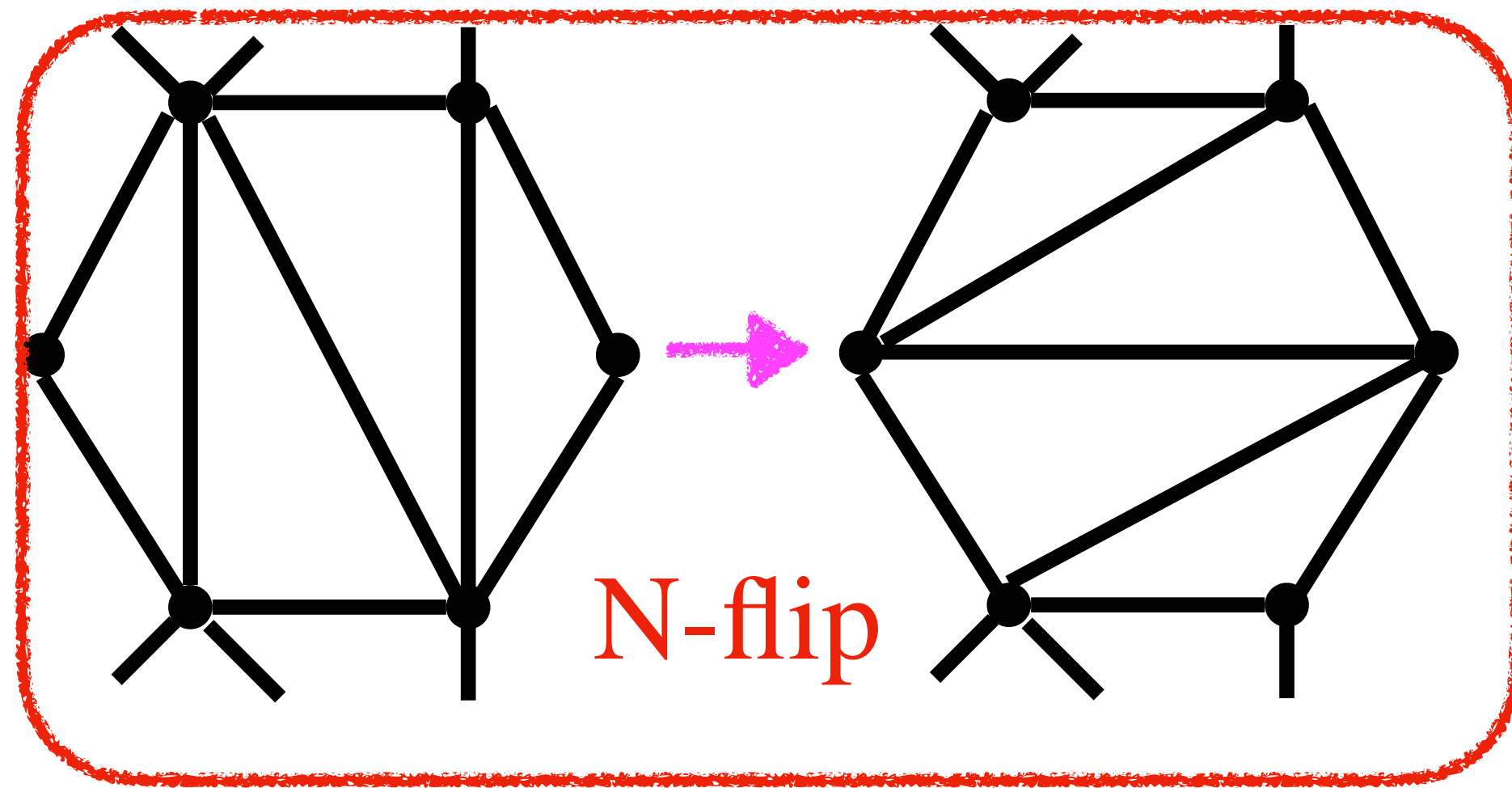
閉曲面  $F$  に有向グラフ  $D$  が埋め込み可能であることと,  $F$  において  $D$  (の無向基礎グラフ)がface 2-colorableであることは同値である.

face 2-colorableという性質を保存する局所変形でグラフの列挙を試みる

ひとまず2-正則以外の有向グラフを考えるために

Theorem F (Nakamoto et al.).

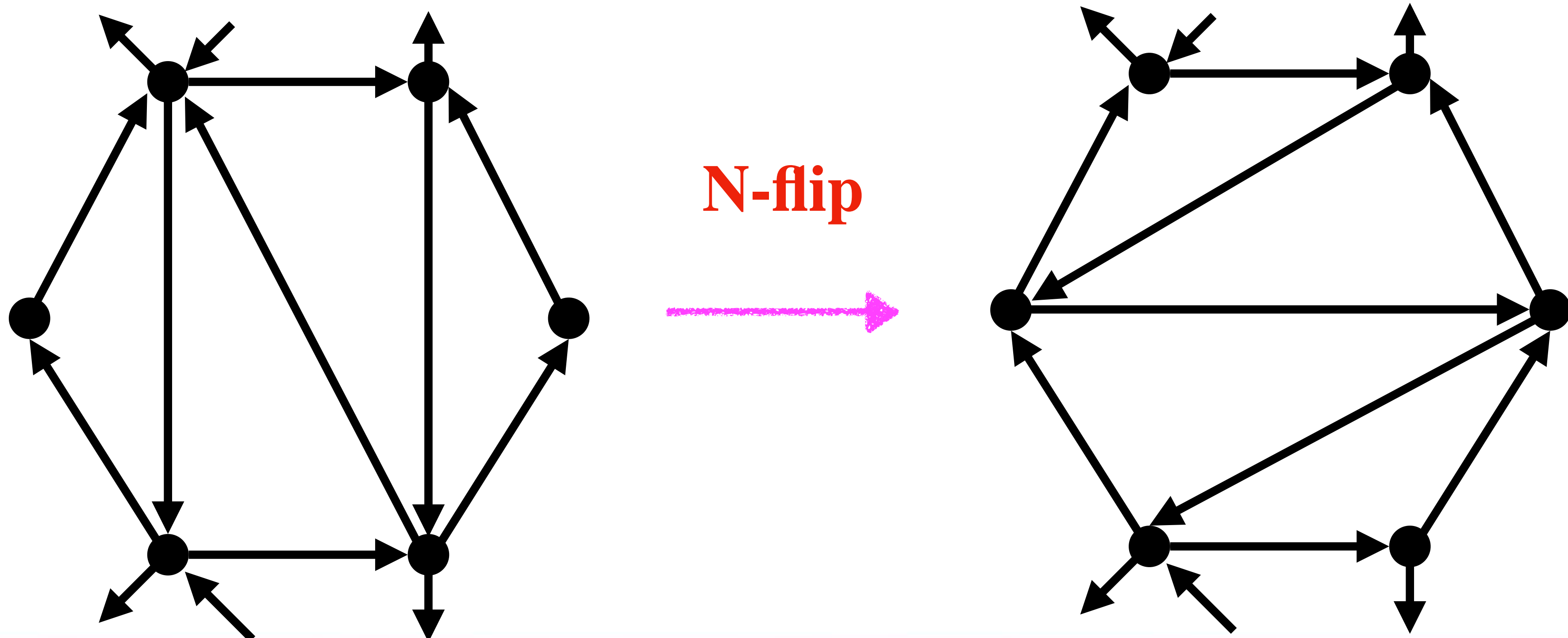
Any two even triangulations on the sphere with the same number of vertices can be transformed into each other by **N-flips** and  **$P_2$ -flips**.



# Theorem 5.

$D, D'$ : regular digraphs on the sphere, and  $|D| = |D'|$ .

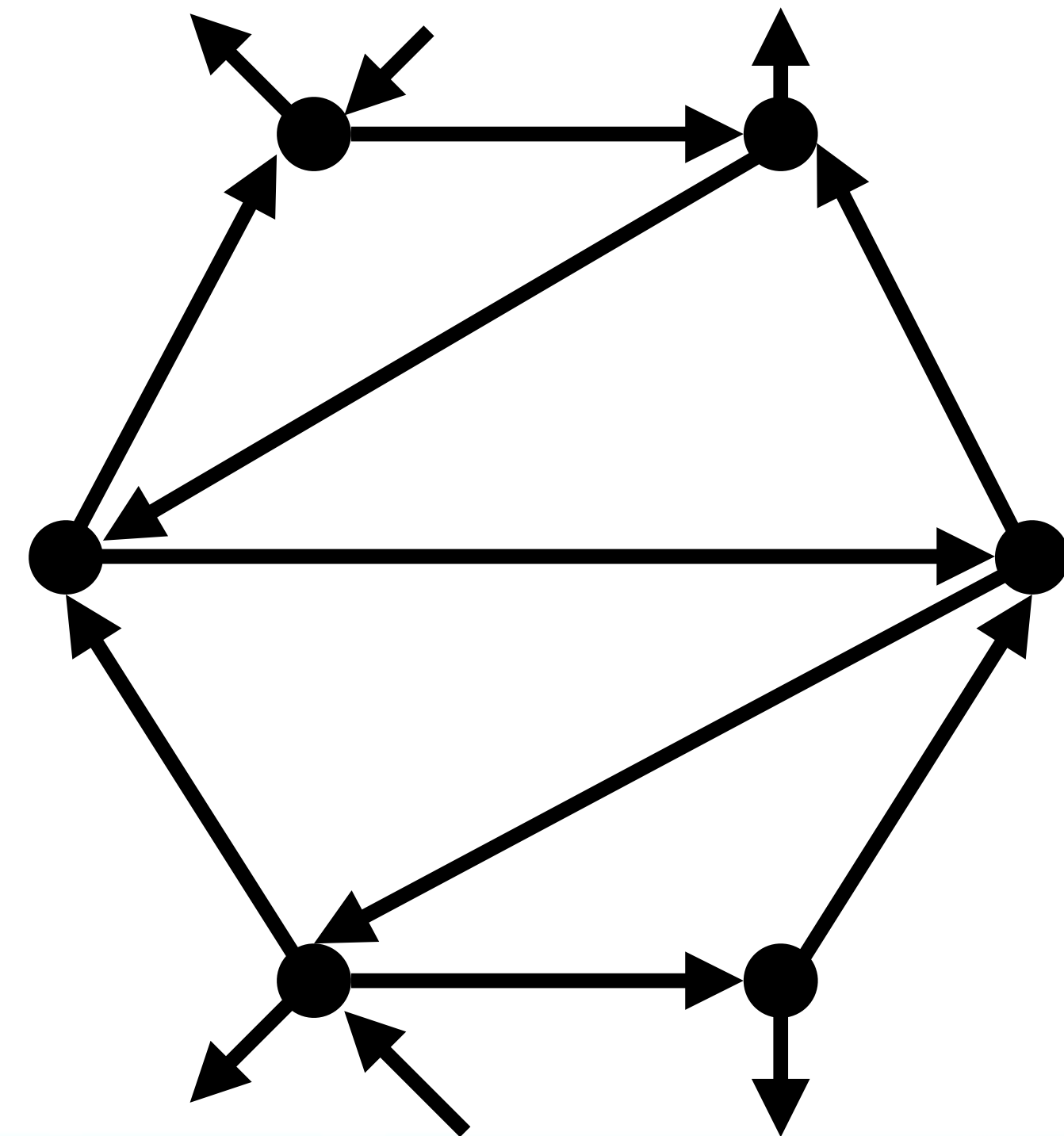
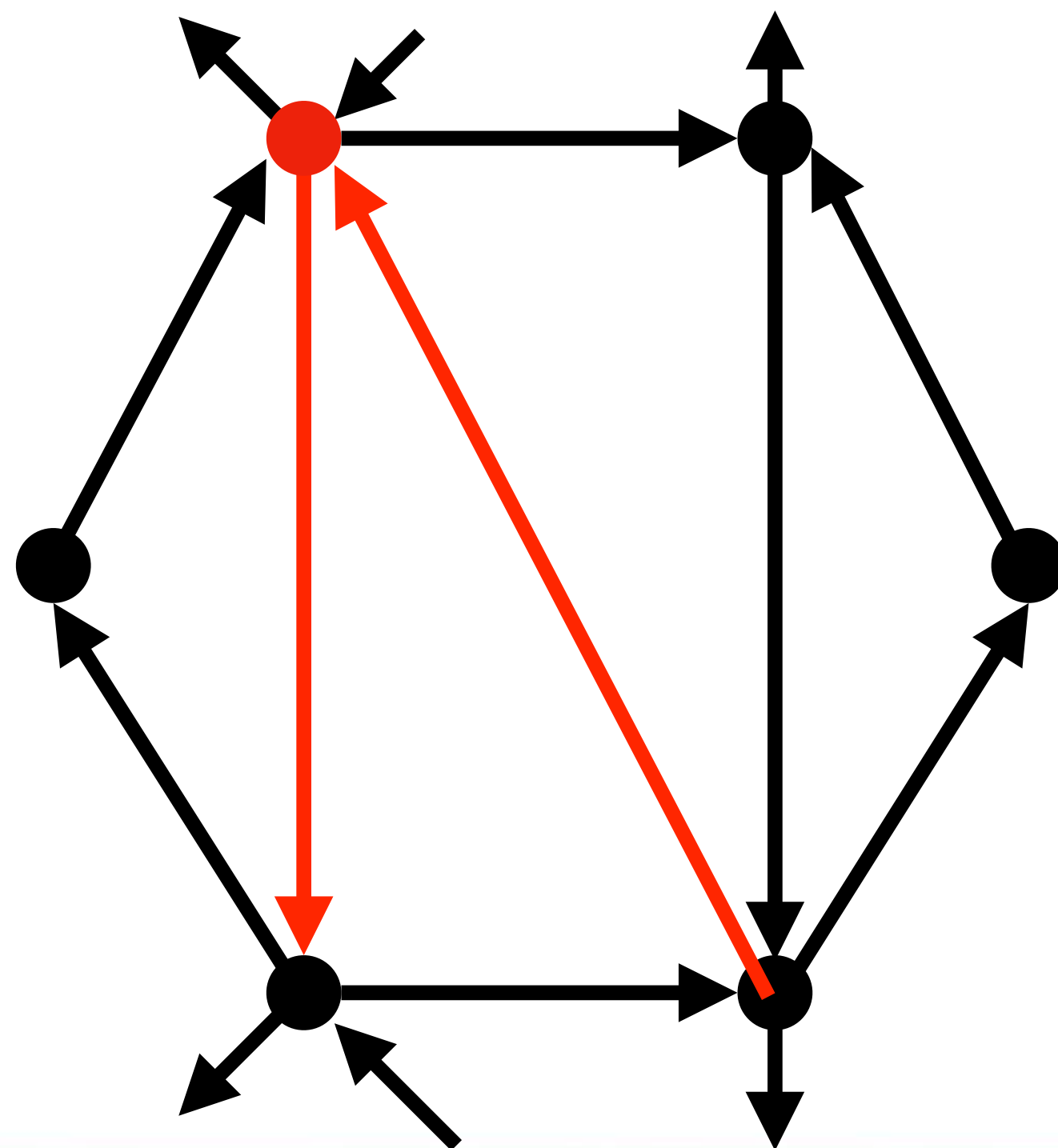
If their underlying graphs are simple even triangulations, then they can be transformed into each other by a sequence of **splittings** and **mergings** preserving the number of vertices.



# Theorem 5.

$D, D'$ : regular digraphs on the sphere, and  $|D| = |D'|$ .

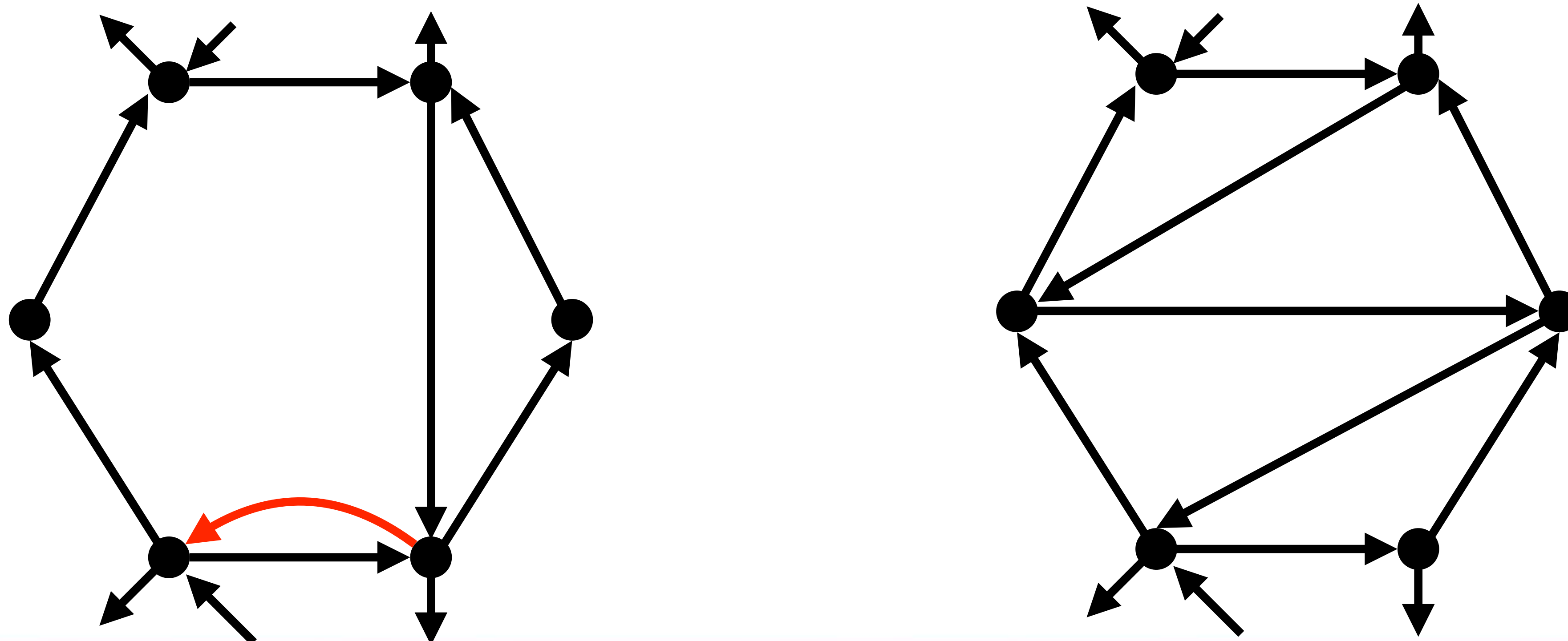
If their underlying graphs are simple even triangulations, then they can be transformed into each other by a sequence of **splittings** and **mergings** preserving the number of vertices.



# Theorem 5.

$D, D'$ : regular digraphs on the sphere, and  $|D| = |D'|$ .

If their underlying graphs are simple even triangulations, then they can be transformed into each other by a sequence of **splittings** and **mergings** preserving the number of vertices.

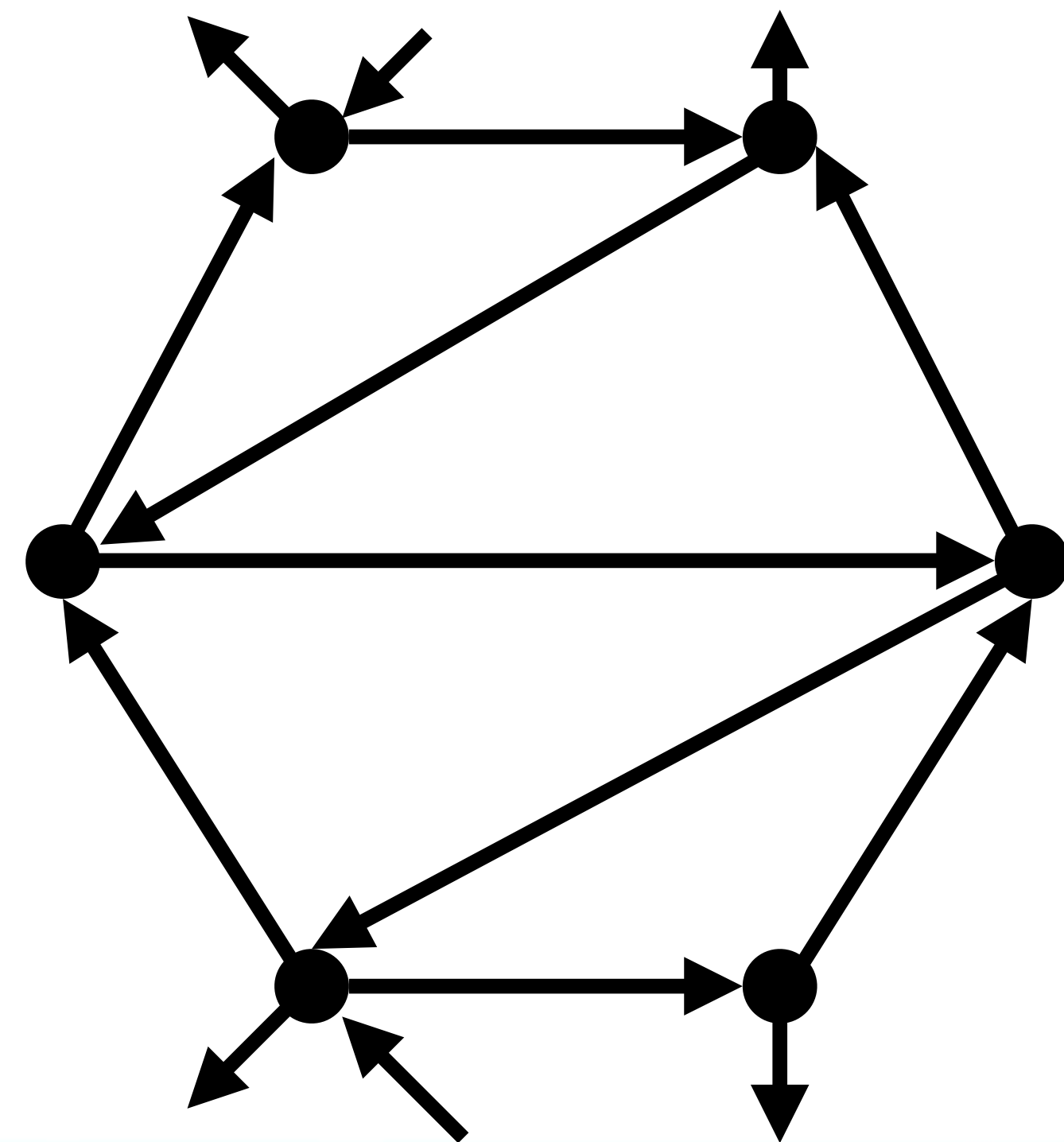
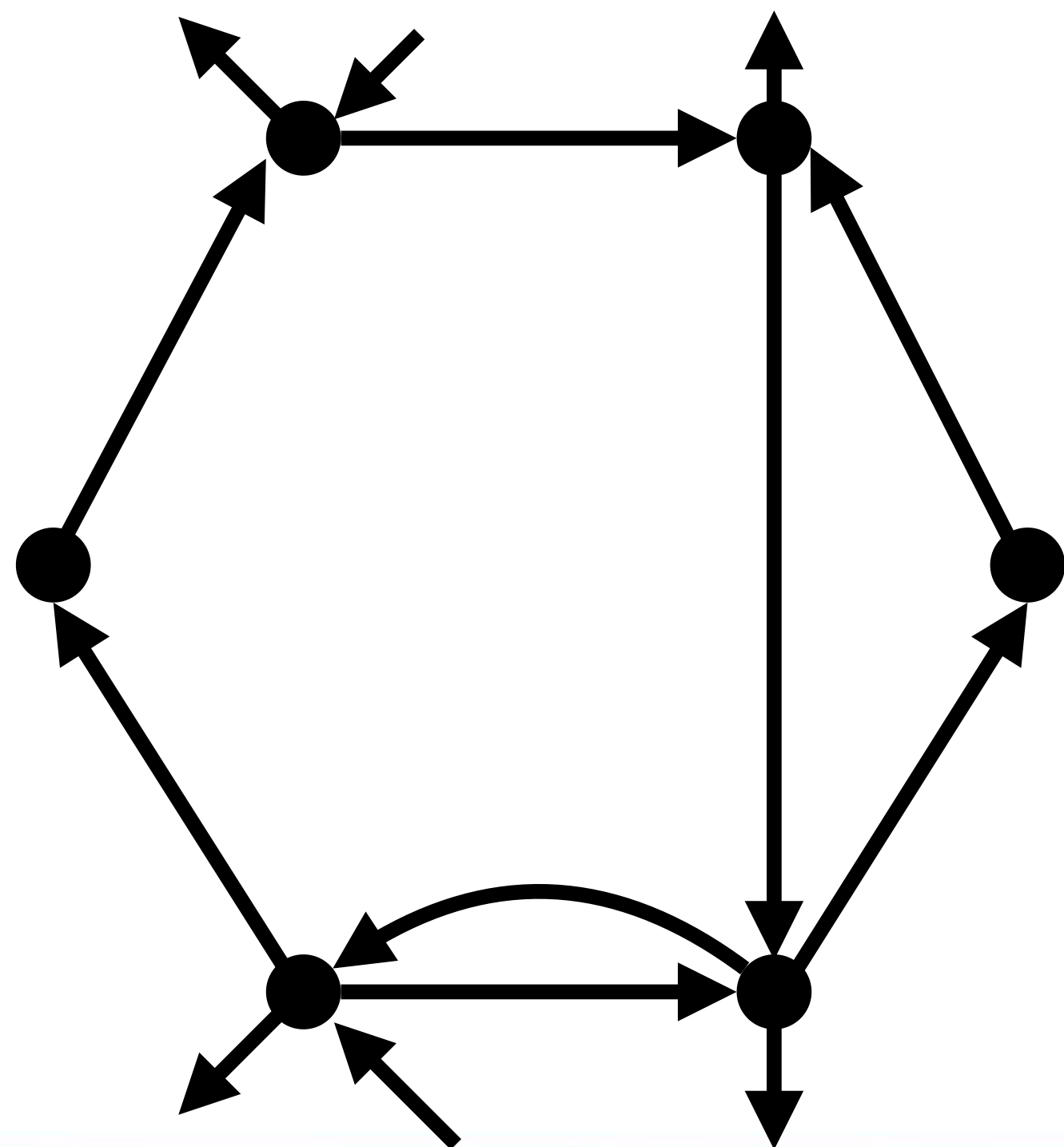




# Theorem 5.

$D, D'$ : regular digraphs on the sphere, and  $|D| = |D'|$ .

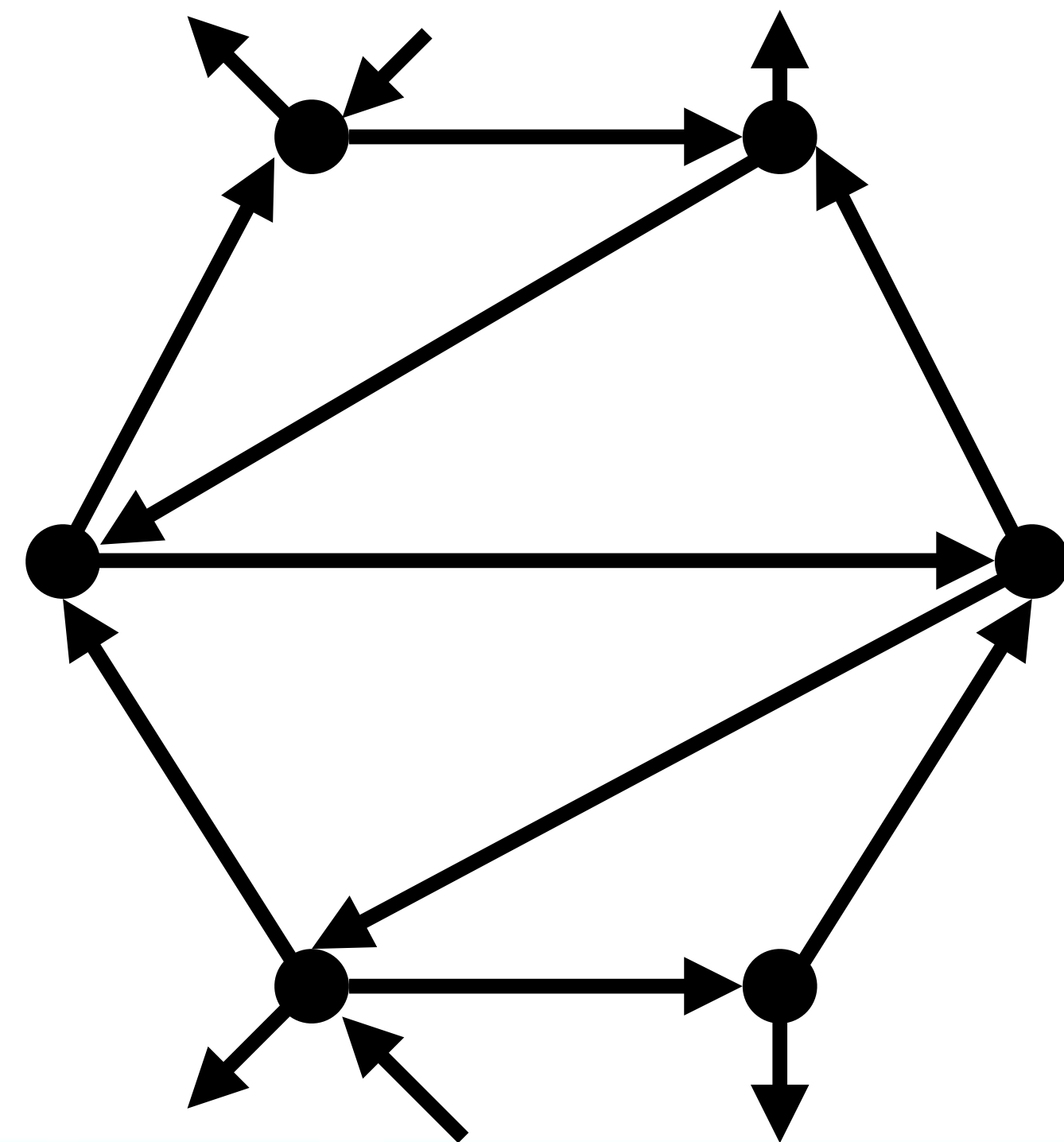
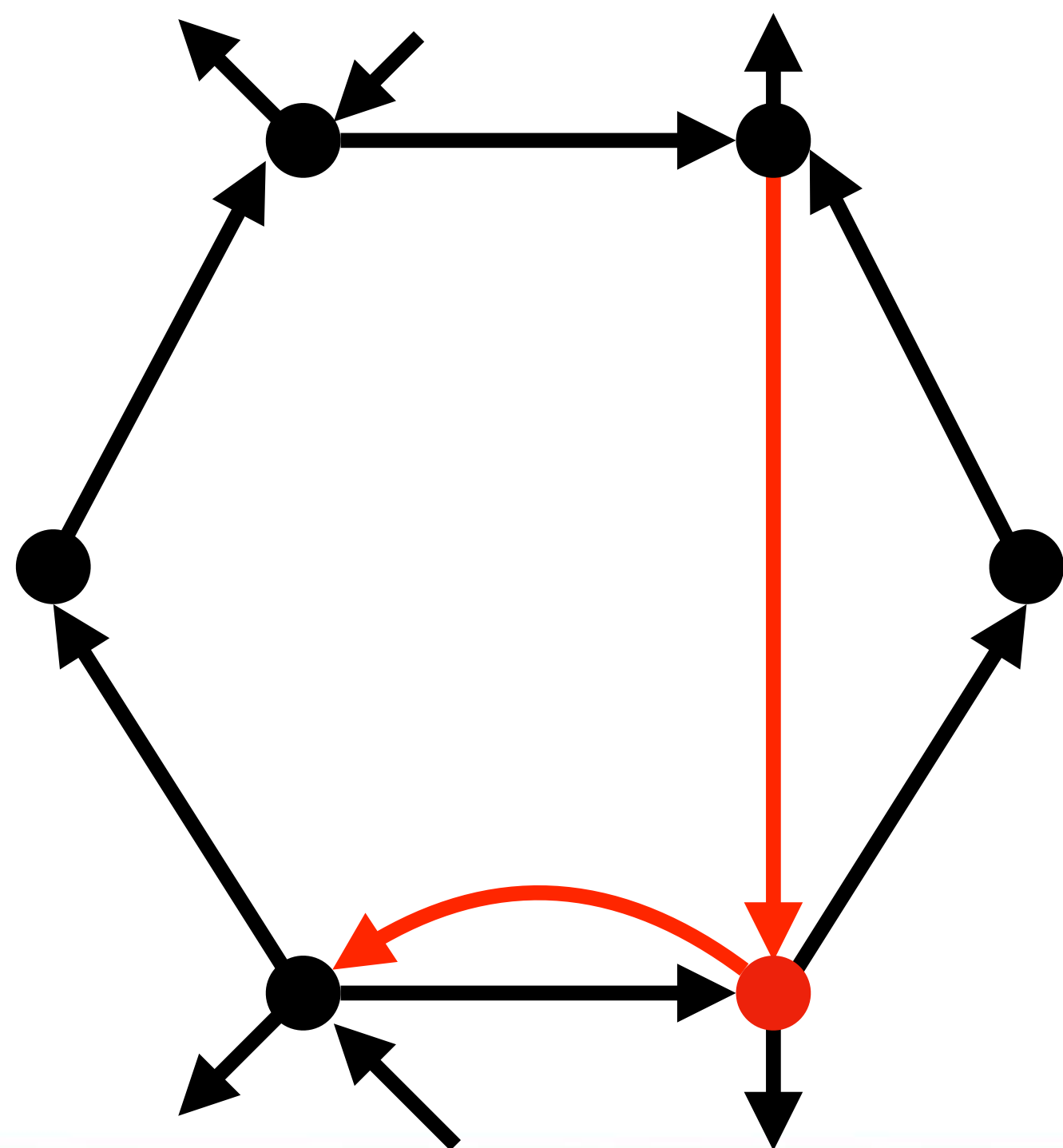
If their underlying graphs are simple even triangulations, then they can be transformed into each other by a sequence of **splittings** and **mergings** preserving the number of vertices.



# Theorem 5.

$D, D'$ : regular digraphs on the sphere, and  $|D| = |D'|$ .

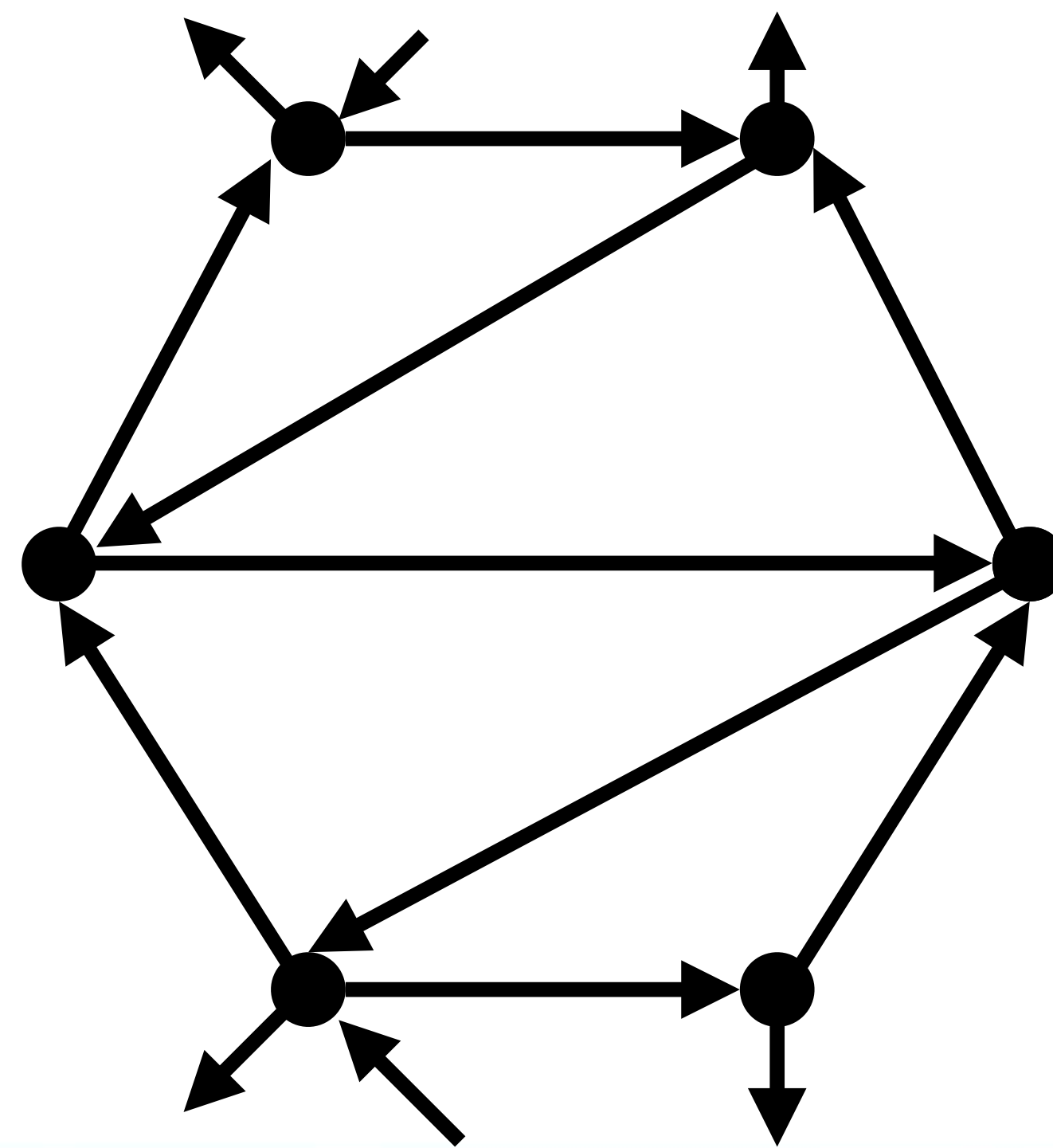
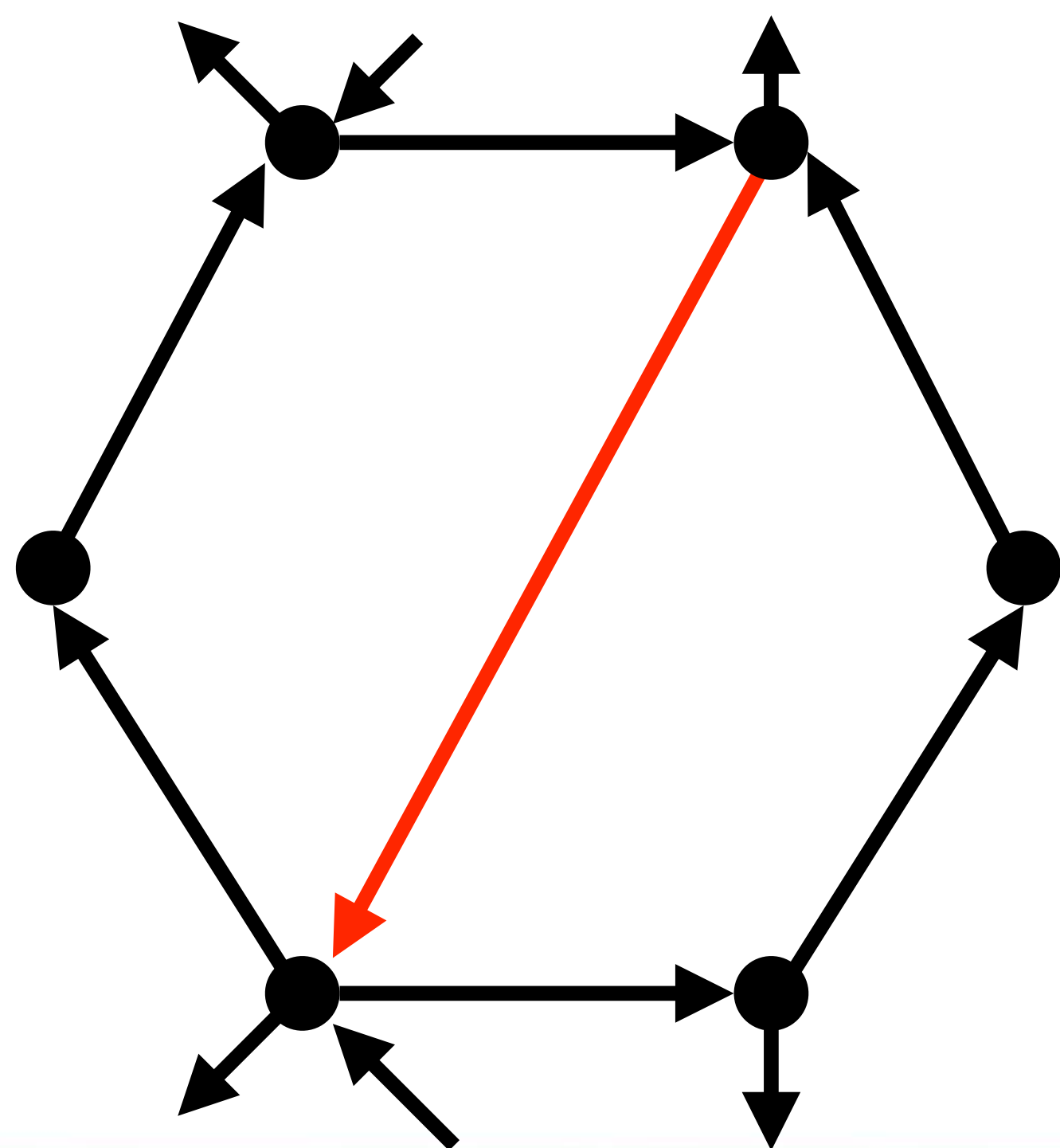
If their underlying graphs are simple even triangulations, then they can be transformed into each other by a sequence of **splittings** and **mergings** preserving the number of vertices.



# Theorem 5.

$D, D'$ : regular digraphs on the sphere, and  $|D| = |D'|$ .

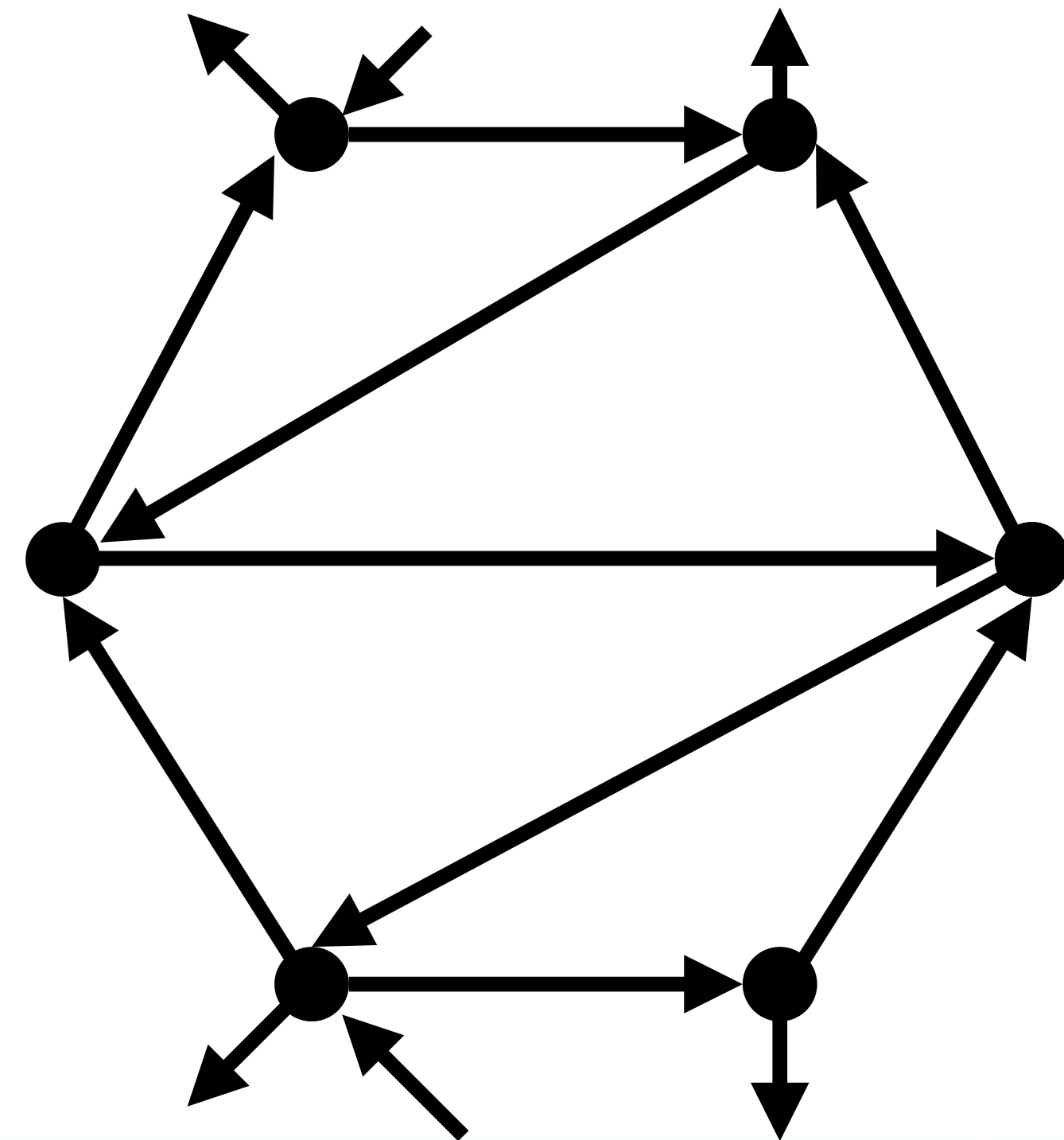
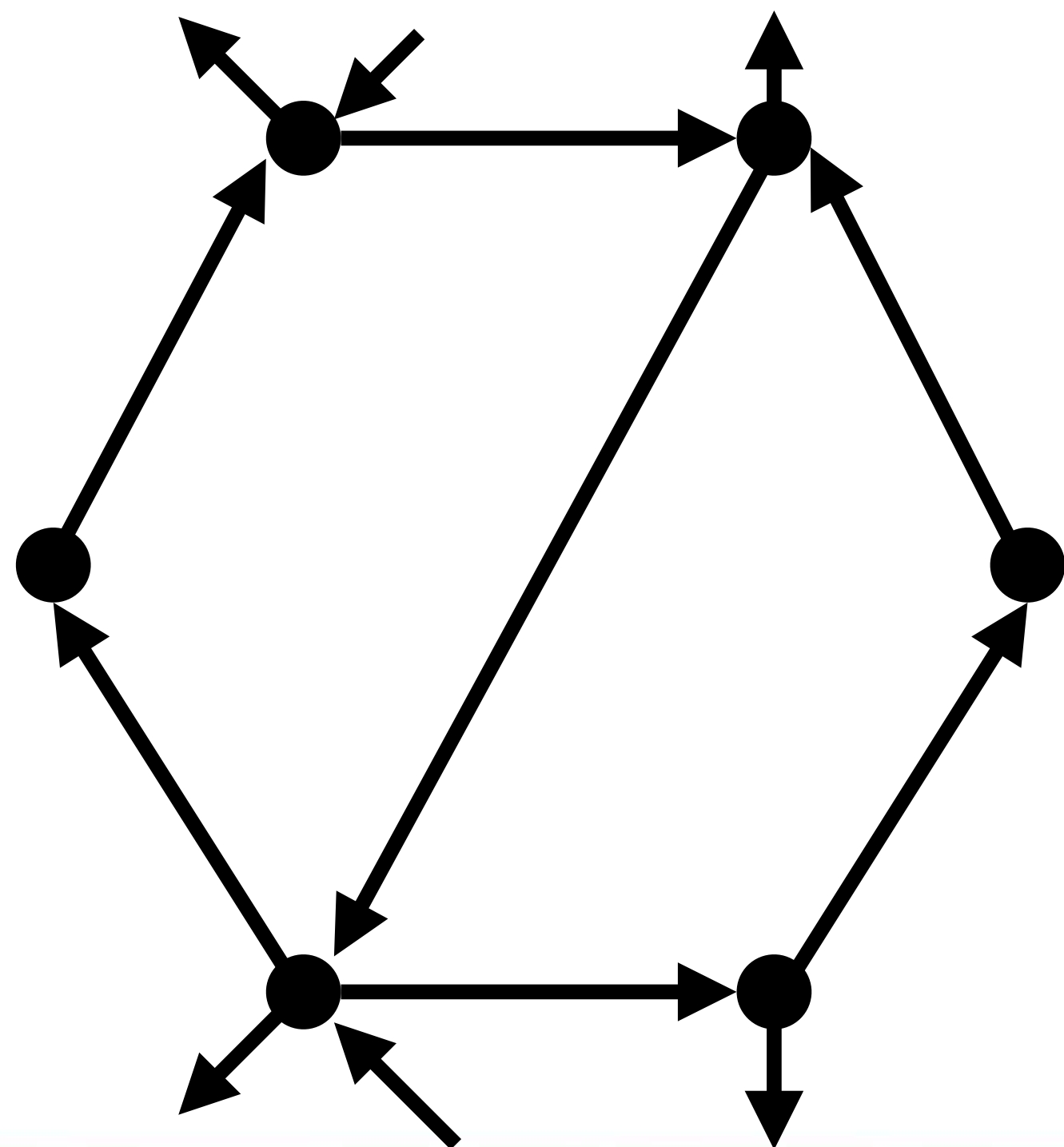
If their underlying graphs are simple even triangulations, then they can be transformed into each other by a sequence of **splittings** and **mergings** preserving the number of vertices.



# Theorem 5.

$D, D'$ : regular digraphs on the sphere, and  $|D| = |D'|$ .

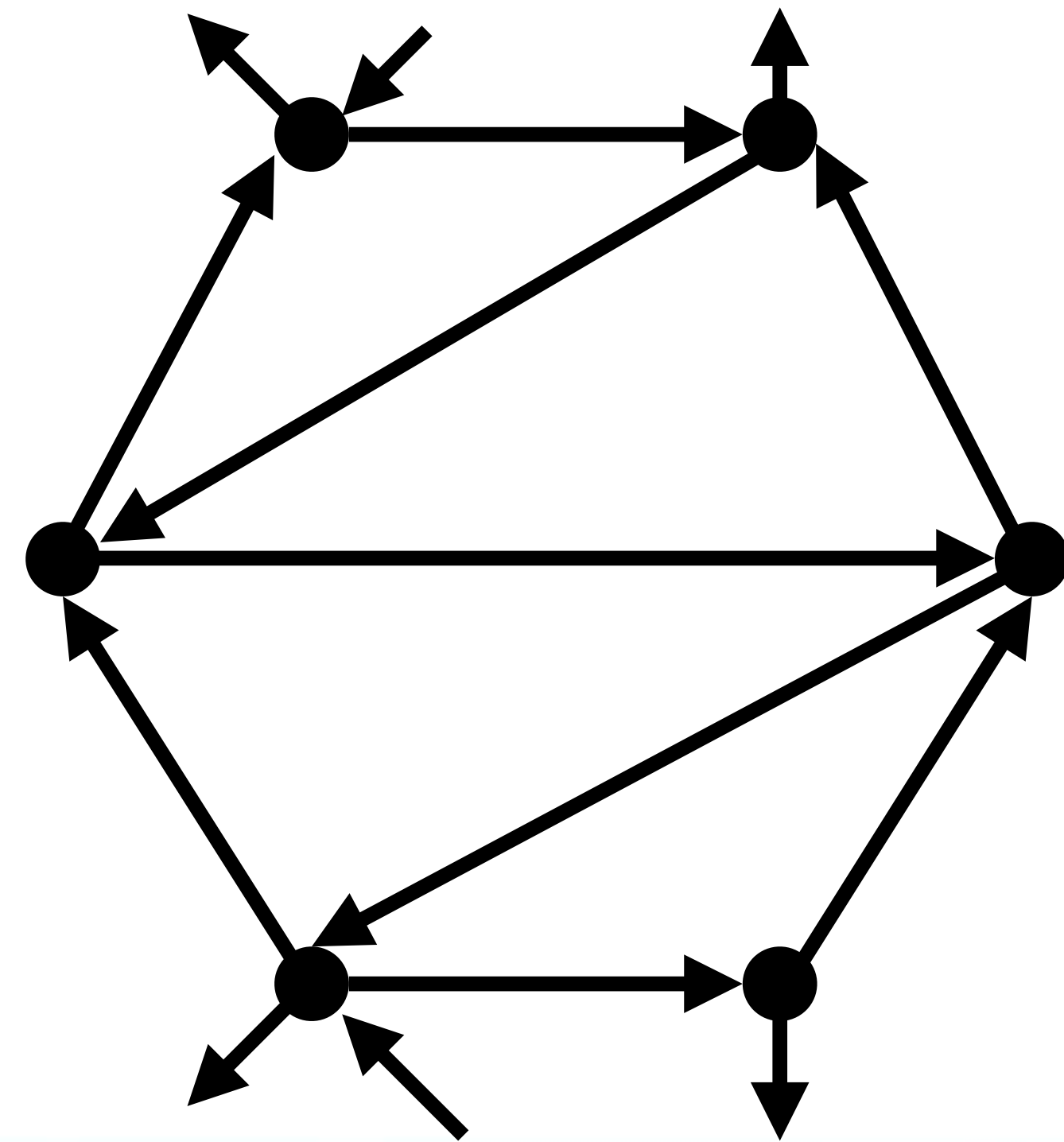
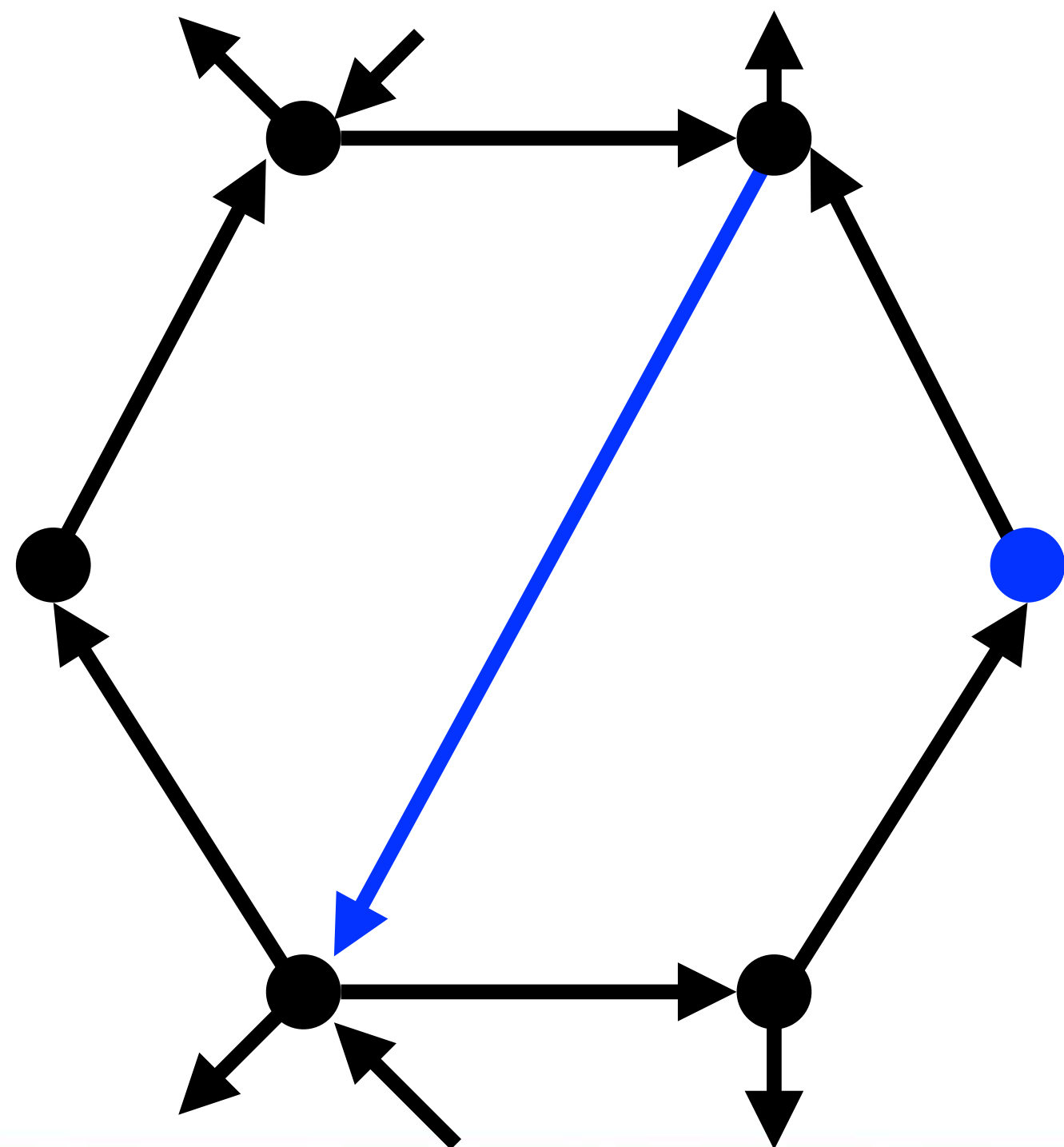
If their underlying graphs are simple even triangulations, then they can be transformed into each other by a sequence of **splittings** and **mergings** preserving the number of vertices.



# Theorem 5.

$D, D'$ : regular digraphs on the sphere, and  $|D| = |D'|$ .

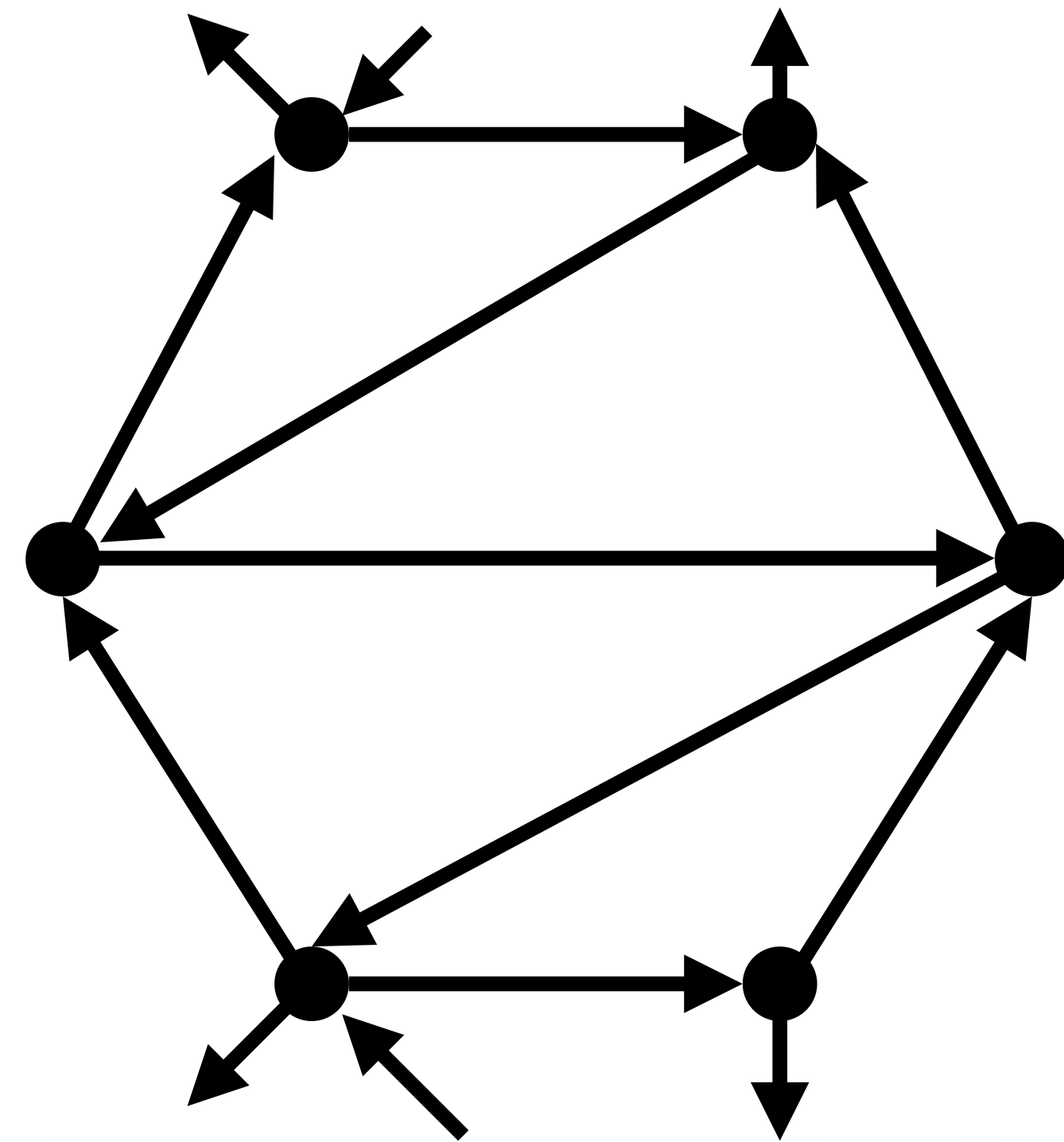
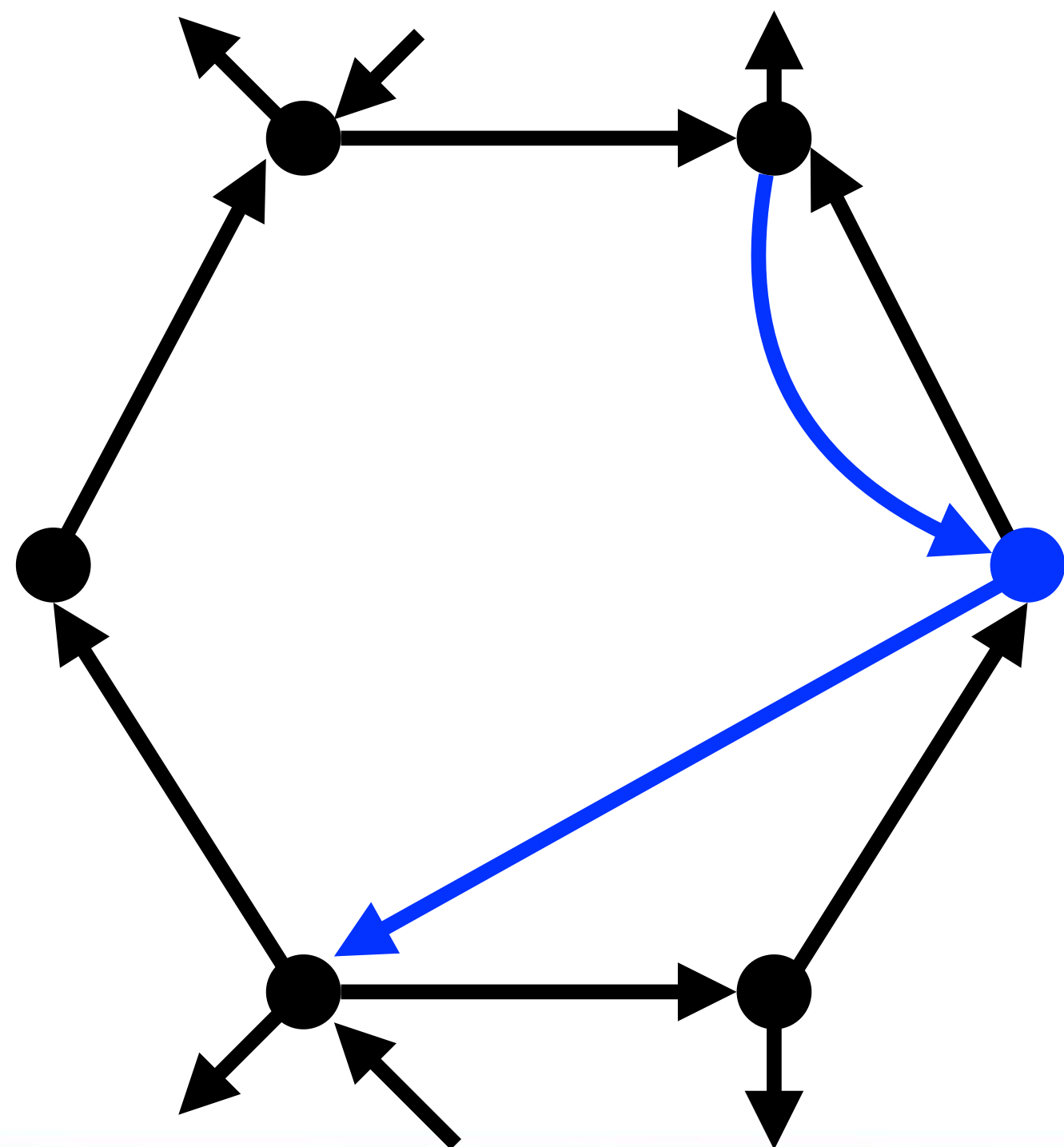
If their underlying graphs are simple even triangulations, then they can be transformed into each other by a sequence of **splittings** and **mergings** preserving the number of vertices.



# Theorem 5.

$D, D'$ : regular digraphs on the sphere, and  $|D| = |D'|$ .

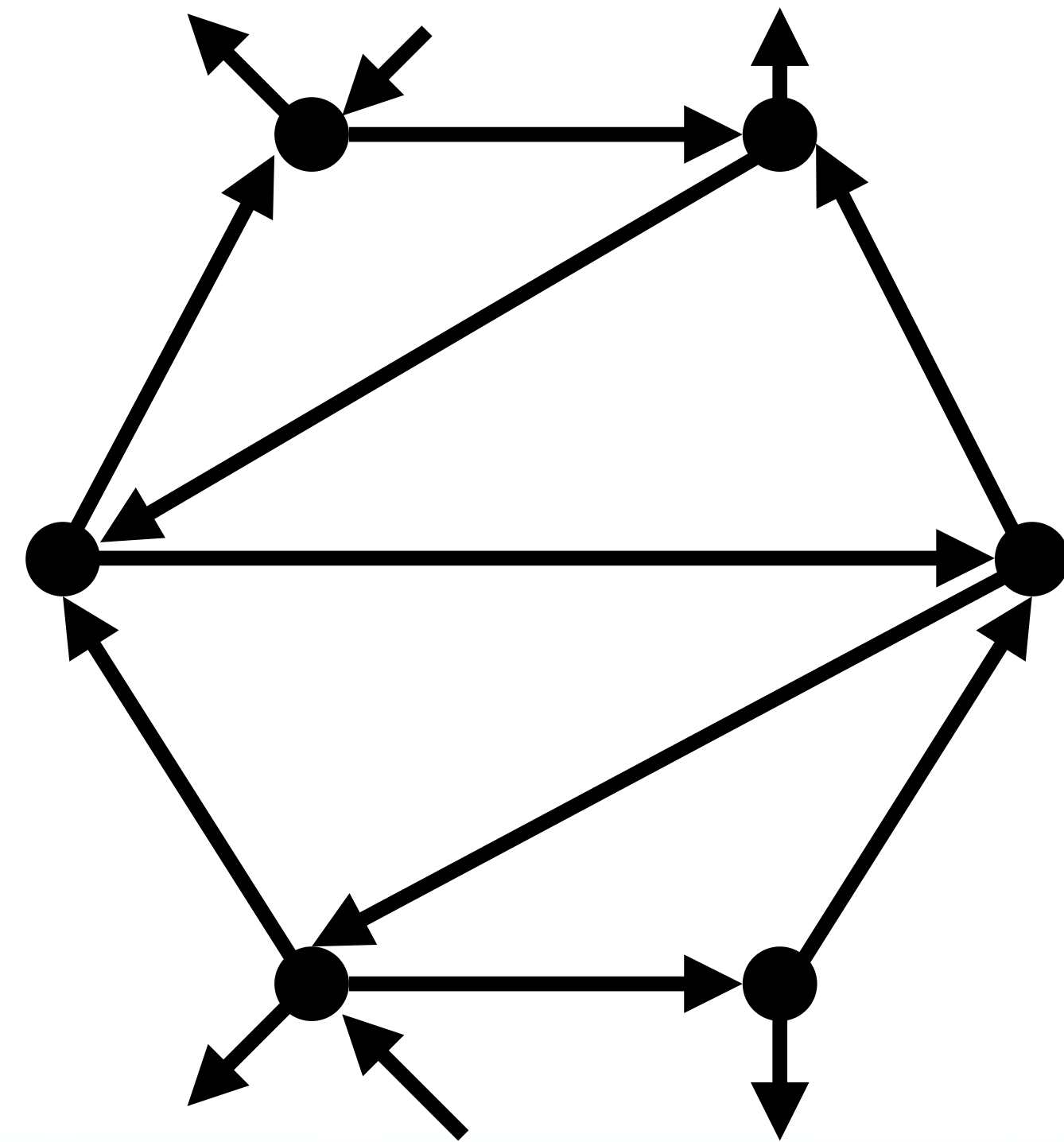
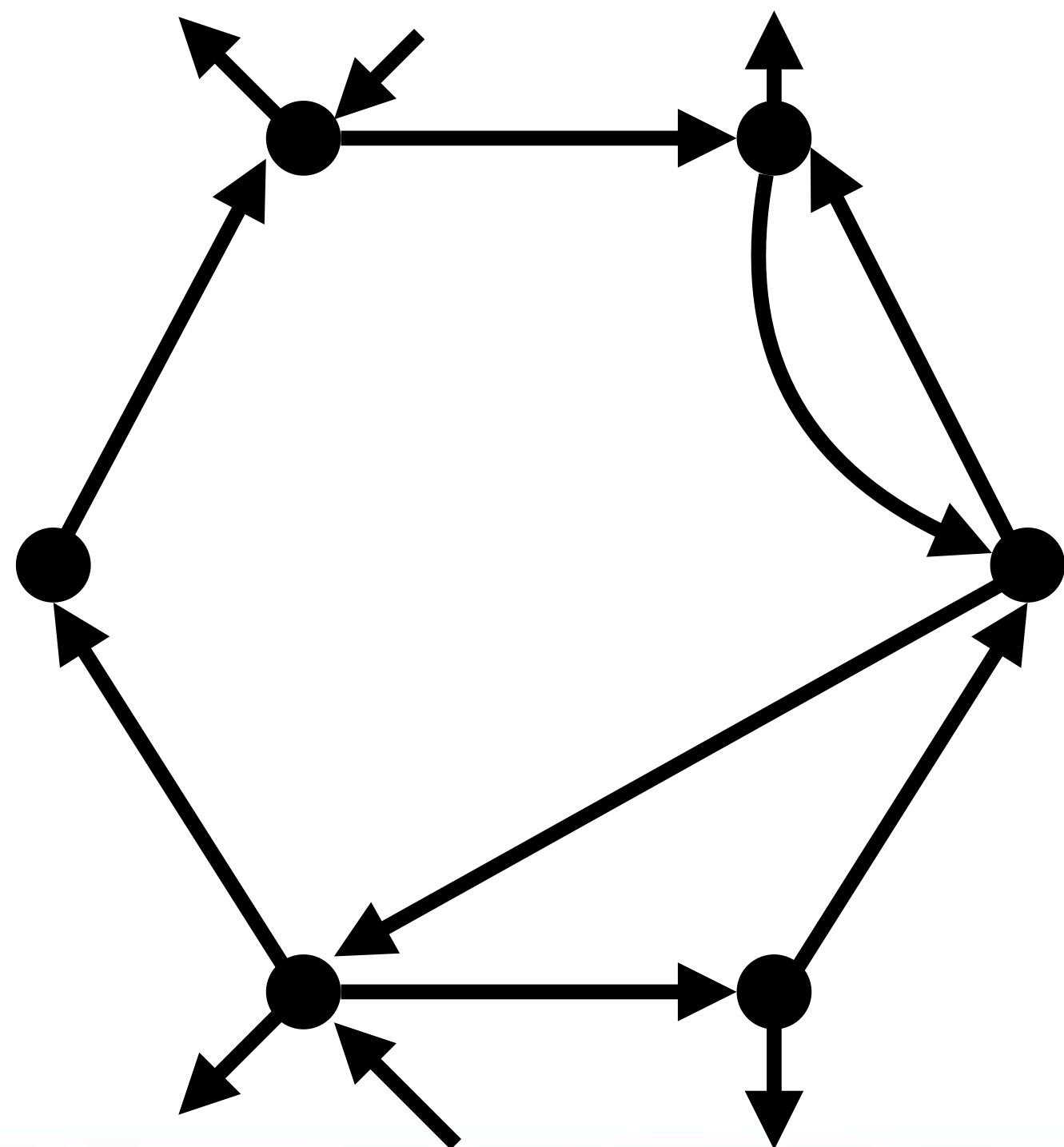
If their underlying graphs are simple even triangulations, then they can be transformed into each other by a sequence of **splittings** and **mergings** preserving the number of vertices.



# Theorem 5.

$D, D'$ : regular digraphs on the sphere, and  $|D| = |D'|$ .

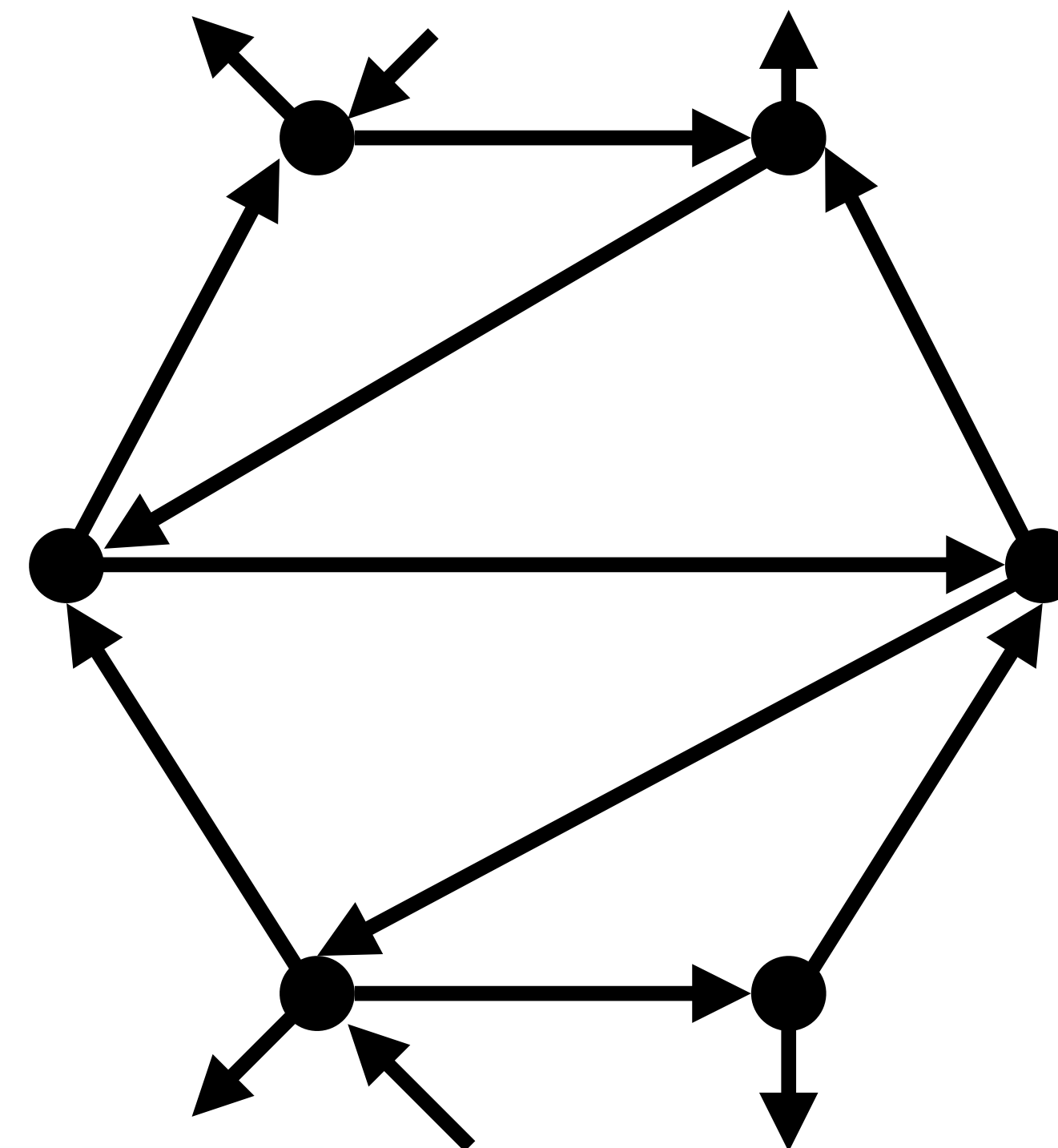
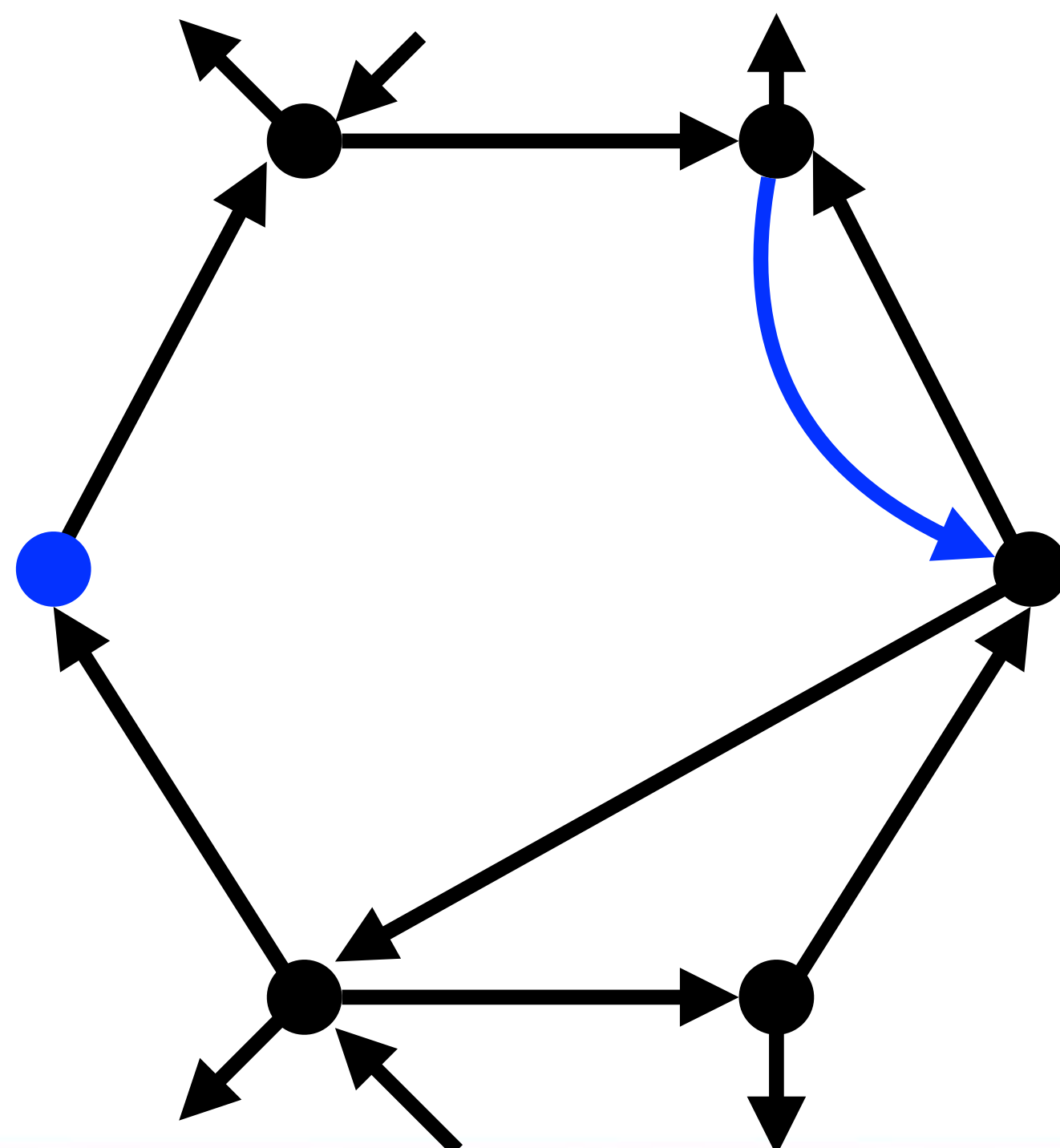
If their underlying graphs are simple even triangulations, then they can be transformed into each other by a sequence of **splittings** and **mergings** preserving the number of vertices.



# Theorem 5.

$D, D'$ : regular digraphs on the sphere, and  $|D| = |D'|$ .

If their underlying graphs are simple even triangulations, then they can be transformed into each other by a sequence of **splittings** and **mergings** preserving the number of vertices.

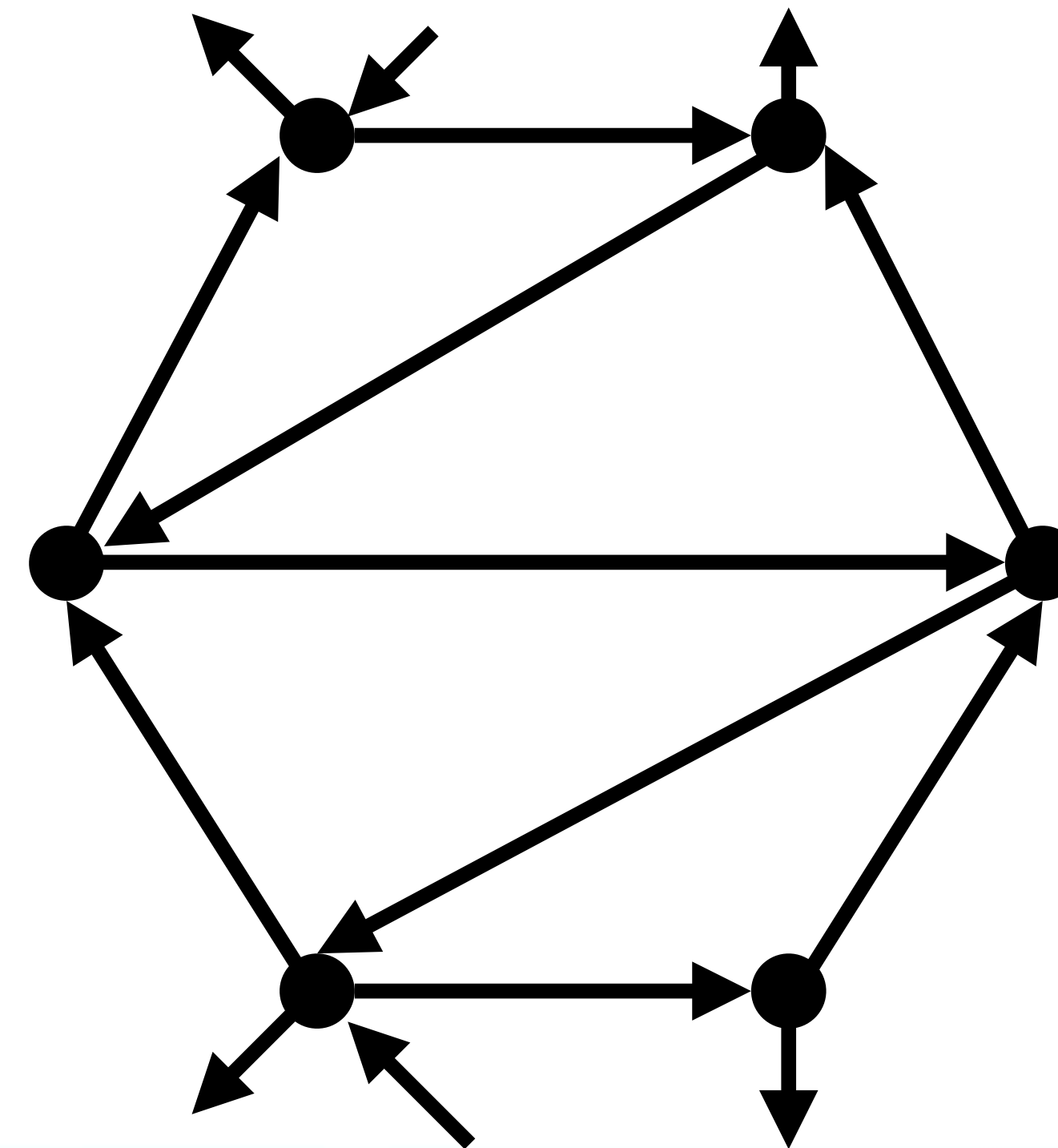
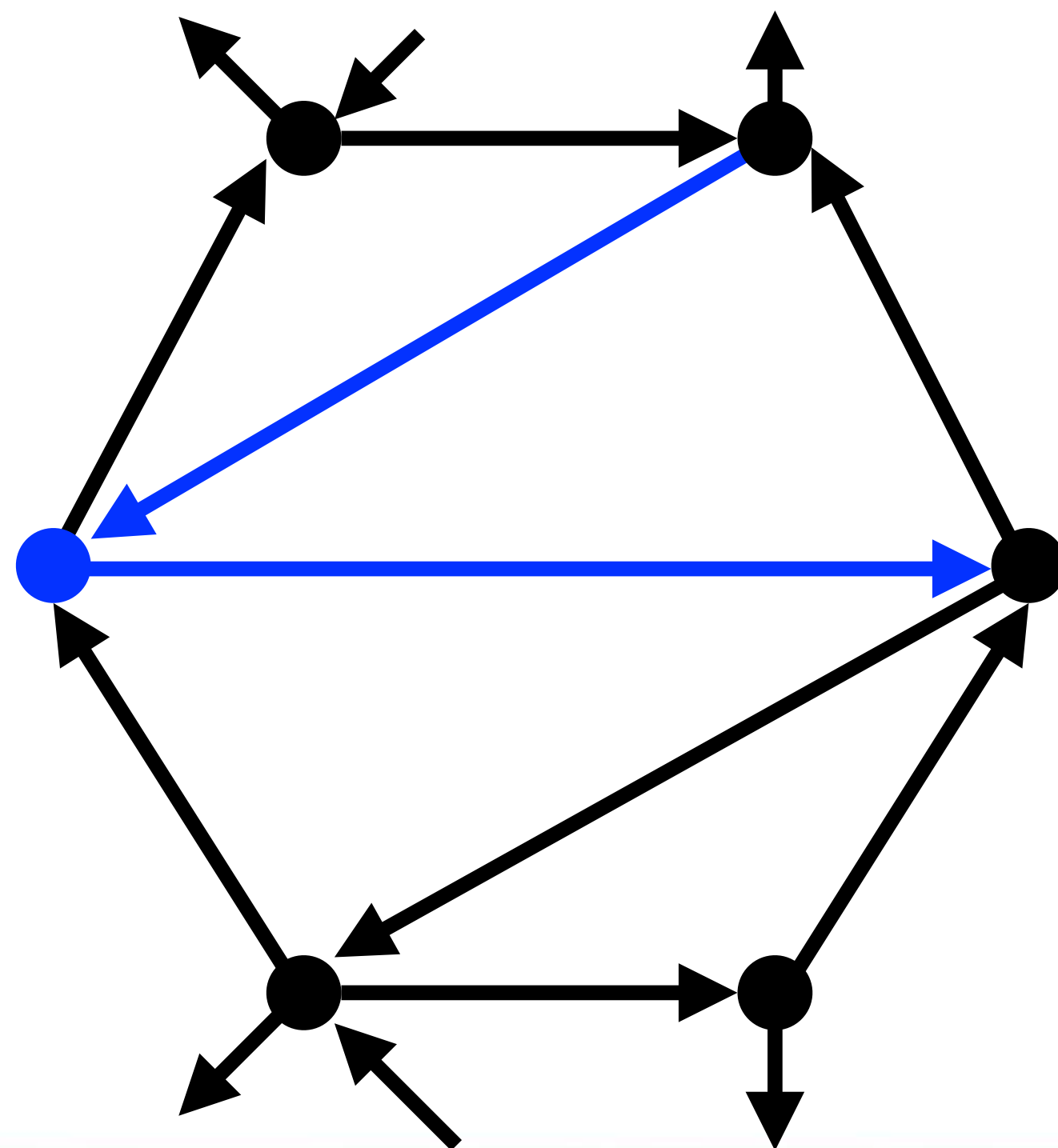




# Theorem 5.

$D, D'$ : regular digraphs on the sphere, and  $|D| = |D'|$ .

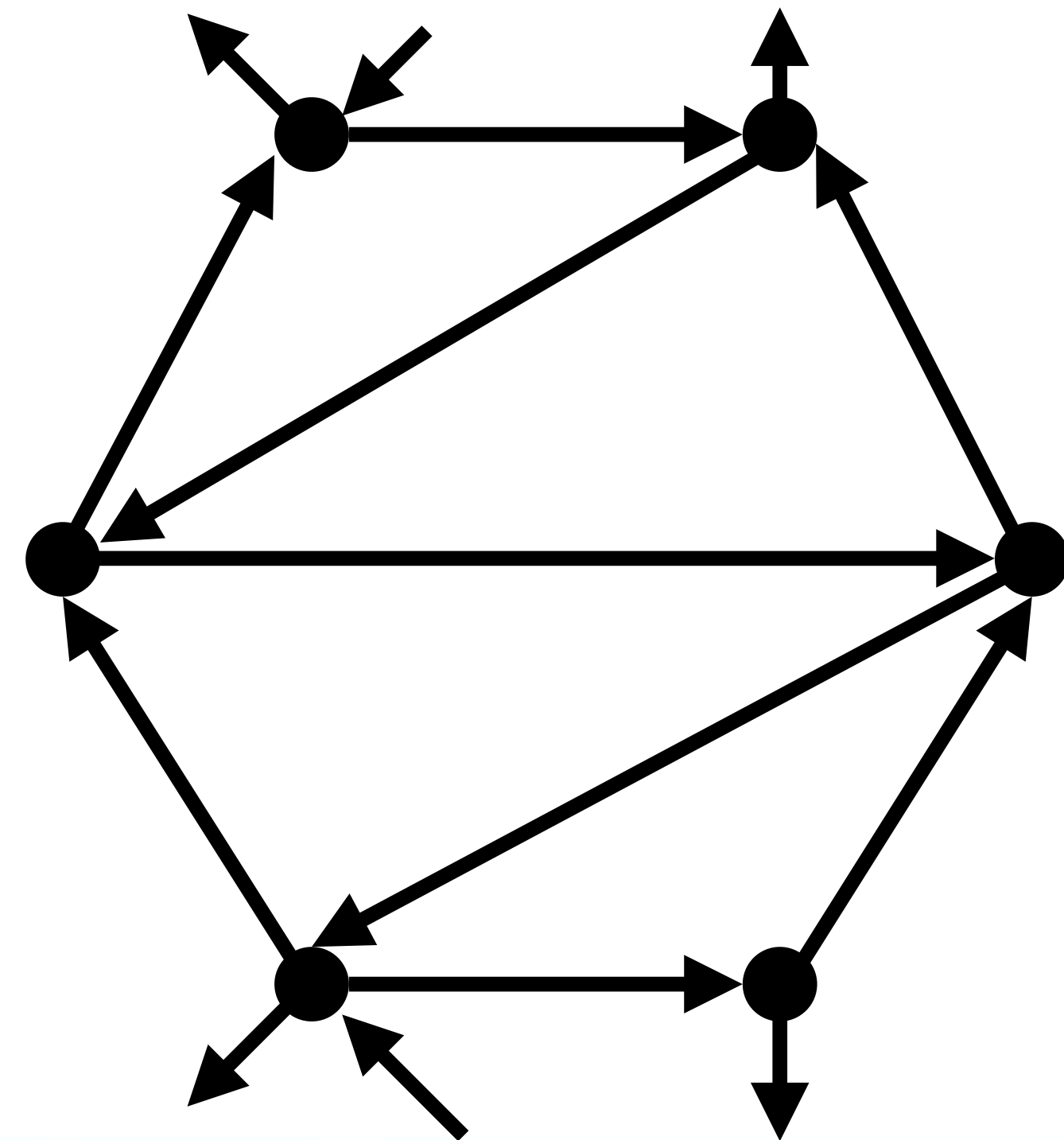
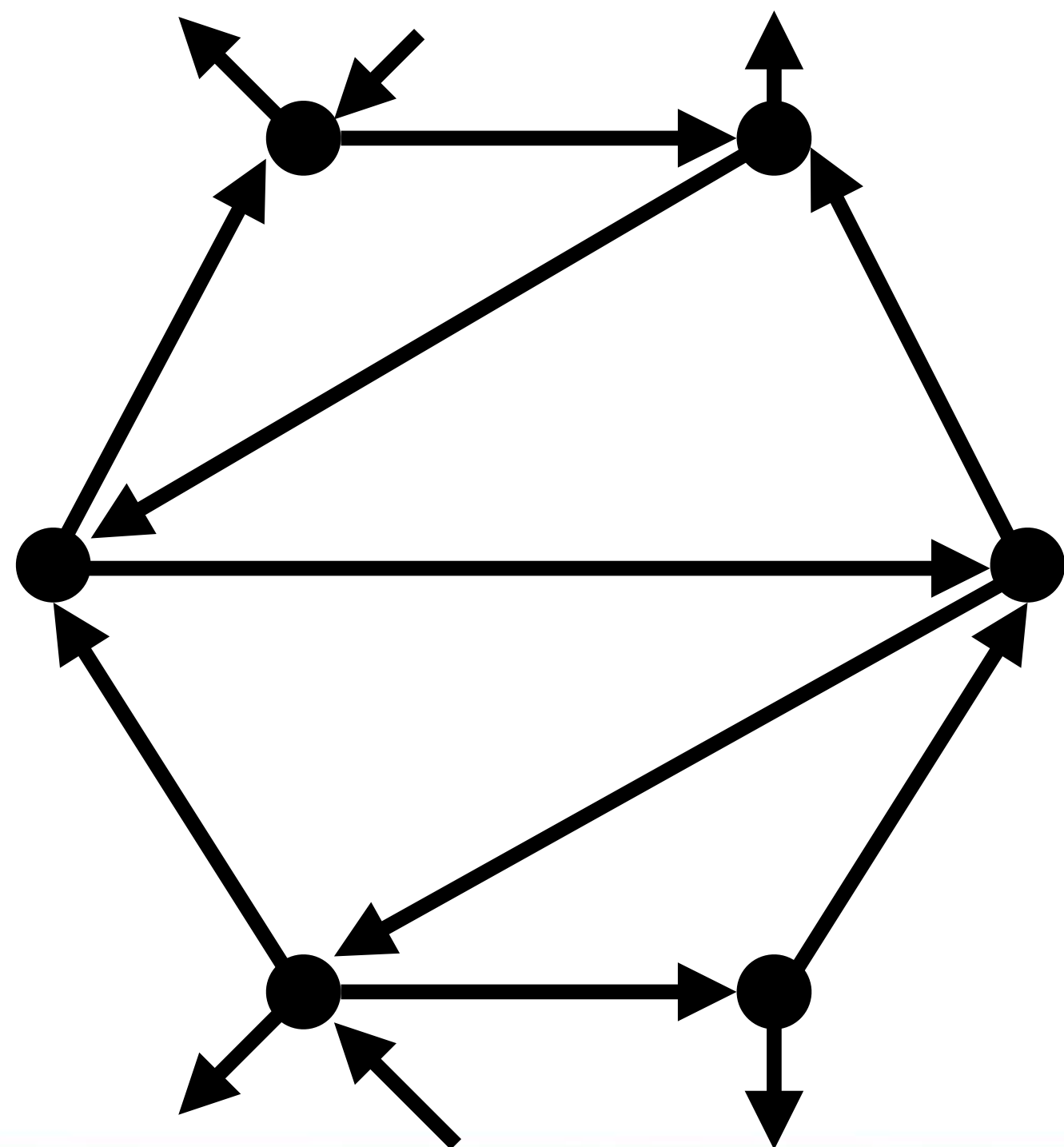
If their underlying graphs are simple even triangulations, then they can be transformed into each other by a sequence of **splittings** and **mergings** preserving the number of vertices.



# Theorem 5.

$D, D'$ : regular digraphs on the sphere, and  $|D| = |D'|$ .

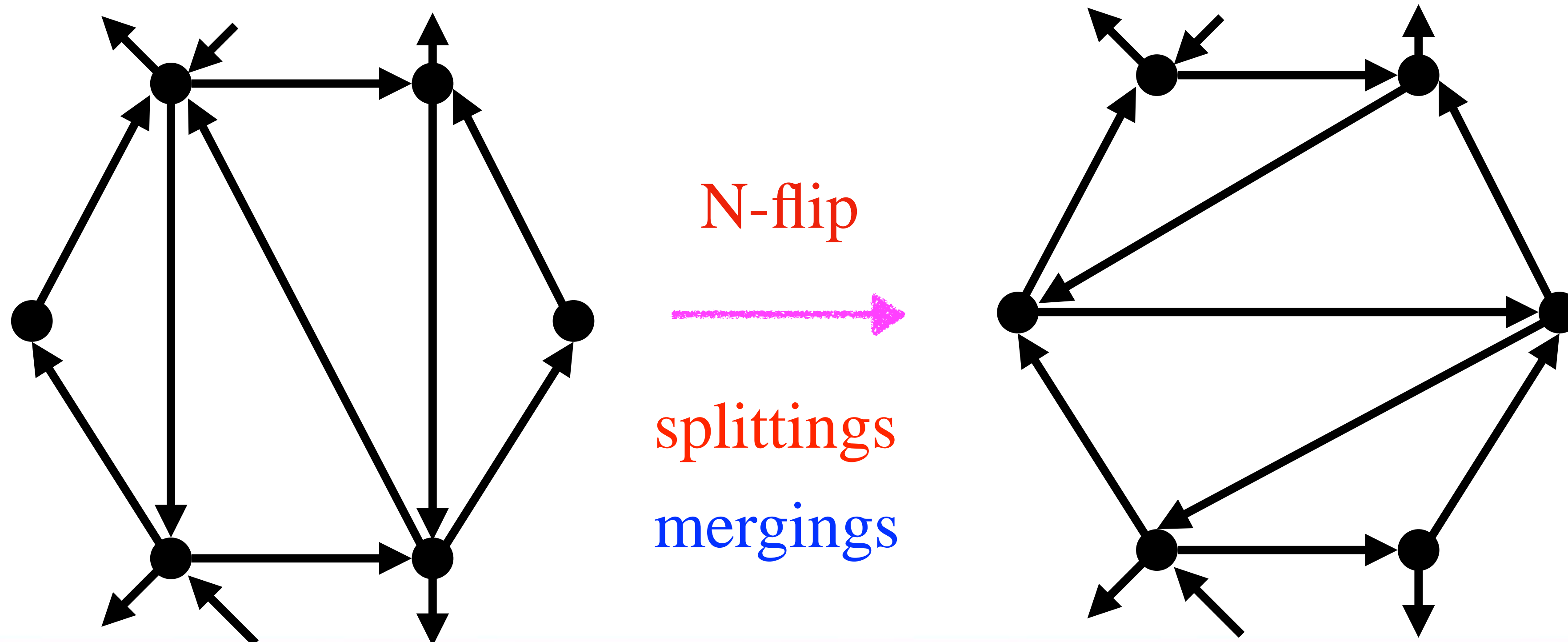
If their underlying graphs are simple even triangulations, then they can be transformed into each other by a sequence of **splittings** and **mergings** preserving the number of vertices.



# Theorem 5.

$D, D'$ : regular digraphs on the sphere, and  $|D| = |D'|$ .

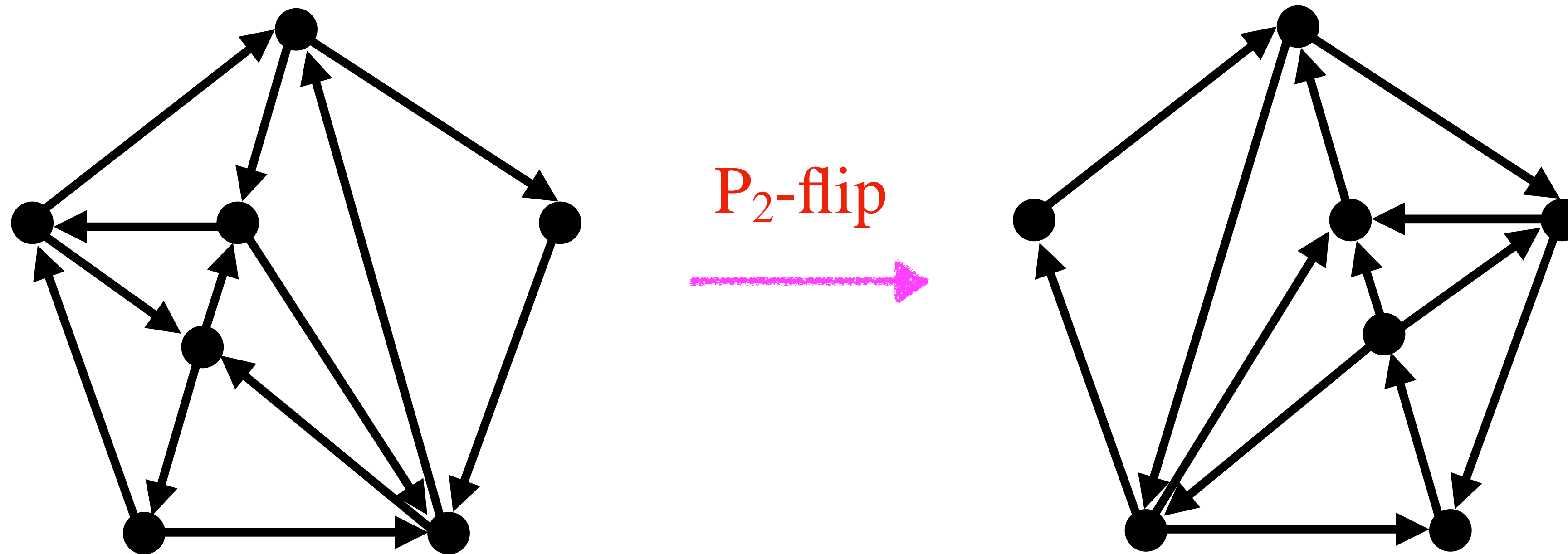
If their underlying graphs are simple even triangulations, then they can be transformed into each other by a sequence of **splittings** and **mergings** preserving the number of vertices.



# Theorem 5.

$D, D'$ : regular digraphs on the sphere, and  $|D| = |D'|$ .

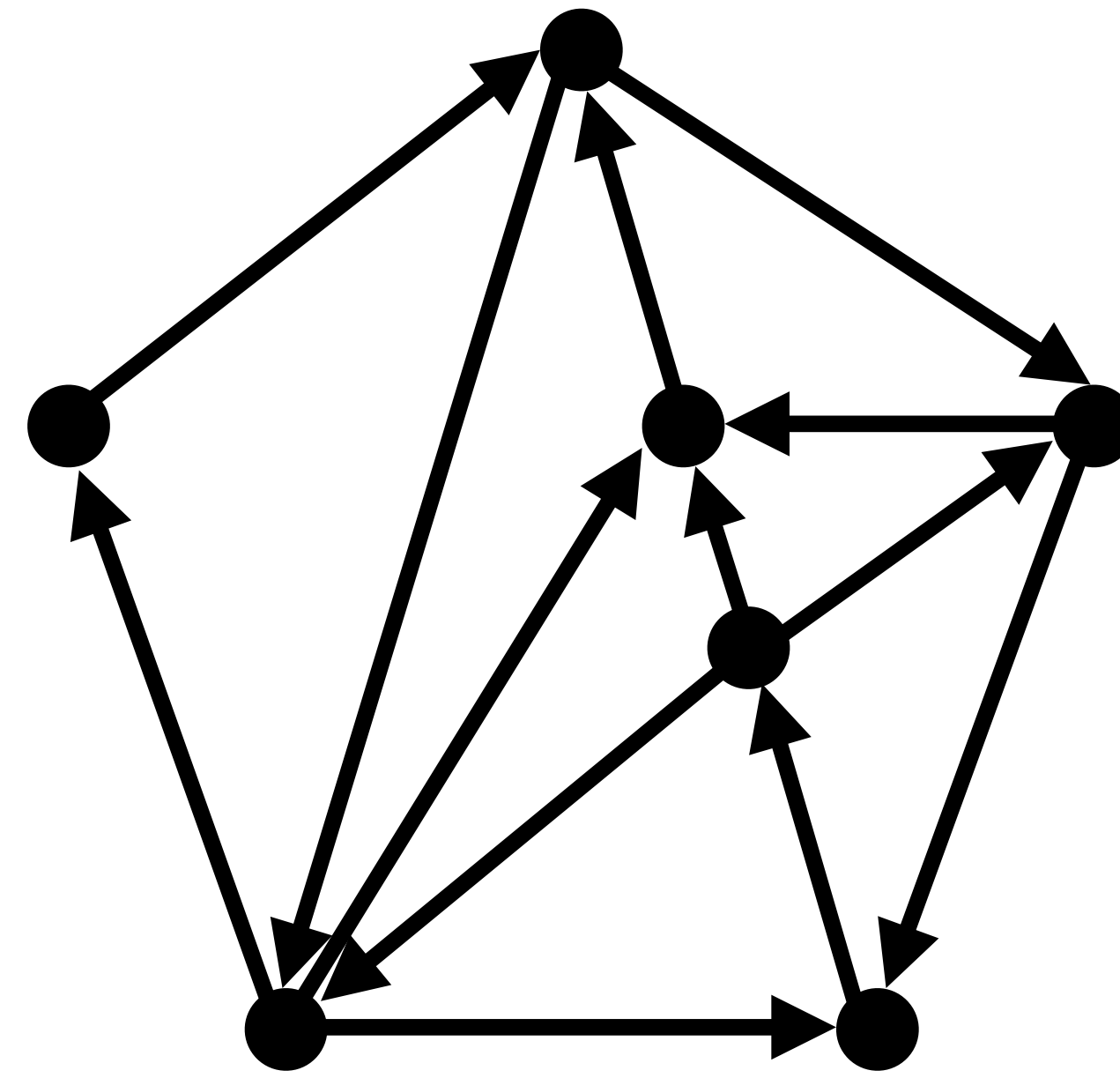
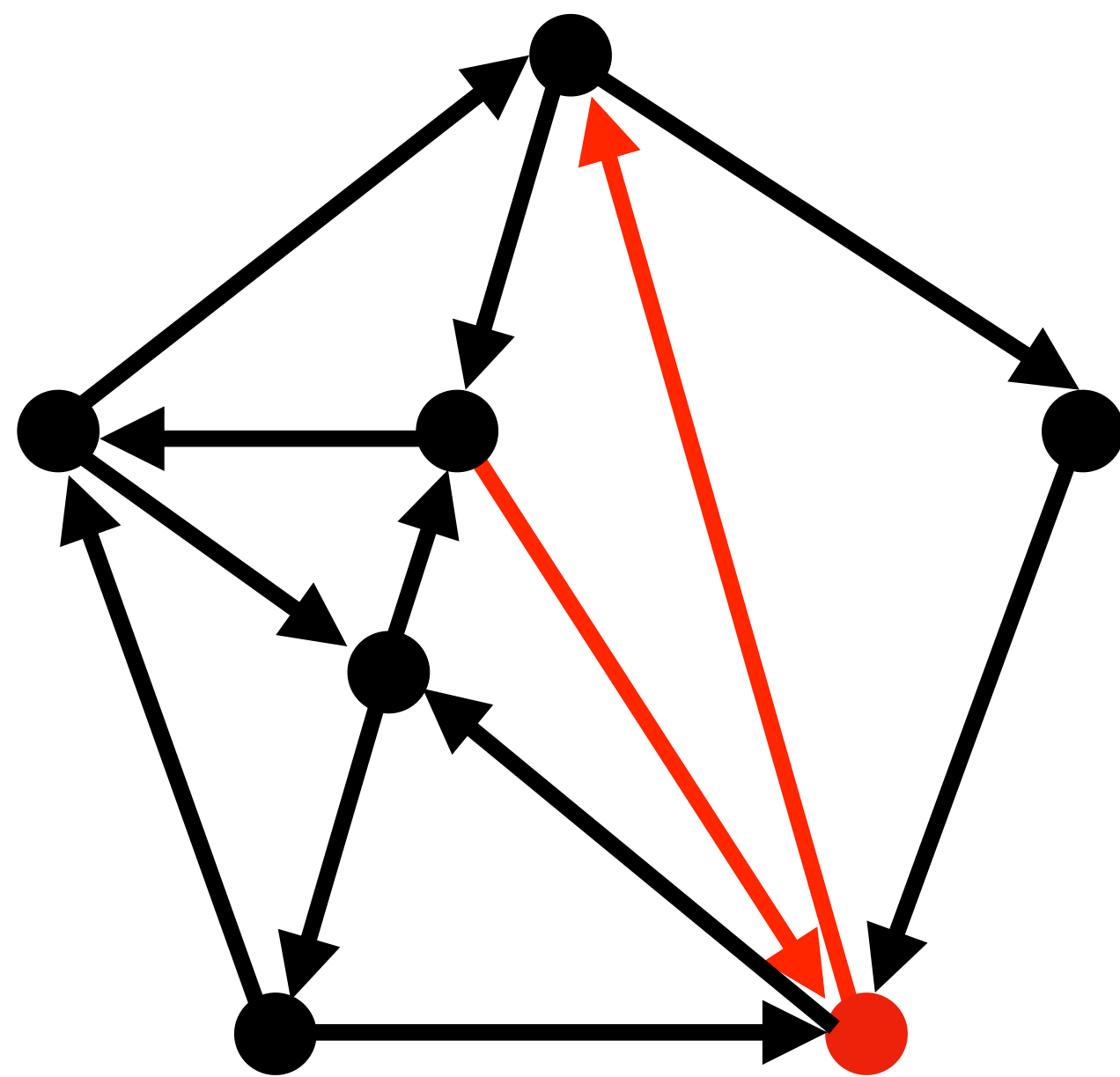
If their underlying graphs are simple even triangulations, then they can be transformed into each other by a sequence of **splittings** and **mergings** preserving the number of vertices.



# Theorem 5.

$D, D'$ : regular digraphs on the sphere, and  $|D| = |D'|$ .

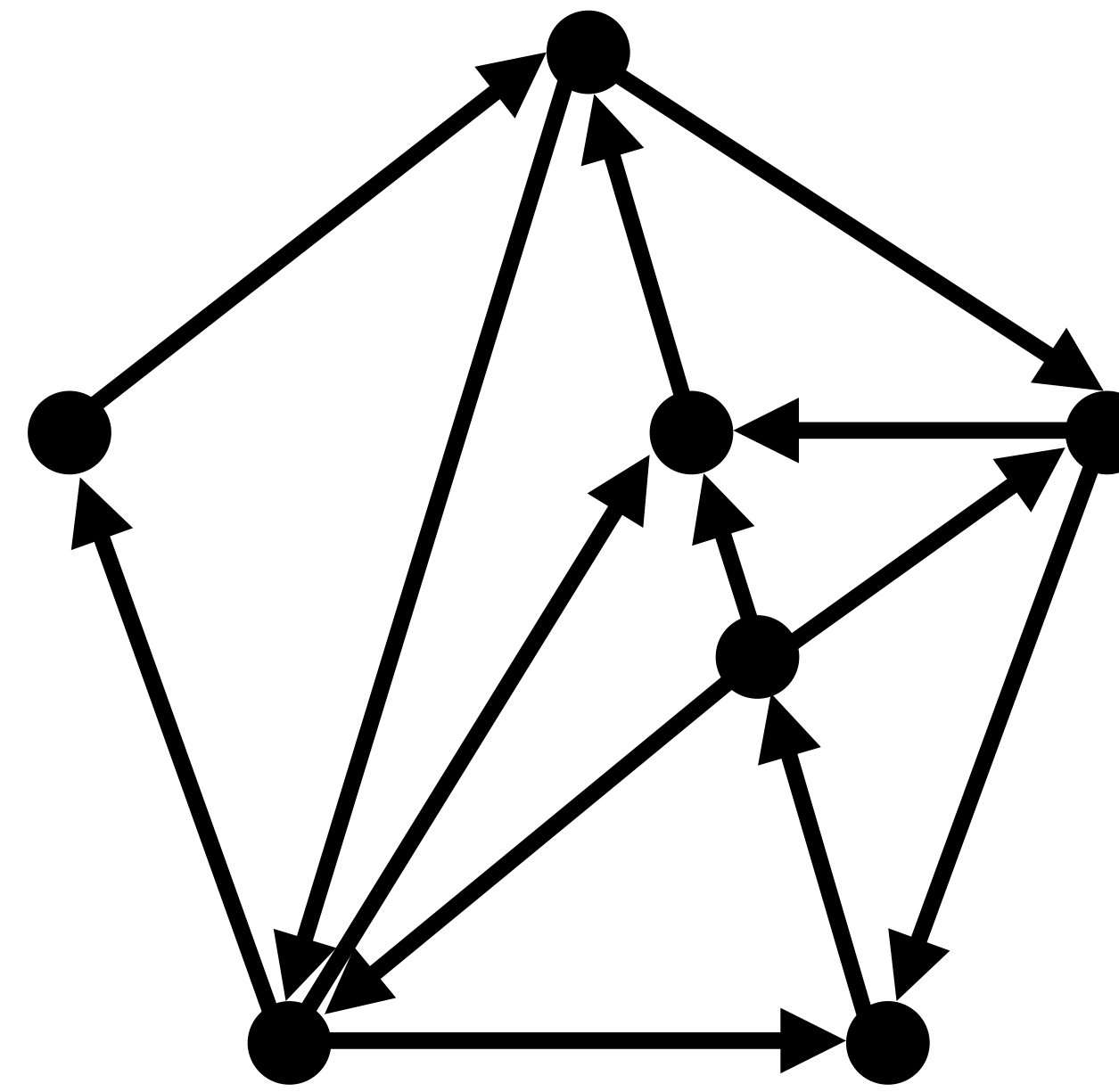
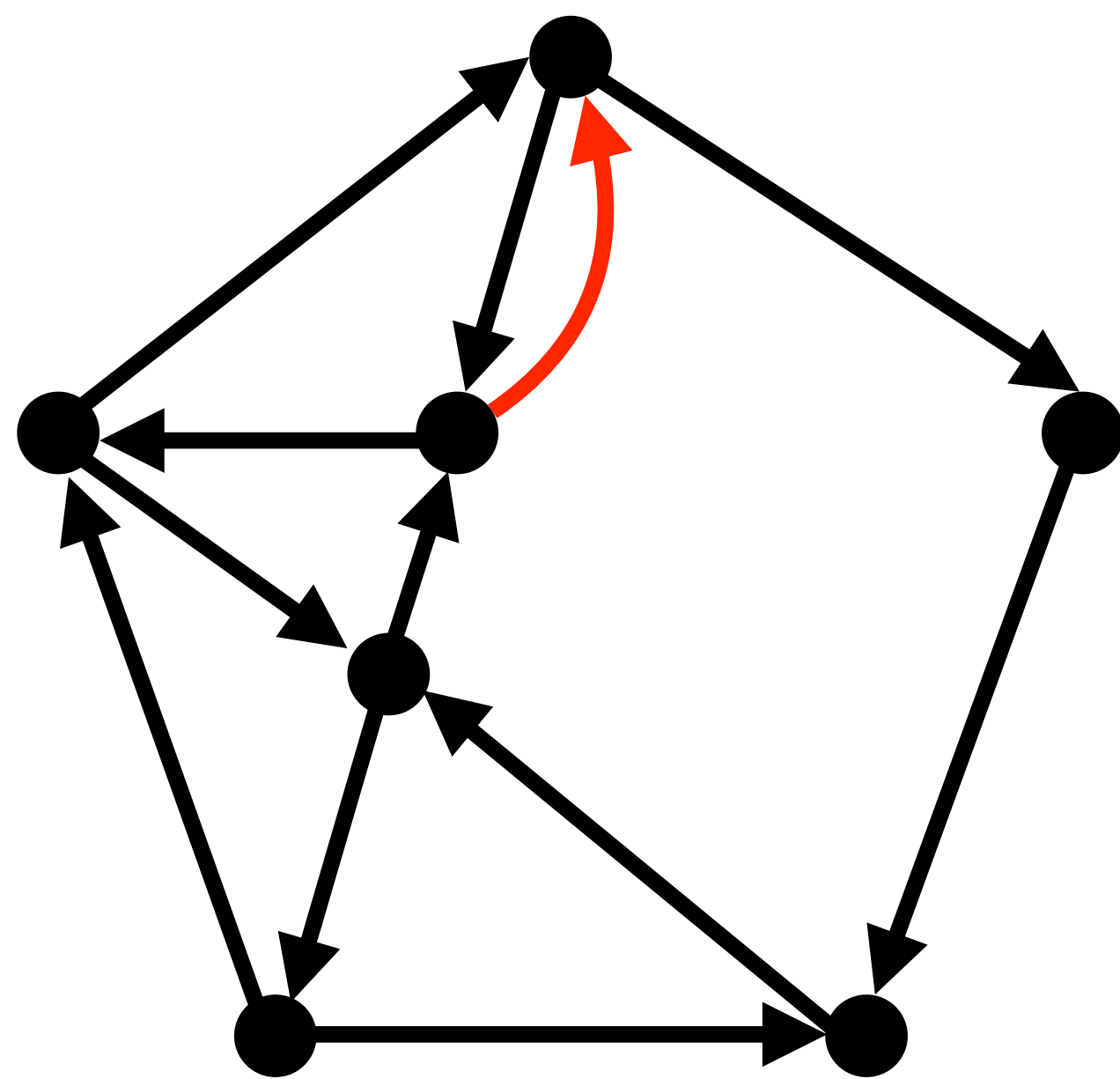
If their underlying graphs are simple even triangulations, then they can be transformed into each other by a sequence of **splittings** and **mergings** preserving the number of vertices.



# Theorem 5.

$D, D'$ : regular digraphs on the sphere, and  $|D| = |D'|$ .

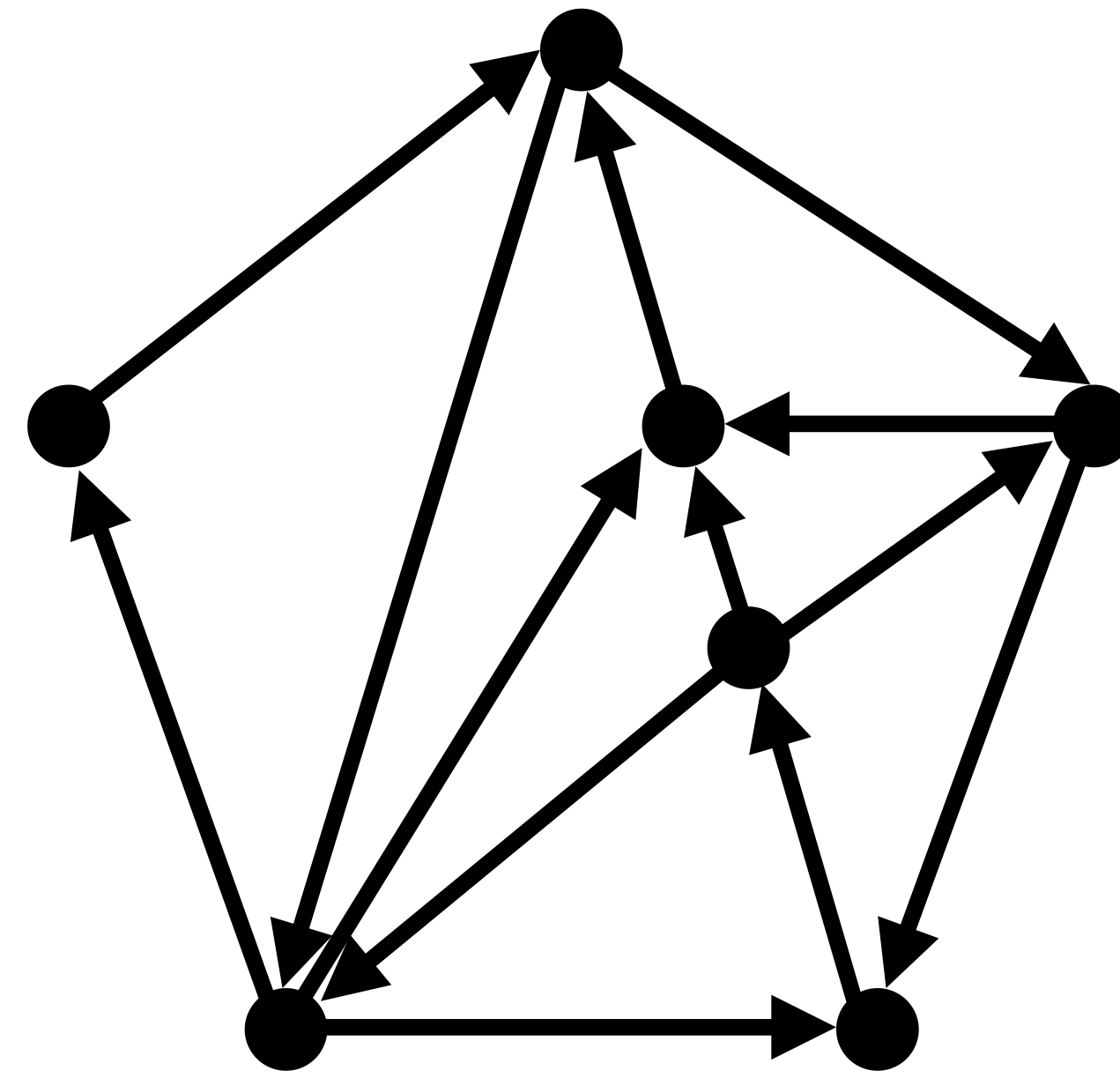
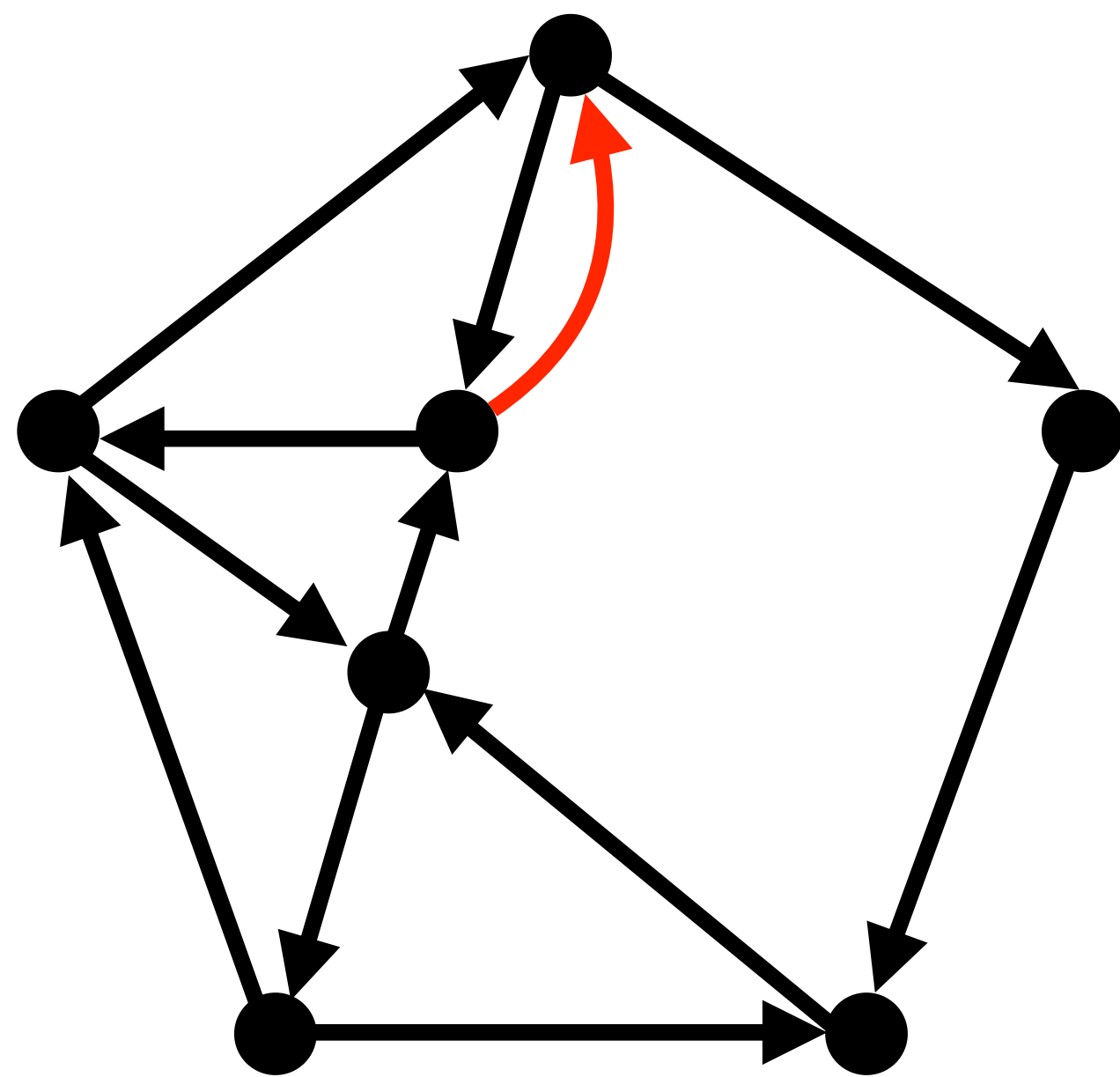
If their underlying graphs are simple even triangulations, then they can be transformed into each other by a sequence of **splittings** and **mergings** preserving the number of vertices.



# Theorem 5.

$D, D'$ : regular digraphs on the sphere, and  $|D| = |D'|$ .

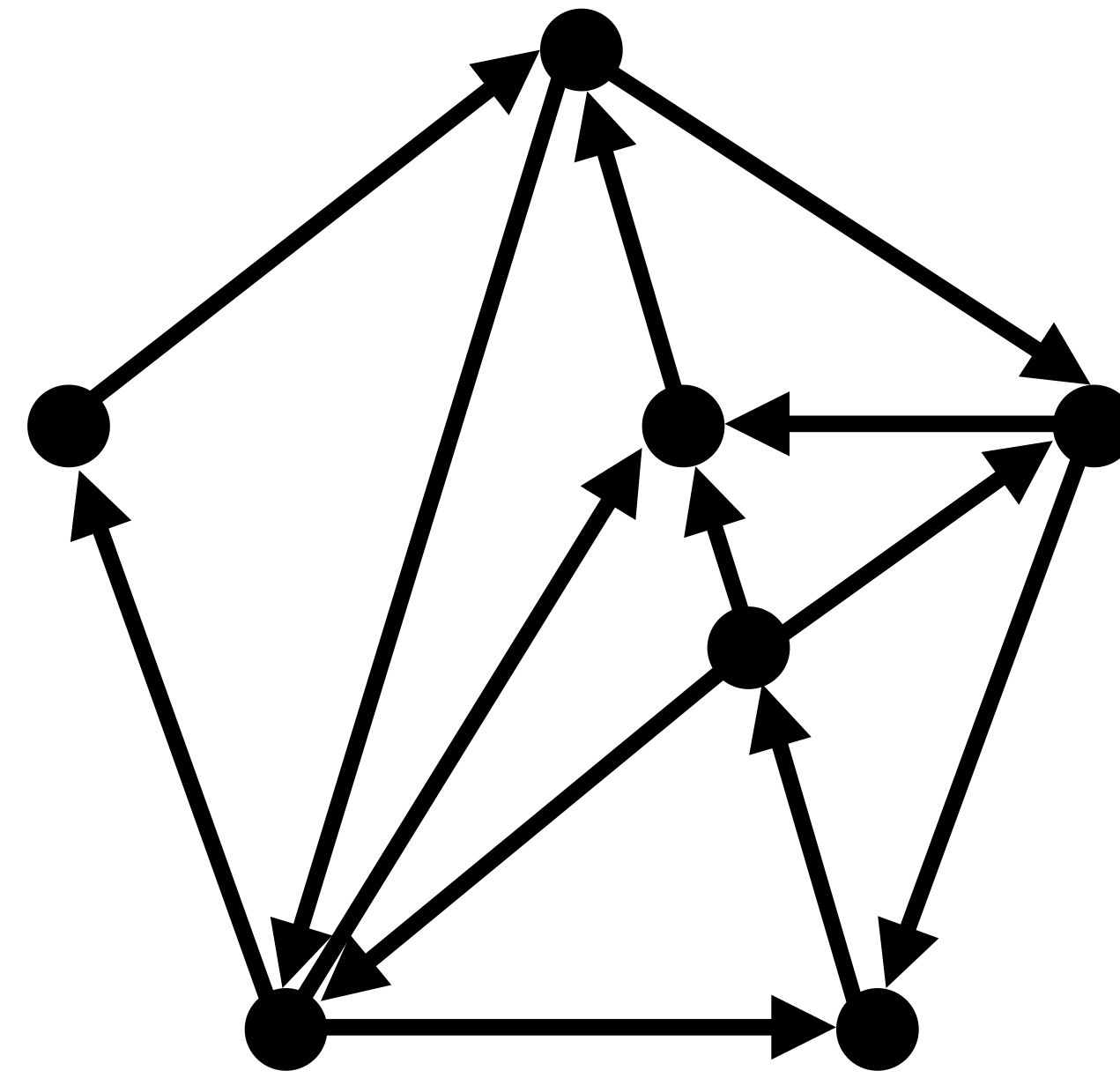
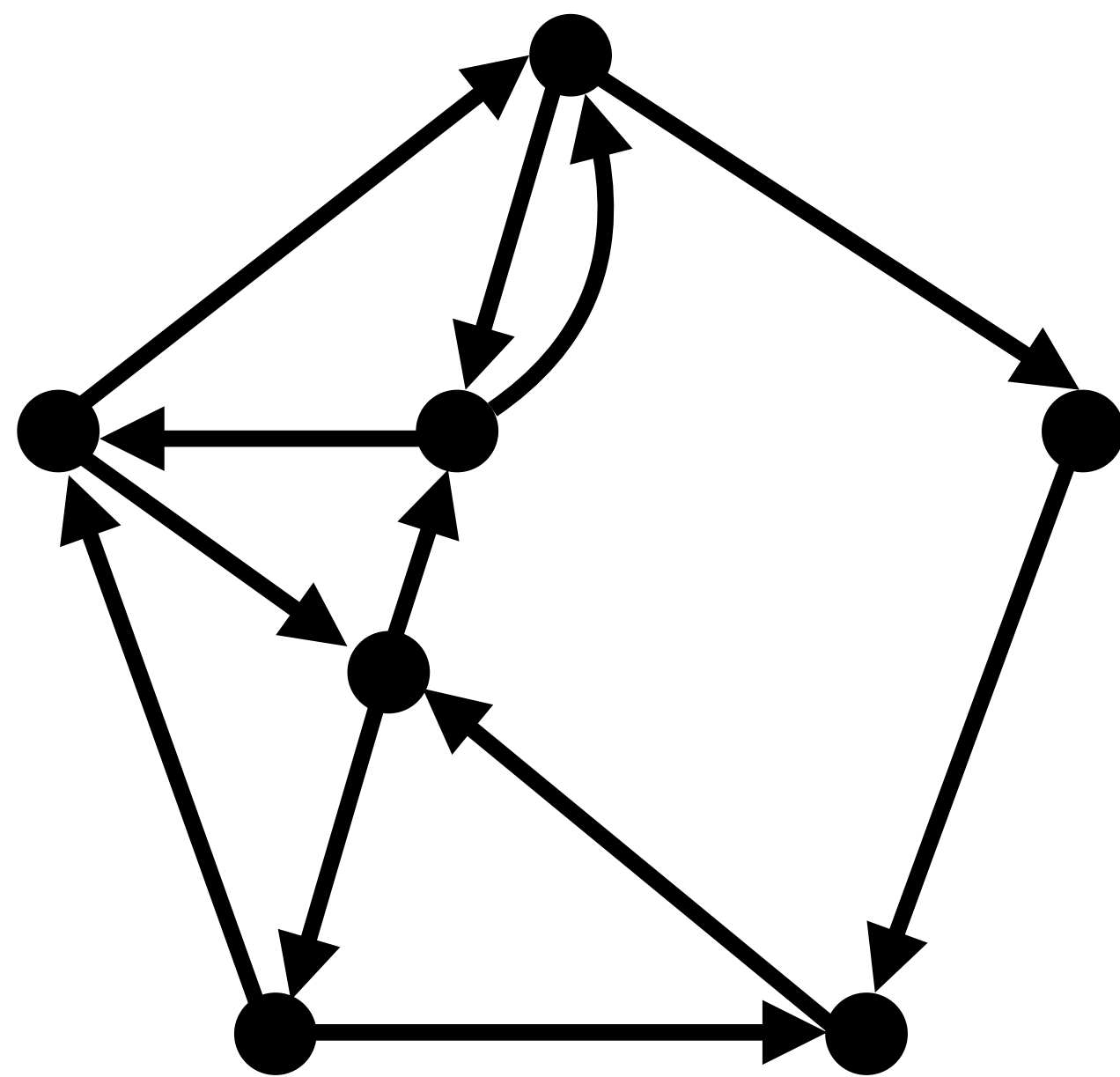
If their underlying graphs are simple even triangulations, then they can be transformed into each other by a sequence of **splittings** and **mergings** preserving the number of vertices.



# Theorem 5.

$D, D'$ : regular digraphs on the sphere, and  $|D| = |D'|$ .

If their underlying graphs are simple even triangulations, then they can be transformed into each other by a sequence of **splittings** and **mergings** preserving the number of vertices.

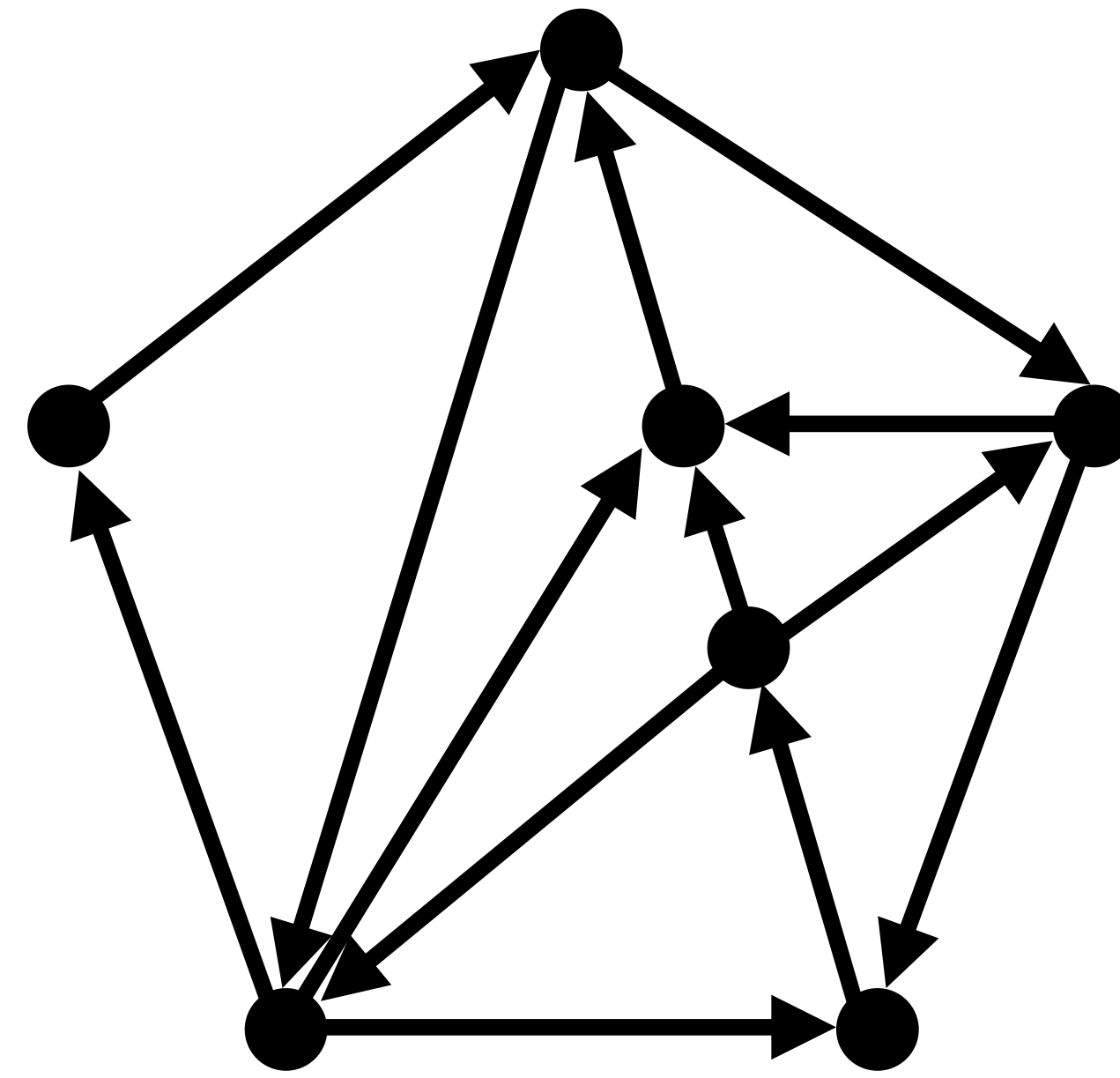
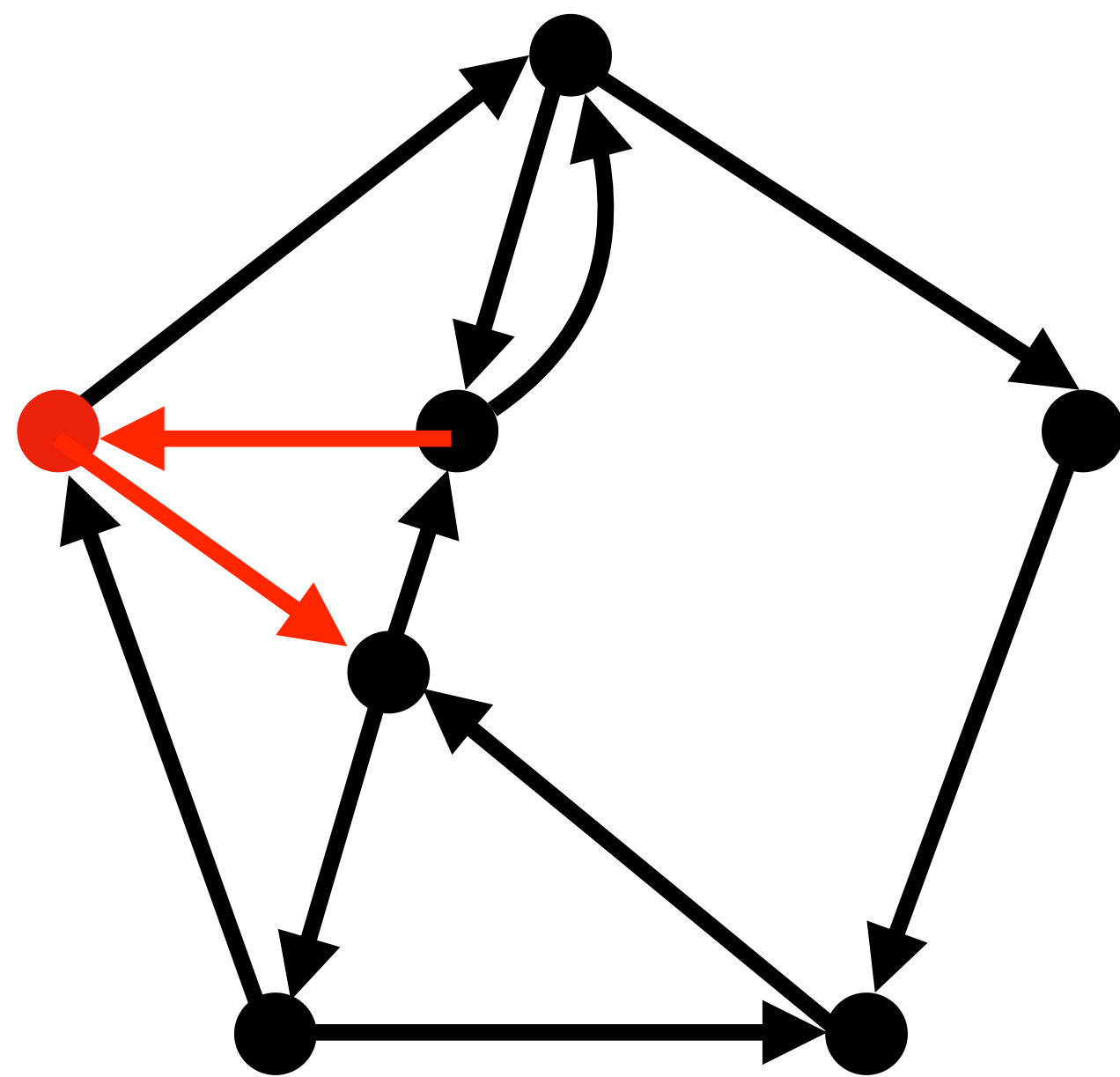




# Theorem 5.

$D, D'$ : regular digraphs on the sphere, and  $|D| = |D'|$ .

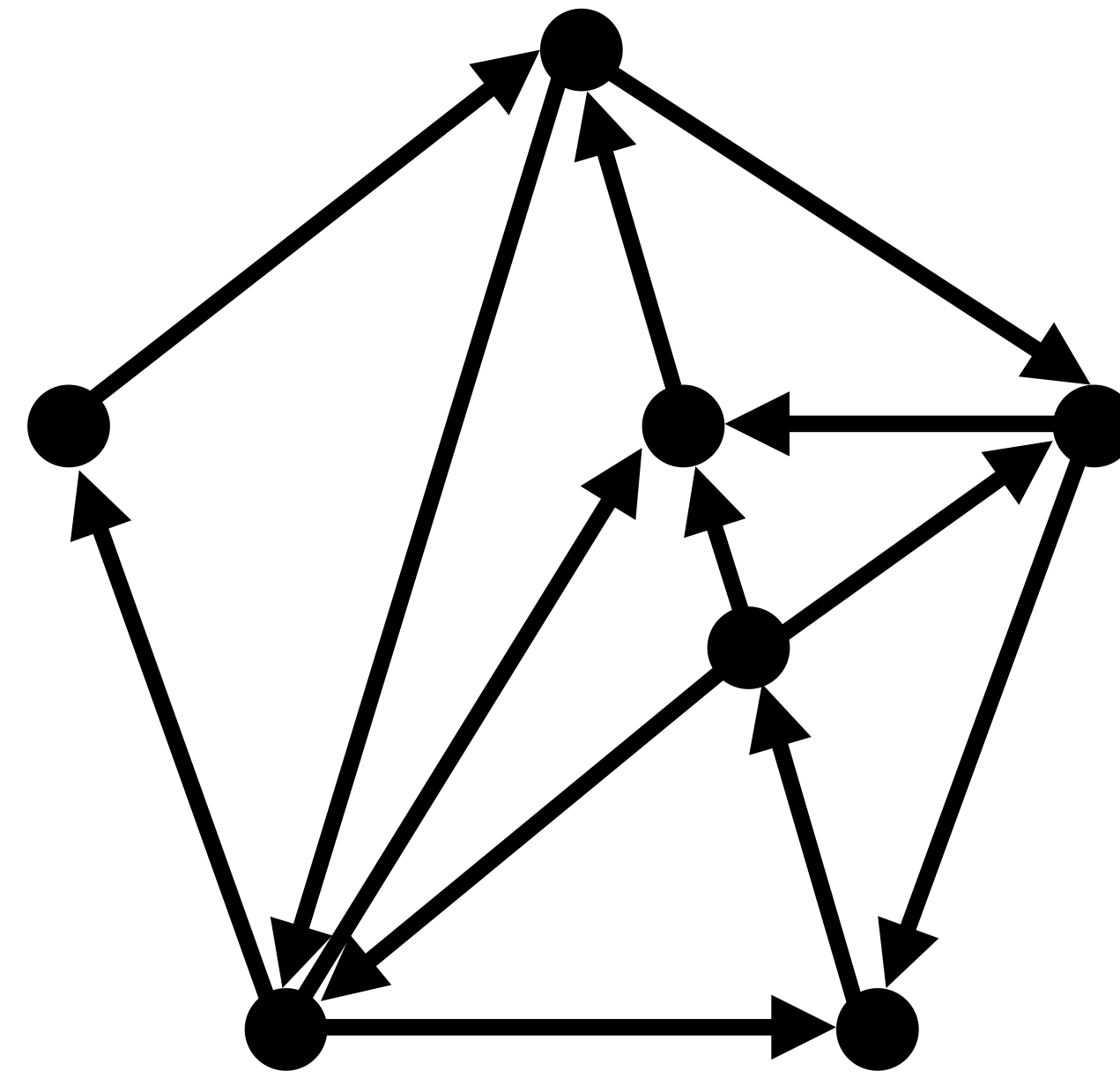
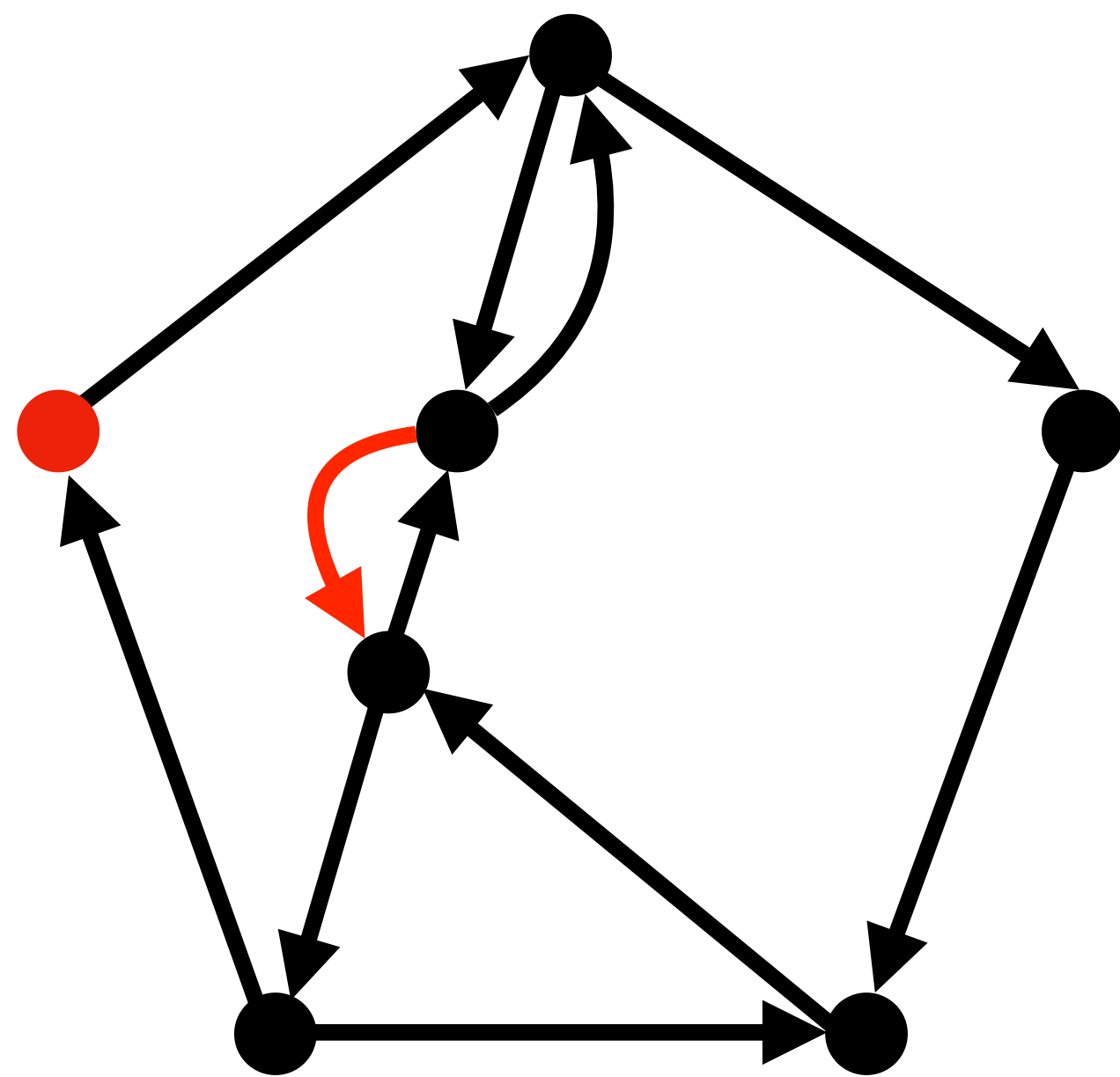
If their underlying graphs are simple even triangulations, then they can be transformed into each other by a sequence of **splittings** and **mergings** preserving the number of vertices.



# Theorem 5.

$D, D'$ : regular digraphs on the sphere, and  $|D| = |D'|$ .

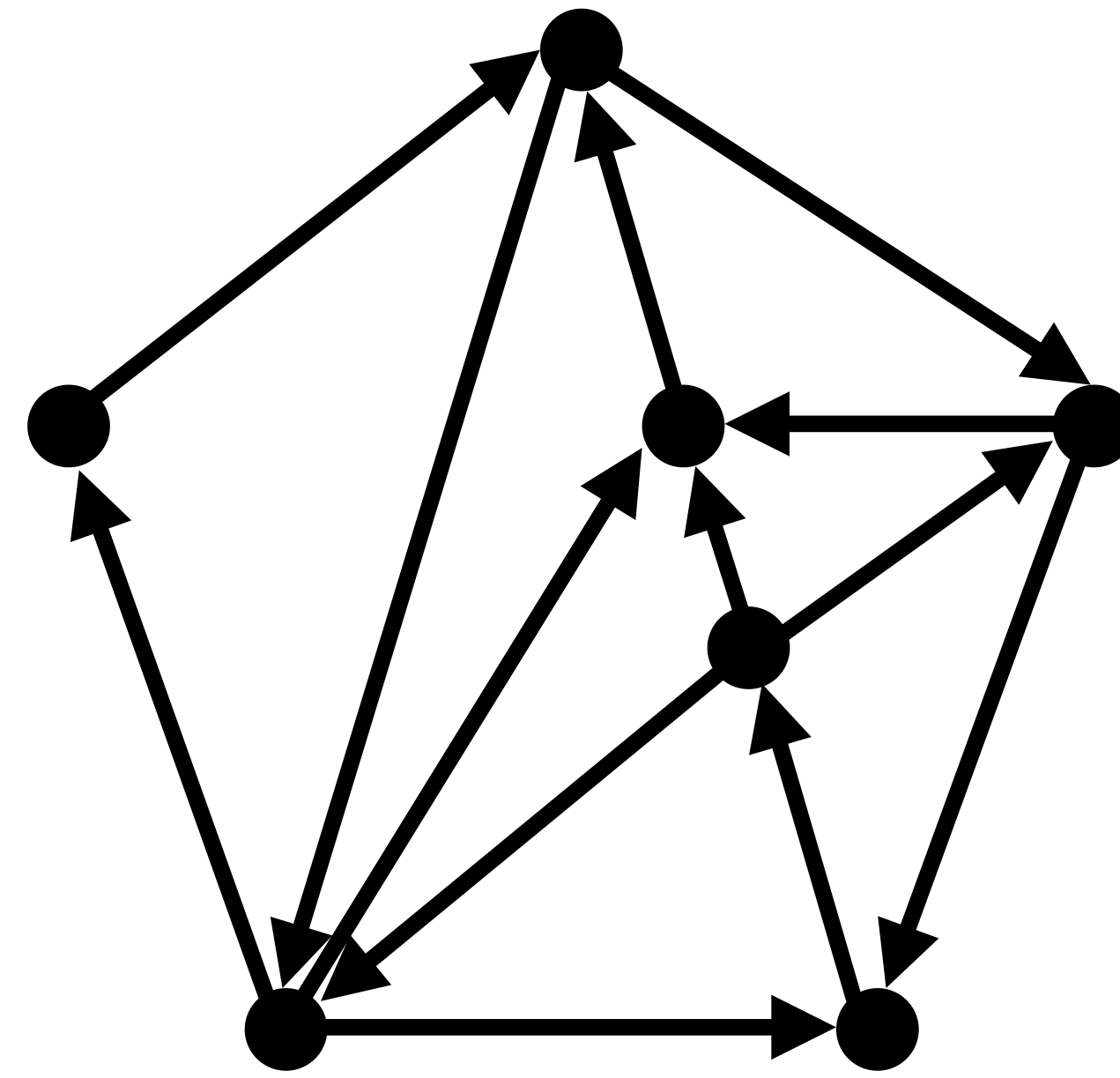
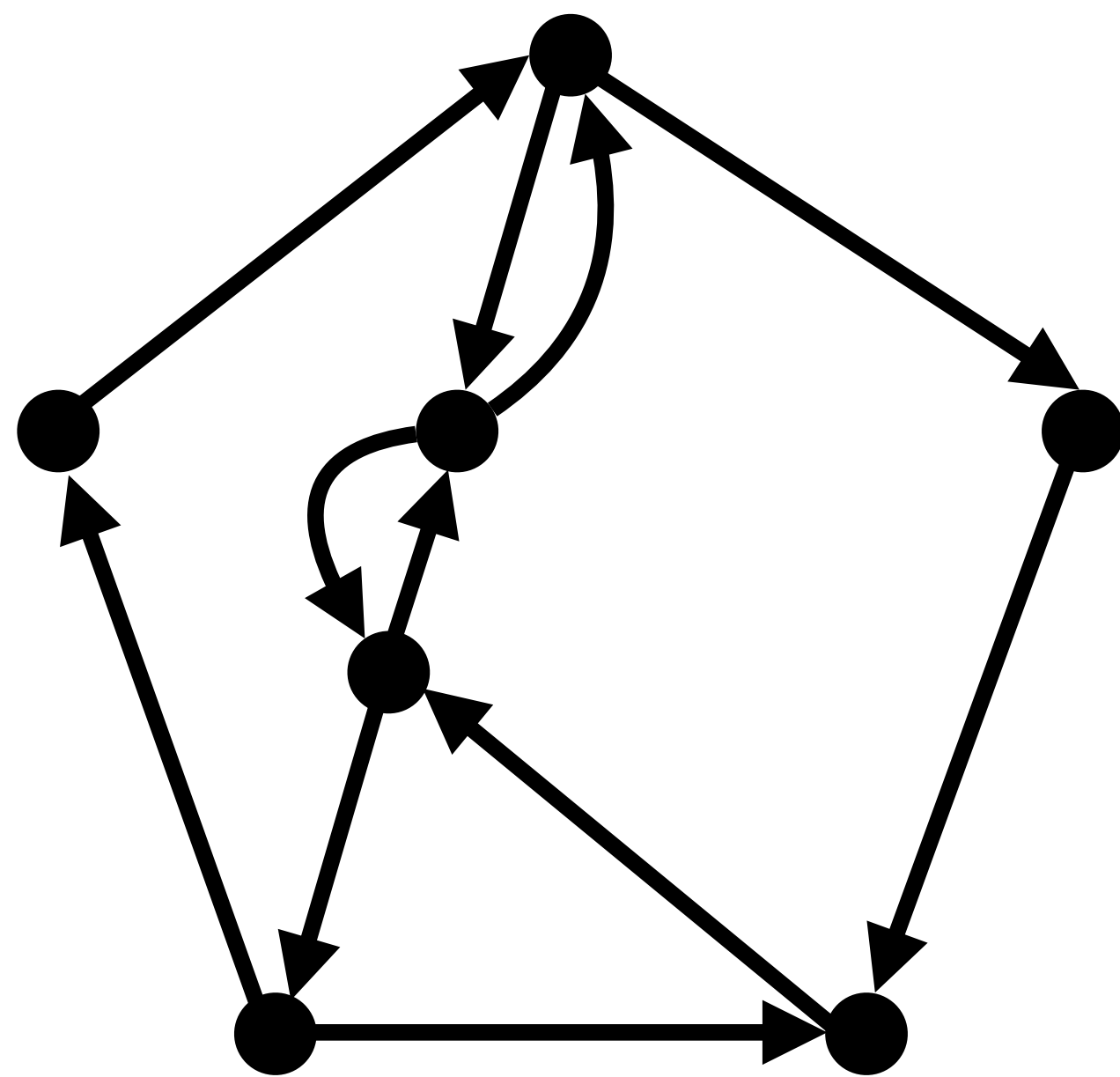
If their underlying graphs are simple even triangulations, then they can be transformed into each other by a sequence of **splittings** and **mergings** preserving the number of vertices.



# Theorem 5.

$D, D'$ : regular digraphs on the sphere, and  $|D| = |D'|$ .

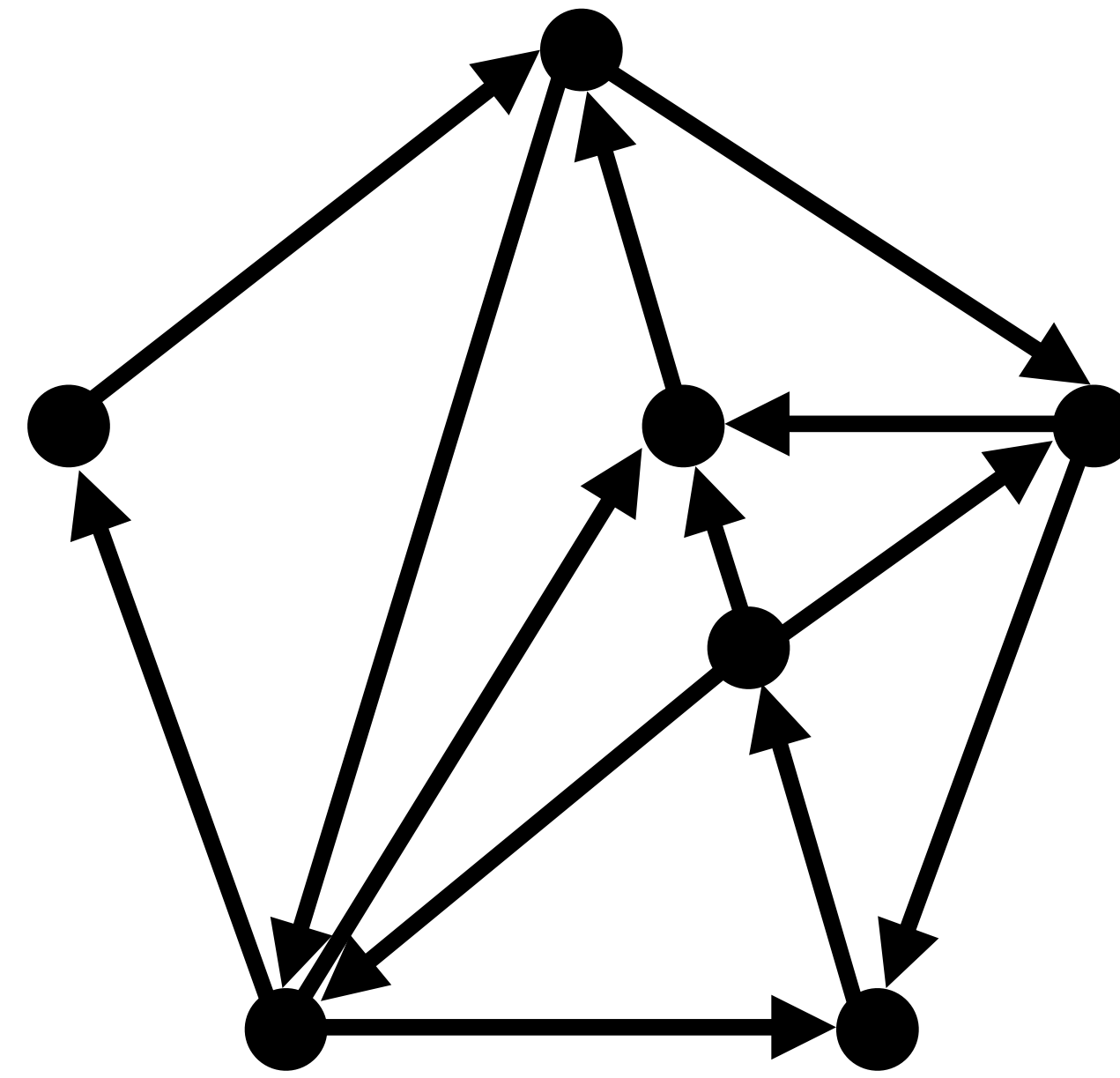
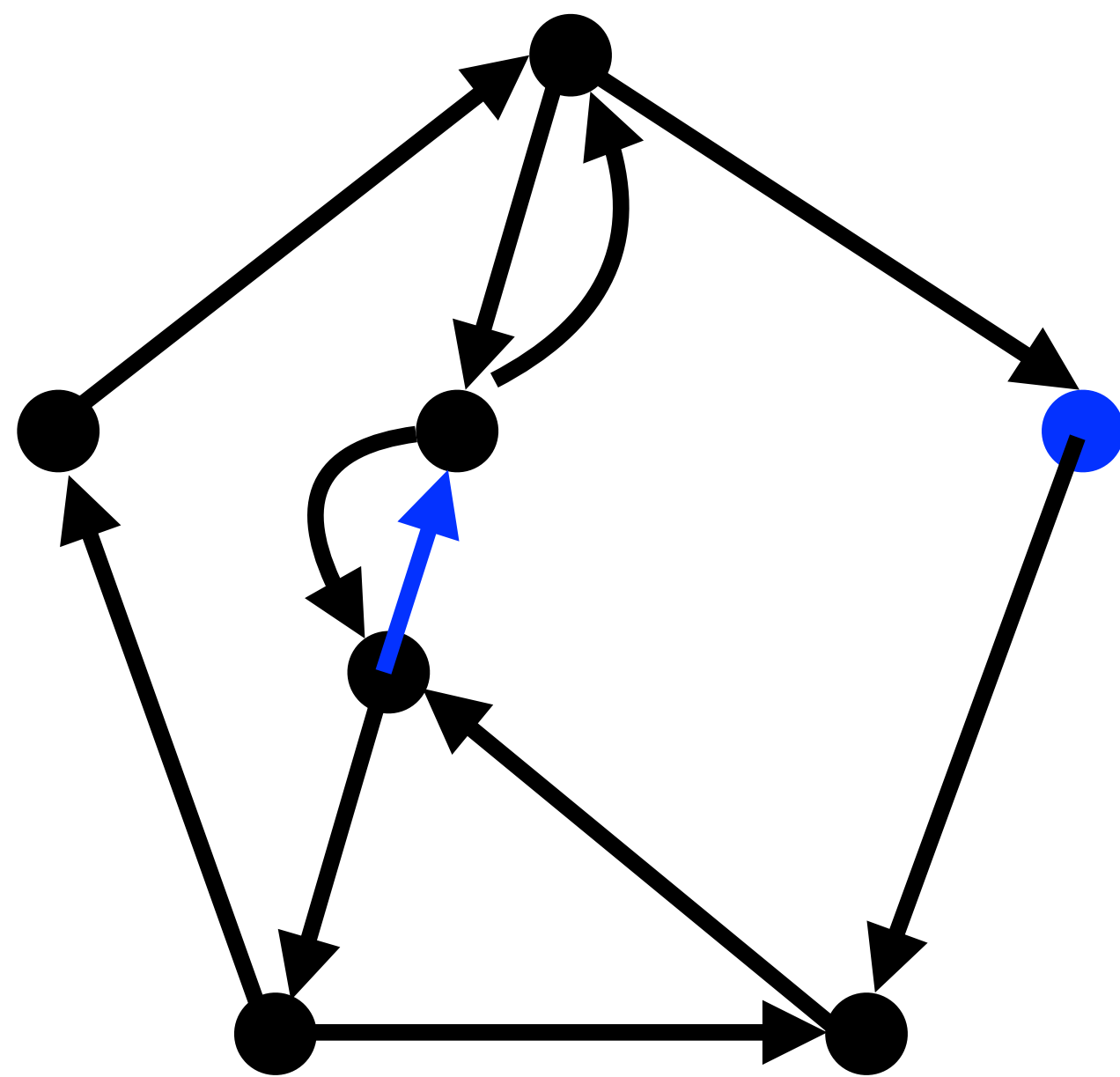
If their underlying graphs are simple even triangulations,  
then they can be transformed into each other by a sequence of **splittings** and **mergings** preserving the number of vertices.



# Theorem 5.

$D, D'$ : regular digraphs on the sphere, and  $|D| = |D'|$ .

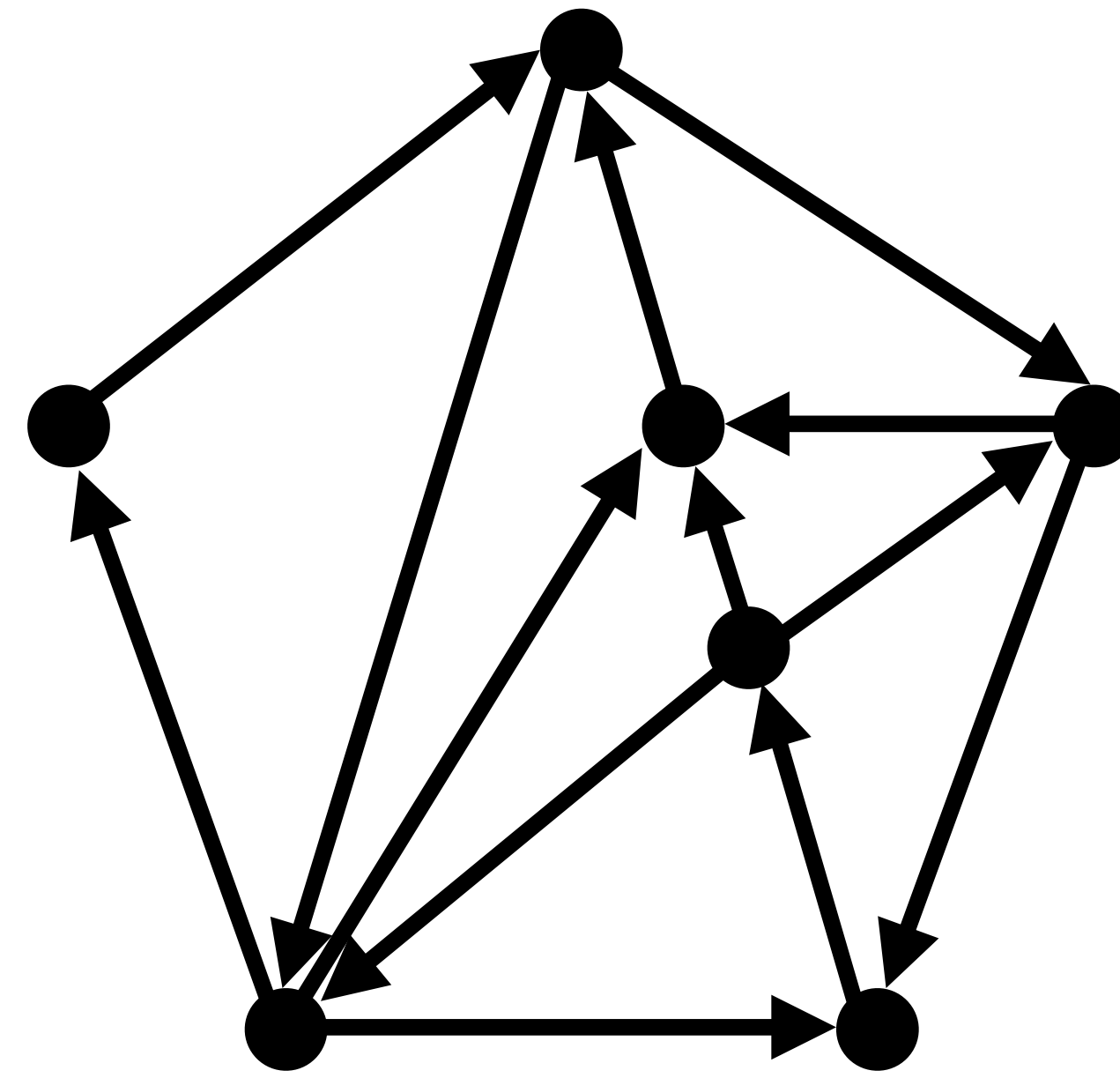
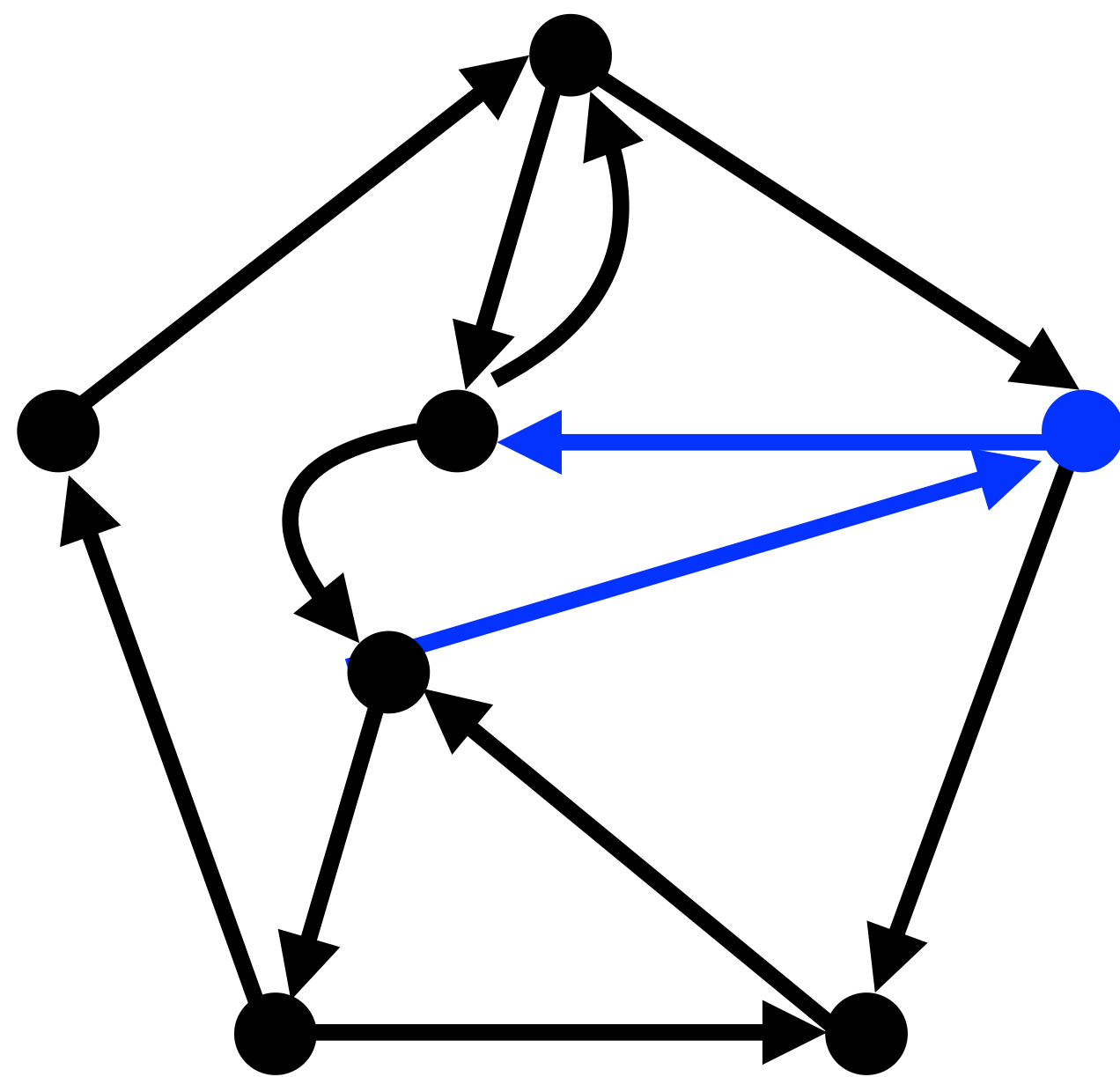
If their underlying graphs are simple even triangulations, then they can be transformed into each other by a sequence of **splittings** and **mergings** preserving the number of vertices.



# Theorem 5.

$D, D'$ : regular digraphs on the sphere, and  $|D| = |D'|$ .

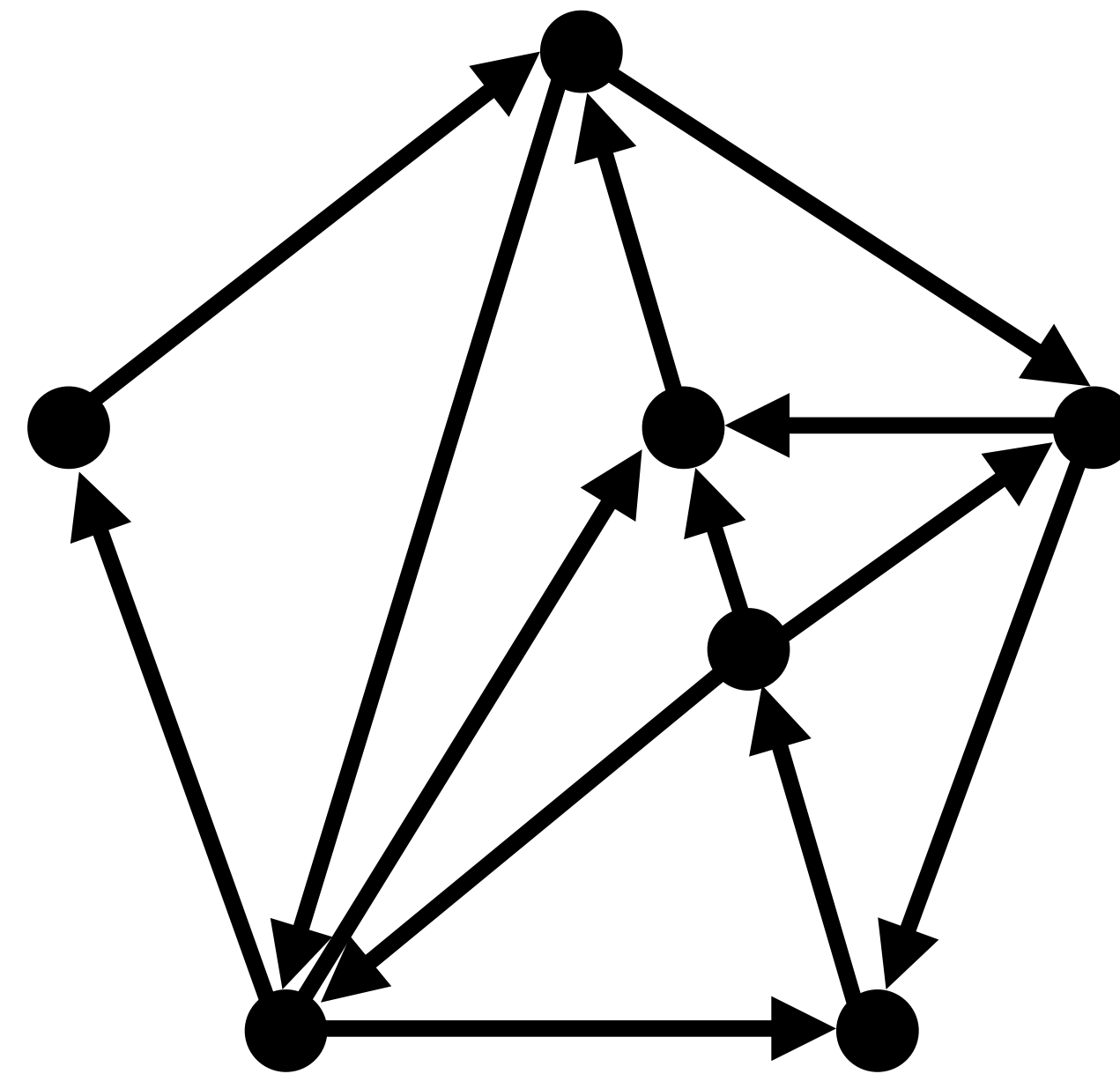
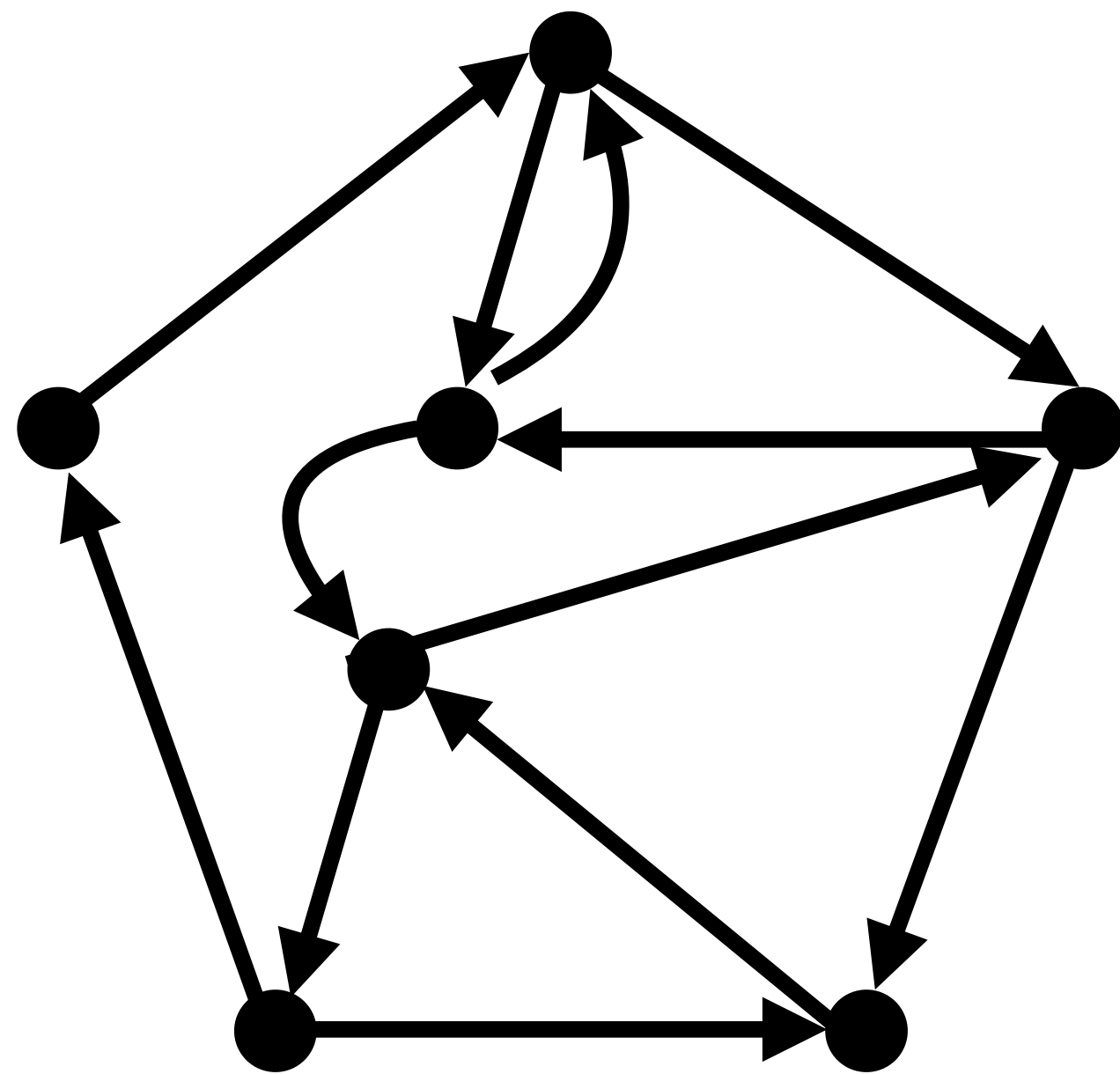
If their underlying graphs are simple even triangulations, then they can be transformed into each other by a sequence of **splittings** and **mergings** preserving the number of vertices.



# Theorem 5.

$D, D'$ : regular digraphs on the sphere, and  $|D| = |D'|$ .

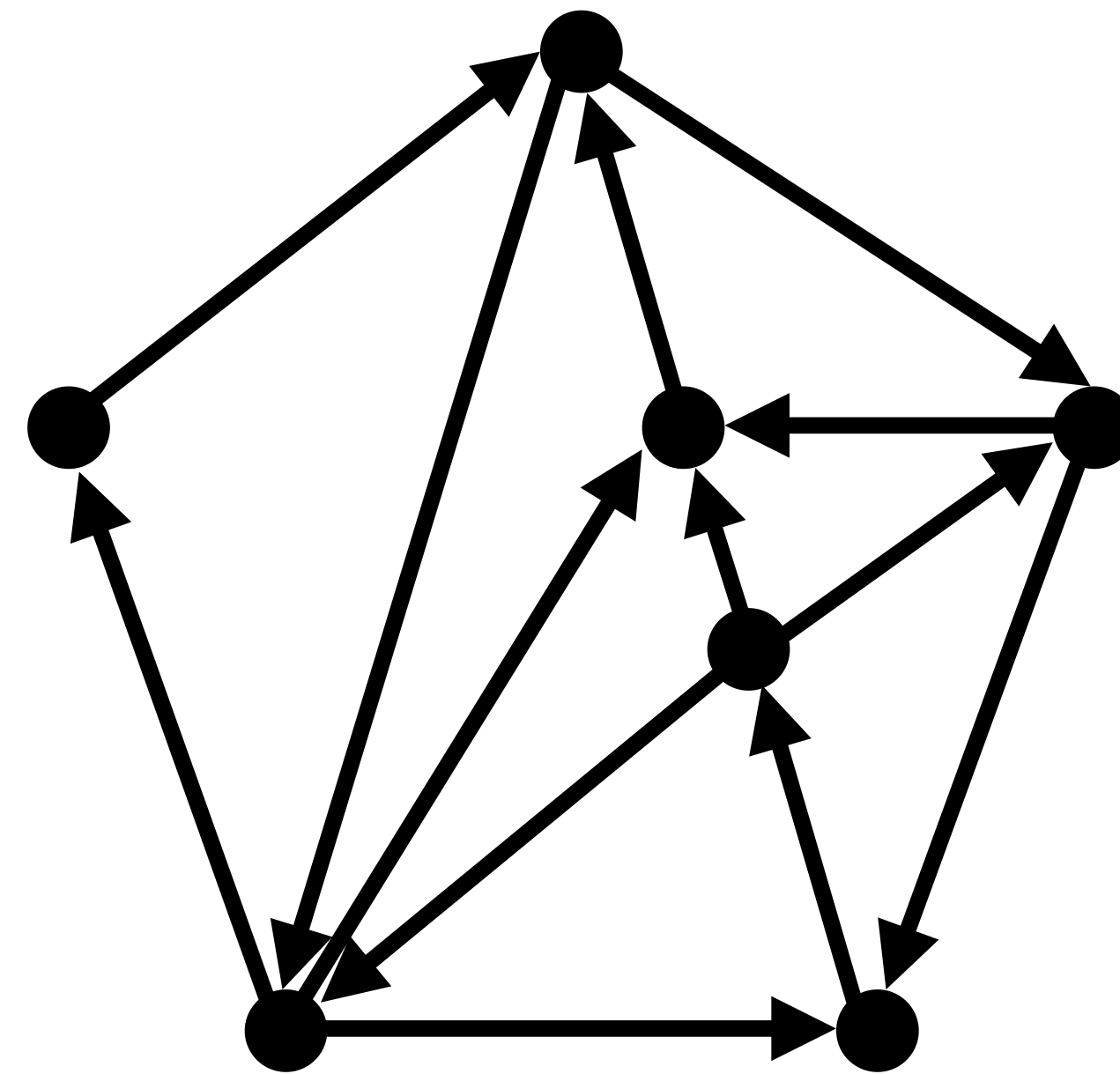
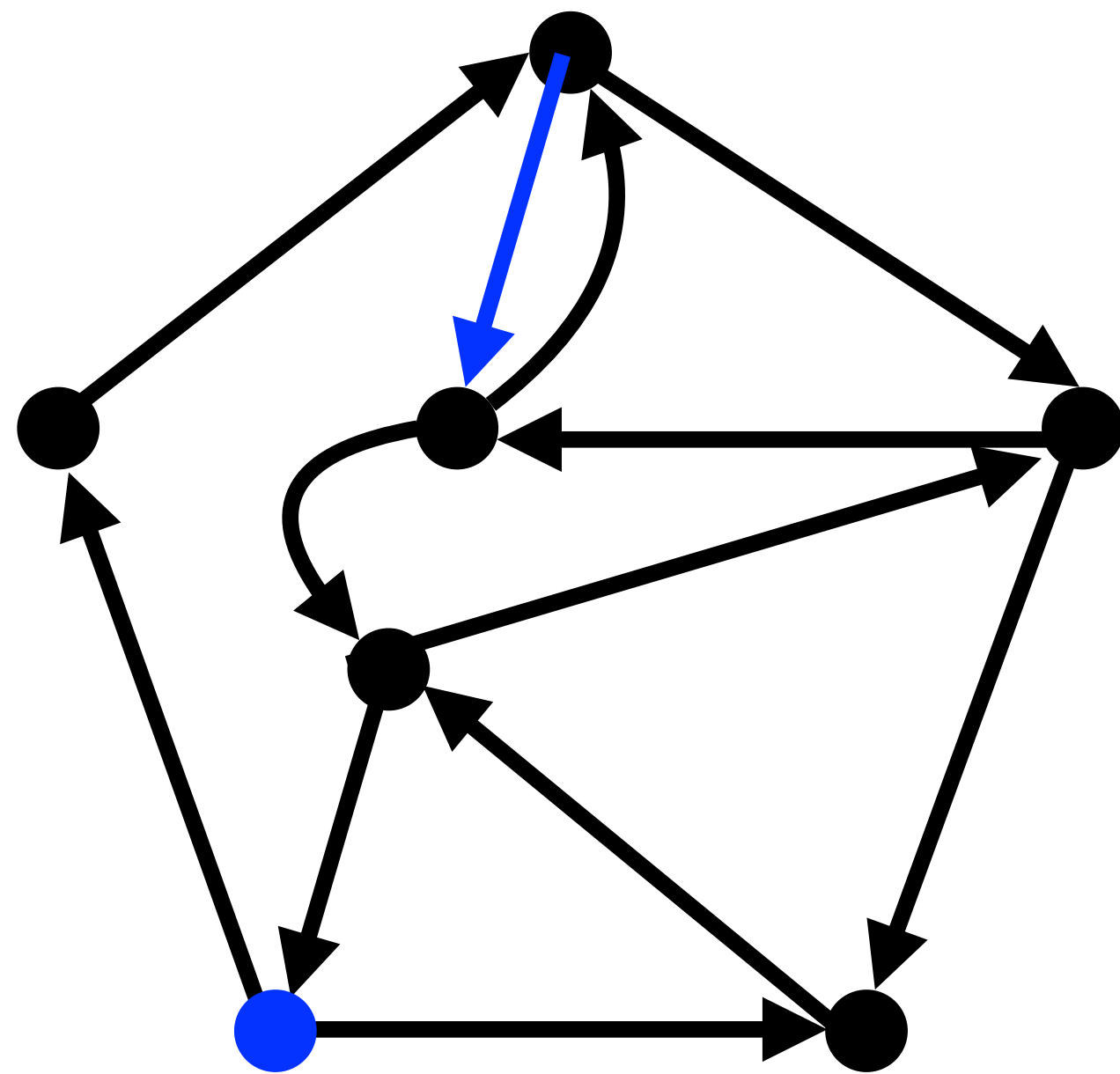
If their underlying graphs are simple even triangulations, then they can be transformed into each other by a sequence of **splittings** and **mergings** preserving the number of vertices.



# Theorem 5.

$D, D'$ : regular digraphs on the sphere, and  $|D| = |D'|$ .

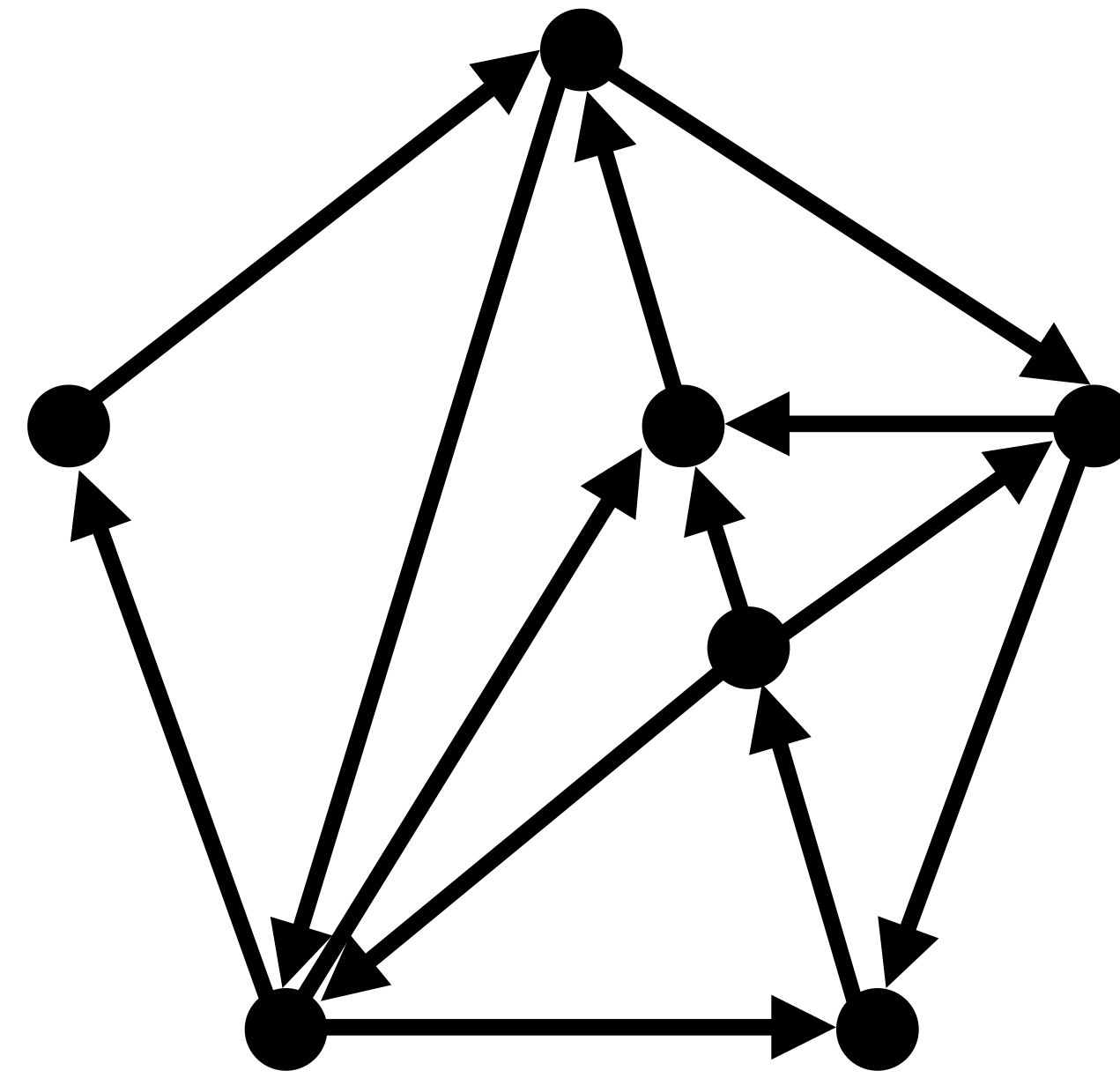
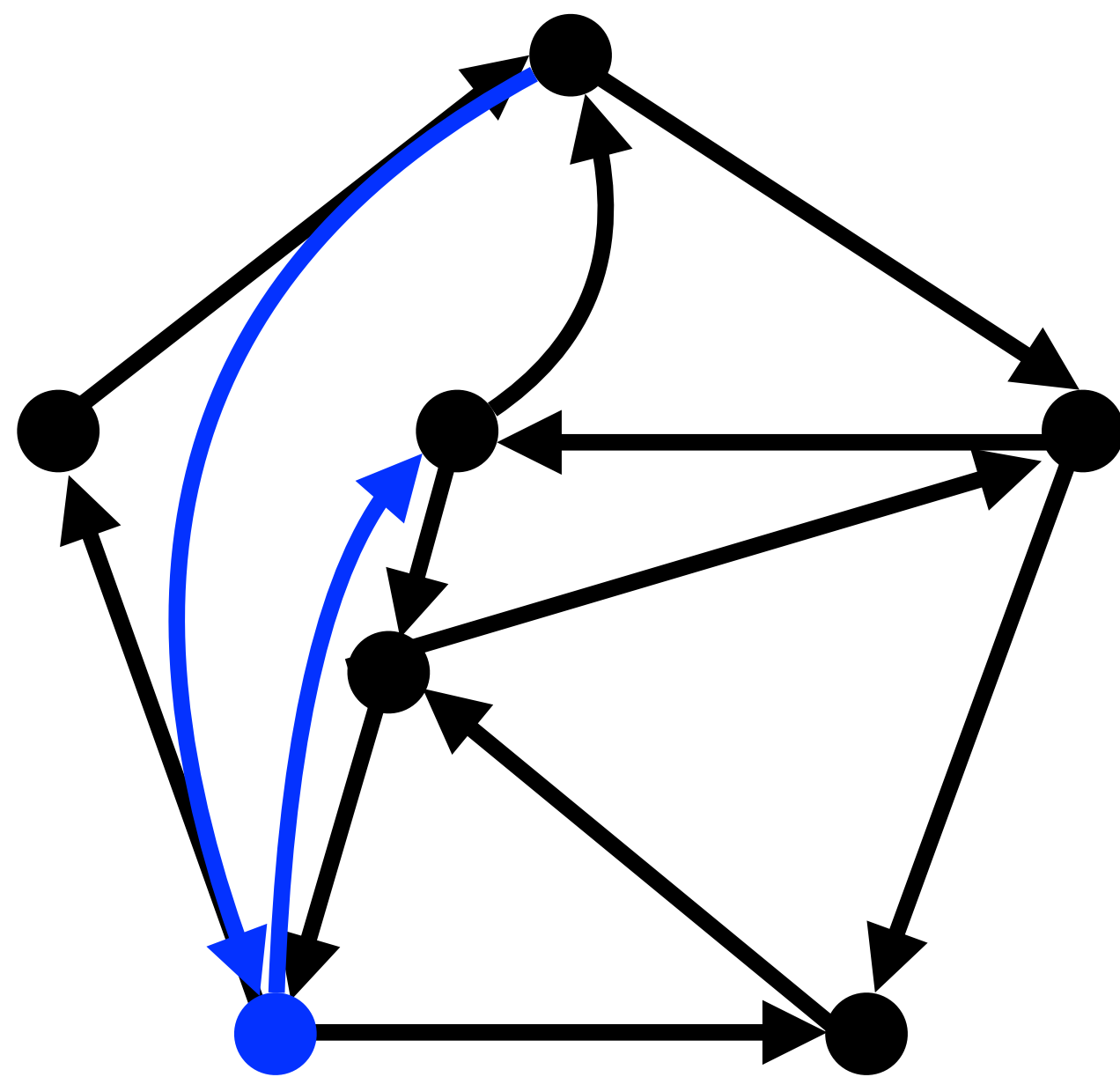
If their underlying graphs are simple even triangulations, then they can be transformed into each other by a sequence of **splittings** and **mergings** preserving the number of vertices.



# Theorem 5.

$D, D'$ : regular digraphs on the sphere, and  $|D| = |D'|$ .

If their underlying graphs are simple even triangulations, then they can be transformed into each other by a sequence of **splittings** and **mergings** preserving the number of vertices.

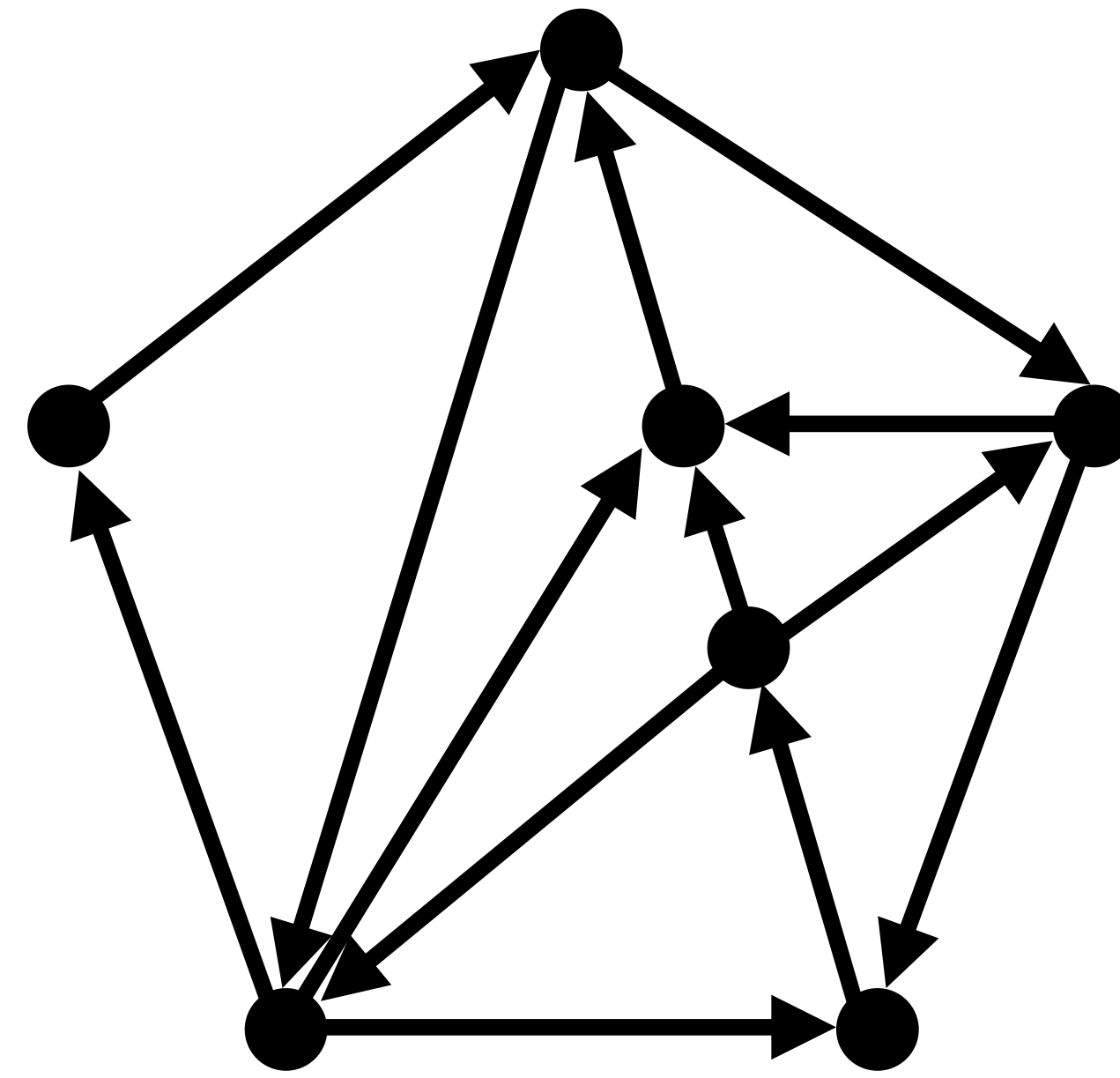
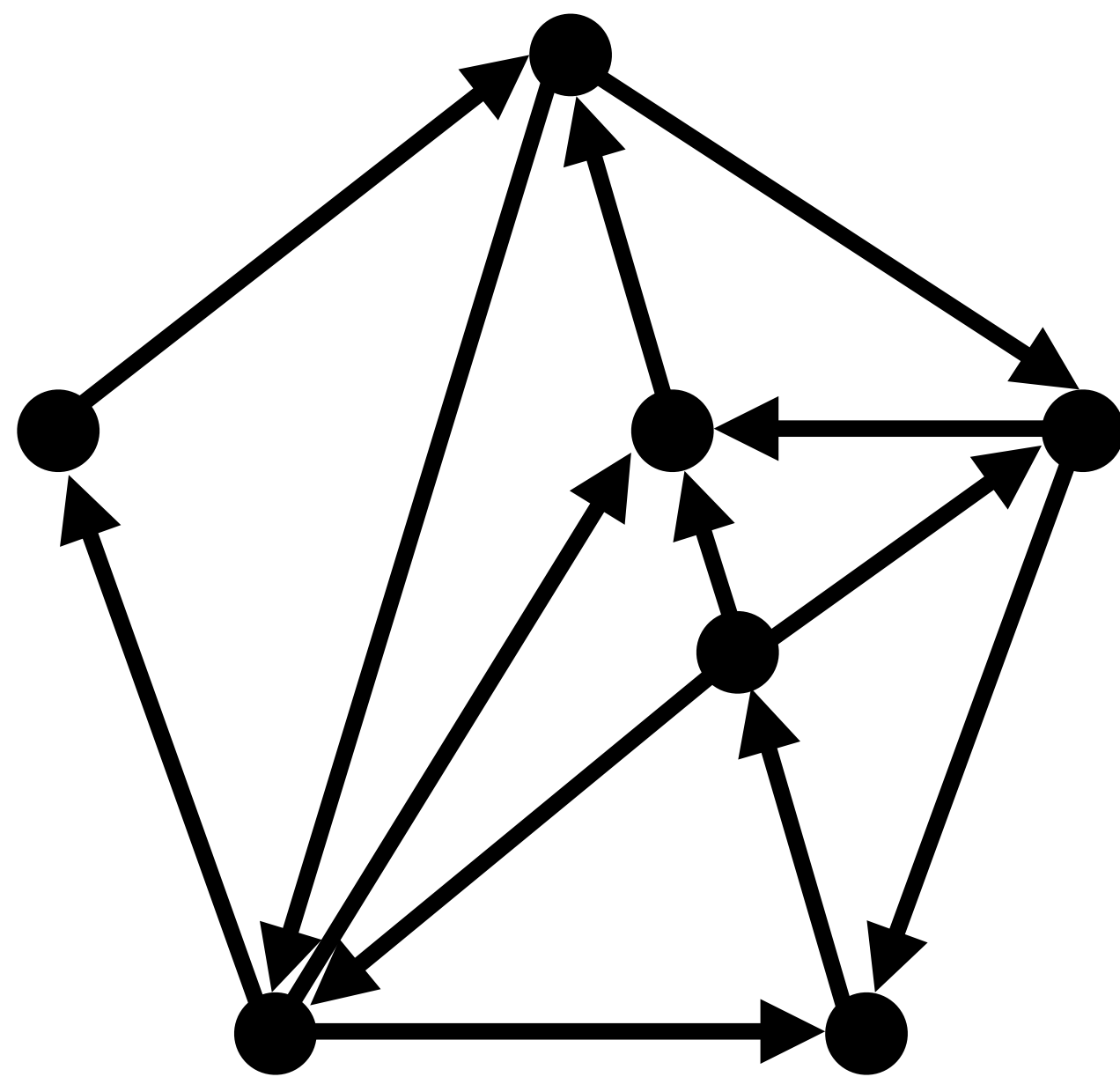




# Theorem 5.

$D, D'$ : regular digraphs on the sphere, and  $|D| = |D'|$ .

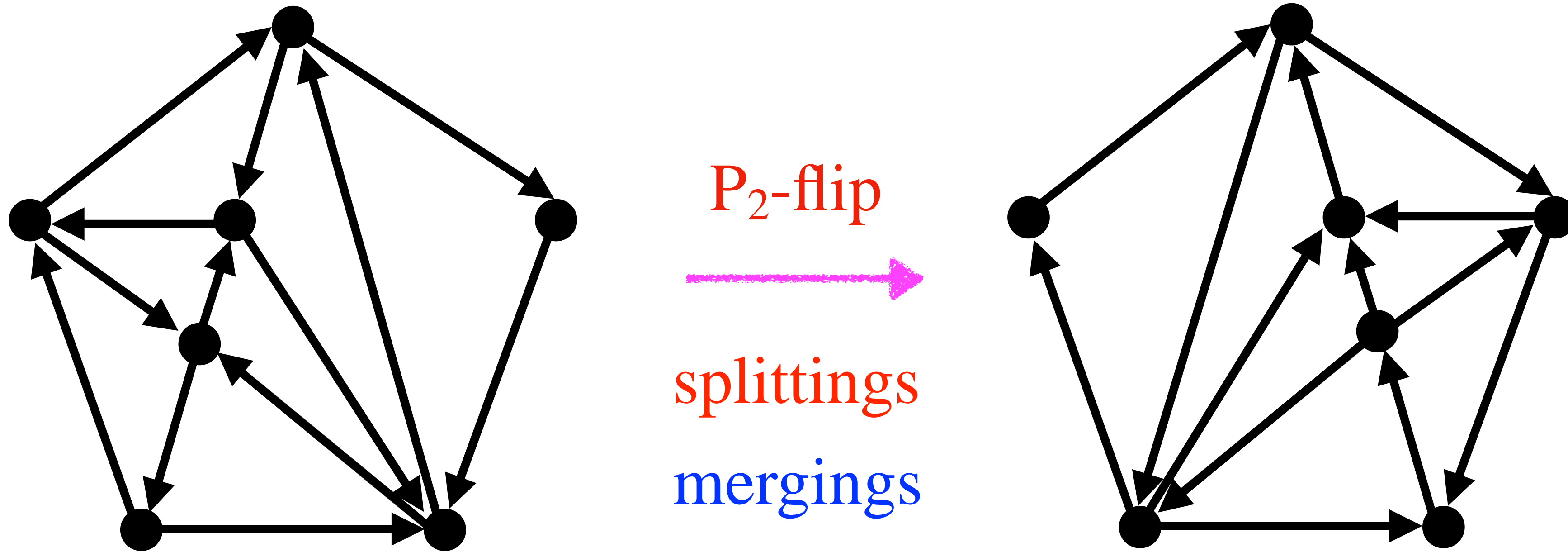
If their underlying graphs are simple even triangulations, then they can be transformed into each other by a sequence of **splittings** and **mergings** preserving the number of vertices.



# Theorem 5.

$D, D'$ : regular digraphs on the sphere, and  $|D| = |D'|$ .

If their underlying graphs are simple even triangulations, then they can be transformed into each other by a sequence of **splittings** and **mergings** preserving the number of vertices.

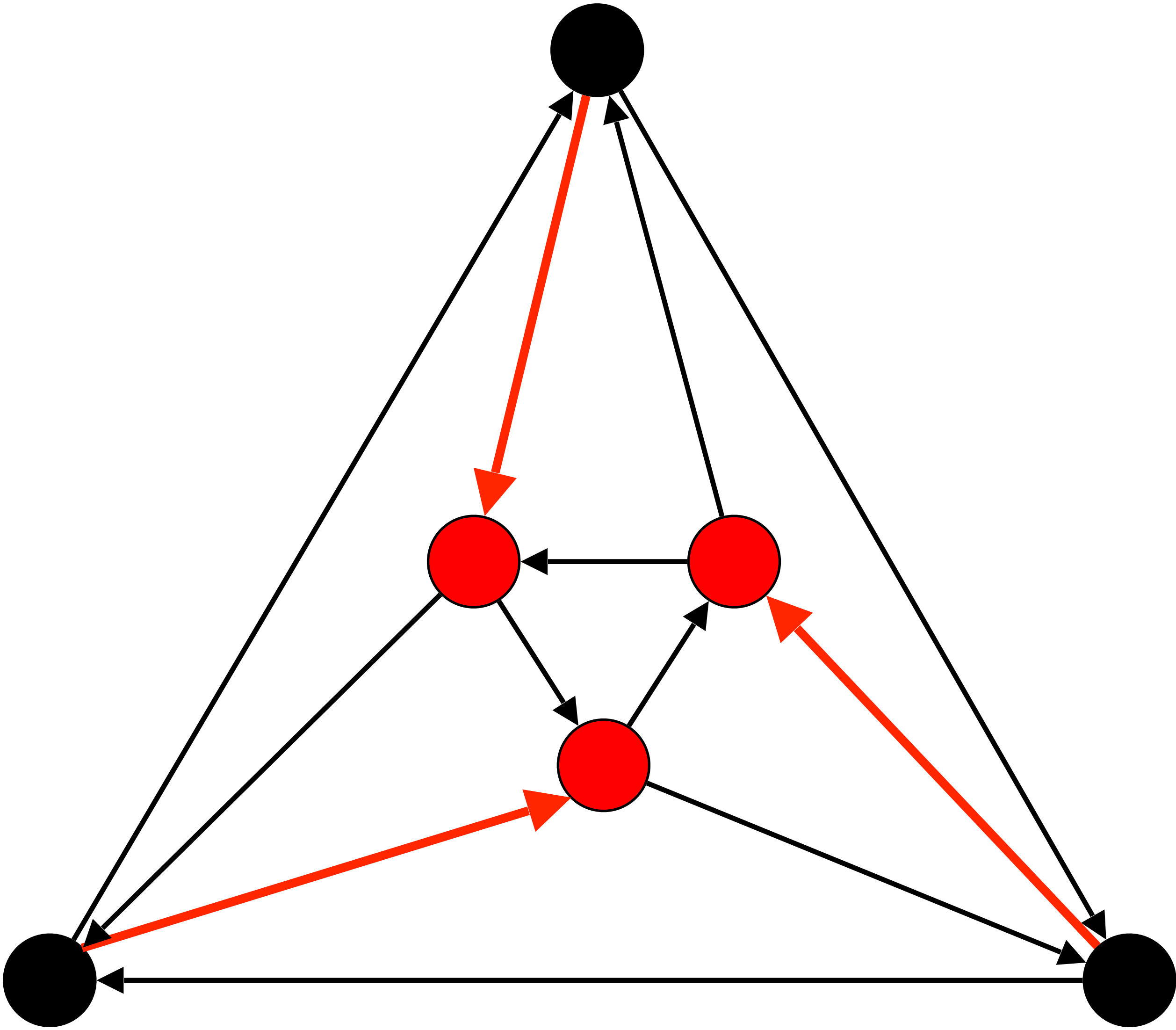


# Theorem 6.

$D, D'$ : regular digraphs on a closed surface  $\mathbf{F}$ .

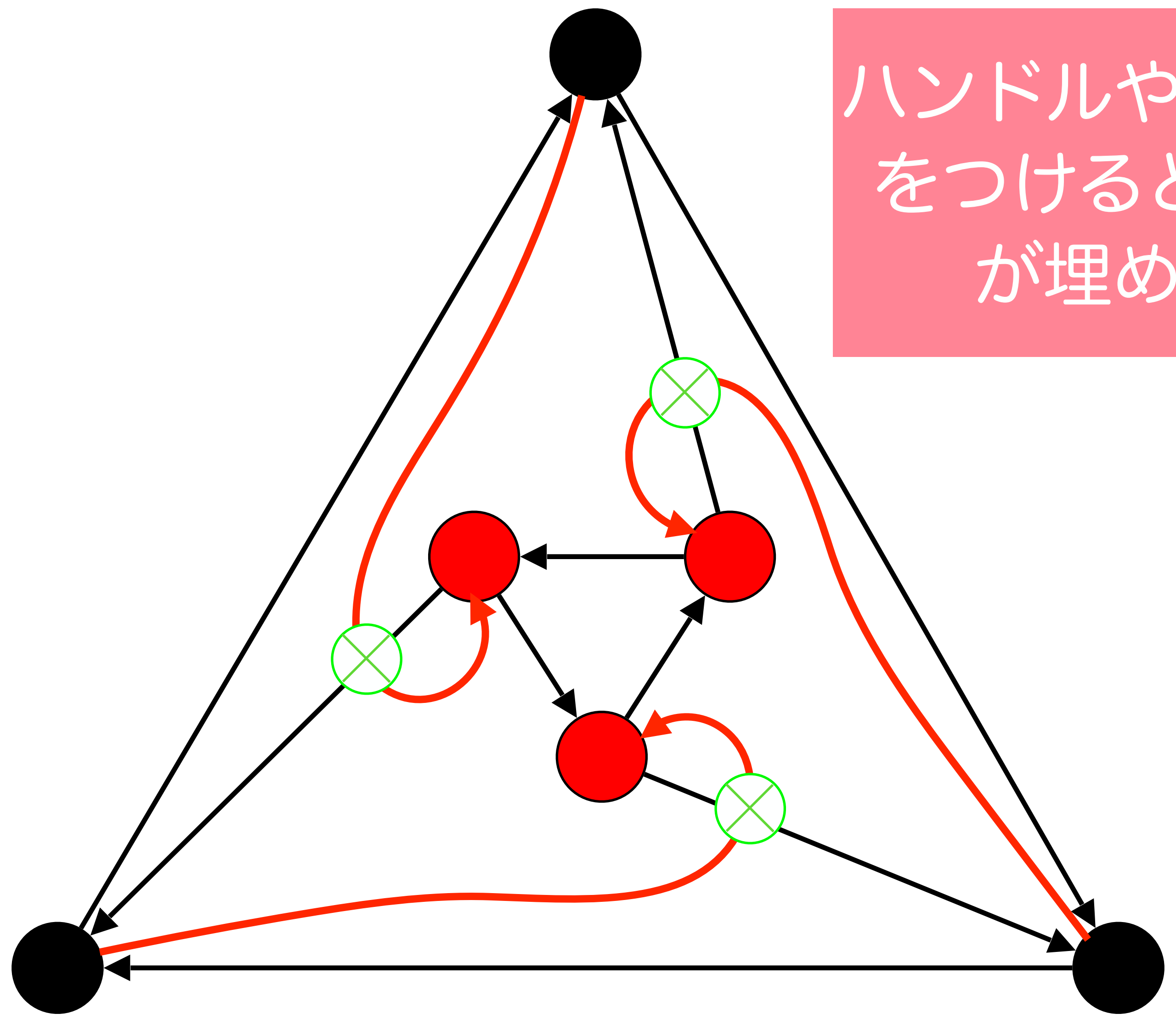
Then there exists a positive integer  $N(\mathbf{F})$  such that if  $|D| = |D'| \geq N(\mathbf{F})$  and their underlying graphs are simple even triangulations, then they can be transformed into each other by a sequence of **splittings** and **mergings** preserving the number of vertices.

平面には埋め込みできていないが...



# 平面には埋め込みできていないが...

ハンドルやクロスキャップ  
をつけると種数は上がる  
が埋め込みは可能

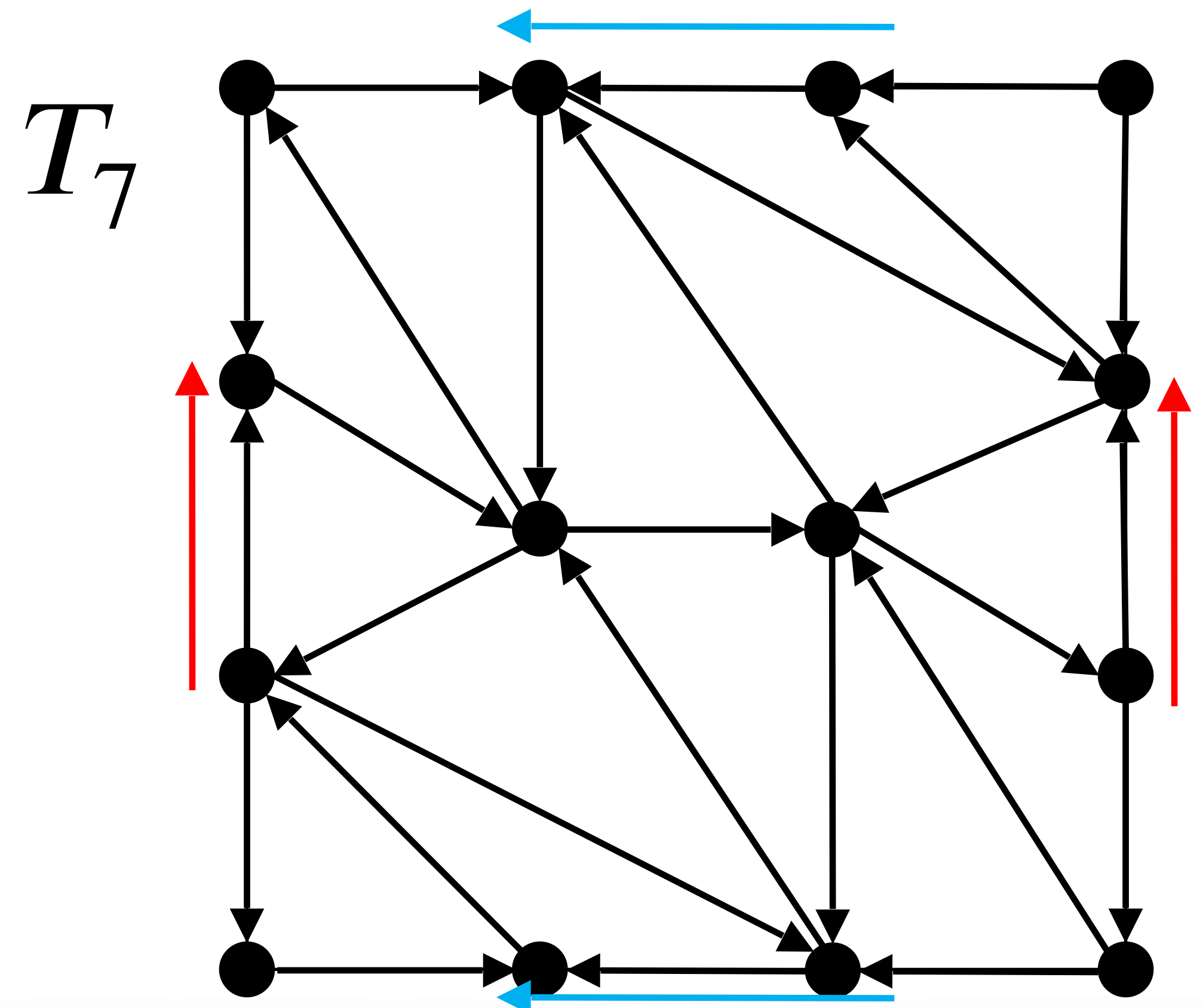
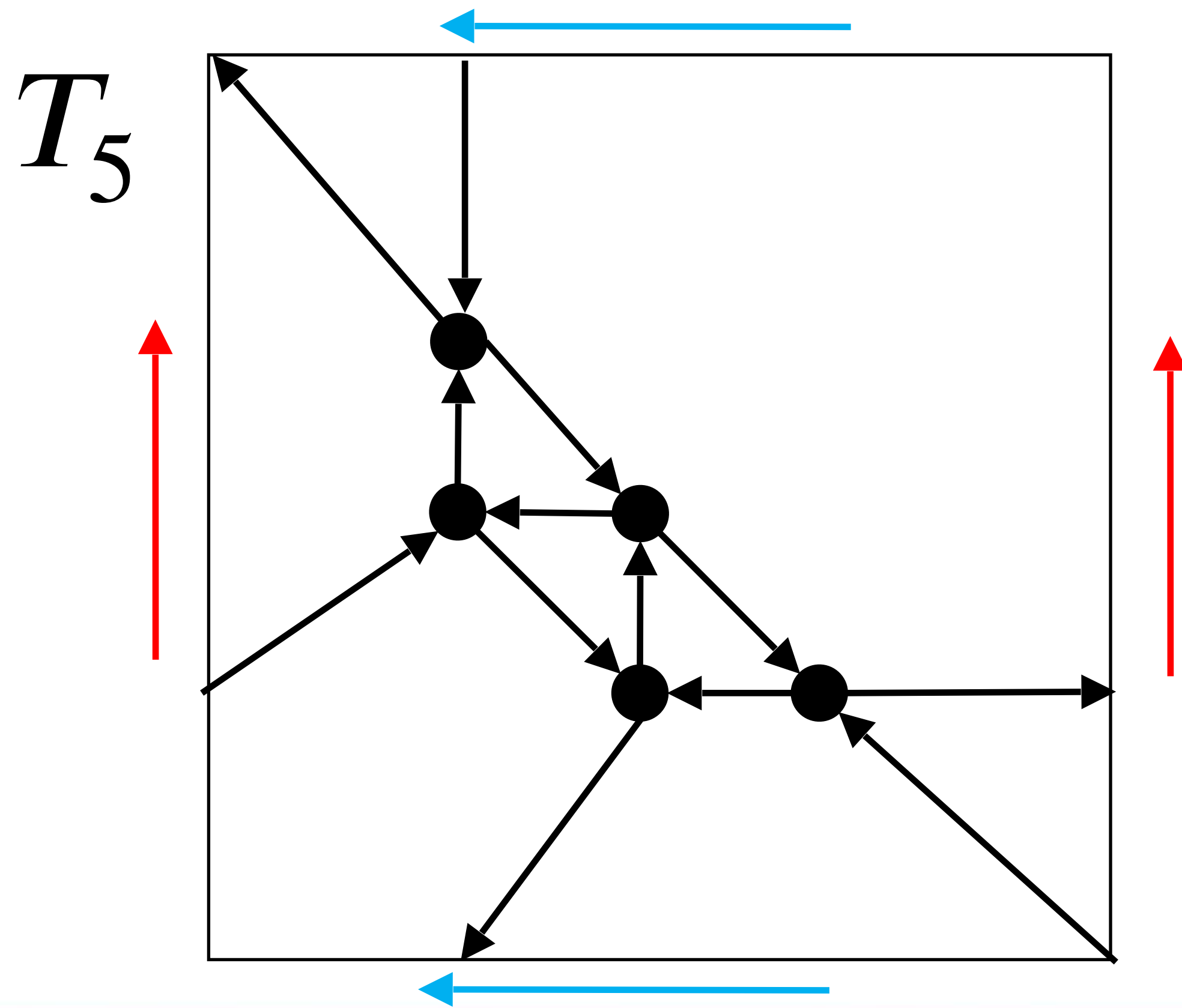


# 有向グラフの最小種数埋め込み

Observation 7.

$n \leq 7$ とし,  $T_n$ を無向基礎グラフが $K_n$ と同型な正則有向グラフとする.

このとき,  $T_n$ は一意的であり, かつトーラスに埋め込み可能である.

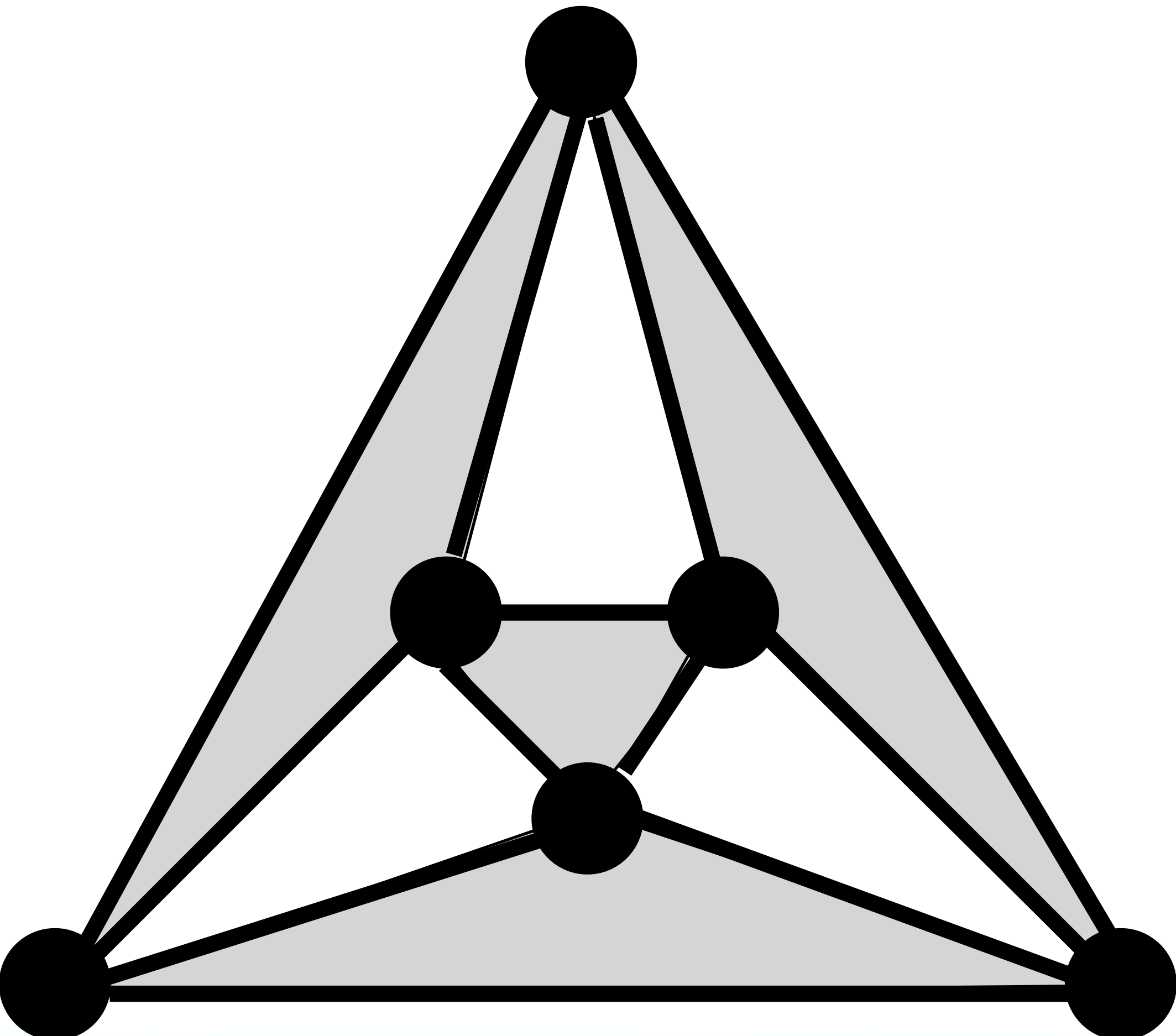


# 本日の内容

1. 無向グラフの閉曲面への埋め込み
2. 無向グラフの良い向き付け
3. 良い向き付けと半边彩色

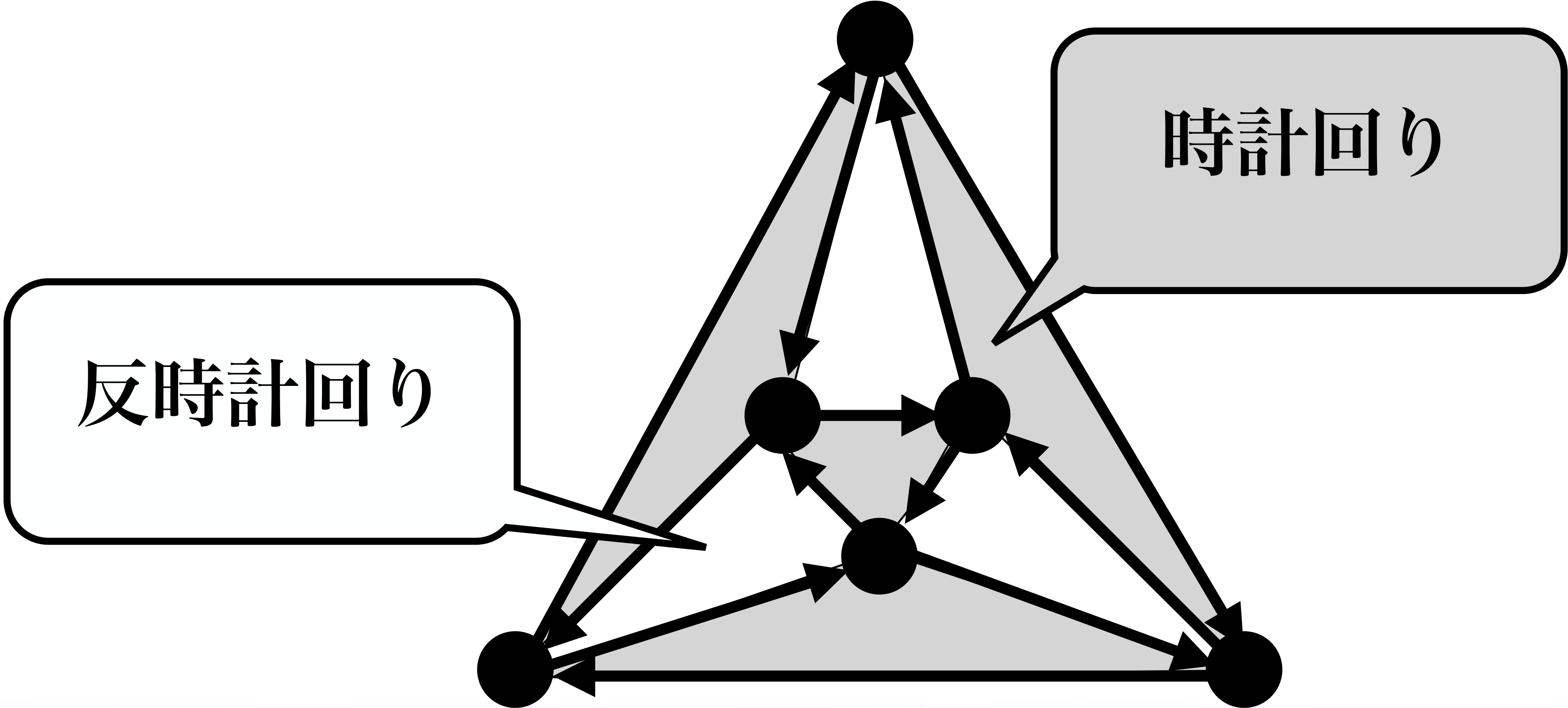


# 良い向き付けと半边彩色

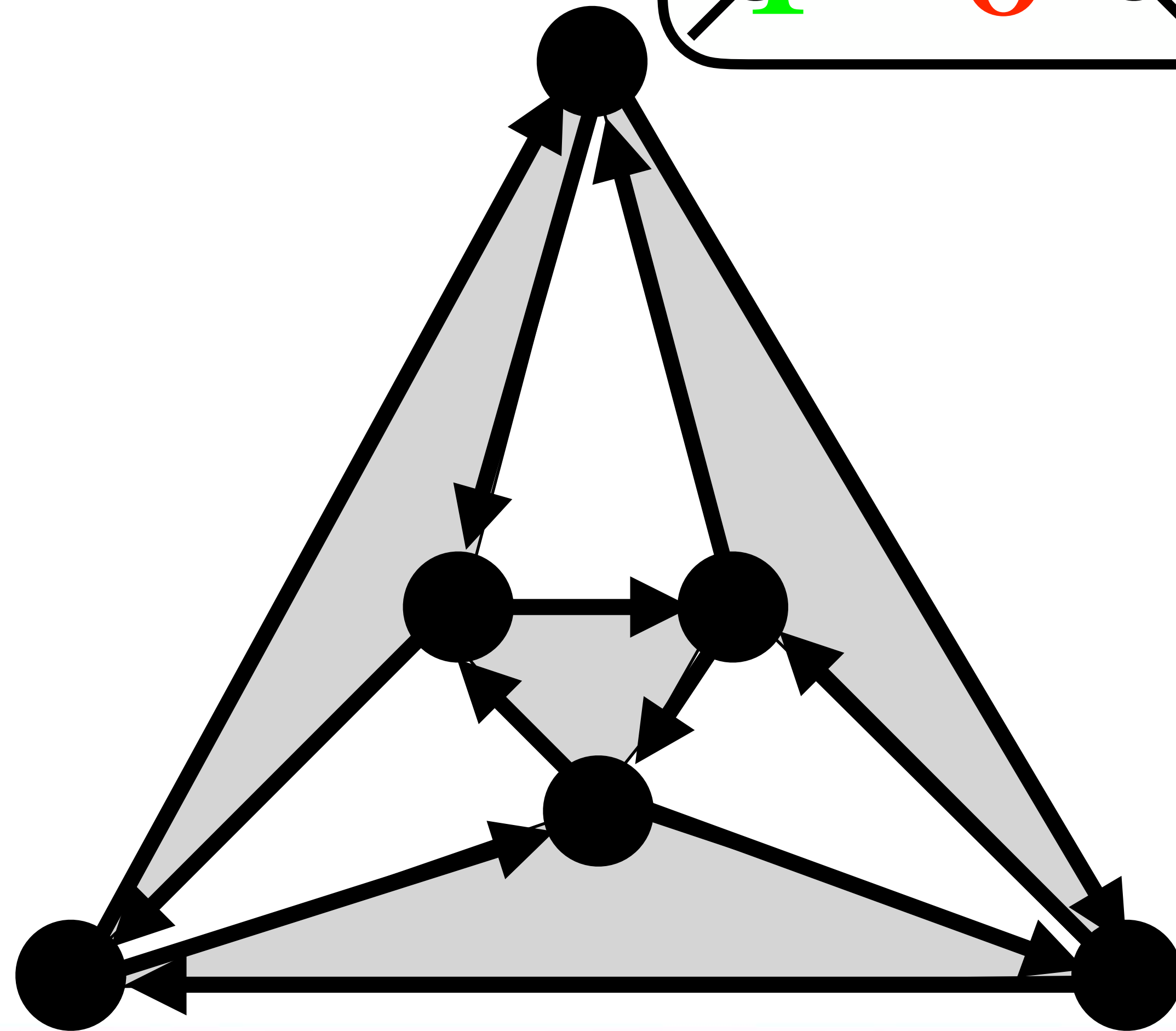
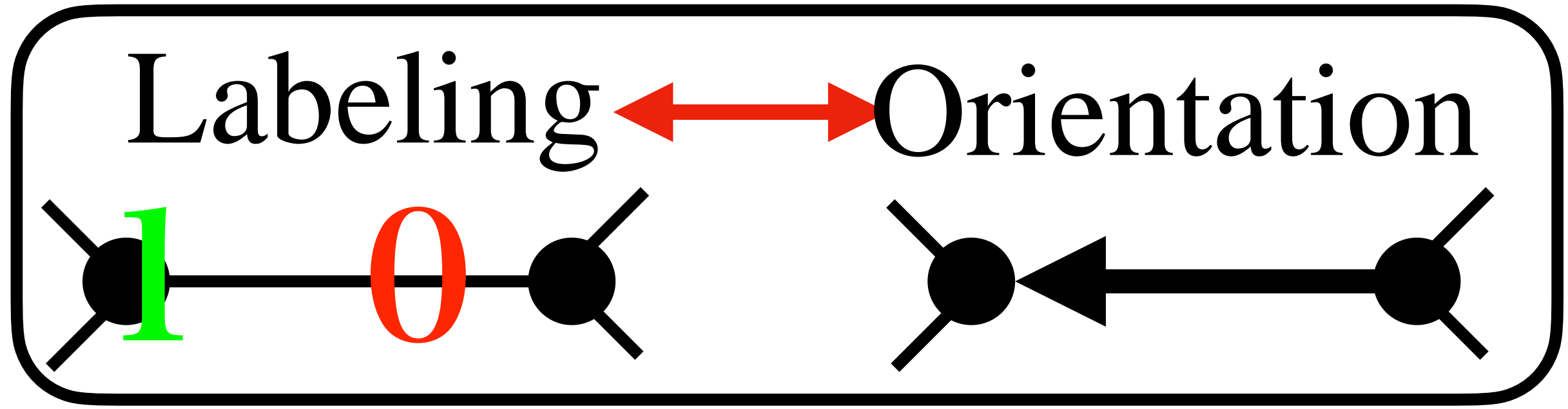




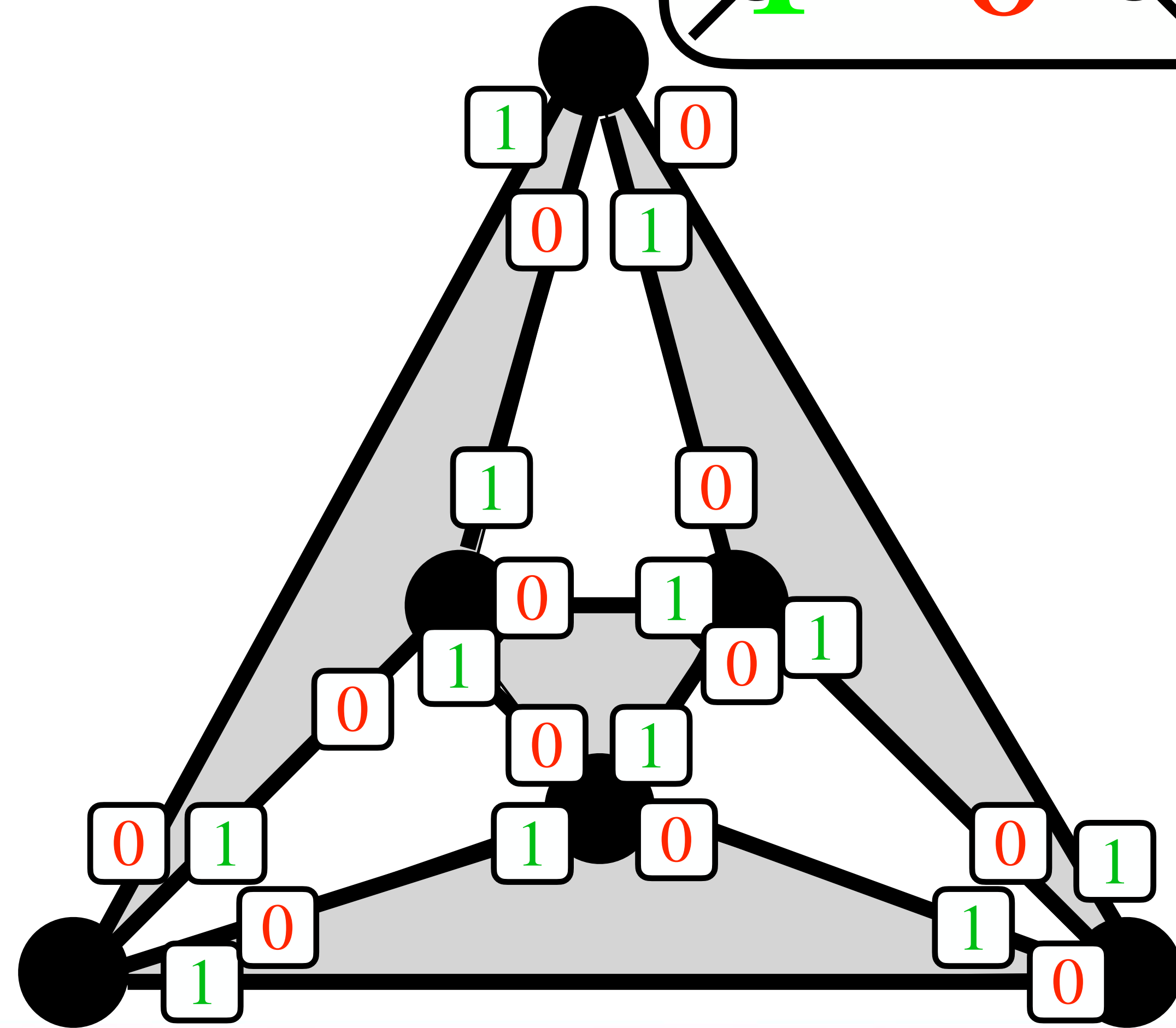
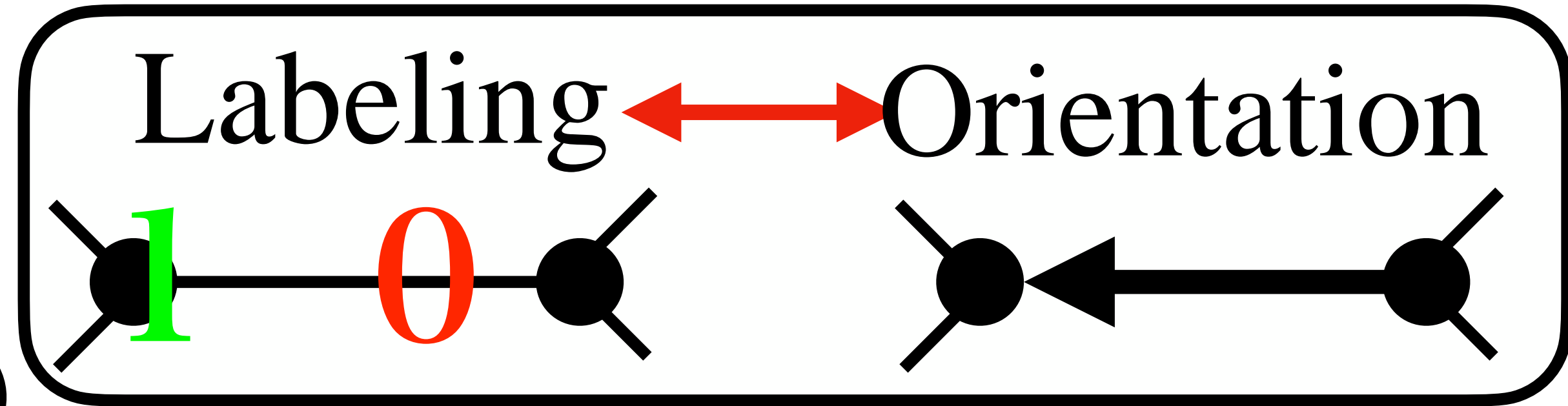
# 良い向き付けと半边彩色



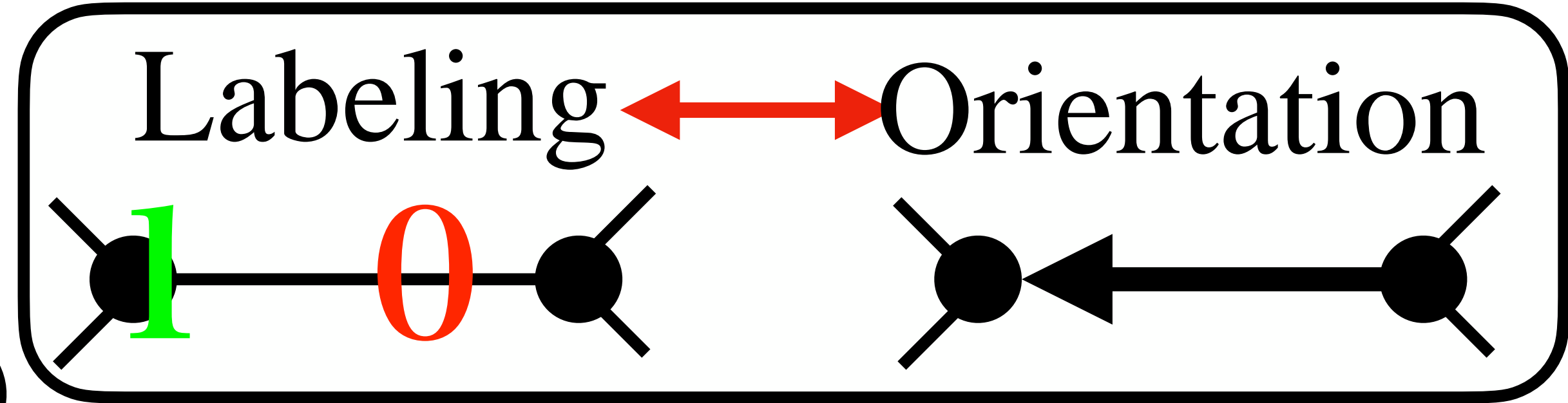
# 良い向き付けと半边彩色



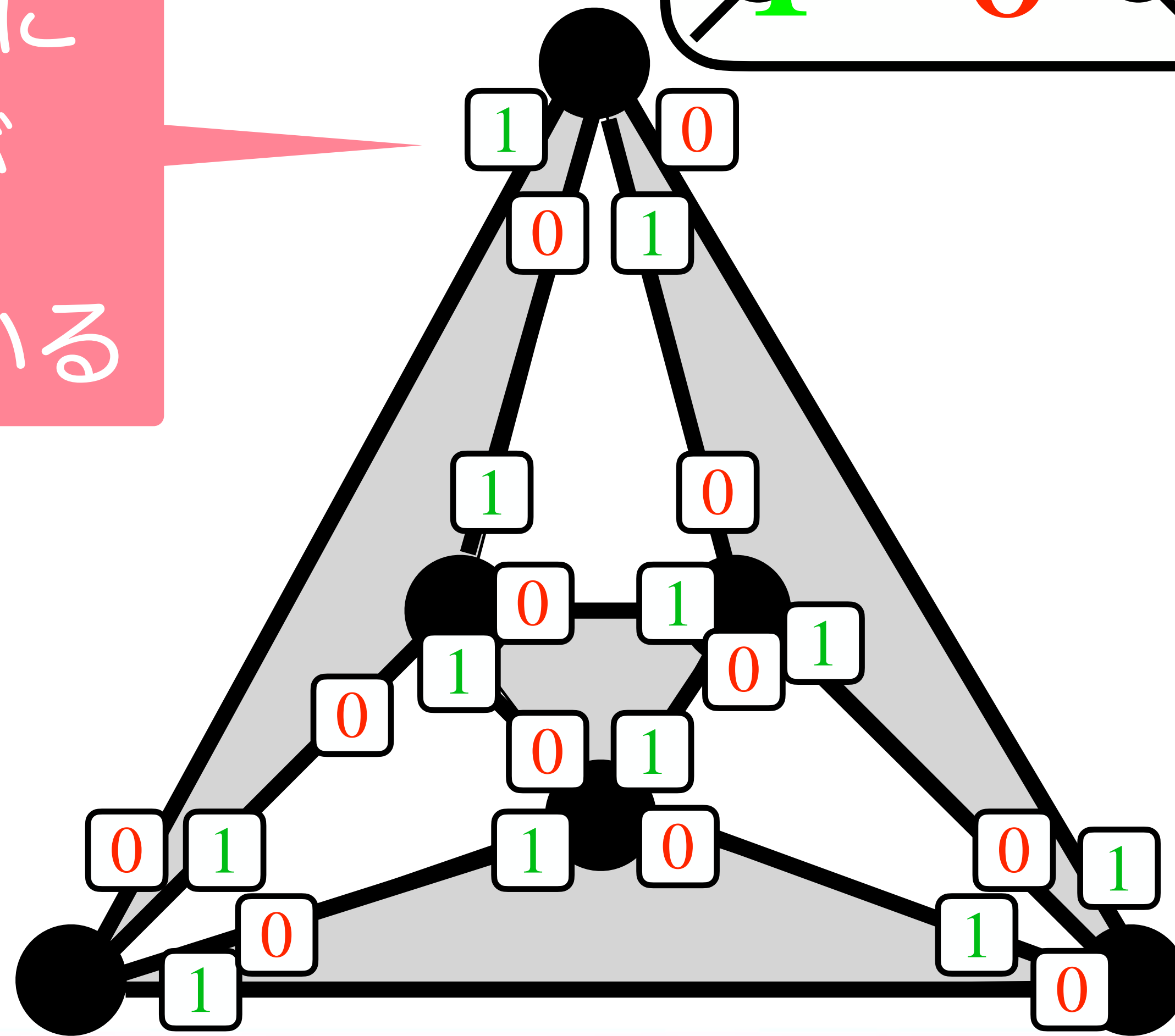
# 良い向き付けと半边彩色



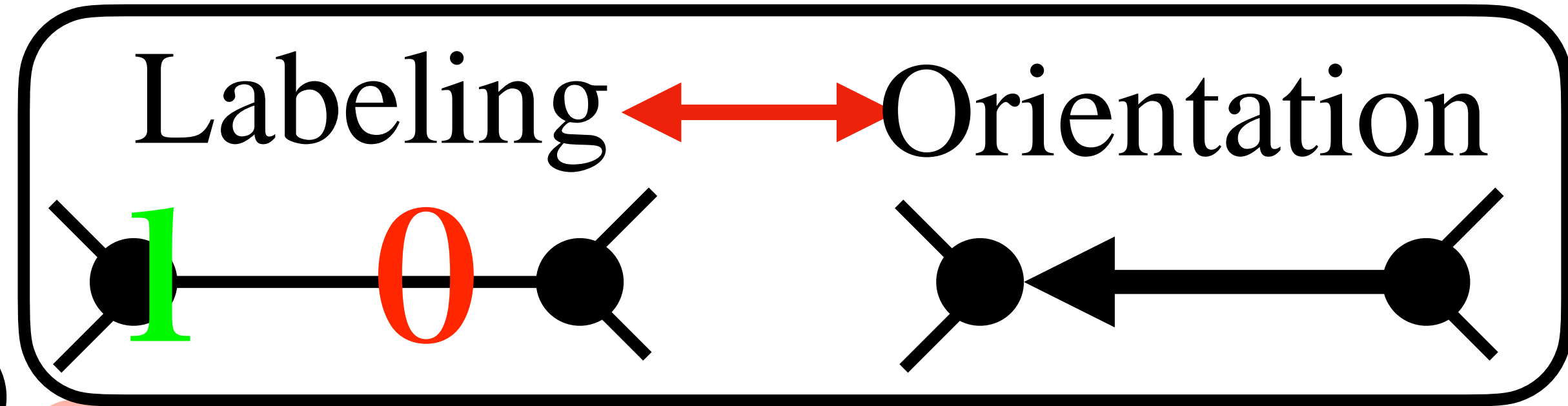
# 良い向き付けと半边彩色



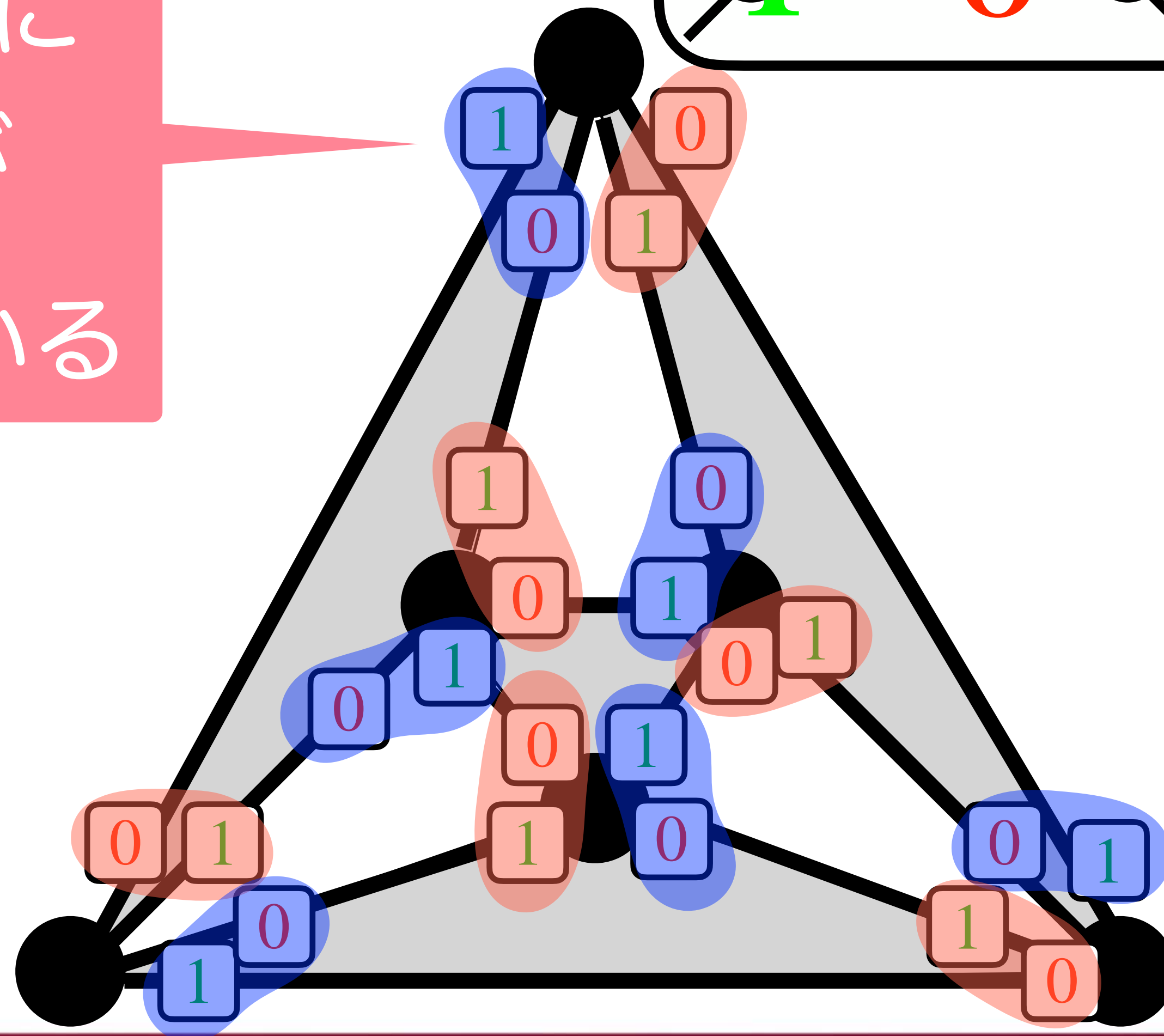
各頂点の周りに  
巡回群  $Z_n$  が  
順々に現れている



# 良い向き付けと半边彩色

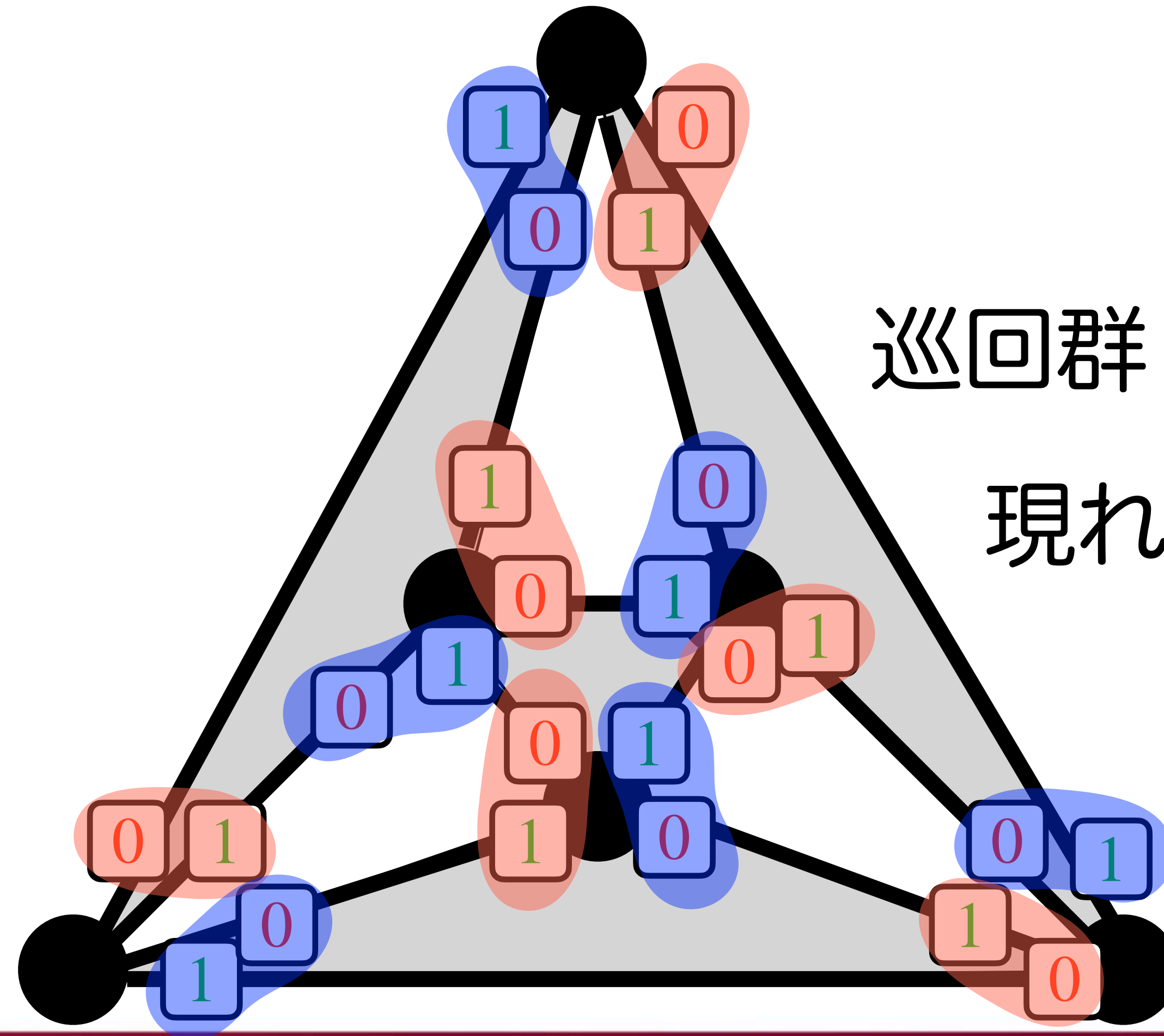


各頂点の周りに  
巡回群  $Z_n$  が  
順々に現れている



# 良い向き付けと半辺彩色の問題提起

ある閉曲面に埋め込まれた  $t$ -正則グラフの各頂点周りに巡回群  $Z_s$  が順々に現れる半辺彩色は存在するか？



巡回群  $Z_2$  が各点の周りに  
現れる4-正則グラフ

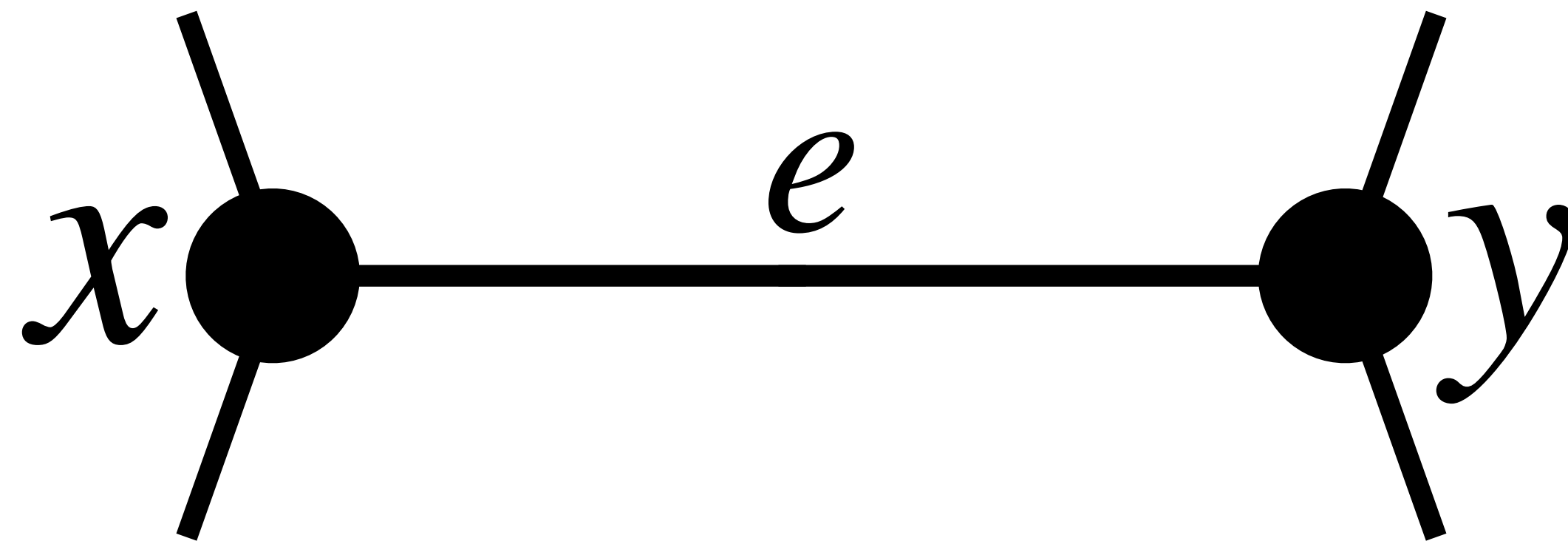
# 半辺彩色の定義

Definition (Clockwise labeling).

ある向き付け可能閉曲面に埋め込まれた

$t$ -正則グラフに対して, **clockwise  $s$ -labeling**とは次の2つの条件を満たすラベリングである. (ただし,  $t \equiv 0 \pmod{s}$ .)

Rule 1.  $i, j \in \mathbb{Z}_s$  かつ,  $i \neq j$



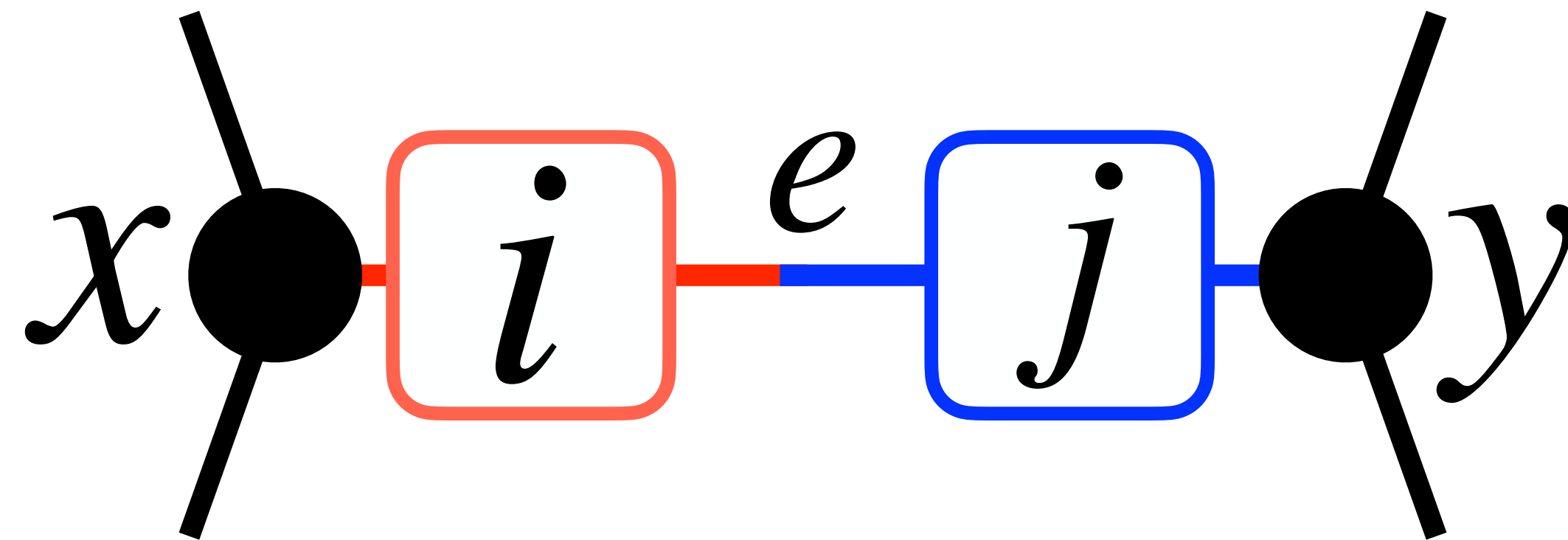
# 半辺彩色の定義

Definition (Clockwise labeling).

ある向き付け可能閉曲面に埋め込まれた

$t$ -正則グラフに対して, **clockwise  $s$ -labeling**とは次の2つの条件を満たすラベリングである. (ただし,  $t \equiv 0 \pmod{s}$ .)

Rule 1.  $i, j \in \mathbb{Z}_s$  かつ,  $i \neq j$





# 半辺彩色の定義

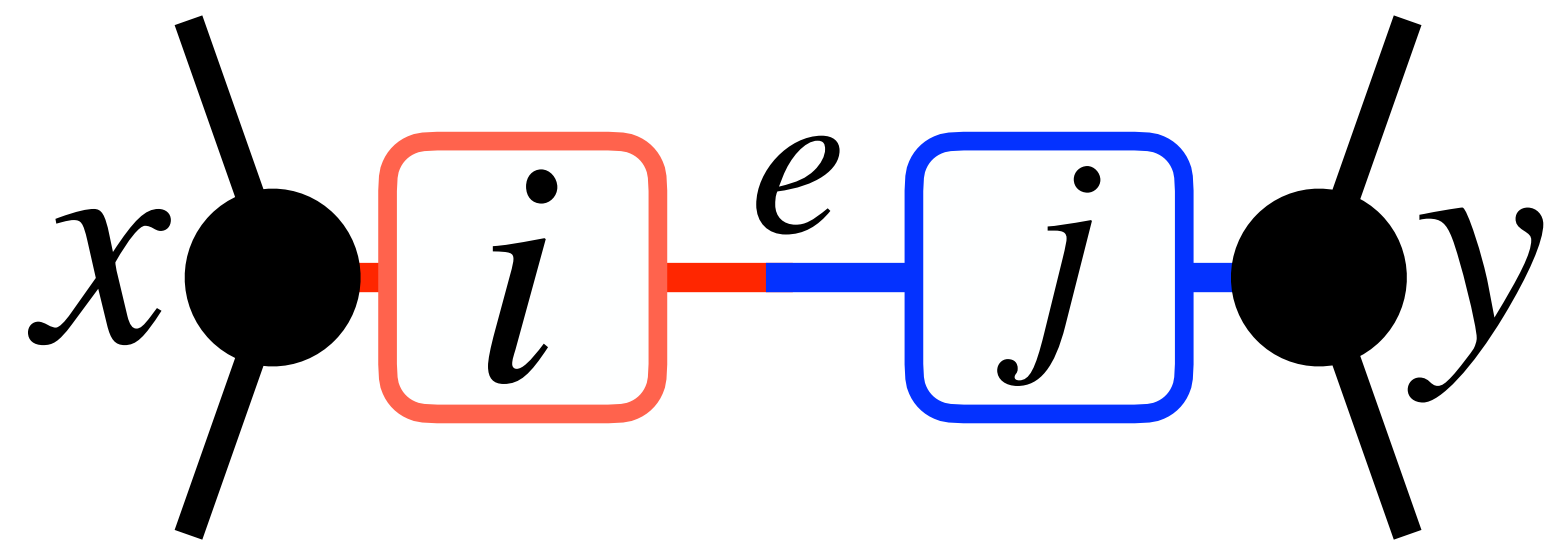
Definition (Clockwise labeling).

ある向き付け可能閉曲面に埋め込まれた

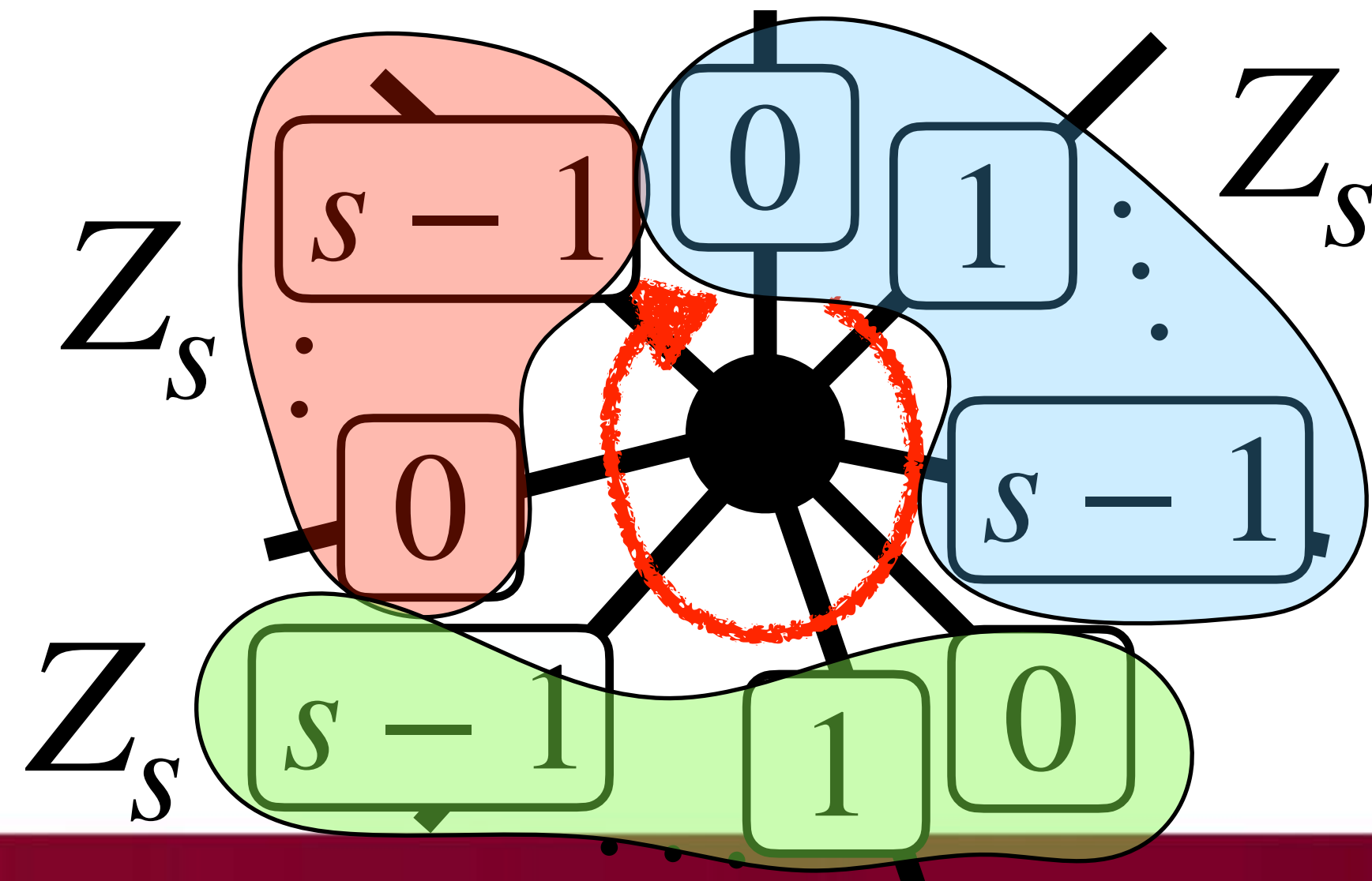
$t$ -正則グラフに対して, **clockwise  $s$ -labeling**とは次の2つの条件を満たすラベリングである. (ただし,  $t \equiv 0 \pmod{s}$ .)

Rule 1.

$i, j \in \mathbb{Z}_s$  かつ,  $i \neq j$



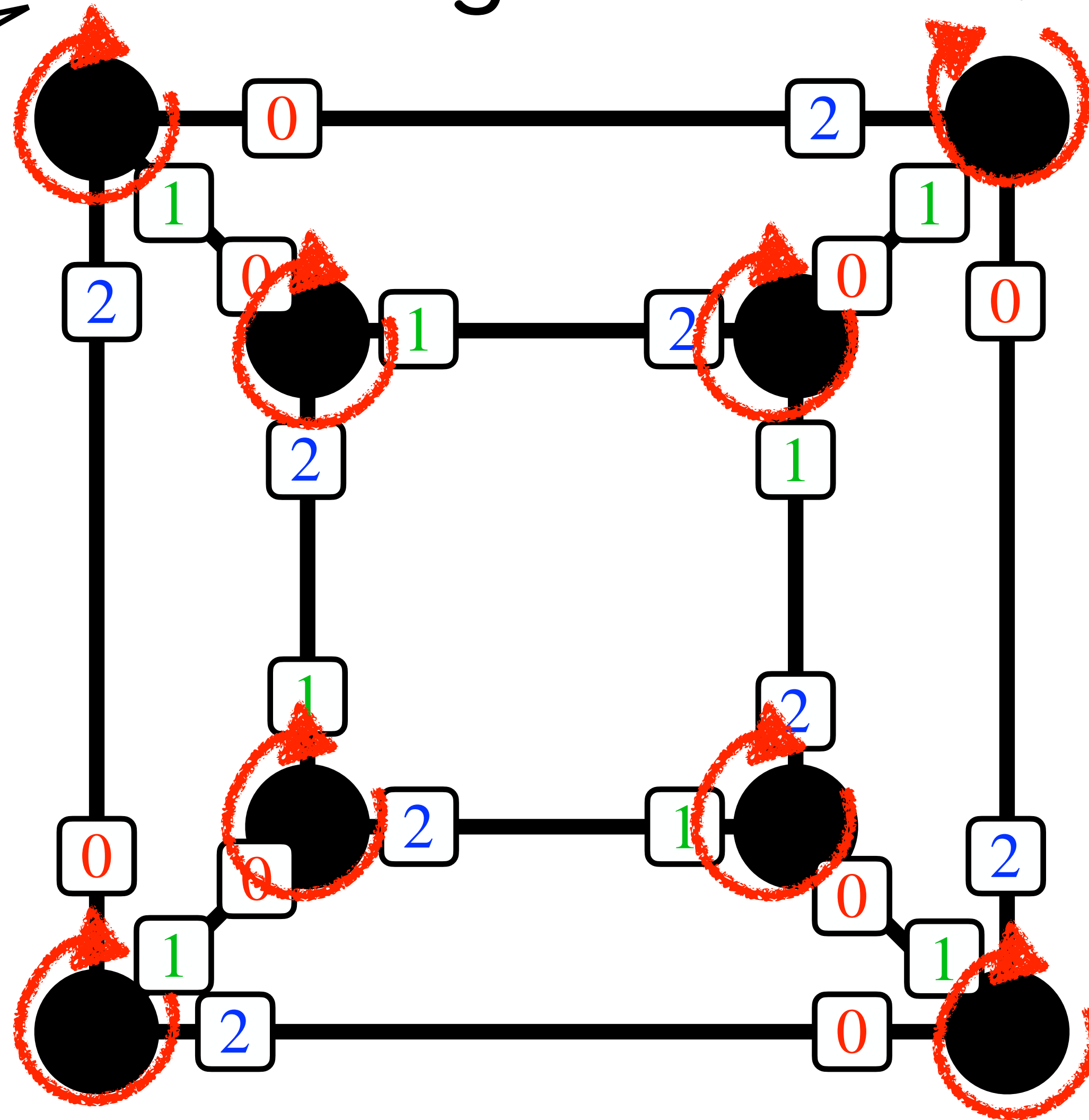
Rule 2.



# Clockwise labeling (半辺彩色) の例

Clockwise 3-labelingを持つ3-正則平面グラフ

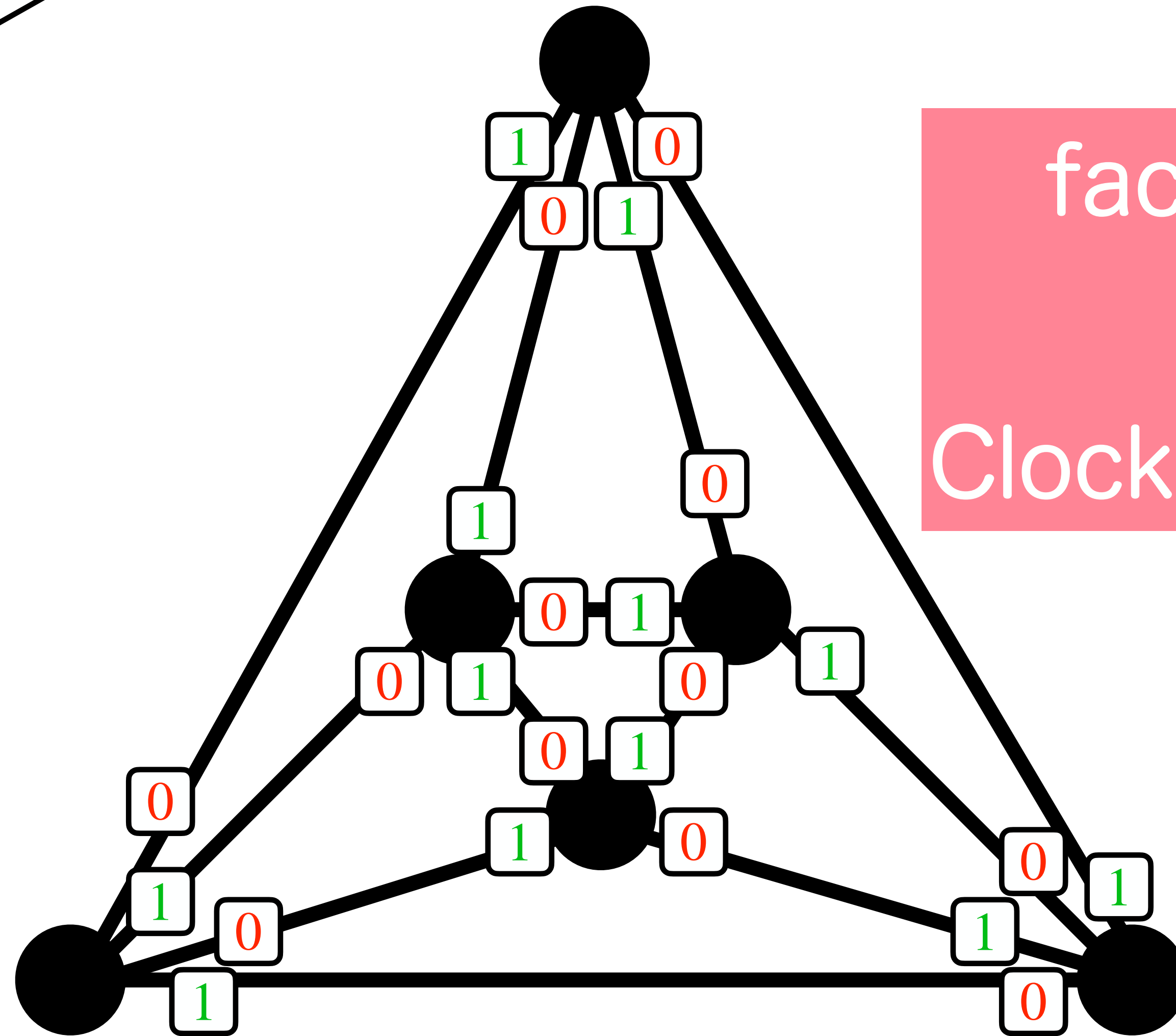
$\{0, 1, 2\}$



# Clockwise labeling (半边彩色) の例

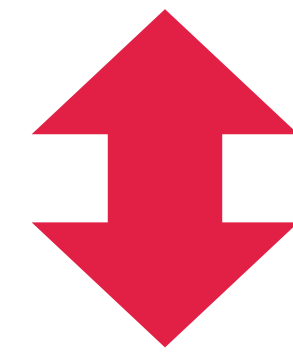
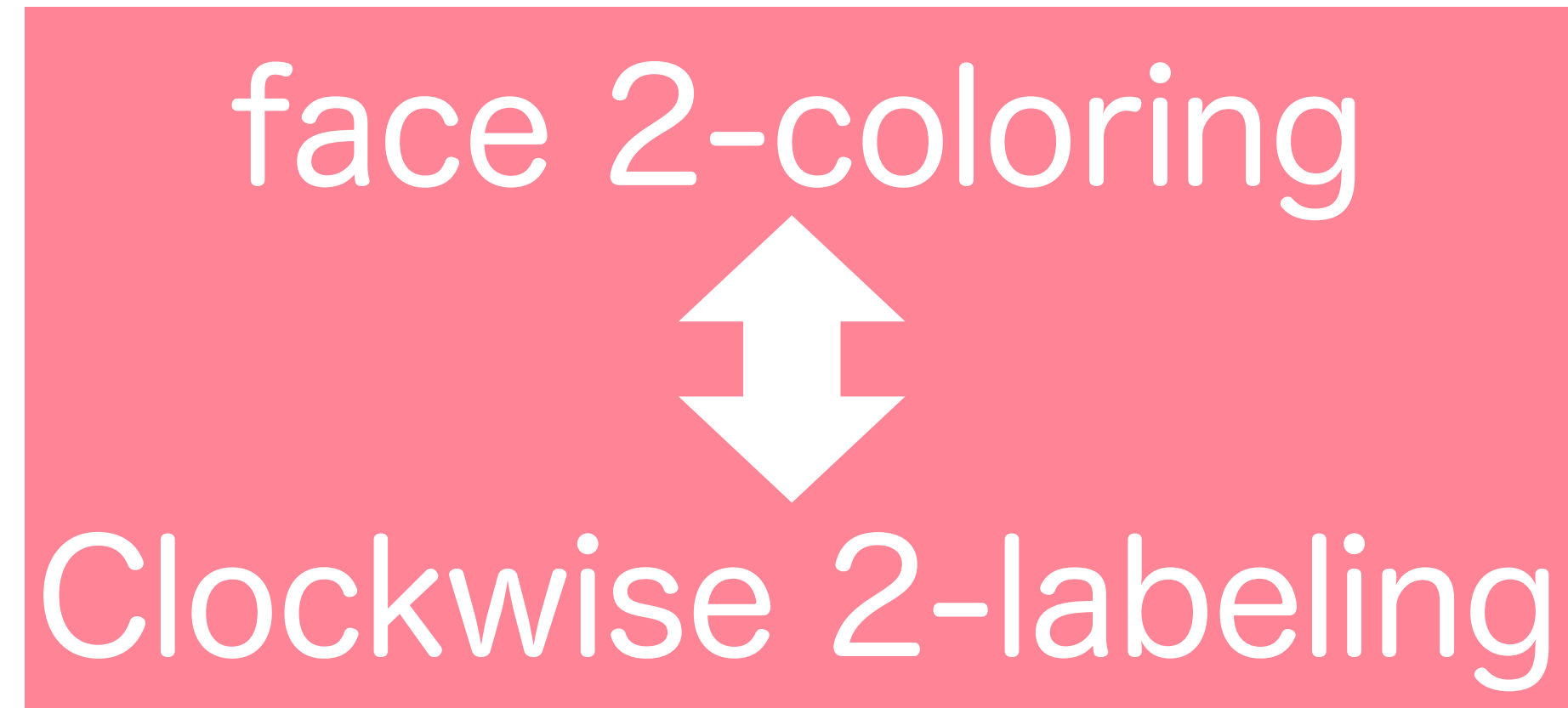
Clockwise 2-labelingを持つ4-正則平面グラフ

$\{0, 1\}$



face 2-coloring  
↕  
Clockwise 2-labeling

# Clockwise labeling (半边彩色) の例



拡張できないか？

## Clockwise ?-labeling

# 半辺彩色の塗り替え

## Observation 7.

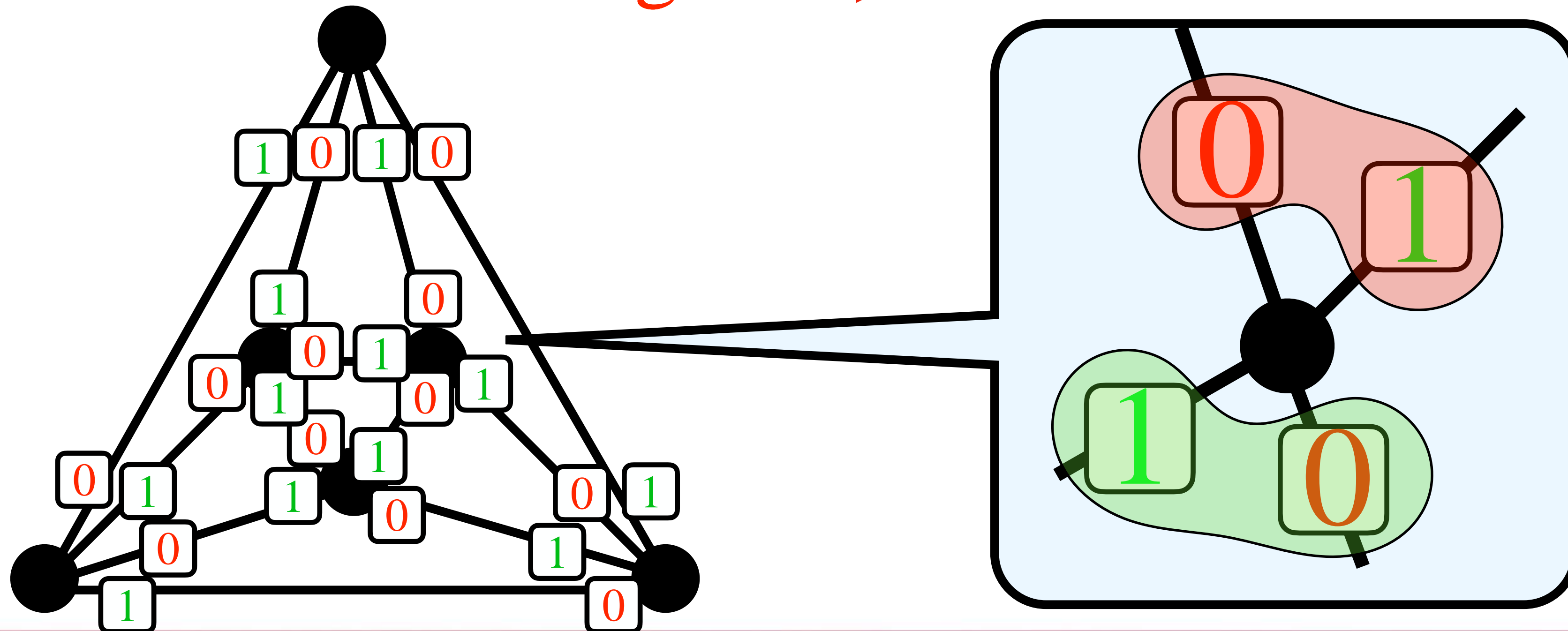
向き付け可能閉曲面 $F$ に埋め込まれた $k$ -正則グラフ $G$ が clockwise  $i$ -labeling を持つならば,  $G$ は clockwise  $j$ -labeling を持つ. ただし,  $j \equiv 0 \pmod{i}$ かつ,  $k \equiv 0 \pmod{j}$ . )

Clockwise 2-labeling  $\longrightarrow$  Clockwise 4-labeling

# Observation 7.

向き付け可能閉曲面 $F$ に埋め込まれた $k$ -正則グラフ $G$ が clockwise  $i$ -labelingを持つならば,  $G$ はclockwise  $j$ -labelingを持つ. ただし,  $j \equiv 0 \pmod{i}$ かつ,  $k \equiv 0 \pmod{j}$ . )

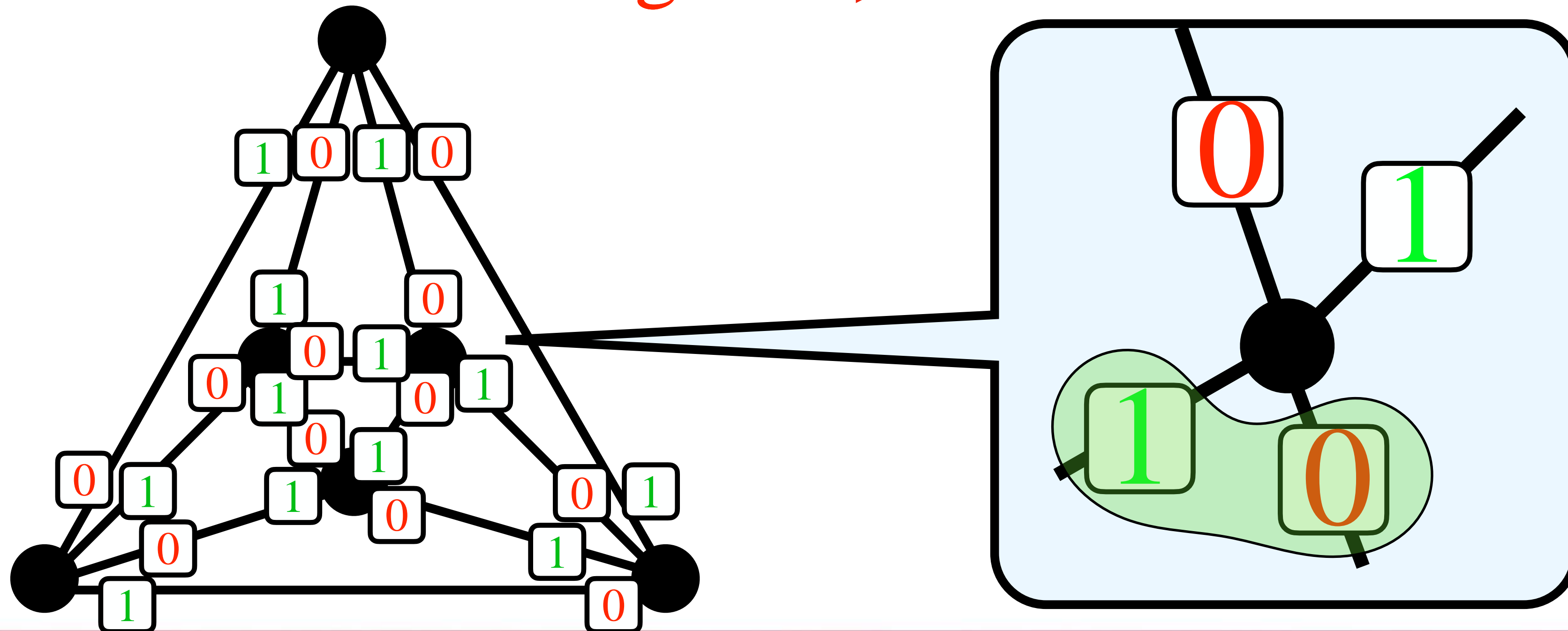
Clockwise **2-labeling**  $\longrightarrow$  Clockwise **4-labeling**



# Observation 7.

向き付け可能閉曲面 $F$ に埋め込まれた $k$ -正則グラフ $G$ が clockwise  $i$ -labelingを持つならば,  $G$ はclockwise  $j$ -labelingを持つ. ただし,  $j \equiv 0 \pmod{i}$ かつ,  $k \equiv 0 \pmod{j}$ . )

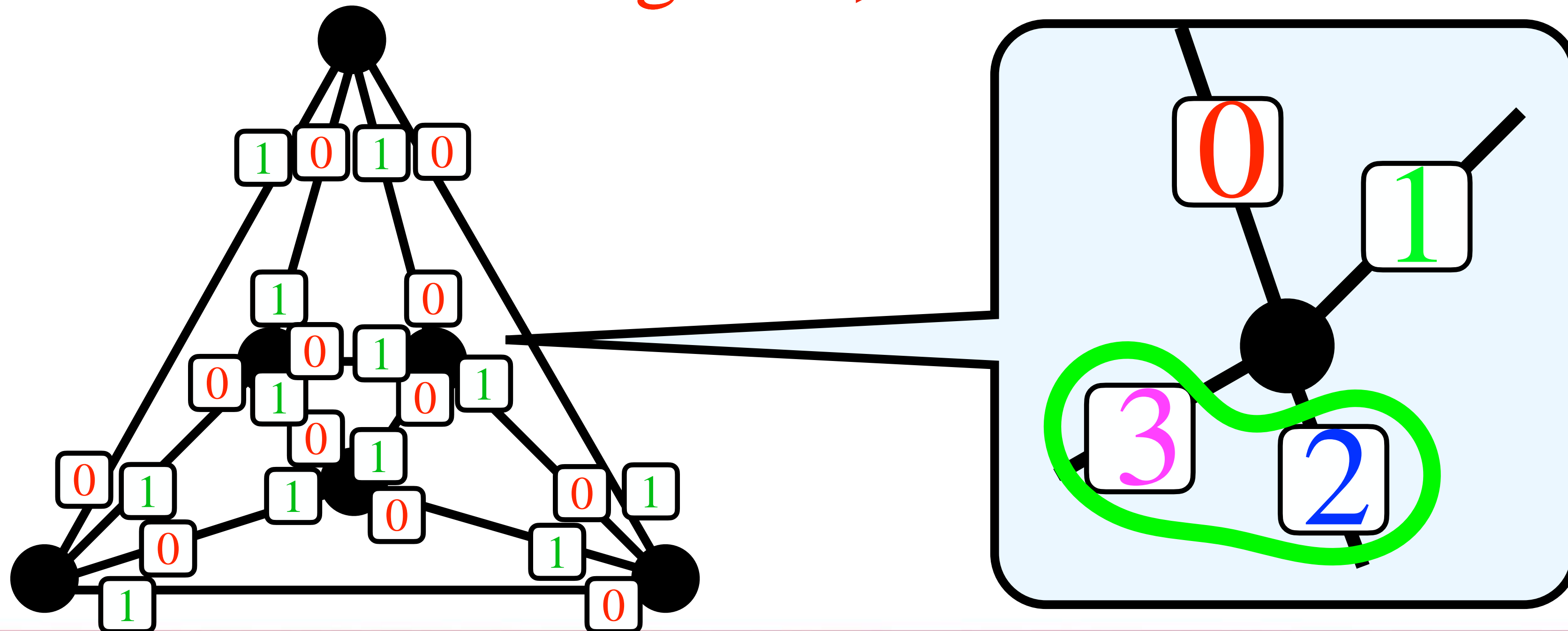
Clockwise 2-labeling  $\longrightarrow$  Clockwise 4-labeling



# Observation 7.

向き付け可能閉曲面 $F$ に埋め込まれた $k$ -正則グラフ $G$ が clockwise  $i$ -labelingを持つならば,  $G$ はclockwise  $j$ -labelingを持つ. ただし,  $j \equiv 0 \pmod{i}$ かつ,  $k \equiv 0 \pmod{j}$ . )

Clockwise 2-labeling  $\longrightarrow$  Clockwise 4-labeling

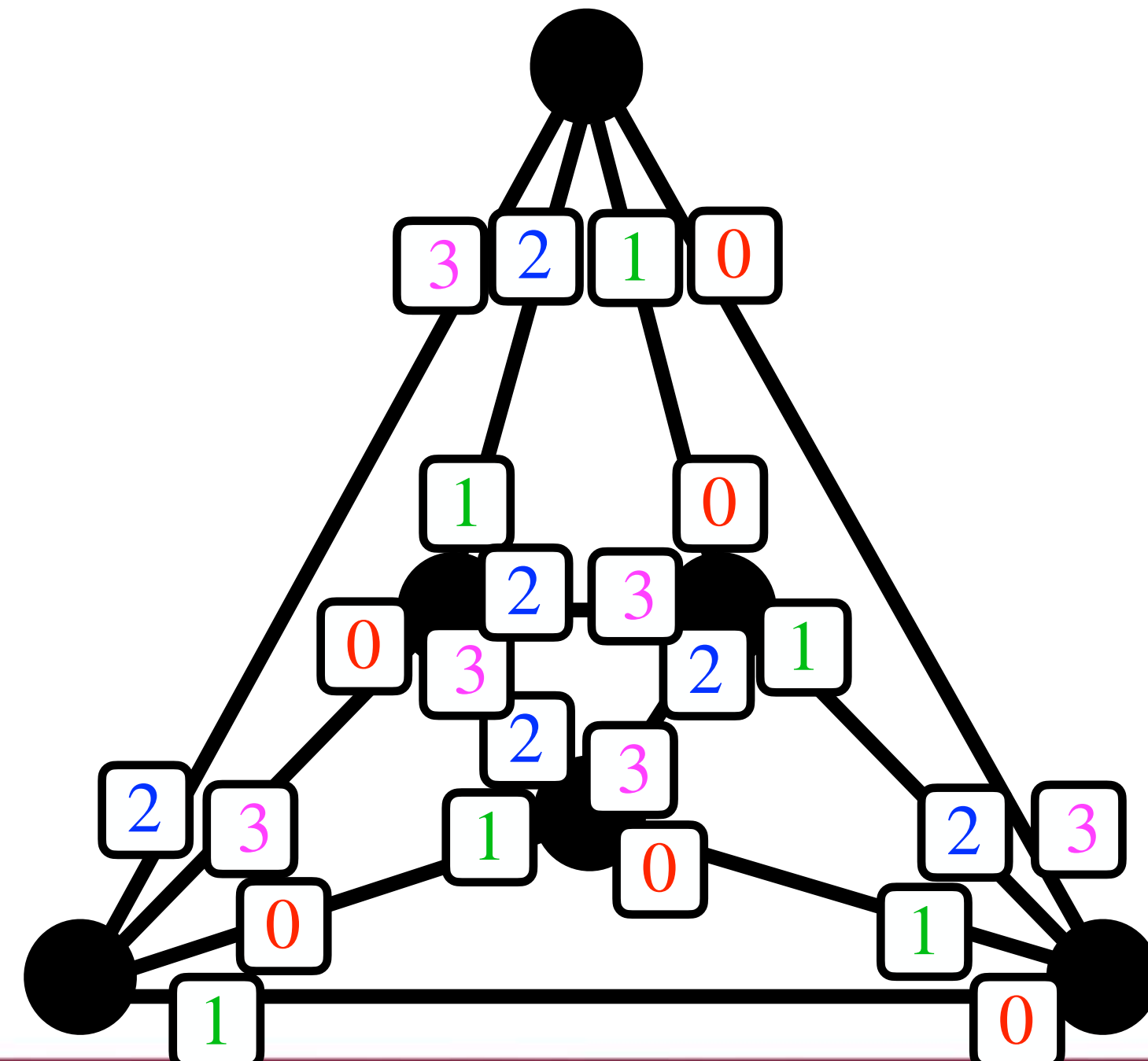
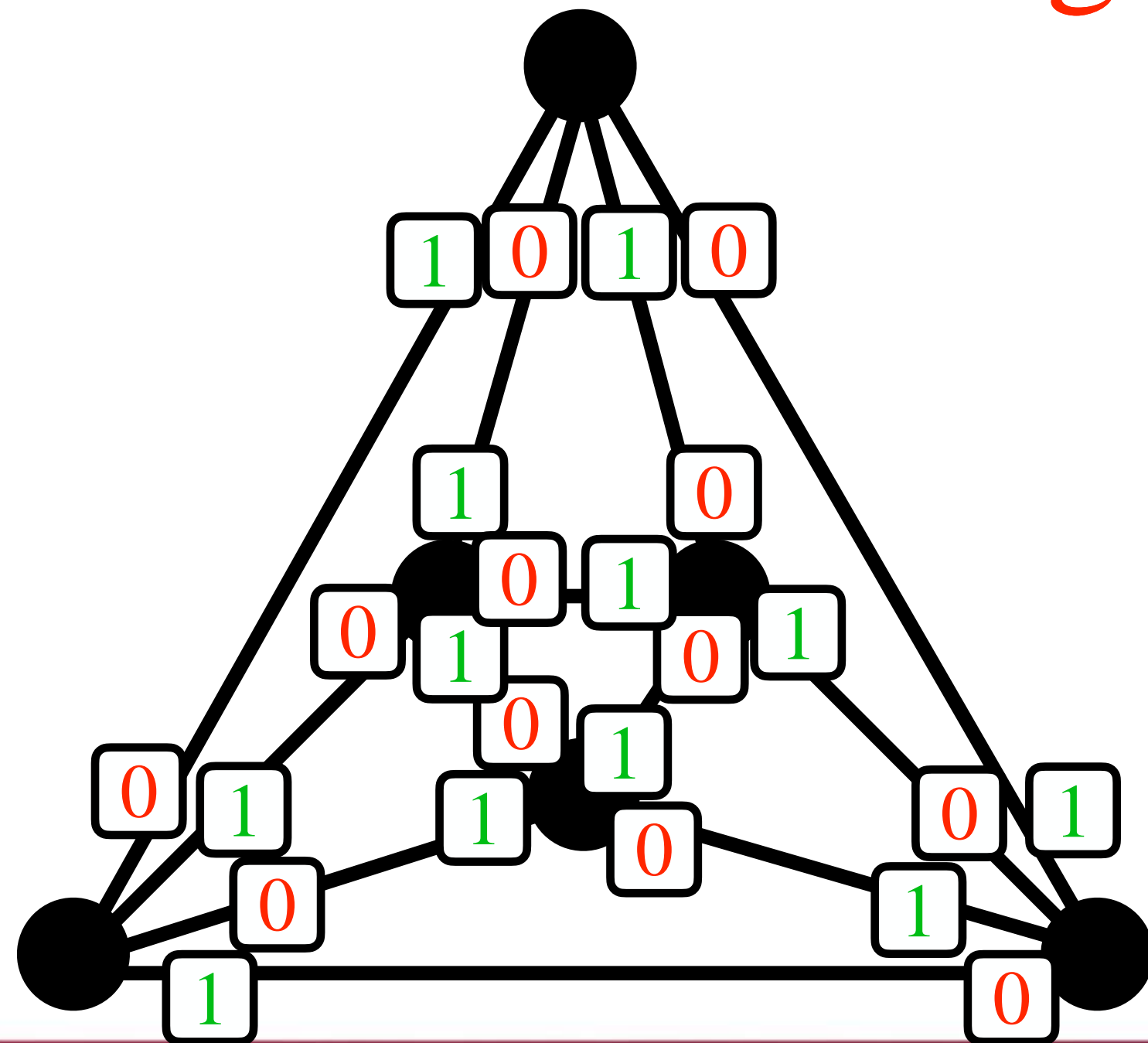




# Observation 7.

向き付け可能閉曲面 $F$ に埋め込まれた $k$ -正則グラフ $G$ が clockwise  $i$ -labelingを持つならば,  $G$ はclockwise  $j$ -labelingを持つ. ただし,  $j \equiv 0 \pmod{i}$ かつ,  $k \equiv 0 \pmod{j}$ .

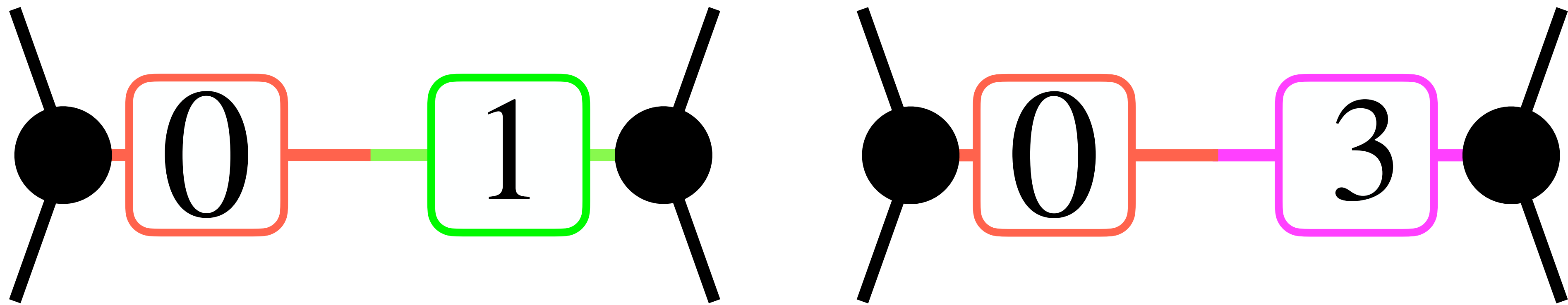
Clockwise **2-labeling**  $\longrightarrow$  Clockwise **4-labeling**



# Observation 7.

向き付け可能閉曲面 $F$ に埋め込まれた $k$ -正則グラフ $G$ が clockwise  $i$ -labelingを持つならば,  $G$ はclockwise  $j$ -labelingを持つ. ただし,  $j \equiv 0 \pmod{i}$ かつ,  $k \equiv 0 \pmod{j}$ . )

Clockwise 2-labeling  $\longrightarrow$  Clockwise 4-labeling



## 一般の閉曲面

Labeling

**Clockwise  
2-labeling**

Face 2-colorableな埋め込みを  
持つ $2k$ -正則グラフ

**Clockwise  
 $2i$ -labeling**

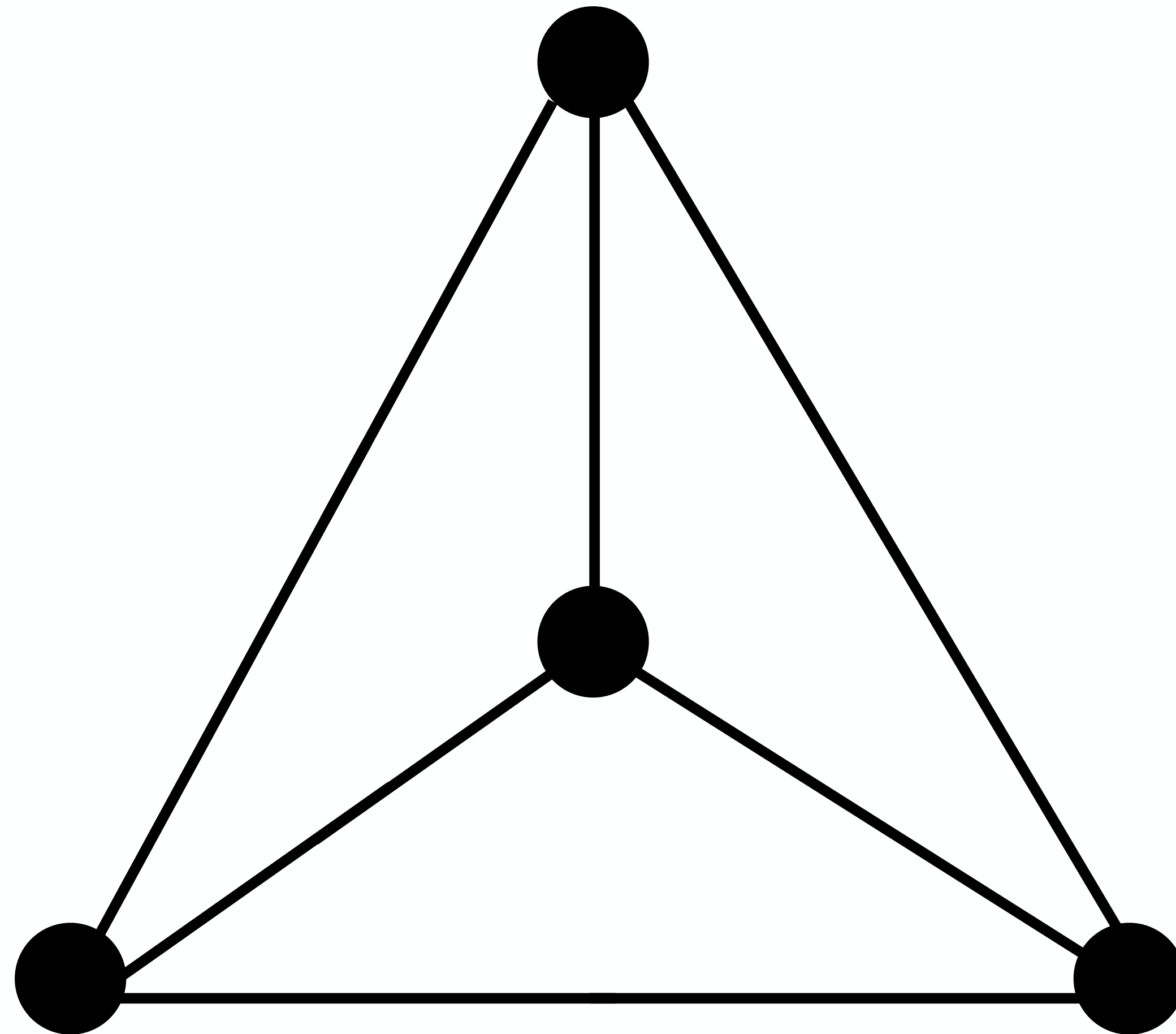
Clockwise 2-labelingを持つ  
 $2k$ -正則グラフ

**Clockwise  
3-labeling**

平面については？

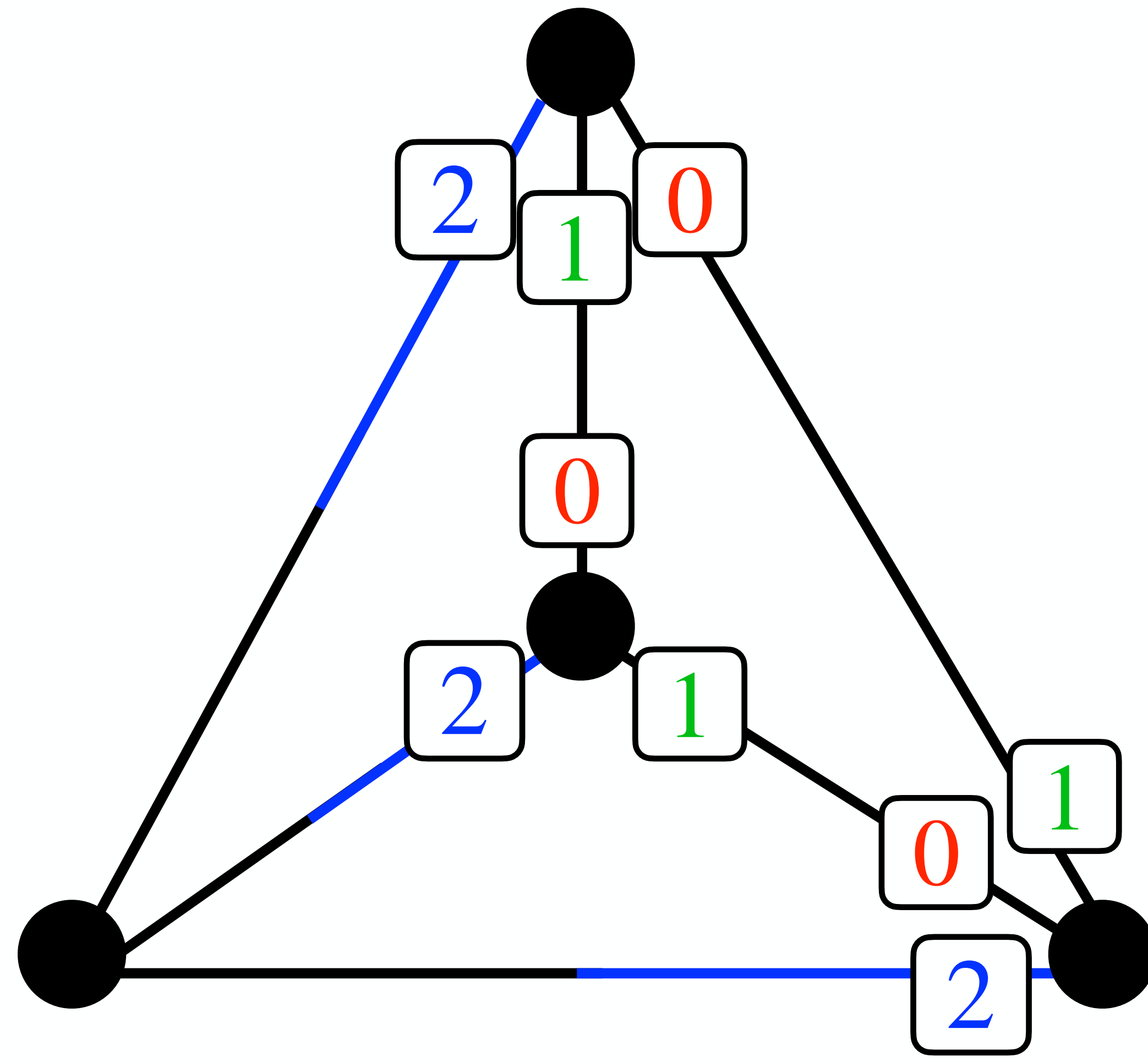
# Theorem 8.

3-正則平面グラフ $G$ について、 $G$ が完全グラフ  $K_4$  でないならば、clockwise 3-labelingを持つ。



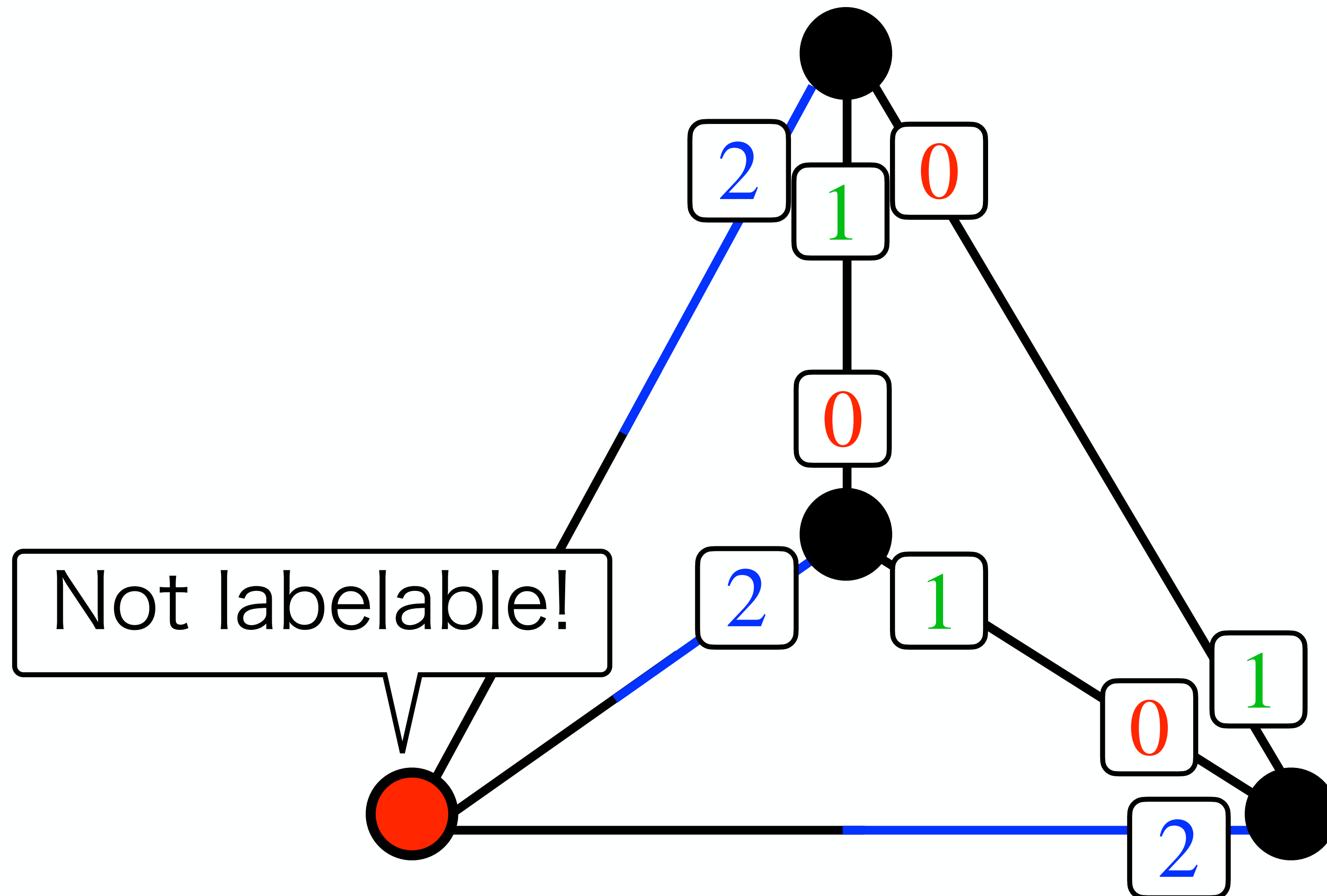
# Theorem 8.

3-正則平面グラフ $G$ について、 $G$ が完全グラフ  $K_4$  でないならば、clockwise 3-labelingを持つ。



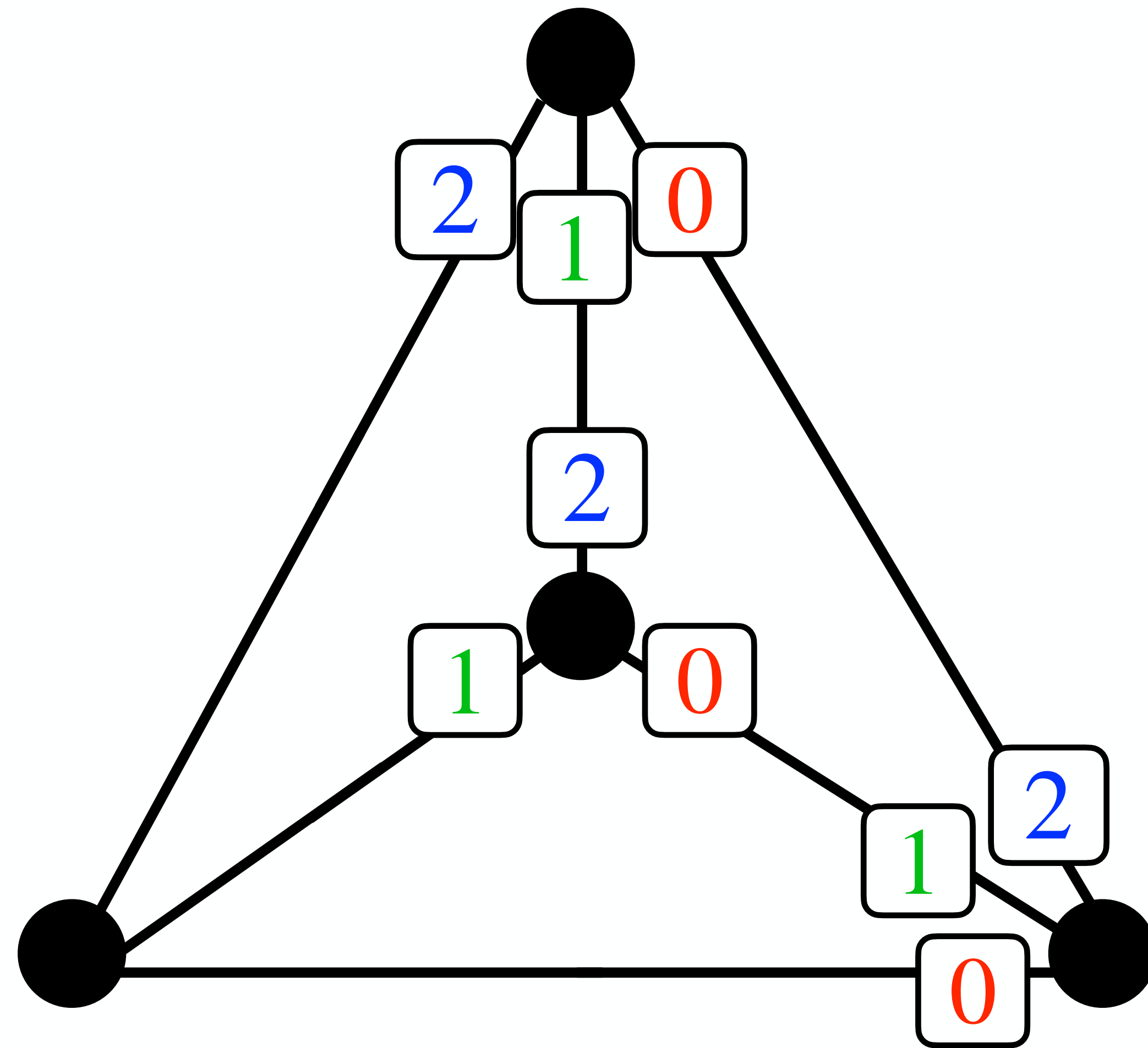
# Theorem 8.

3-正則平面グラフ $G$ について、 $G$ が完全グラフ  $K_4$  でないならば、clockwise 3-labelingを持つ。



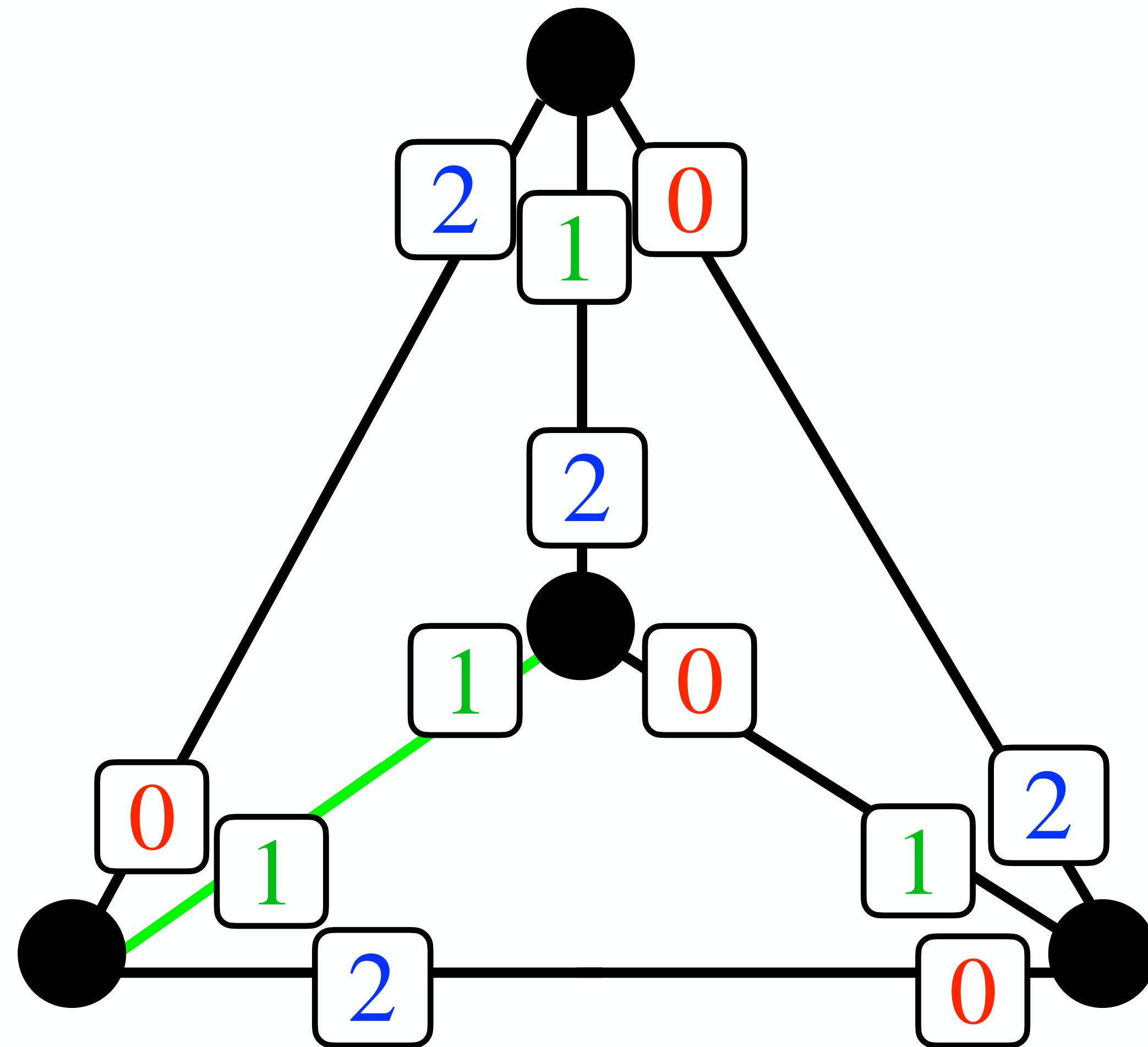
# Theorem 8.

3-正則平面グラフ $G$ について、 $G$ が完全グラフ  $K_4$  でないならば、clockwise 3-labelingを持つ。



# Theorem 8.

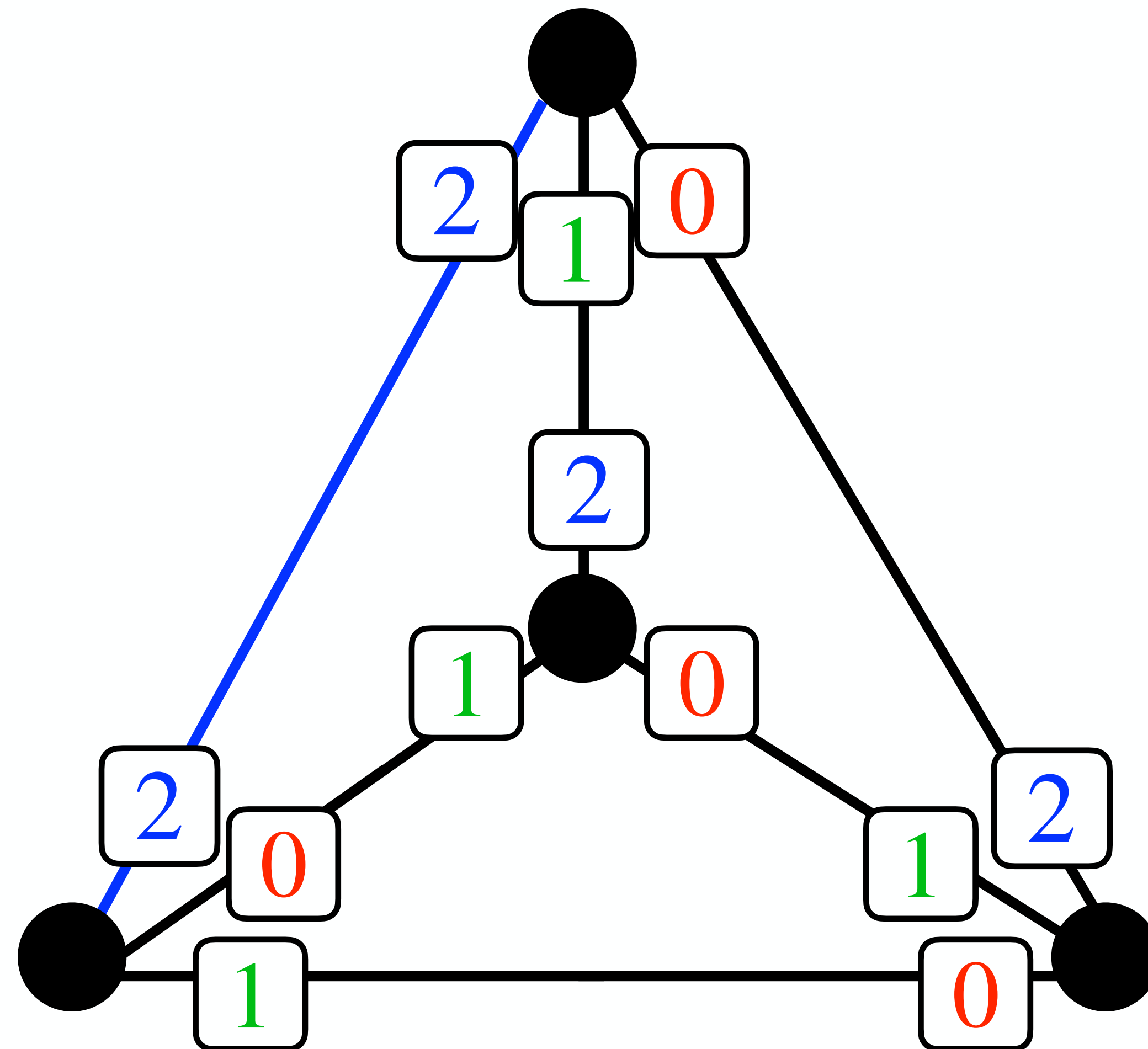
3-正則平面グラフ $G$ について、 $G$ が完全グラフ  $K_4$  でないならば、clockwise 3-labelingを持つ。





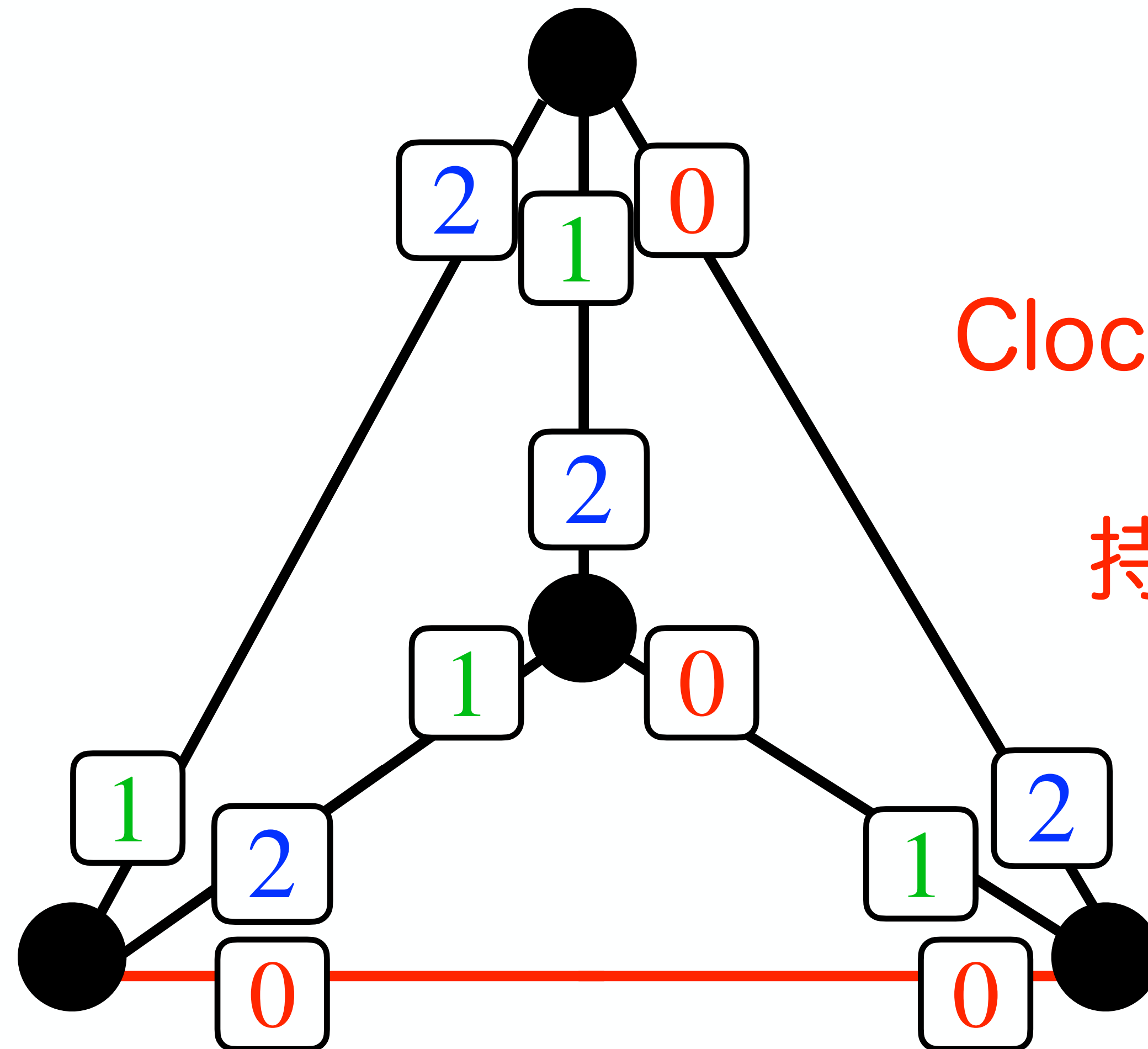
# Theorem 8.

3-正則平面グラフ $G$ について、 $G$ が完全グラフ  $K_4$  でないならば、clockwise 3-labelingを持つ。



# Theorem 8.

3-正則平面グラフ $G$ について、 $G$ が完全グラフ  $K_4$  でないならば、clockwise 3-labelingを持つ。



Clockwise 3-labelingを

持たない理由は？

## Theorem 8.

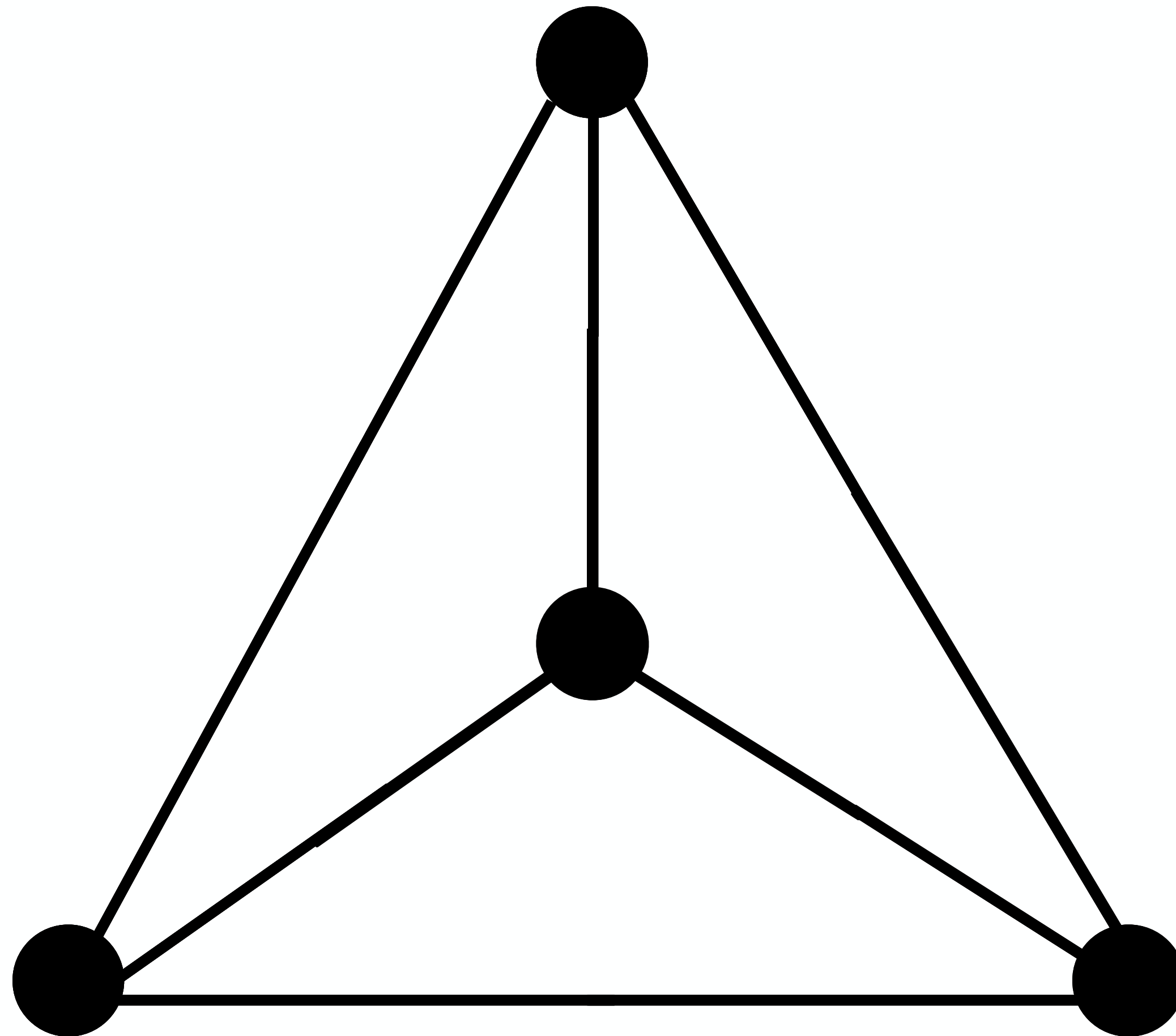
3-正則平面グラフ $G$ について、 $G$ が完全グラフ  $K_4$  でないならば、clockwise 3-labelingを持つ。

[証明の概略] グラフ $G$ から、次のようにして特別なグラフ $H$ を構成する。

# Theorem 8.

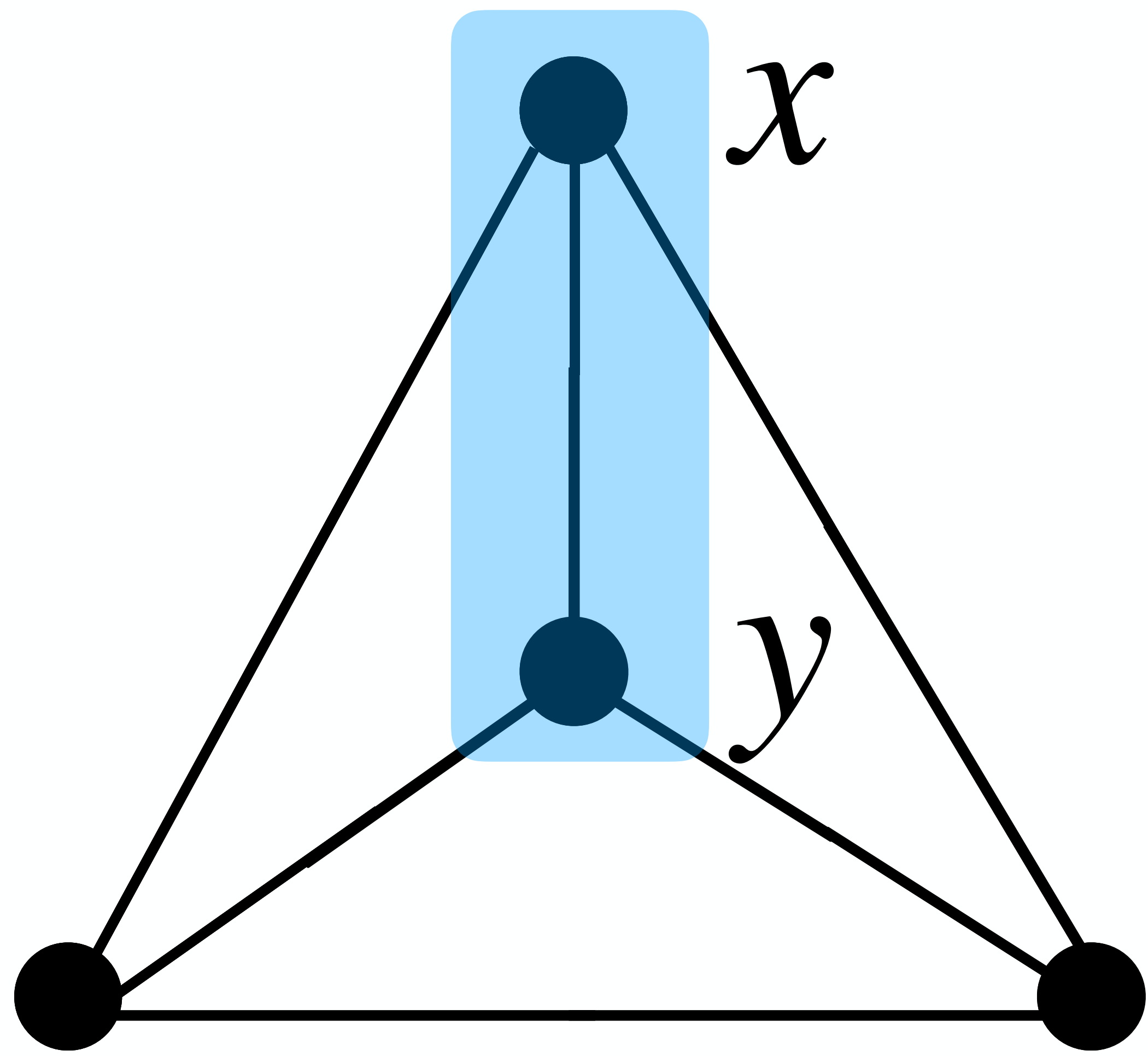
3-正則平面グラフ $G$ について,  $G$ が完全グラフ  $K_4$ でないならば, clockwise 3-labelingを持つ.

[証明の概略]

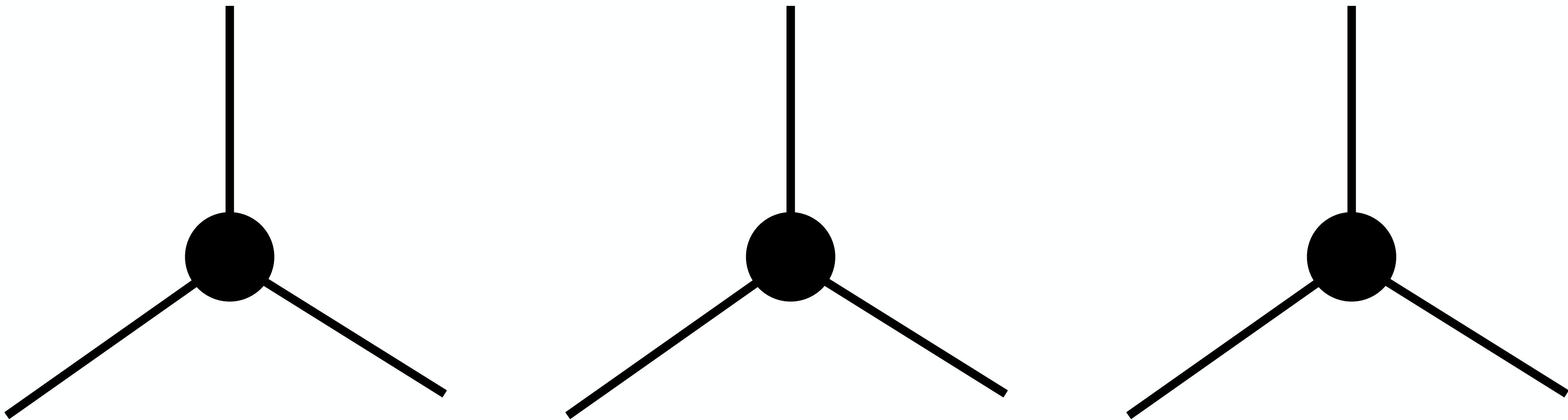
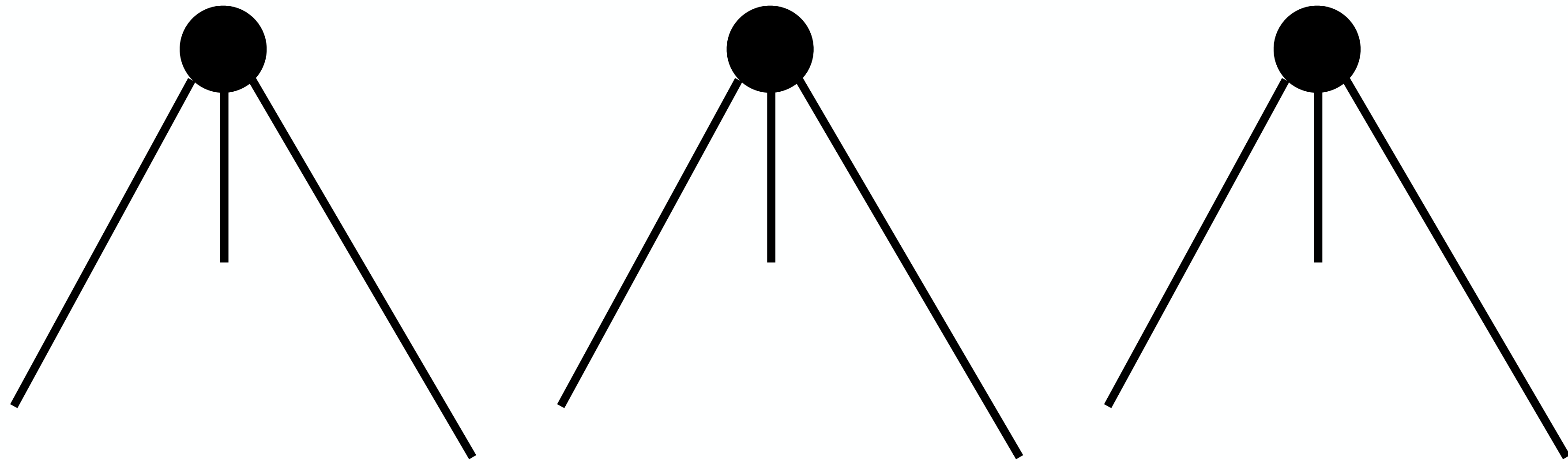


[証明の概略]

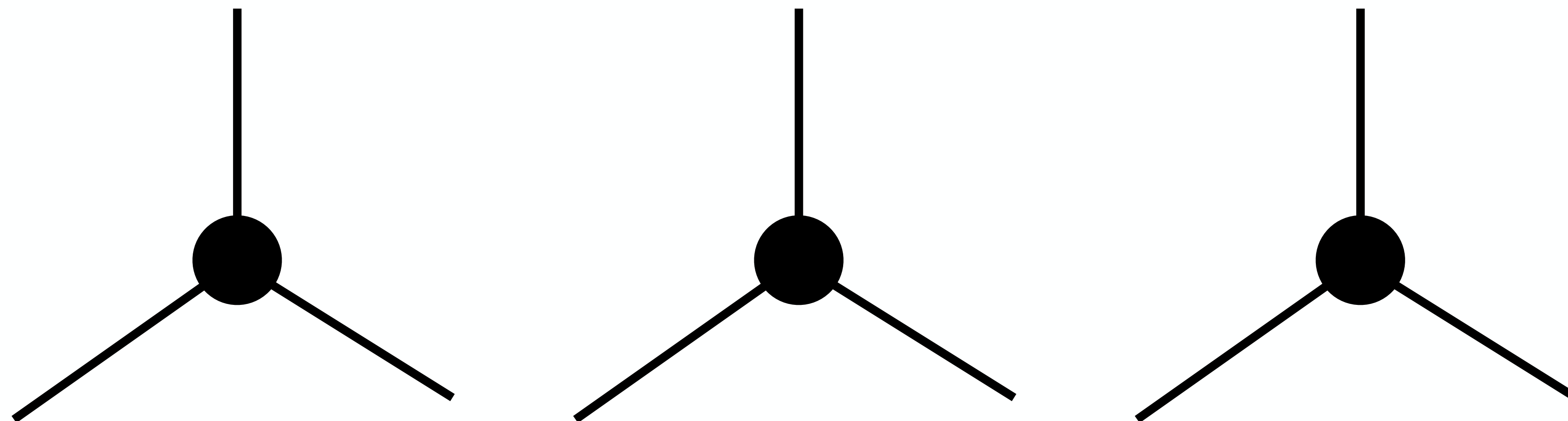
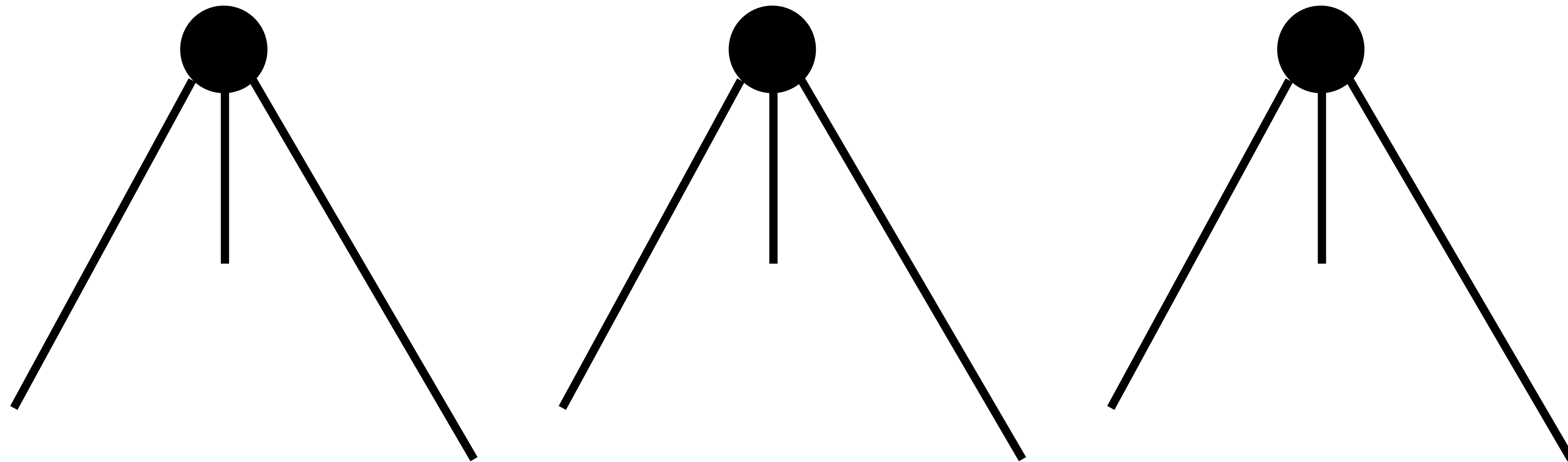
各頂点のコピーを3つずつ用意



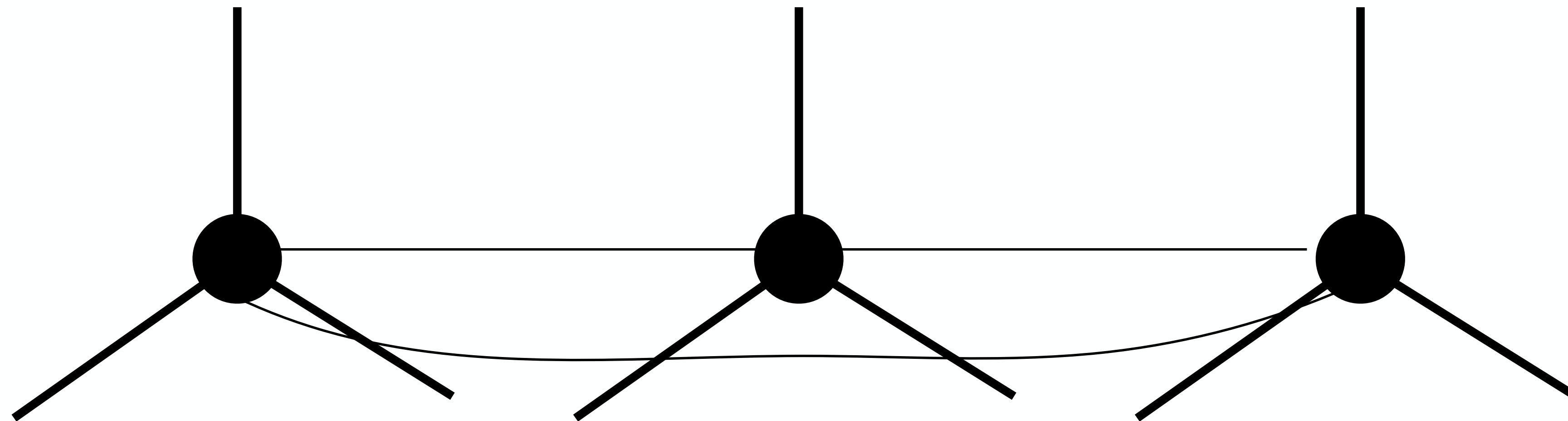
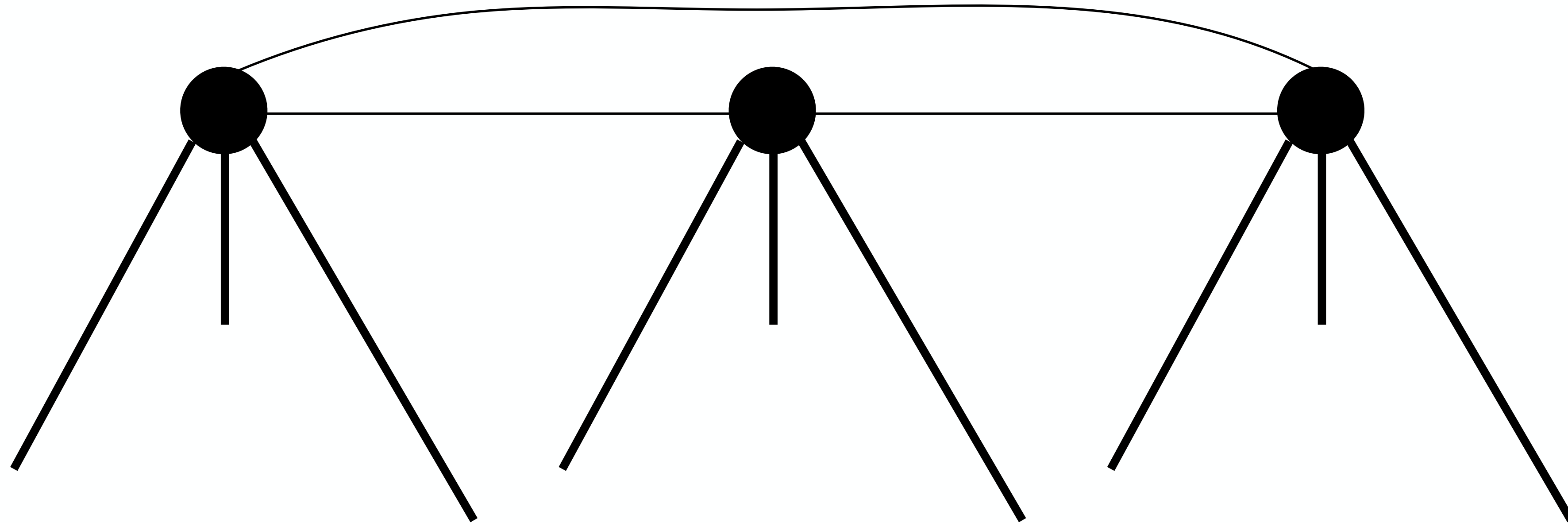
各頂点のコピーを3つずつ用意



# コピー同士を辺で結ぶ

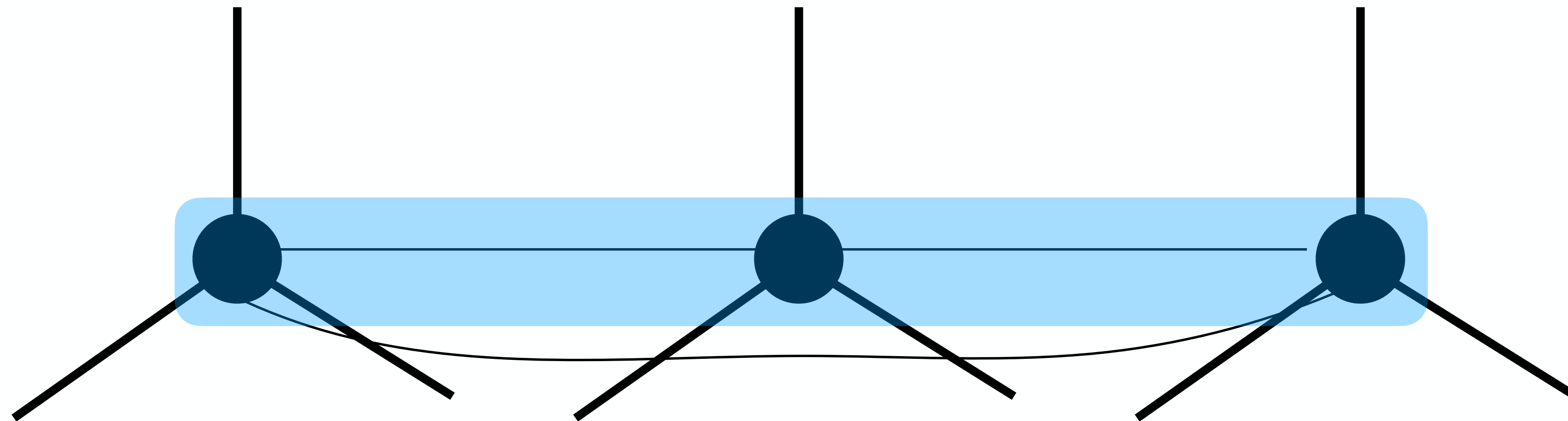
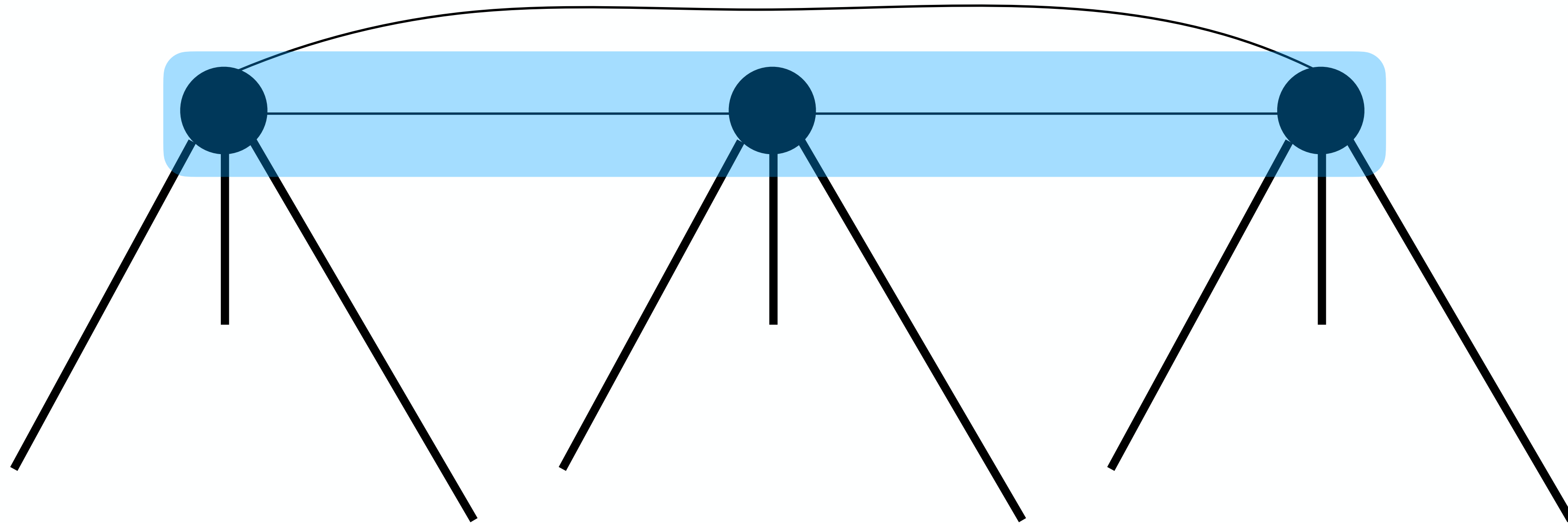


# コピー同士を辺で結ぶ

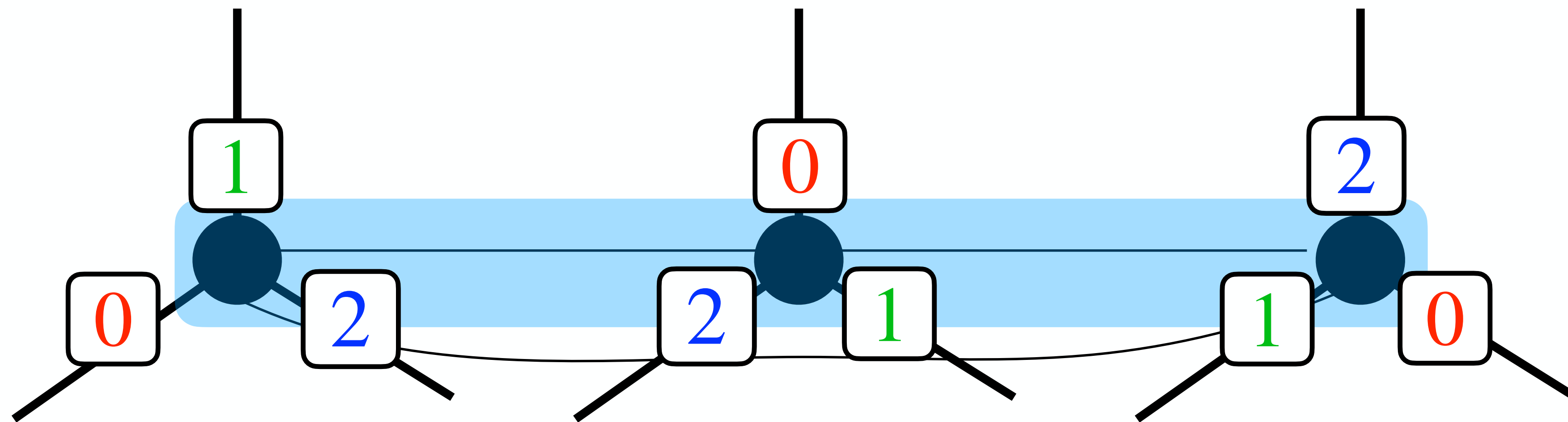
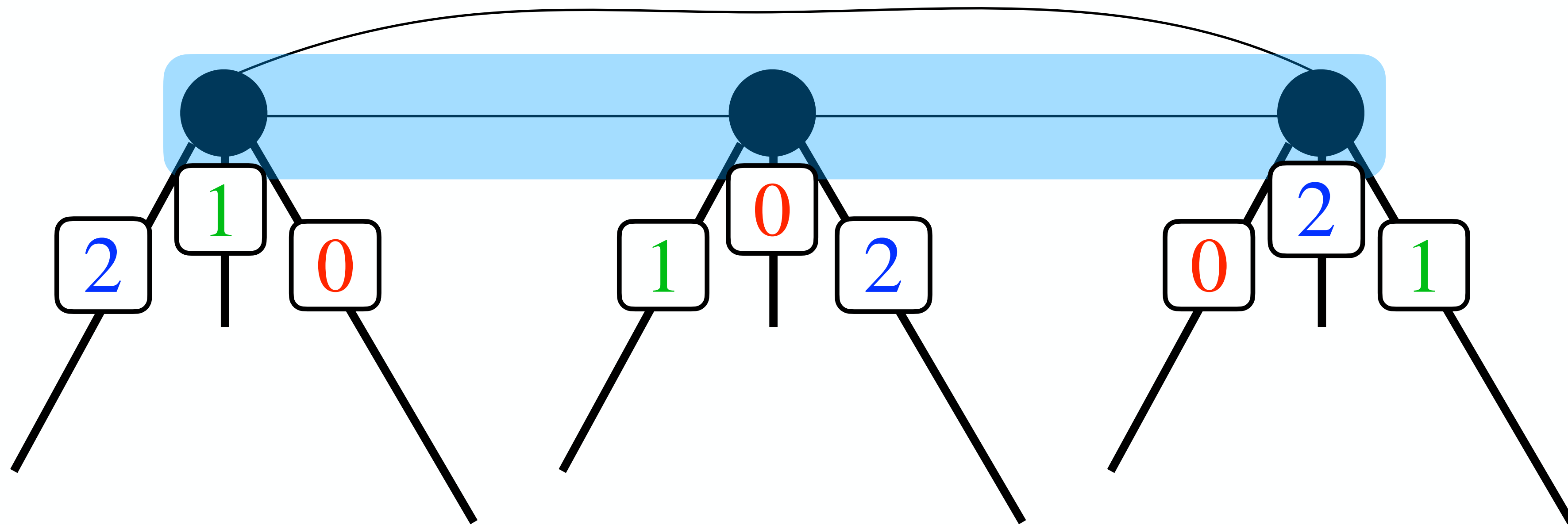




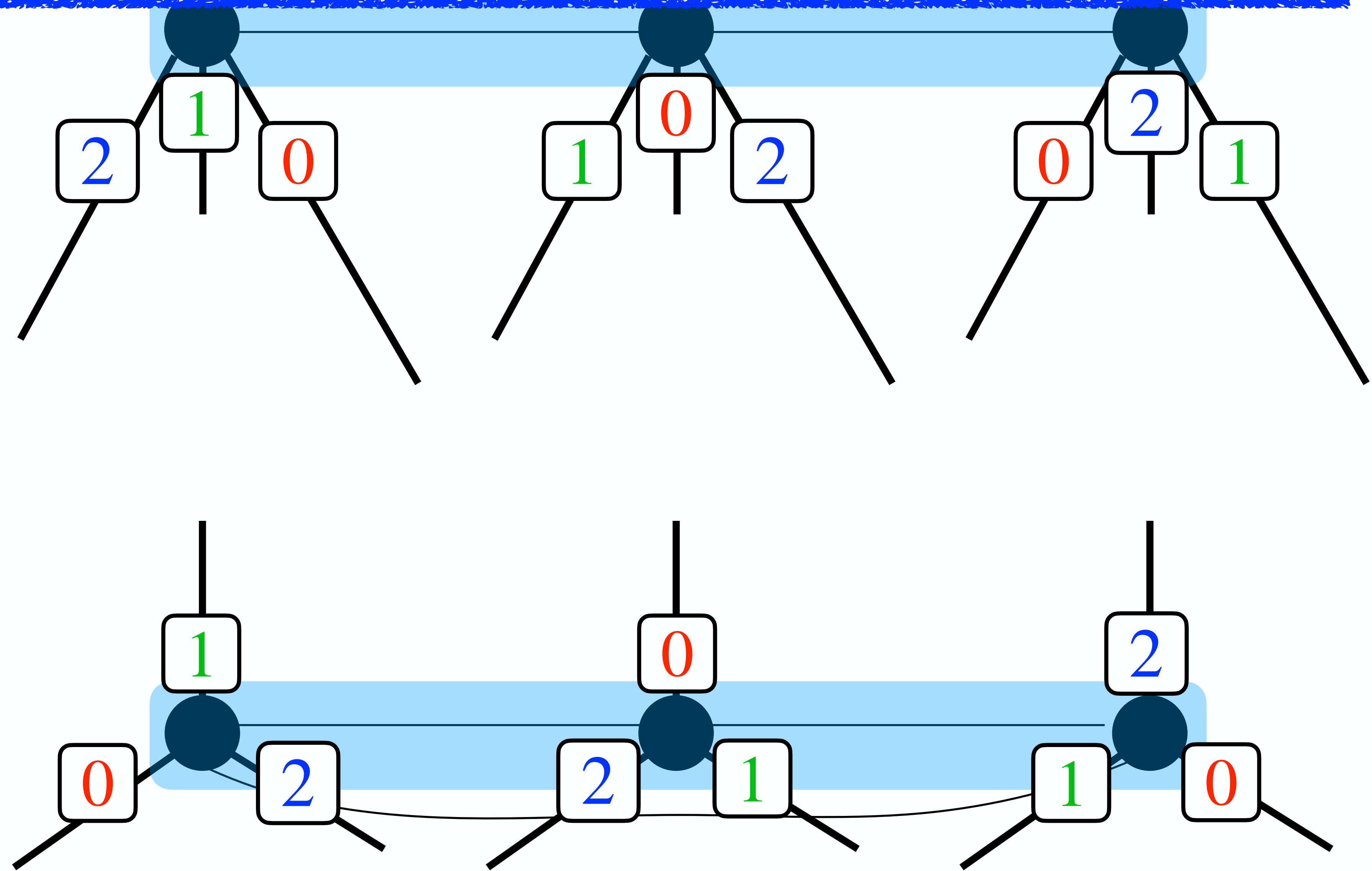
# コピー同士を辺で結ぶ



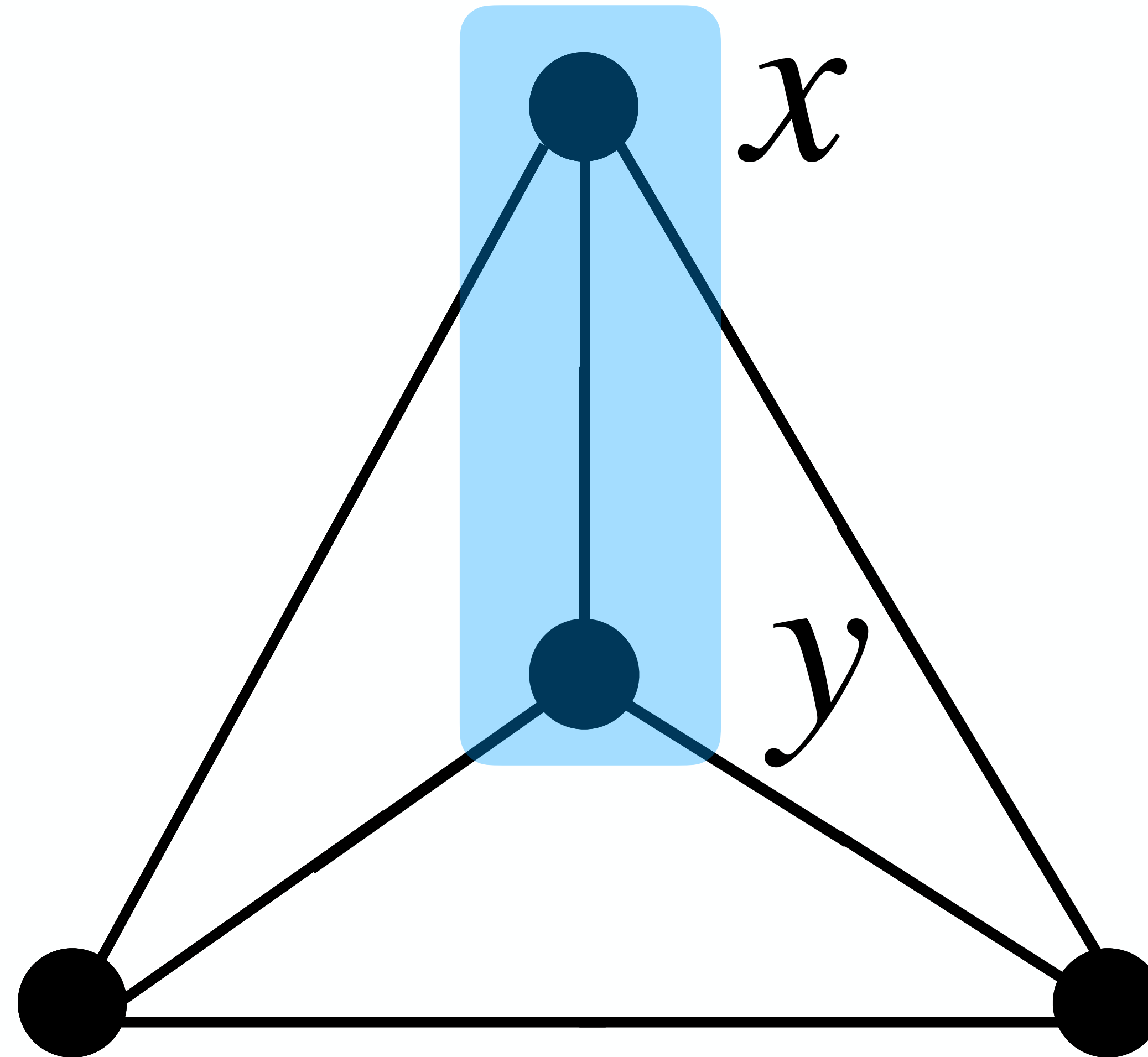
# 各点にラベルのパターンを割り振る



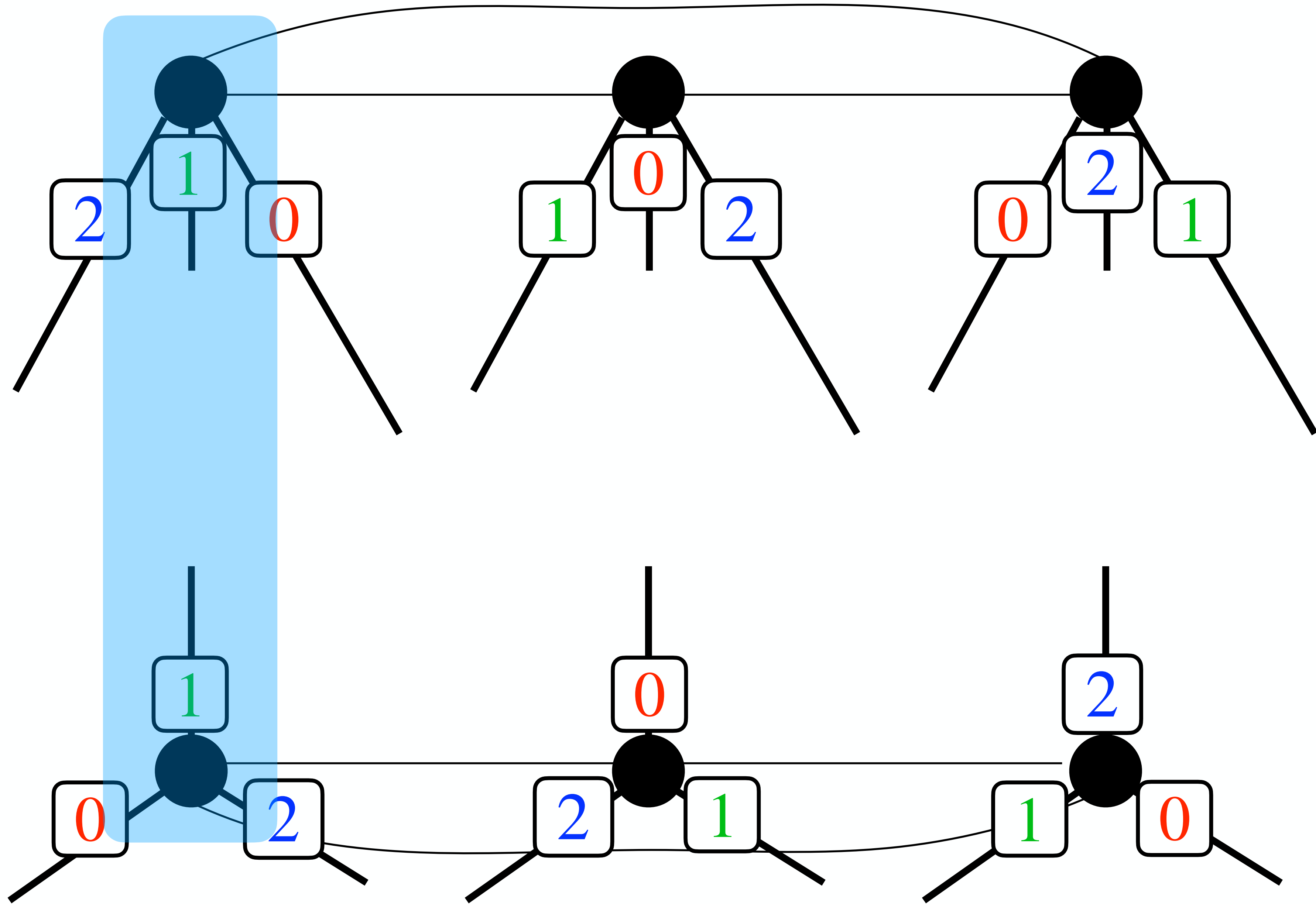
Gで隣接している頂点のコピーたちについて、  
ラベルパターンが同じものの同士を辺で結ぶ



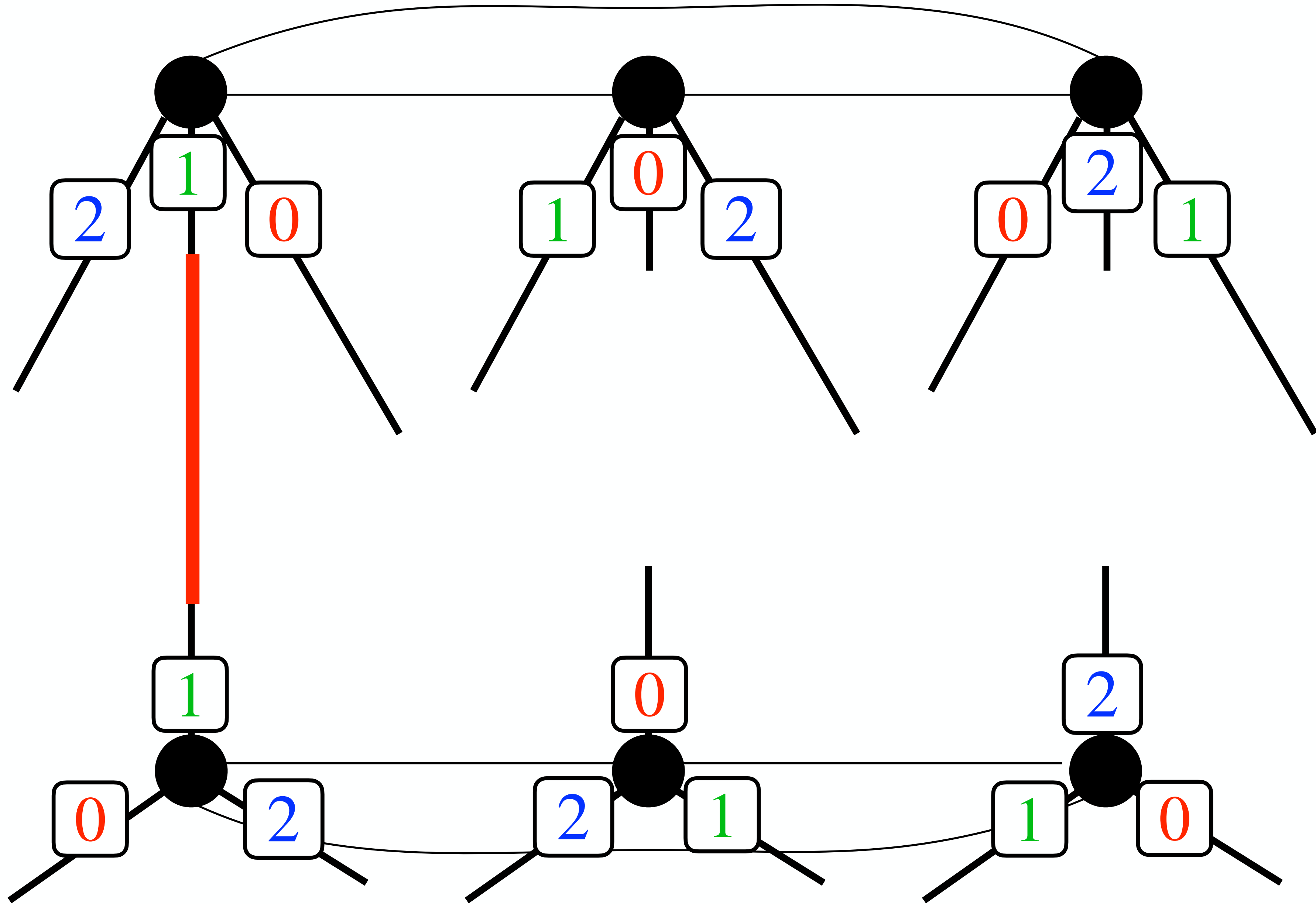
$G$ で隣接している頂点のコピーたちについて、  
ラベルパターンが同じものの同士を辺で結ぶ



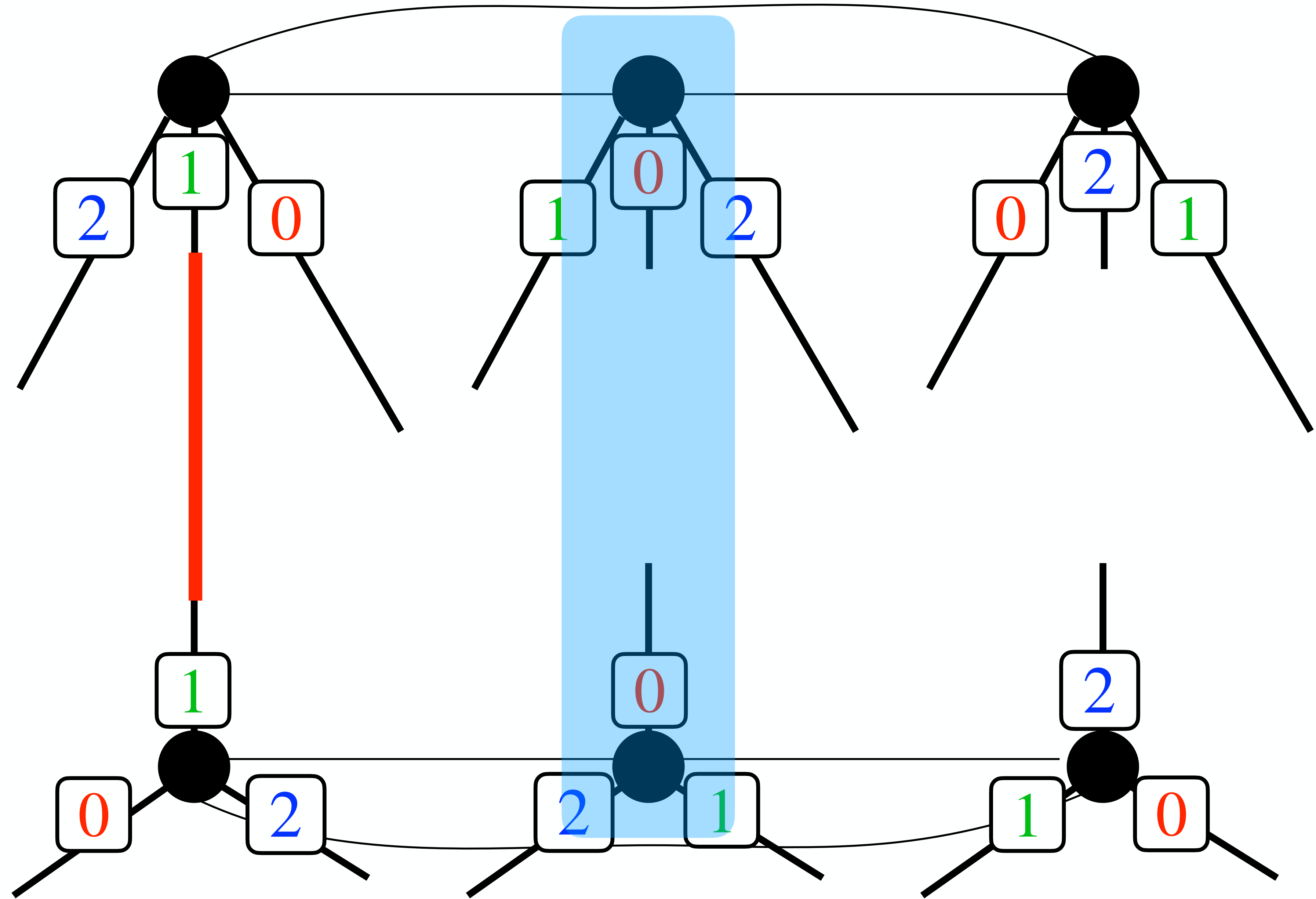
ラベルパターンが同じものの同士を辺で結ぶ



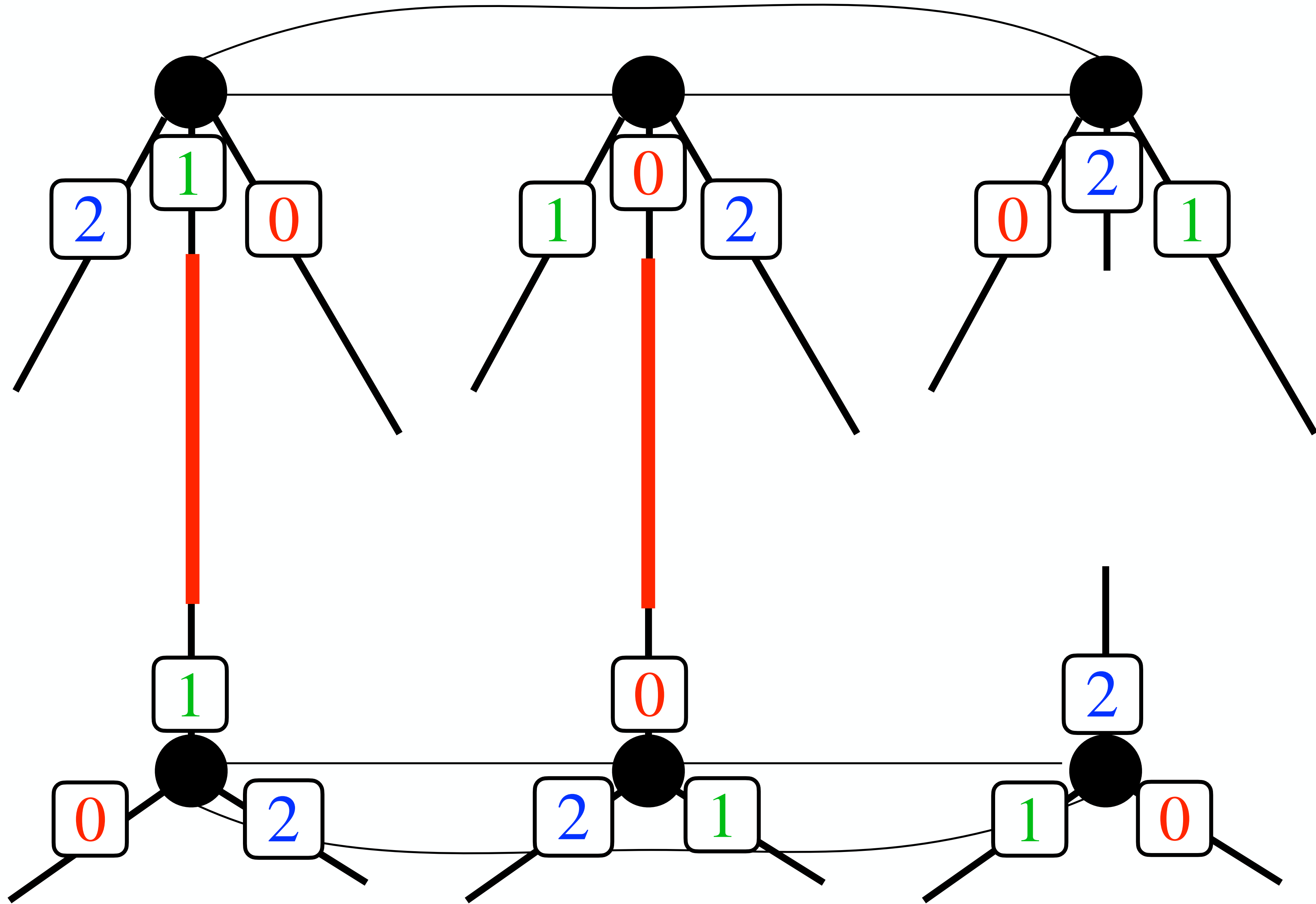
ラベルパターンが同じものの同士を辺で結ぶ



ラベルパターンが同じものの同士を辺で結ぶ

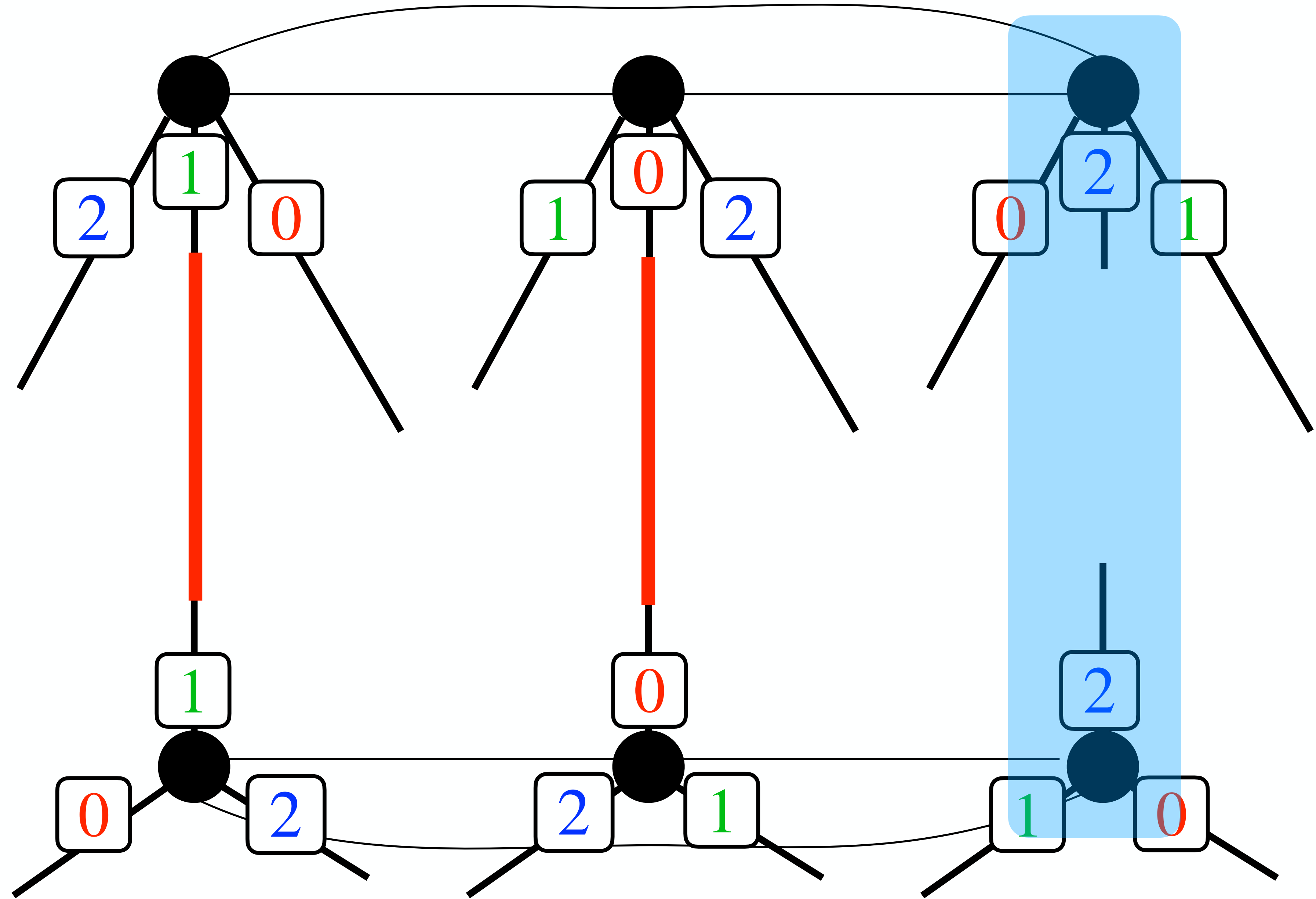


ラベルパターンが同じものの同士を辺で結ぶ

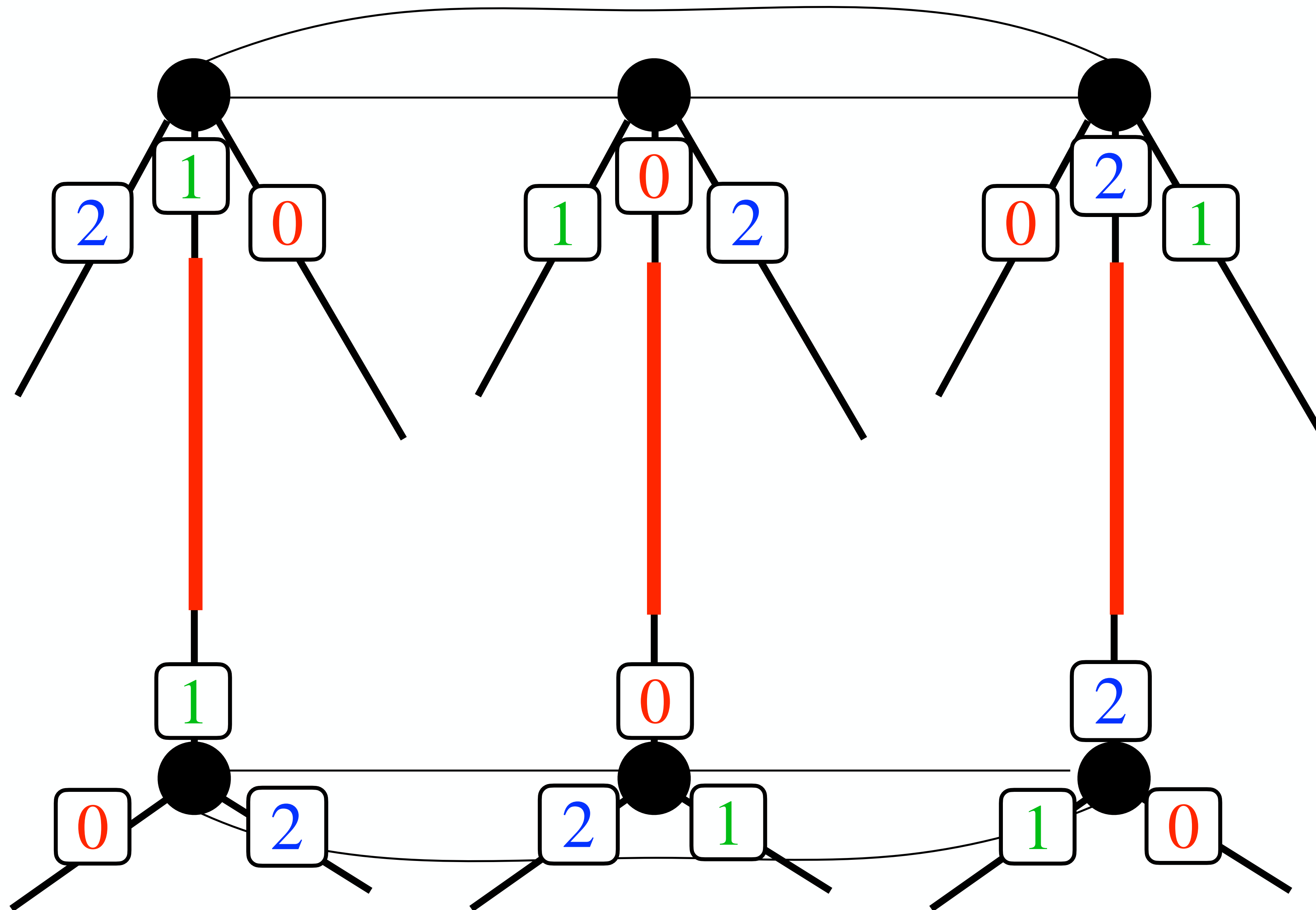




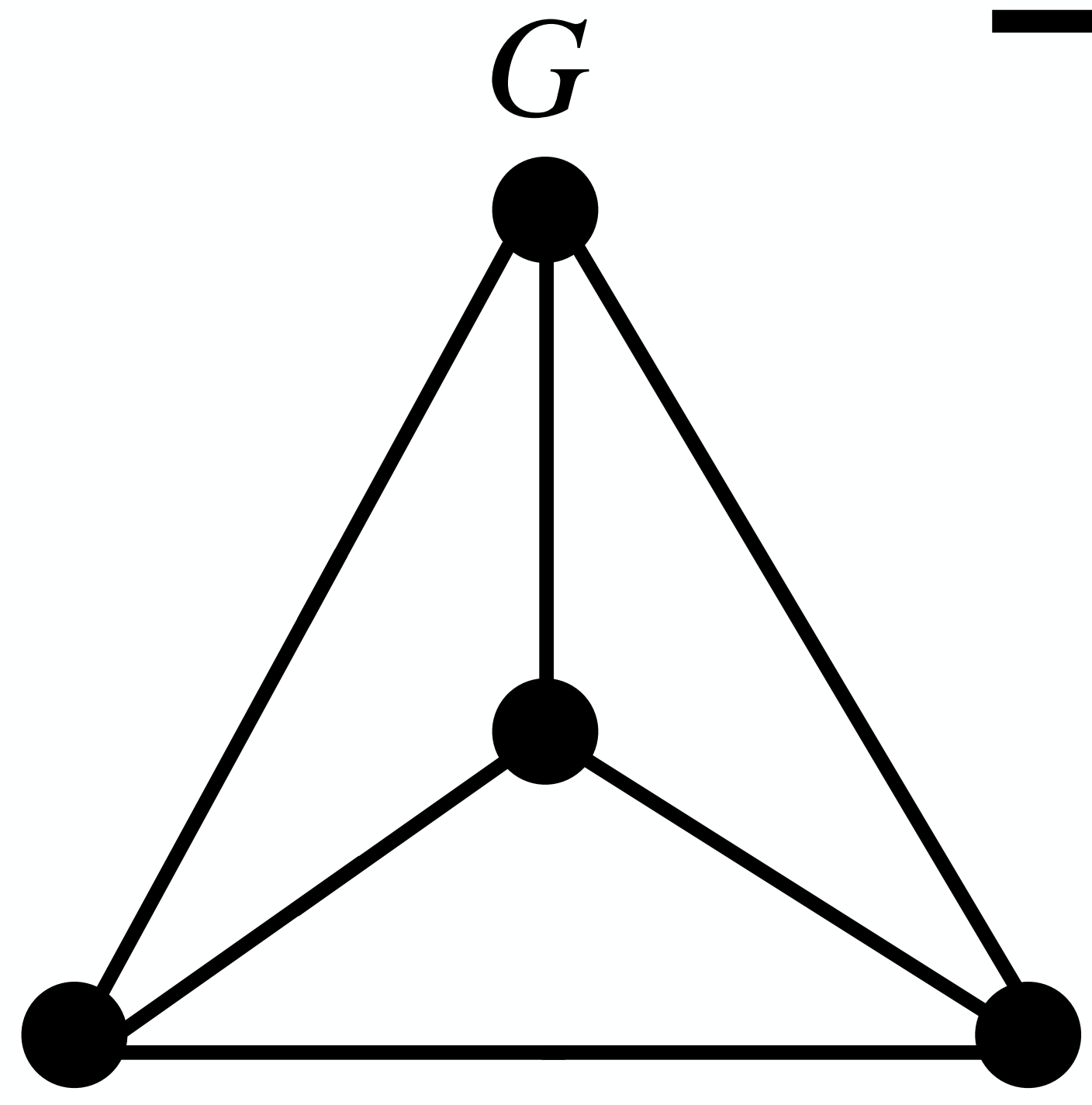
ラベルパターンが同じものの同士を辺で結ぶ



ラベルパターンが同じものの同士を辺で結ぶ

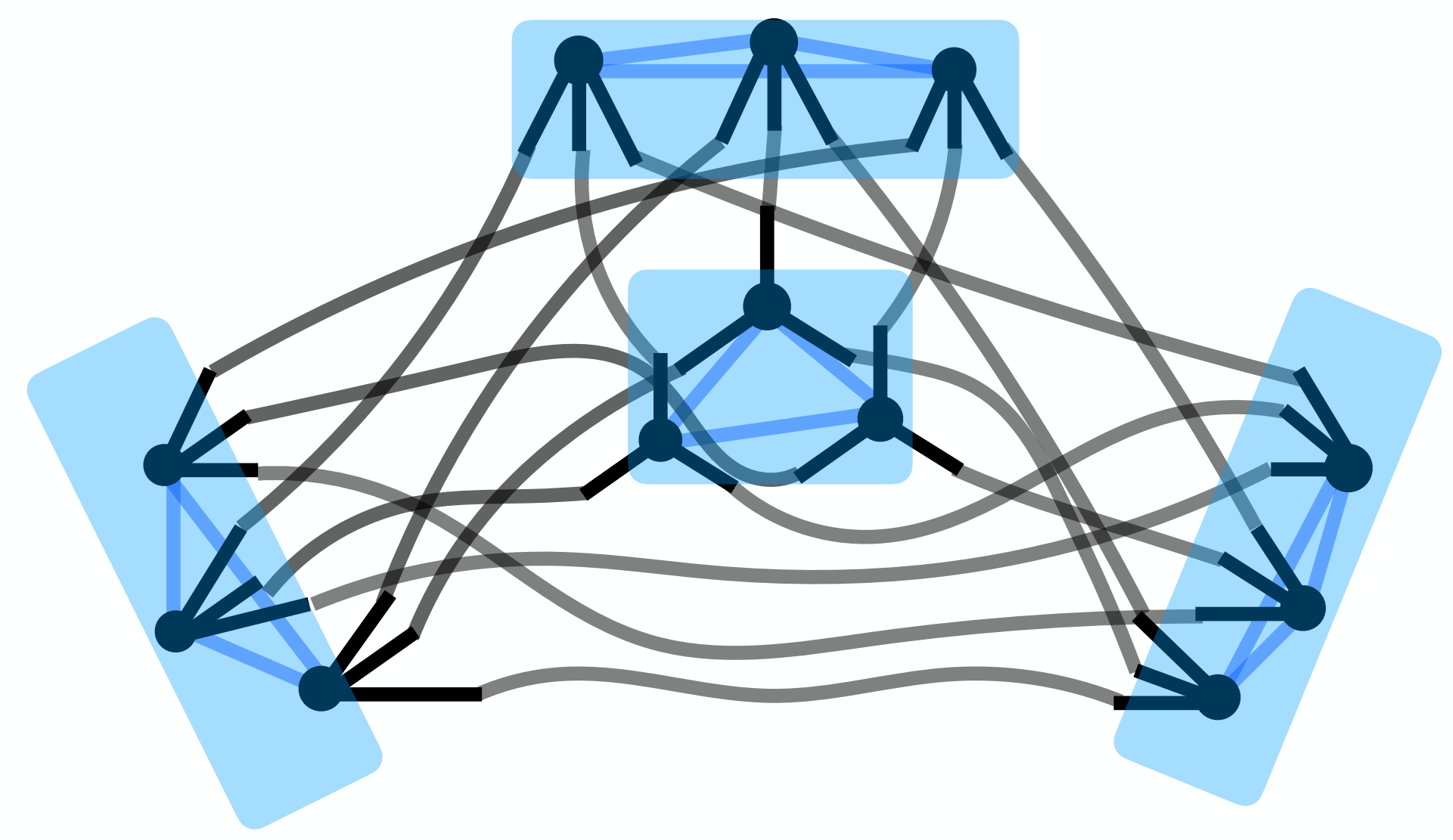


3-regular graph



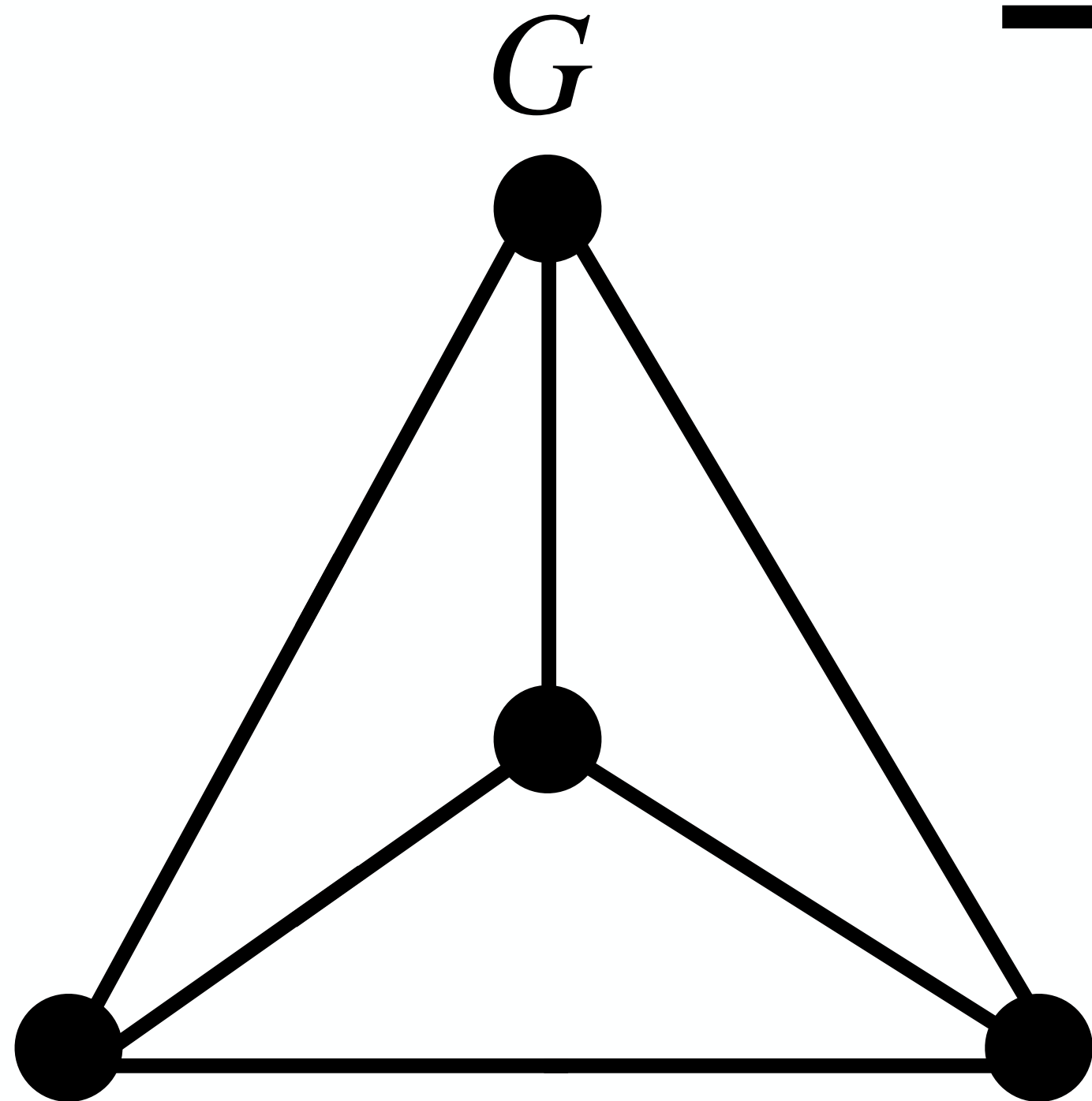
$G$ から得られた

グラフ  $H$



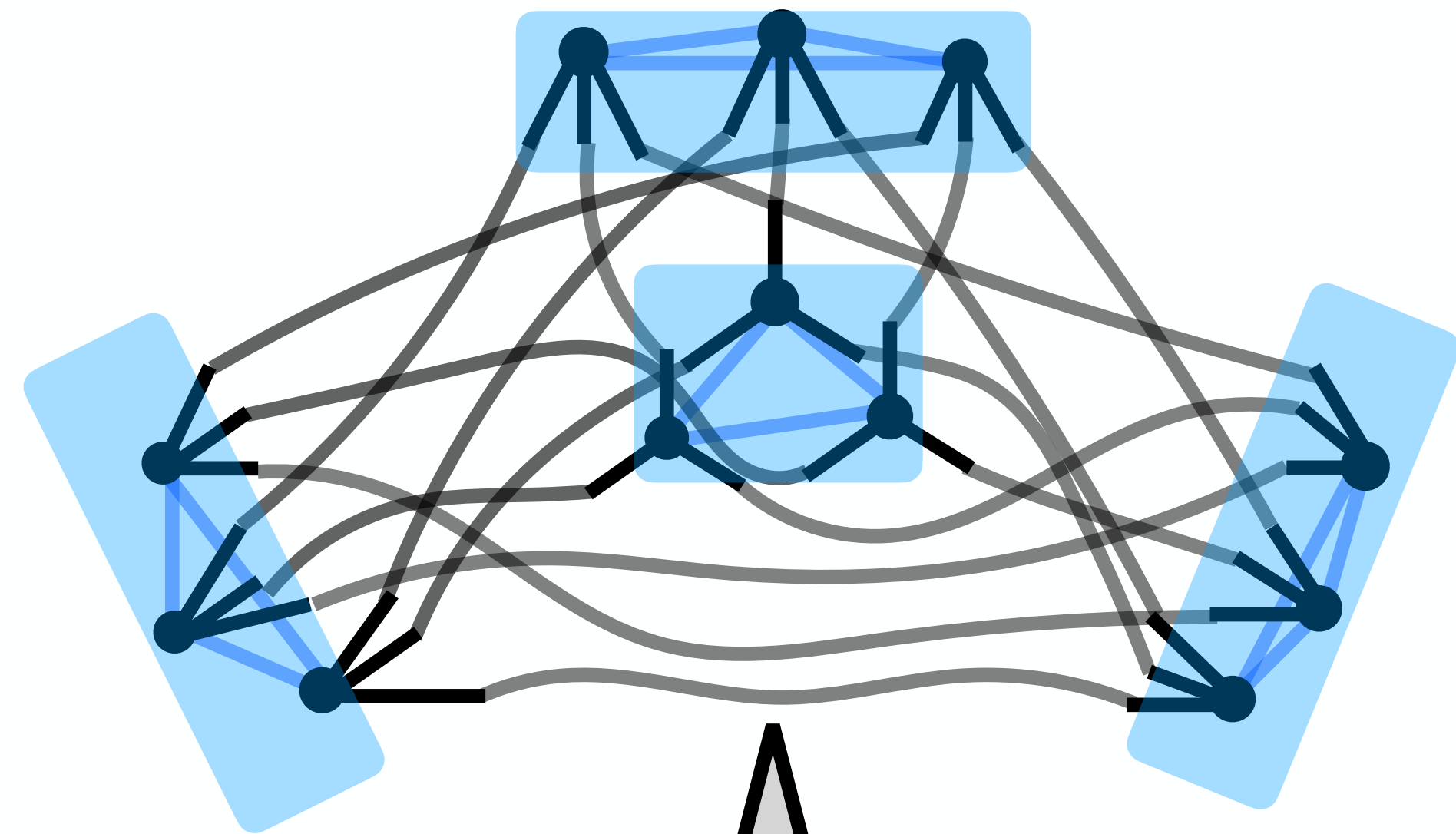
Clockwise 3-labelingはありますか？

3-regular graph



$G$ から得られた

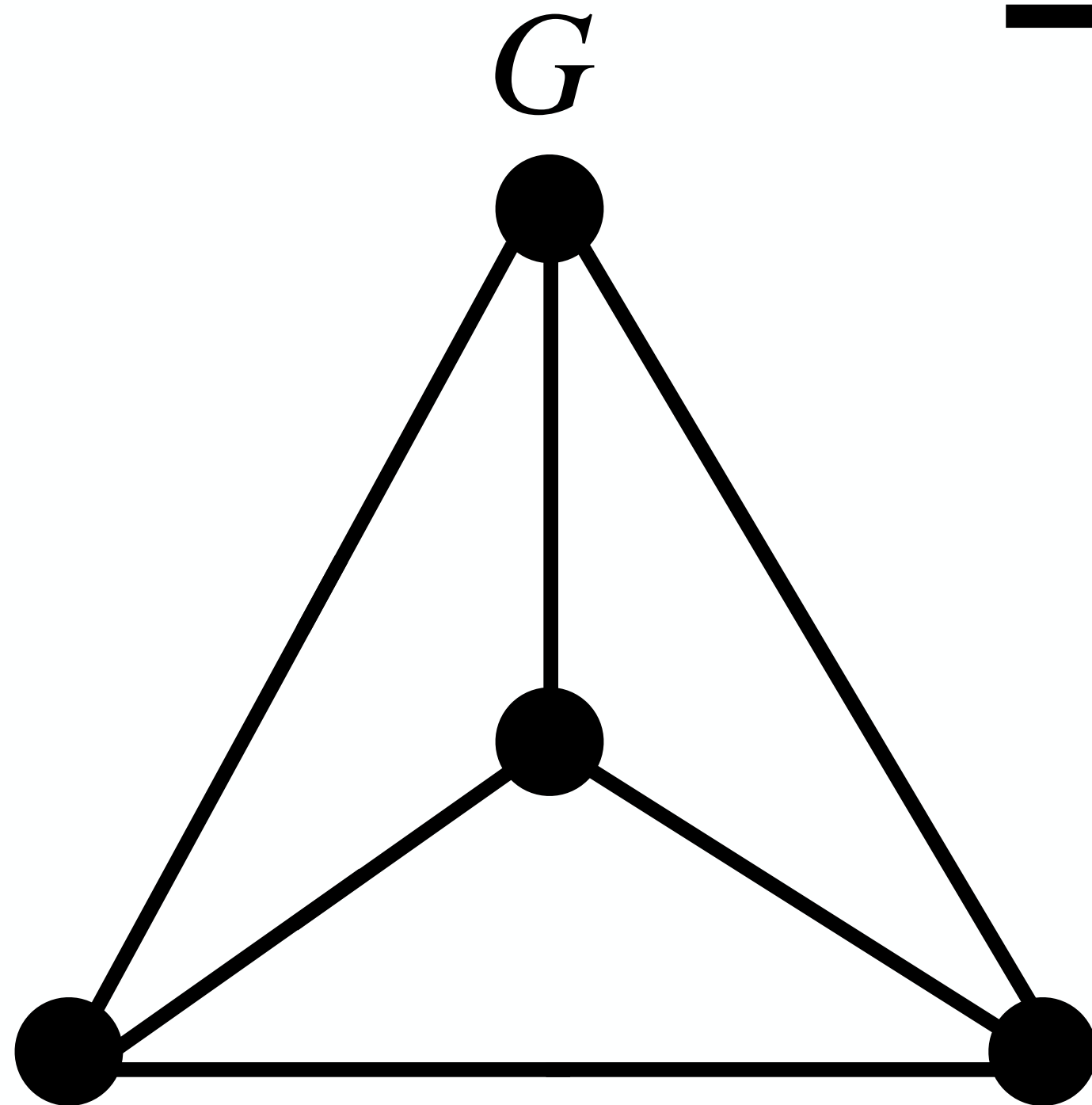
グラフ  $H$



こちらでチェックします。

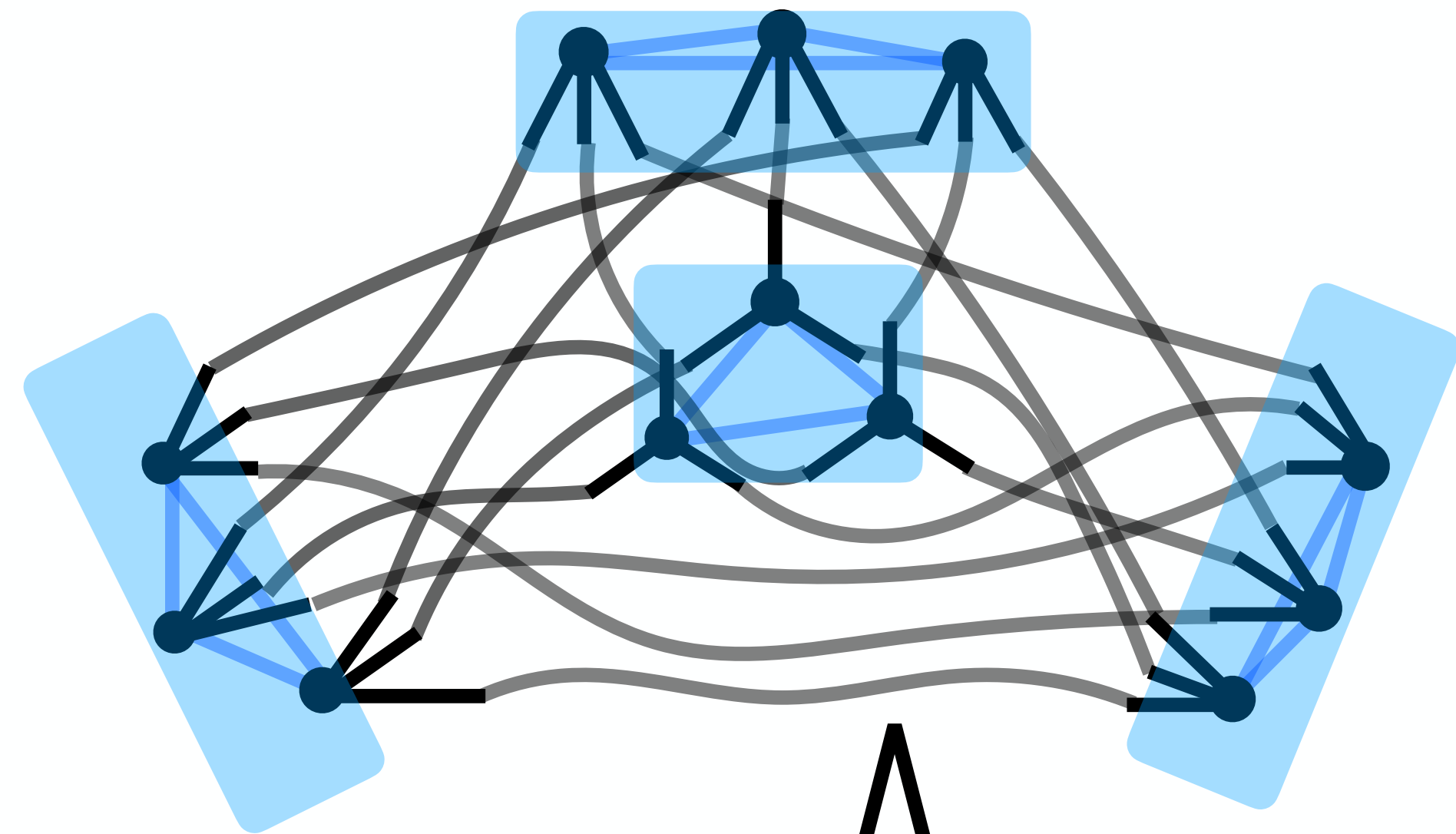
Clockwise 3-labelingはありますか？

3-regular graph



$G$ から得られた

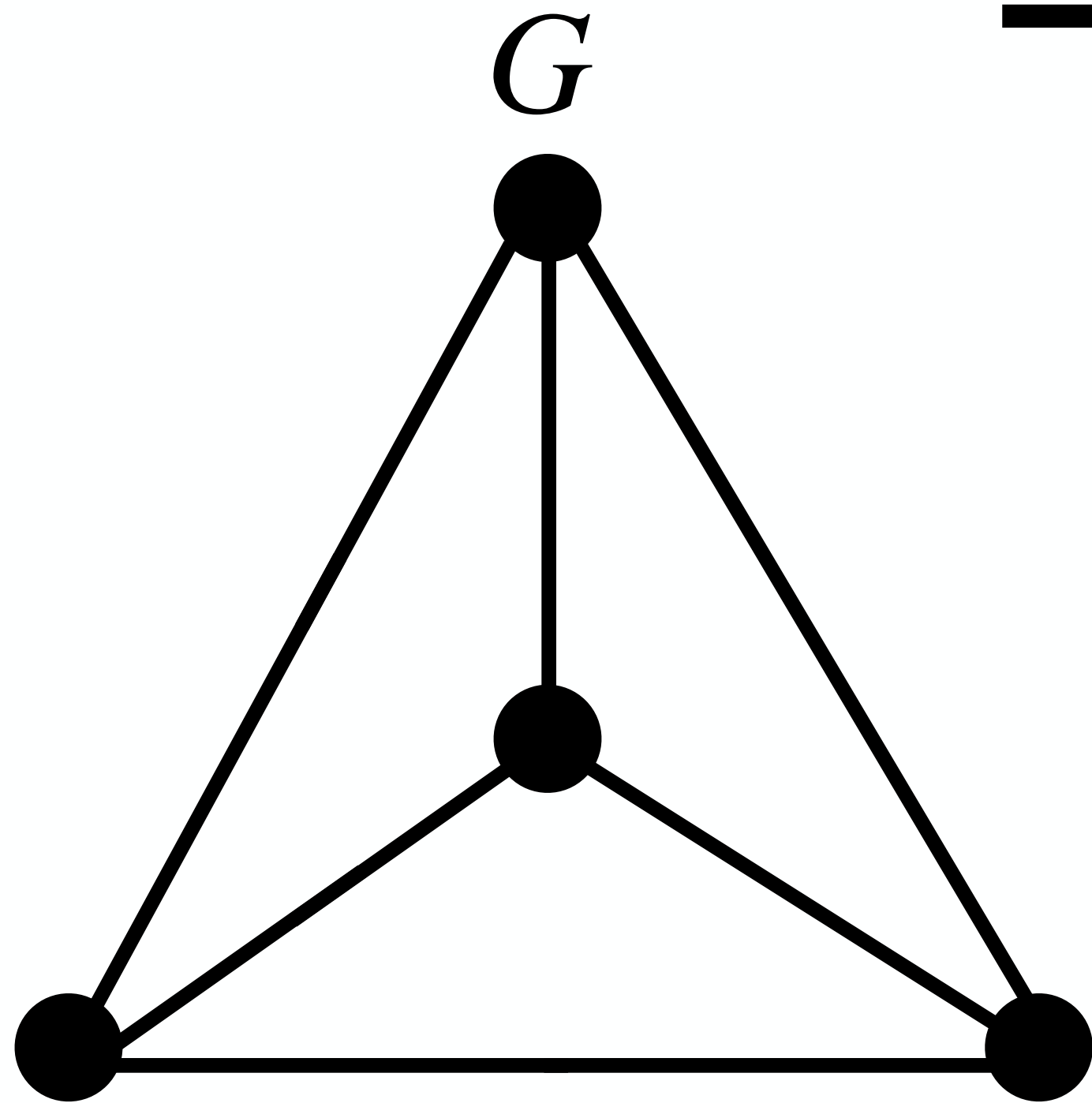
グラフ  $H$



独立点集合で確認する。

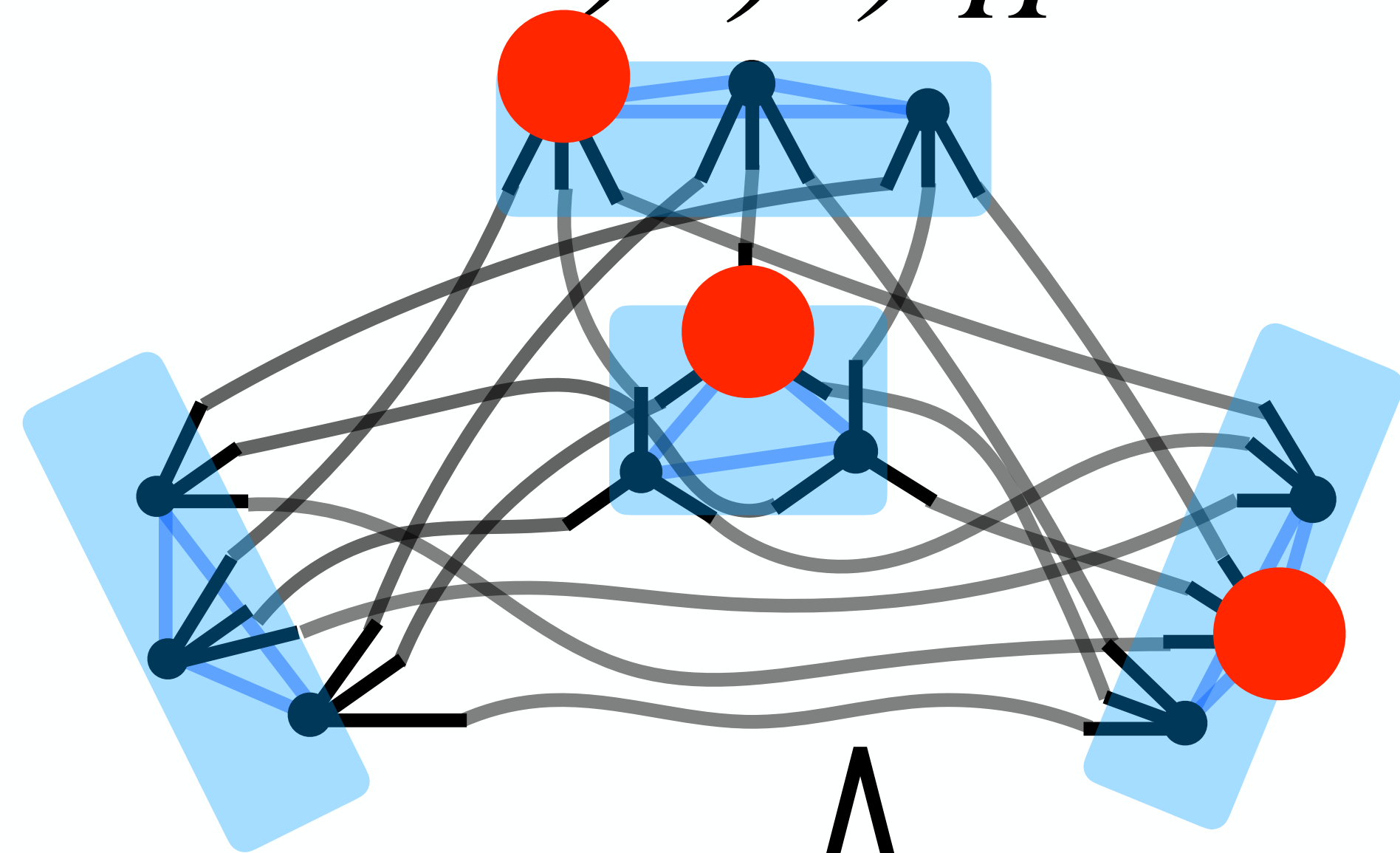
Clockwise 3-labelingはありますか？

3-regular graph



$G$ から得られた

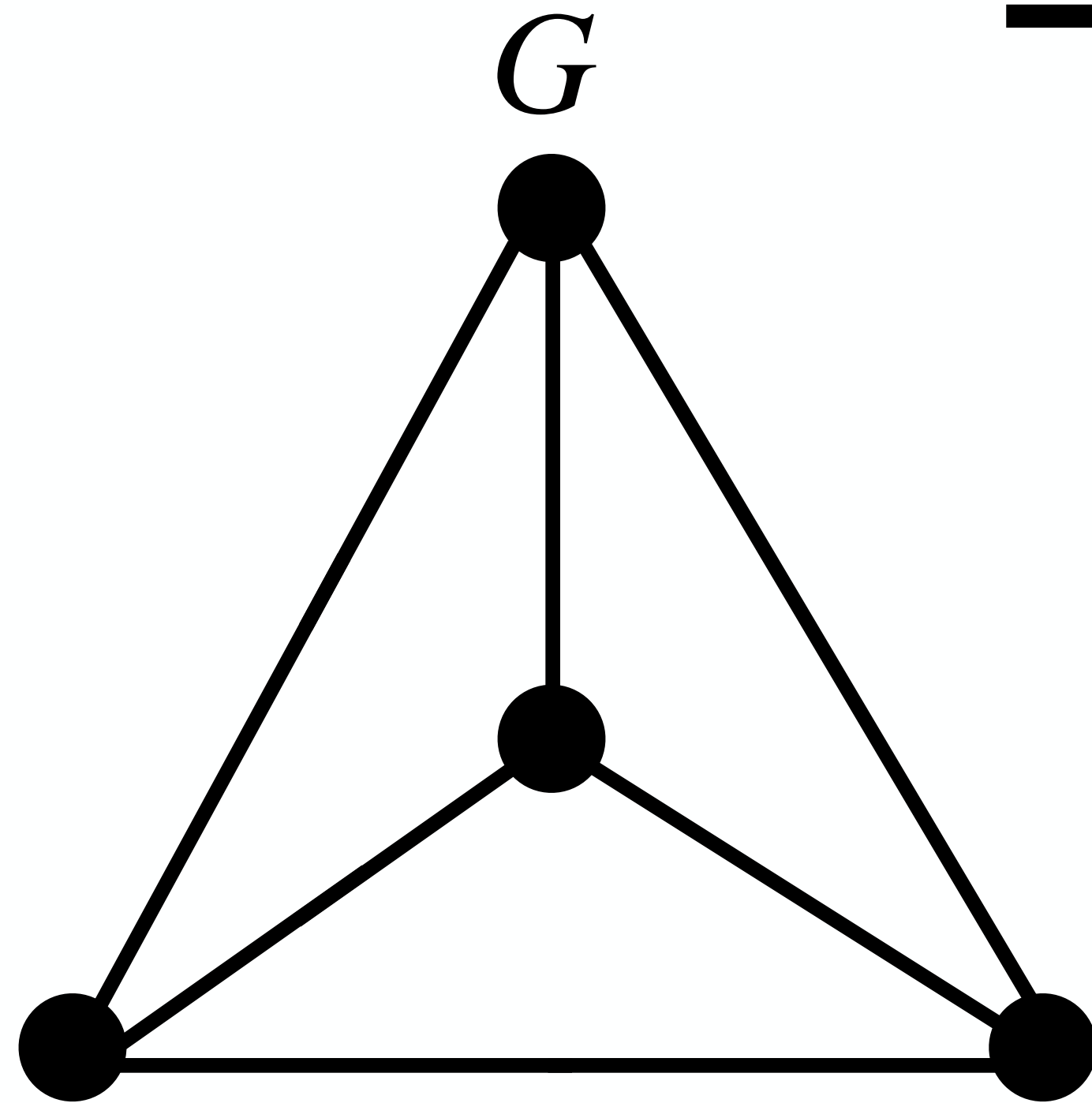
グラフ  $H$



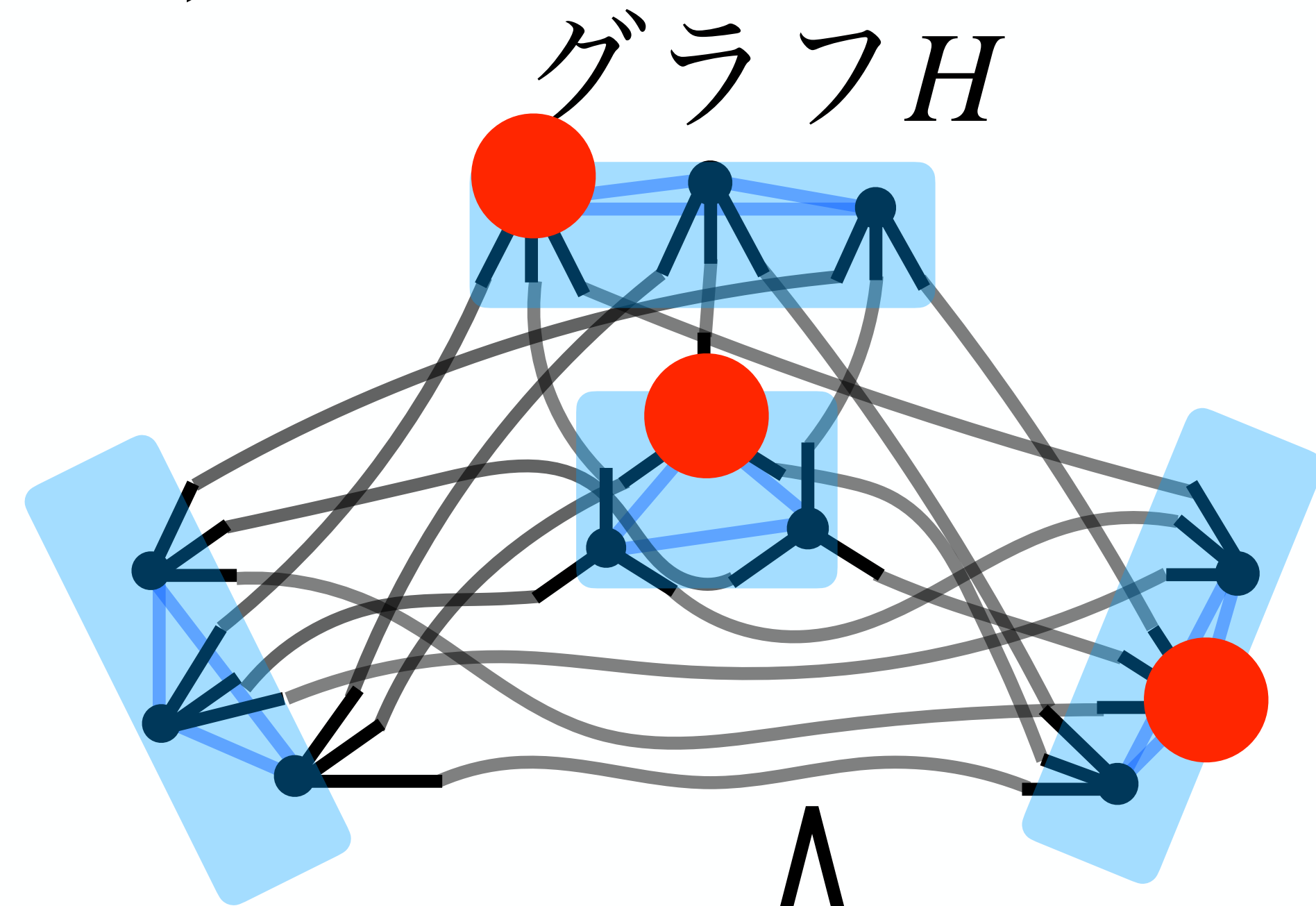
独立点集合で確認する。

# 独立点集合が何を意味しているか？

3-regular graph

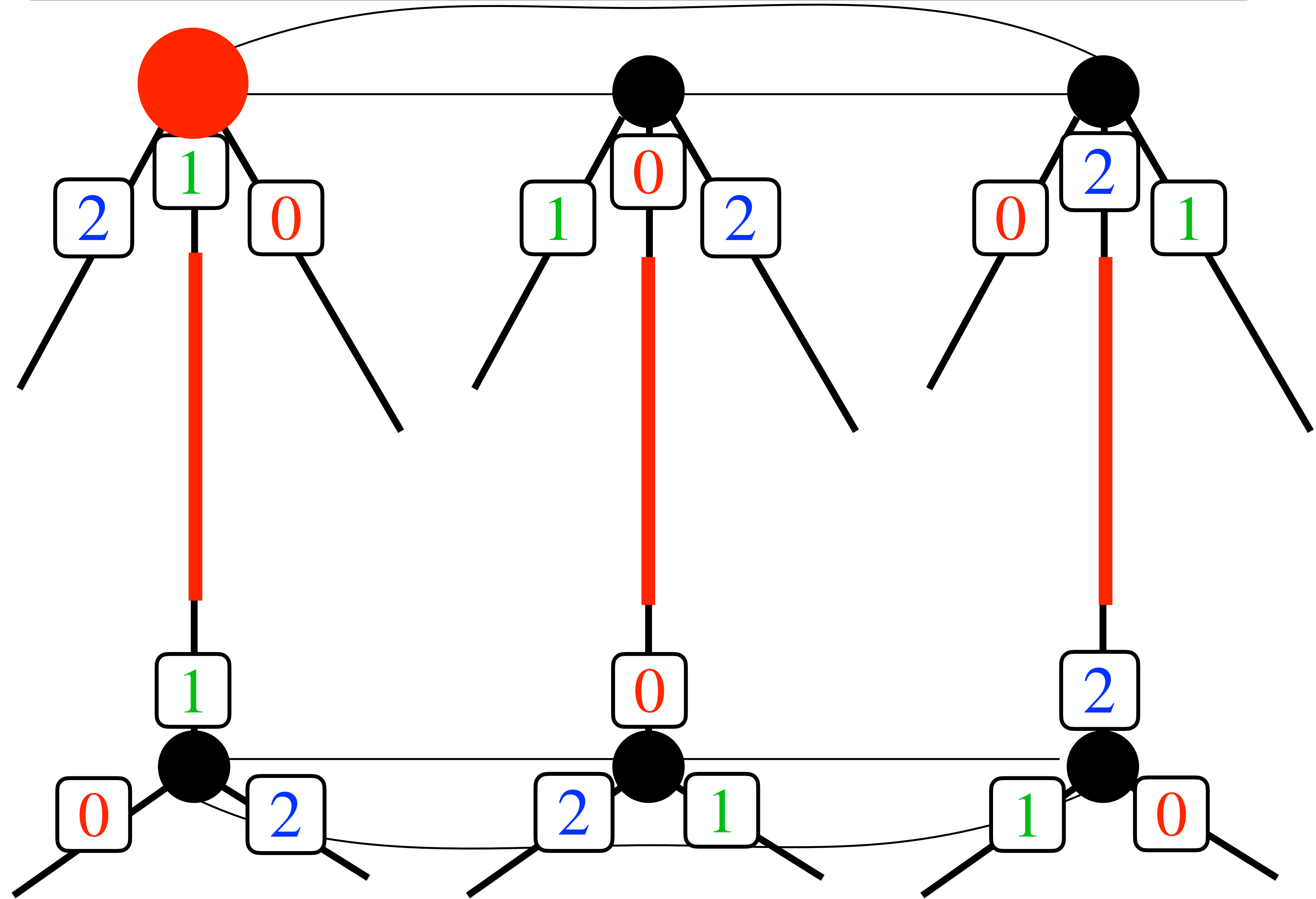


$G$ から得られた



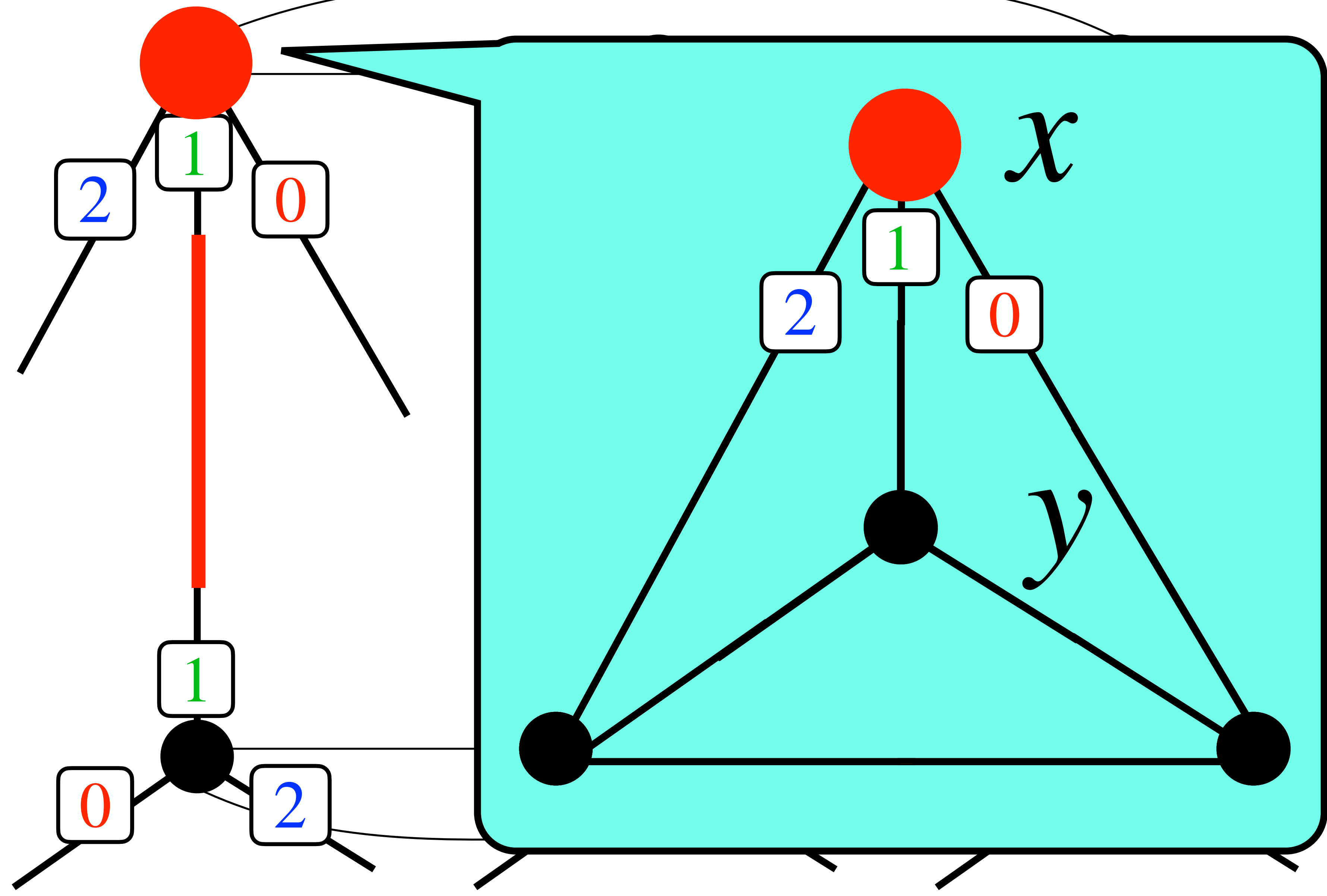
独立点集合で確認する。

# 独立点集合が何を意味しているか？

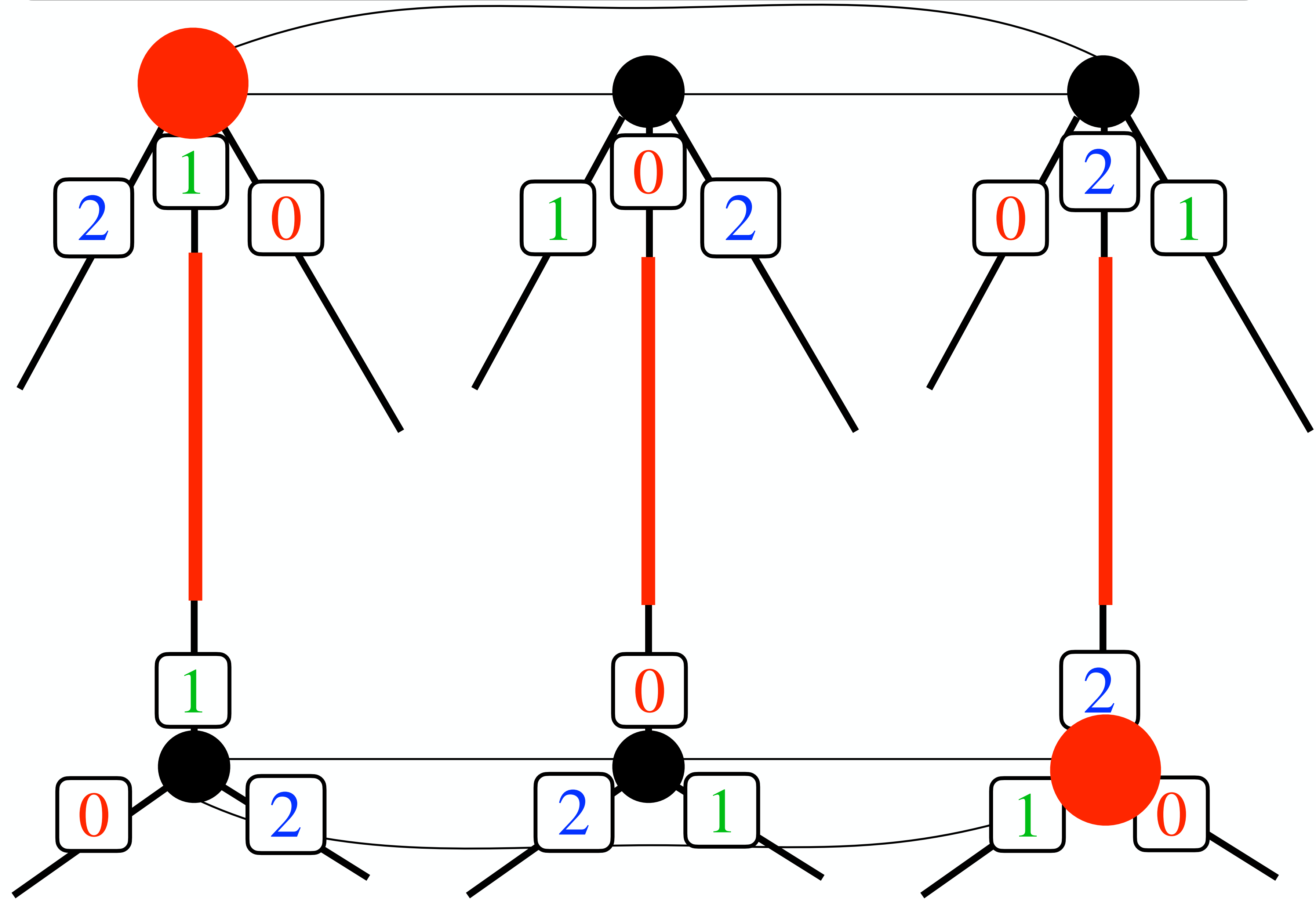




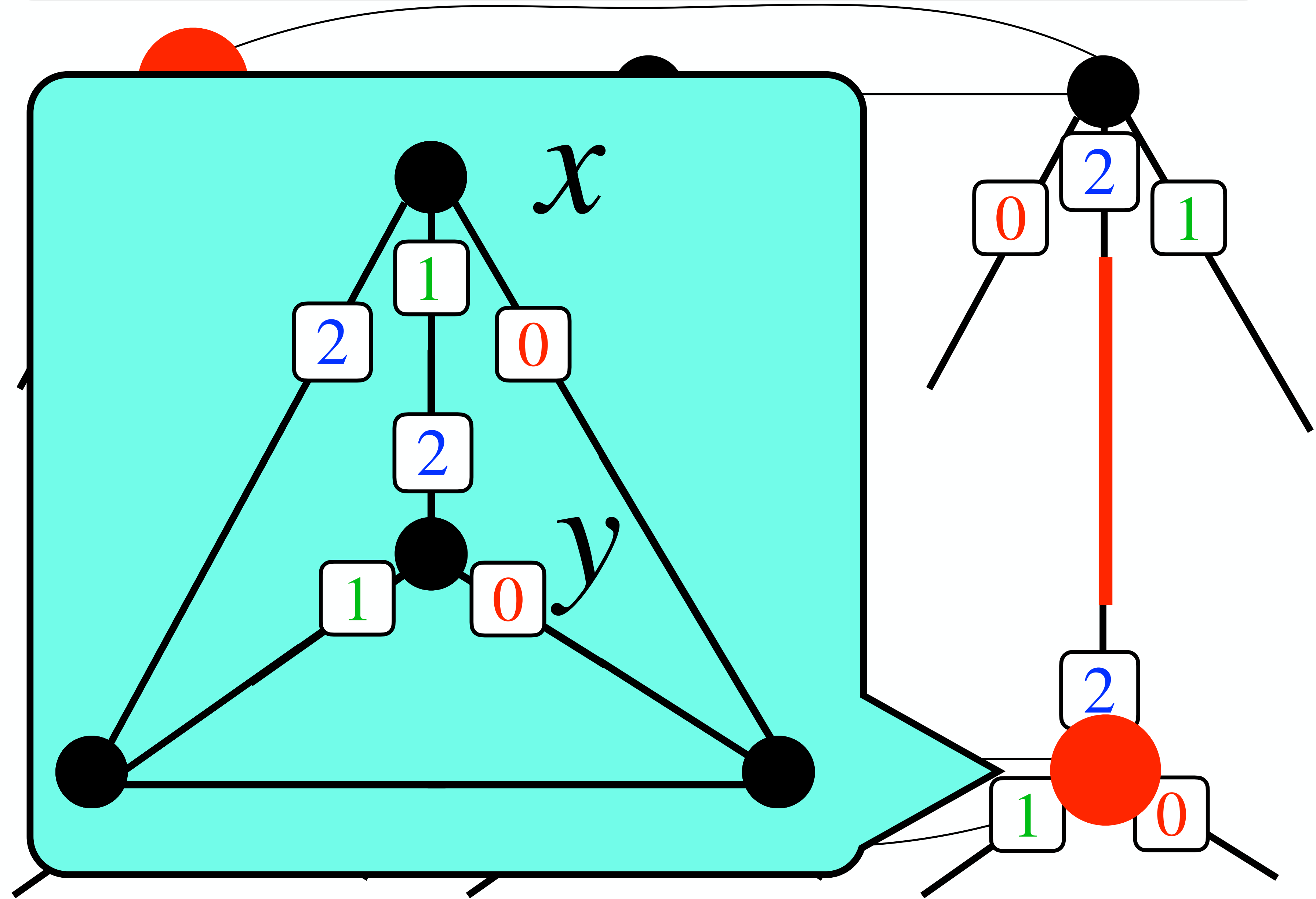
# 独立点集合が何を意味しているか？



# 独立点集合が何を意味しているか？



# 独立点集合が何を意味しているか？



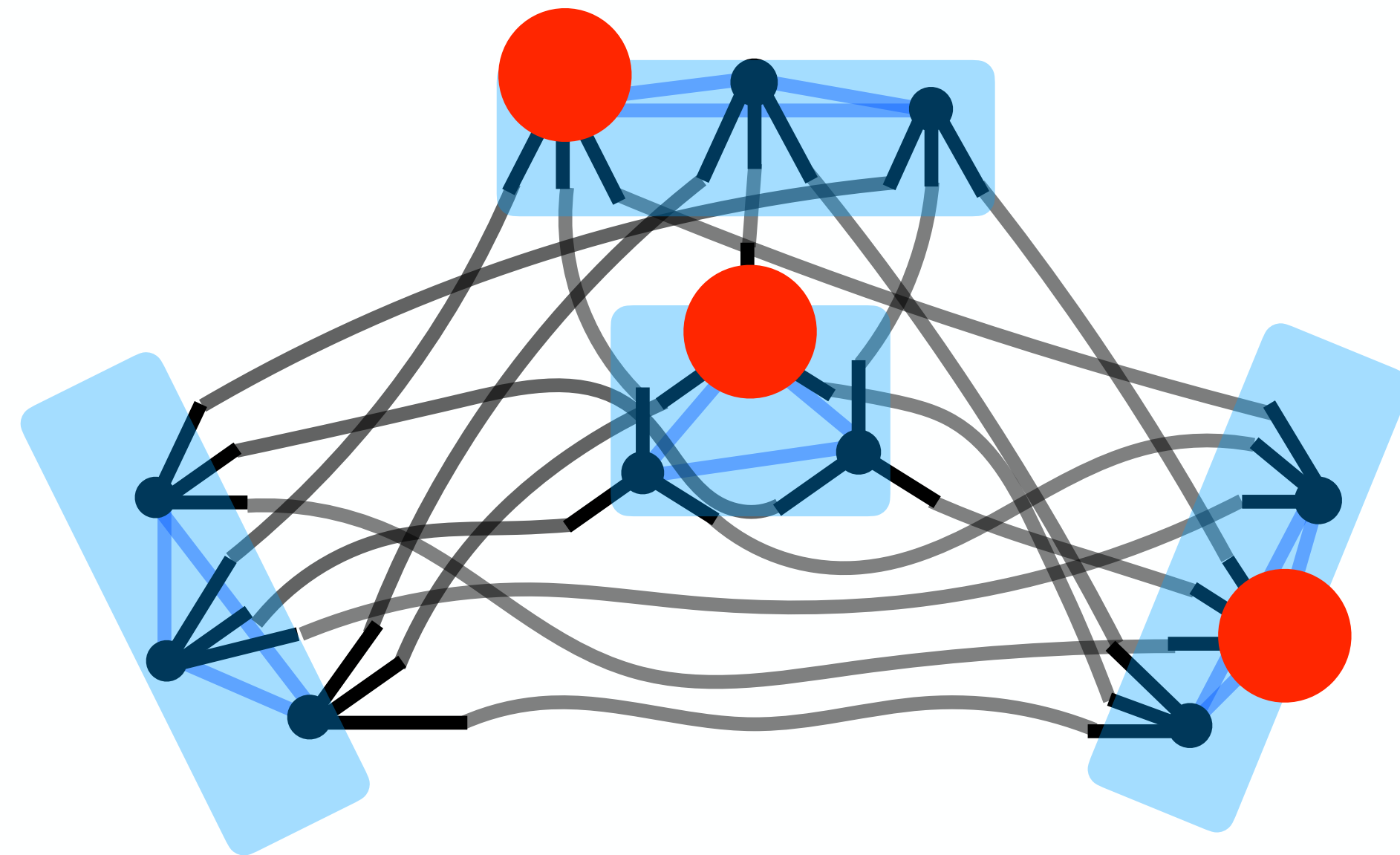
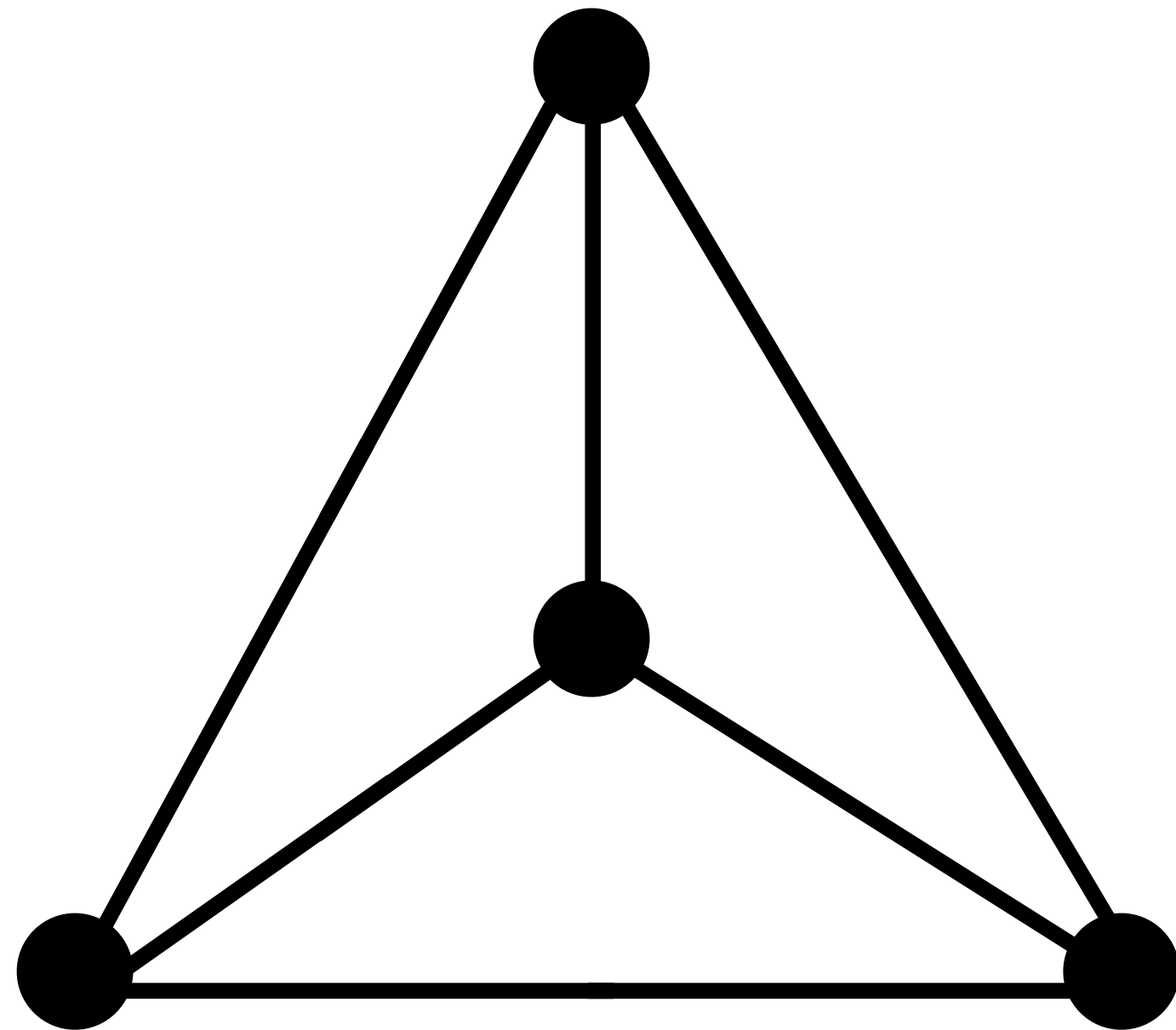
# Lemma.

$G$ : 向き付け可能閉曲面  $\mathbf{F}$  に埋め込まれた  $k$ -正則グラフ

$H$ :  $G$  からなる特別なグラフ

$I$ :  $H$  の最大独立点集合

$G$  が **clockwise  $k$ -labeling** を持つ  $\iff |I| = |G|$



$$|I| < |K_4|$$

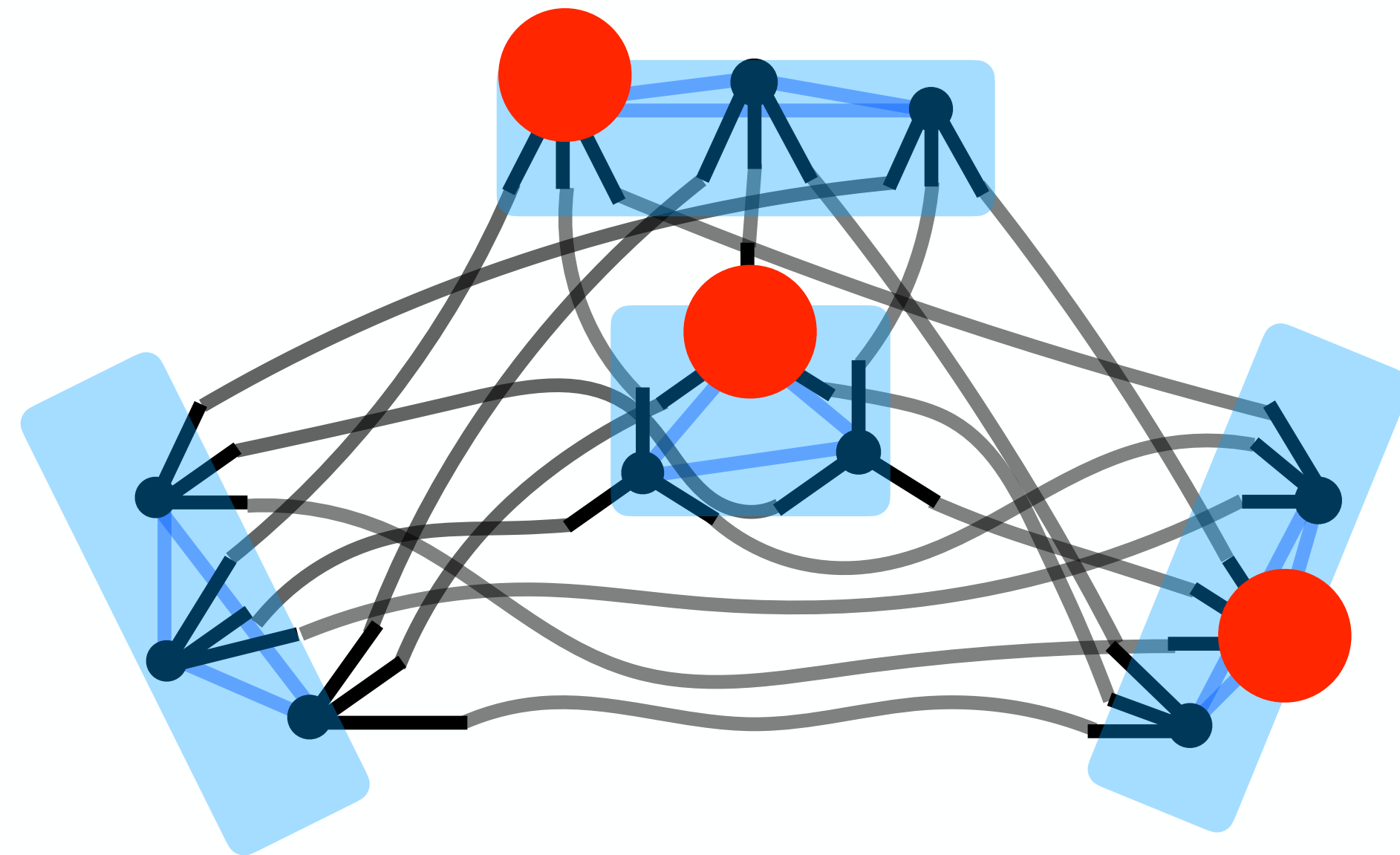
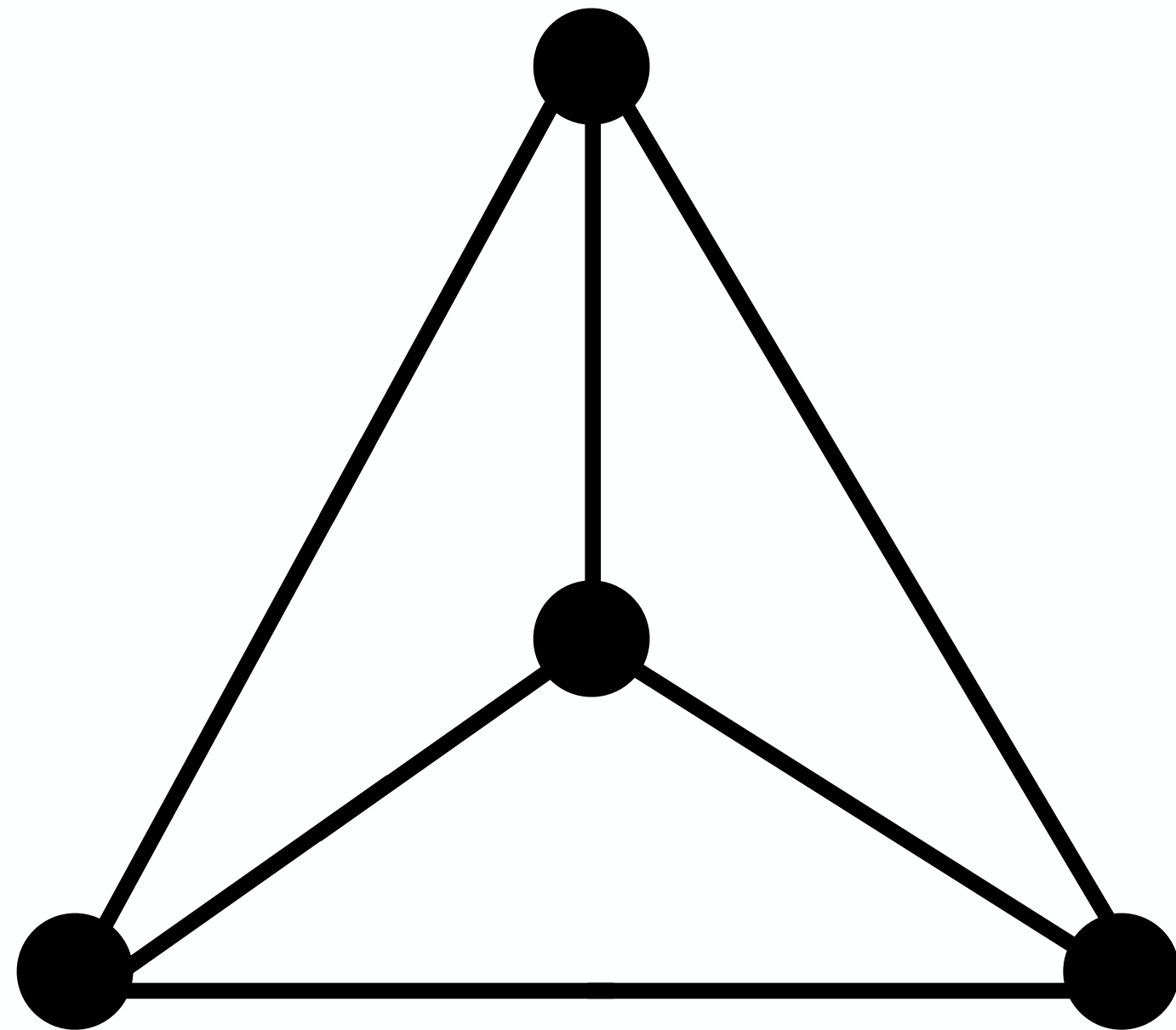
# Lemma.

$G$ : 向き付け可能閉曲面  $\mathbf{F}$  に埋め込まれた  $k$ -正則グラフ

$H$ :  $G$  の cover

$I$ :  $H$  の最大独立点集合

$G$  が clockwise  $k$ -labeling を持つ  $\iff |I| = |G|$



$$|K_4| > |I|$$

# Lemma.

$G$ : 向き付け可能閉曲面  $\mathbf{F}$  に埋め込まれた  $k$ -正則グラフ

$H$ :  $G$  の cover

$I$ :  $H$  の最大独立点集合

$G$  が clockwise  $k$ -labeling を持つ  $\iff |I| = |G|$

# Lemma.

$G$ : 向き付け可能閉曲面  $\mathbf{F}$  に埋め込まれた  $k$ -正則グラフ

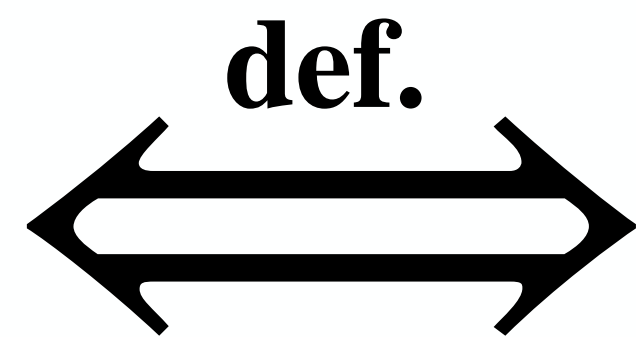
$H$ :  $G$  の cover

$I$ :  $H$  の最大独立点集合

$G$  が clockwise  $k$ -labeling を持つ  $\iff |I| = |G|$

**Def. (DP coloring)** グラフ  $G$  について,

グラフ  $G$  の任意の cover について,  $|I| = |G|$



$G$  は DP  $k$ -coloring を持つ.

## Lemma.

$G$ : 向き付け可能閉曲面  $\mathbf{F}$  に埋め込まれた  $k$ -正則グラフ

$H$ :  $G$  の cover

$I$ :  $H$  の最大独立点集合

$G$  が clockwise  $k$ -labeling を持つ  $\iff |I| = |G|$

**Def. (DP coloring)** グラフ  $G$  について,

グラフ  $G$  の任意の cover について,  $|I| = |G|$

def.  $\iff$   $G$  は DP  $k$ -coloring を持つ.

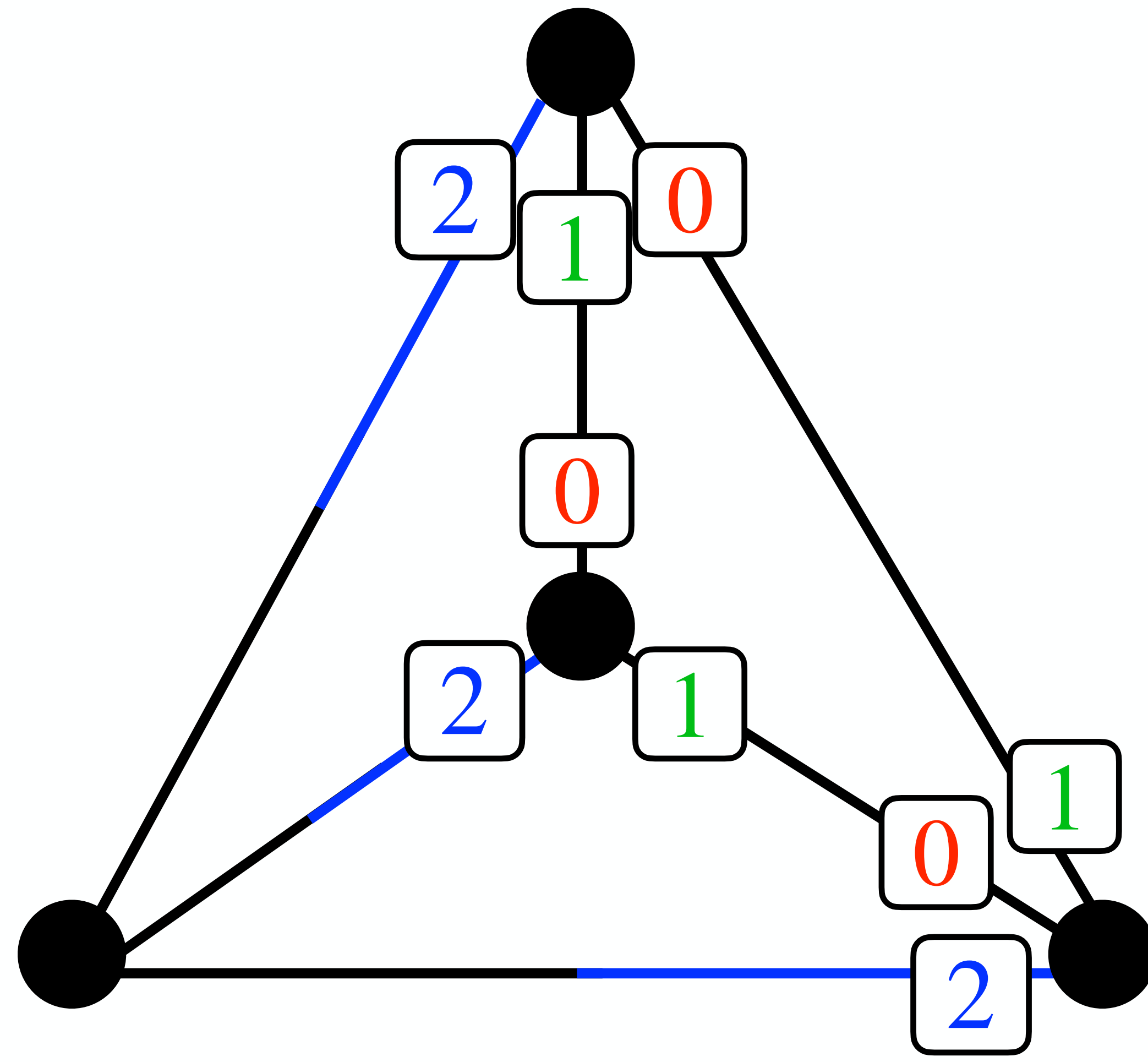
先行研究.

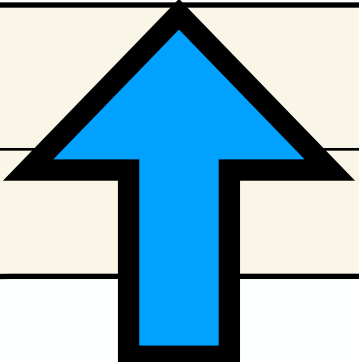
3-正則グラフ  $G$  について,  $G$  が完全グラフ  $K_4$  でないならば,  $G$  は DP  $k$ -coloring を持つ.



# Theorem 8.

3-正則平面グラフ $G$ について、 $G$ が完全グラフ  $K_4$  でないならば、clockwise 3-labelingを持つ。



<div style="text-align: center;">種数</div> <div style="text-align: left;">Labeling</div>	$g = 0$ (平面)	$g = 1$ (トーラス)	一般の 閉曲面
<b>Clockwise 2-labeling</b>	Face 2-colorableな埋め込みを持つ $2k$ -正則グラフ		
<b>Clockwise 3-labeling</b>	$K_4$ 以外の $3$ -正則グラフ		
<b>Clockwise <math>k</math>-labeling</b>	<div style="text-align: center;">  </div> $ I  =  G $ を満たす $k$ -正則グラフ		